SEDIMENTATIONS-GESCHICHTE DER BERMUDA NORTH LAGOON IM HOLOZÄN Teil II (Anhang)

Dissertation
zur Erlangung des Doktorgrades
der Mathematisch-Naturwissenschaftlichen Fachbereiche
der Georg-August-Universität zu Göttingen

vorgelegt von Gerhard Kuhn aus Paderborn

Göttingen 1984

© 1984 by Gerhard Kuhn

Geologisch-Paläontologisches Institut

der Universität Göttingen

Goldschmidtstr. 3

D-3400 Göttingen

Im Selbstverlag des Autors

D 7

Referent: Professor Dr. D. Meischner Korreferent: Professor Dr. J. Schneider

Tag der mündlichen Prüfung: Freitag, den 13. Juli 1984

INHALTSVERZEICHNIS (ANHANG)

	Seit
9. Methodik	127
9.1. Reflexionsseismik	127
9.1.1. Geräte	127
9.1.2. Durchführung und limitierende Faktoren	128
9.1.3. Signal-Interpretation	131
9.1.4. Auswertung und Darstellung	133
9.2. Navigation	135
9.3. Lotung	135
9.4. Probenahme	136
9.4.1. Sedimentkerne	136
9.4.2. Proben von der Sediment-Oberfläche	137
9.4.3. Proben von Strandsanden	137
9.5. Bearbeitung der Sedimentkerne	137
9.5.1. Offnen, Präparation und Photo-Dokumentation	137
9.5.2. Kernbeschreibung	138
9.5.3. Probenahme	139
9.6. Granulometrie	140
9.6.1. Analytik	140
9.6.1.1. Probenaufbereitung und -teilung	1.40
9.6.1.2. Siebung	140
9.6.1.3. Atterberg- und Pipett-Methode	142
9.6.2. Kalibrierung der Analysensiebe	143
9.6.2.1. Ausmessen der Maschenweiten	144
9.6.2.2. Graphisches Korrekturverfahren	145
9.6.2.3. Zähl-Wäge-Verfahren	146
9.6.3. Auswertung der Korngrößenanalyse	148
9.6.3.1. Korngrößenmaßstäbe	148
9.6.3.2. Statistische Korngrößenparameter und Häufigkeitsanalyse	149
9.7. Grobkornanalyse	150
9.7.1. Untersuchungsverfahren	150
9.7.1.1. Komponenten-Gewichts-Analyse	150
9.7.1.2. Kornzahl-Analyse der Komponenten	151
9.7.2. Auswertung und Darstellung	152
9.7.3. Fehlerbetrachtung	153
9.7.4. Beschreibung der Kornarten	154

DOKUMENTATION

		Seite
Kernbeschr	eibungen	159
Tabellen		
Tab. 1	: Physiographische Provinzen der North Lagoon und des Saumriffs	184
Tab. 2	: Volumen holozäner Sedimente	184
Tab. 3		185
Tab. 4	Tr	186
Korngr	ößenverteilungen (Tab. 5 bis 7)	186
Tab. 5	: Korngrößenverteilungen von Proben rezenter Strandsande der North Shore	186
Tab. 6	: Korngrößenverteilungen von Proben der Sediment- oberfläche der North Lagoon	187
Tab. 7		188
Korngr modale	ößen-Häufigkeitsanalyse holozäner Sedimente mit poly- n Korngrößenverteilungen (Tab. 8 bis 12)	196
Tab. 8	: Korngrößenkollektive im Kern NL 031/4	196
Tab. 9		196
Tab. 1): Korngrößenkollektive im Kern NL 040	196
	l: Korngrößenkollektive im Kern NL 041	197
ĥab. 1∶	?: Korngrößenkollektive im Kern NL 044	197
Tab. 13	3: Vergleich Atterberg- Pipett-Methode	197
Grobko	nzusammensetzungen holozäner Sedimente (Tab. 14, 15)	198
Tab. 14	: Grobkornzusammensetzung im Kern NL 034, Kernabschnitt 55 - 63 cm	198
Tab. 15	: Grobkornzusammensetzung der Kerne NL 001/3, NL 040, Zusammensetzung der Fraktion > 3150 µm im Kern NL 048	199

				Seite
	Tab.	16:	Verzeichnis der im Text und in den Kernbe- schreibungen erwähnten Organismen	211
	Tab.	17:	Altersbestimmungen an Sedimenten der North Lagoon	213
Abb	ildung	gen		
	Abb.	1:	Bermuda Pedestal	214
	Abb.	2:	Bermuda Islands und Inshore Waters	215
	Abb.	3:	Bermuda North Lagoon, UNIBOOM-Profilstrecken und Lokalitäten	216
	Abb.	4:	Bermuda North Lagoon, UNIBOOM-Profilstrecken und Probenahme-Stationen	217
	Abb.	5:	Grenzflächen seismischer Sequenzen und seismische Reflexionsmuster	218
	Abb.	6:	Legende zu den Abbildungen 7 bis 10	218
	Abb.	7:	Seismische Sequenzen der Bermuda North Lagoon (nordöstlicher Teil)	219
	Abb.	8:	Seismische Sequenzen der Bermuda North Lagoon (S - N, zentraler Teil)	220
	Abb.	9:	Seismische Sequenzen der Bermuda North Lagoon (westlicher Teil)	221
	Abb.	10:	Seismische Sequenzen der Bermuda North Lagoon (SW - NE, zentraler Teil)	222
	Abb.	11:	Präholozäne Topographie der Bermuda North Lagoon	223
			Mächtigkeiten holozäner inter-reef-sediments, North Lagoon	224
	Abb.	13:	Physiographische Provinzen der North Lagoon	225
	Abb.	14:	Holozäner Meeresspiegelanstieg und holozäne Sedimentationsraten	226
	Abb.	15:	Modell der holozänen Riffentwicklung	227
	Abb.	16:	Holozäne Sedimentation in einer Senke des präholozänen Untergrundes	228
	Abb.	17:	Holozäne Sedimentation auf einer Erhebung des präholozänen Untergrundes	229
	Abb.	18:	Synoptisches Profil der holozänen Faziesverteilung	230
	Abb.	19:	Schema der holozänen Faziesentwicklung	231
	Abb.	20:	Profil der holozänen Sedimente im Somerset Long Bay	232

		Seite
Korngröß	Benverteilungs-Histogramme (Abb. 21 bis 23)	233
Abb. 21:	Korngrößenverteilungs-Histogramme einiger Strandsande, Bermuda North Shore	233
Abb. 22:	Korngrößenverteilungs-Histogramme von Proben der Sedimentoberfläche, North Lagoon (lagoonal, near shore sediments)	234
Abb. 23:	Korngrößenverteilungs-Histogramme von Proben der Sedimentoberfläche, North Lagoon (reefal sediments)	235
Korngröß der Sedi	Benverteilungs-Histogramme und Faziesinterpretation mentkerne (Abb. 24 bis 43)	236
АЬЬ. 24:	Legende zu den Abbildungen 25 bis 43	236
Abb. 25:	Kern NL 001/3	237
Abb. 26:	Kerne NL 001/5, NL 002, NL 019/2	238
Abb. 27:	Kerne NL 020, NL 021/1, NL 022, NL 023/2	239
Abb. 28:	Kerne NL 024, NL 025	240
Abb. 29:	Kerne NL 026, NL 027, NL 028	241
Аbb. 30:	Kerne NL 029, NL 030, NL 032	242
Abb. 31:	Kern NL 031/4	243
Abb. 32:	Kern NL 033/2	244
Abb. 33:	Kern NL 034	245
Abb. 34:	Kerne NL 035, NL 036, NL 037	246
Abb. 35:	Kerne NL 038, NL 039	247
Abb. 36:	Kern NL 040	248
Abb. 37:	Kerne NL 041, NL 042	249
Abb. 38:	Kern NL 044	250
Abb. 39:	Kerne NL 045, NL 046	251
Abb. 40:	Kerne NL 043, NL 047	252
Abb. 41:	Kerne NL 048, NL 049	253
Abb. 42:	Kerne NL 050, NL 051	254
Abb. 43:	Kerne NL 052, NL 053/1, NL 053/2	255

		Seite
Grobkorr	zusammensetzungen (Abb. 44 bis 49)	256
Abb. 44:	Zusammensetzung der Fraktion > 2000 µm im Kern NL 001/3 (in Prozenten der Gesamtprobe)	256
Abb. 45:	Zusammensetzung der Fraktion > 2000 µm im Kern NL 001/3 (in Prozenten der Fraktion > 2000 µm)	257
Abb. 46:	Zusammensetzung der Fraktion > 2000 µm im Kern NL 040 (Bivalven)	258
Abb. 47:	Zusammensetzung der Fraktion > 2000 µm im Kern NL 040 (Gastropoden und andere Komponenten)	259
Abb. 48:	Zusammensetzung der Fraktion > 3150 µm im Kern NL 048 (Bivalven)	260
Abb. 49:	Zusammensetzung der Fraktion > 3150 µm im Kern NL 048 (Gastropoden und andere Komponenten)	261
Abb. 50:	Eindringtiefe und Länge der Sedimentkerne	262
Abb. 51:	Vergleich korrigierter und unkorrigierter Korn- größenverteilungs-Histogramme (Kern NL 040)	263
eln 1 bi	s 8	264

- 9. Methodik
- 9.1. Reflexionsseismik
- 9.1.1. Geräte

Boomer UNIBOOM Model 230 - 1 Hersteller EG&G Environmental Equipment Division, Waltham, U.S.A. Wirbelstromplatten in geschlepptem Kunststoff-Katamaran North Lagoon Profilstrecken: 4 Impulse/s, 200 Joule/Impuls, Frequenz 500 - 10 000 Hz

Energiewandler £G&G Energy Source Model 234 Hersteller s.o. Ausgangsspannung 3,4 kV, wahlweise 100, 200, 300 Joule/Impuls

Hydrophone
EG&G Model 265
Kette von 8 Hydrophonen in Streamer, aktive Länge 4,6 m, BandpassFilter 400 Hz - 5 kHz im Vorverstärker
Hersteller s.o.
Schlepptiefe 0 - 30 cm

Recorder
EPC Model 3200 Graphic Recorder
Hersteller EPC Labs, Inc., Danvers, U.S.A.
2-Kanal Schreiber mit digitaler Signalaufbereitung
Aufzeichnung auf trockenem elektrosensitiven Papier, Schreibbreite
48,8 cm, 16 Graustufen proportional der Intensität des empfangenen
Signals.

North Lagoon Profilstrecken: Print pol +; Aufzeichnungsfrequenz 16 sweeps/s, z.T. außerhalb des Saumriffes 8 sweeps/s

Generator Bosch Typ BSKA 5 Hersteller Robert Bosch GmbH 220/380 V, 50 Hz, 5 kVA, ausgelegt für kurzfristige Oberlastung

Boot Holzboot "Micmac", 11,4 m Länge, Tiefgang 1,6 m Eigner: Bermuda Biological Station mit Baum/Flaschenzug zum Aussetzen und Verholen des Boomers; Kajüte zum Schutz der empfindlichen Geräte

9.1.2. Durchführung und limitierende Faktoren

Das reflexionsseismische System ist eine physikalische Meßvorrichtung. Die Aufzeichnungsqualität und erfolgreiche Anwendung werden durch folgende Faktoren begrenzt (EG&G, 1976):

- 1) externe Limitierungen: Wichtigster Faktor ist das Wetter. Bei Seegang verringert ein stärkeres Untergrundrauschen die Aufzeichnungsqualität. Mit Wind und Seegang von hinten gefahrene Profilstrecken führten zu besseren Ergebnissen. Bei Dünung (vorwiegend außerhalb des Saumriffes und an der Bermuda South Shore) führen Schwankungen der Wassertiefe und der Meßgeometrie zu wechselnden Laufzeiten und dadurch zu einer wellenförmigen Signalaufzeichnung.
- 2) Limitierungen des Schiffs: Zur Stromversorgung des UNIBOOM-Systems verwendeten wir einen Generator von 5 kVA Leistung. Dieser wurde nur während der ersten Profil-Fahrten durch ein ins Wasser geführtes Kupferband geerdet, da dadurch die Aufzeichnungen stark gestört wurden. Andere Störungen durch mechanische oder elektrische Interferenzen zwischen Schiffsausrüstung und seismischem System wurden nicht festgestellt. Das Forschungsboot mit dem seismischen System im Schlepp ließ sich wegen der geringen Größe in den flachen und riffreichen Gewässern gut manörvrieren (Navigation s. Kap. 9.2.).

Ein 10 m langer Ausleger aus Vierkantstahlrohr wurde am Heck oder auf der Kajüte des Bootes befestigt. Durch Doppelblöcke an beiden Enden des Auslegers liefen auf einer Seite Zugseil und Stromversorgung für den Schallgeber und auf der anderen Seite das Zugkabel der Hydrophonkette. Mit dieser Anordnung wurde der vom Hersteller empfohlene Abstand von ca. 10 m zwischen Schallgeber und Hydrophonen eingehalten. Die Geometrie des Systems (Schleppabstand zum Heck ca. 10 – 15 m) ließ sich zur besseren Abstimmung auch während der Fahrt leicht verändern. Das Schraubenwasser zwischen Schallgeber und Hydrophonen dämpft den Direktimpuls und die multiplen Reflexionen. Beste Aufzeichnungsqualitäten wurden bei 3 – 5 Knoten Fahrt über Grund erzielt. Schiffsgeschwindigkeit und Schleppgeometrie ließen sich so gut aufeinander

abstimmen, daß der Direktimpuls nur selten in den Aufzeichnungen erschien.

- 3) Limitierungen des seismischen Systems: Es lassen sich vier Faktoren unterscheiden.
 - Energie und Frequenzbereich

Am Rand der Bermuda Platform in Wassertiefen über 100 m wurden nur noch selten reflektierte Signale aufgezeichnet. Dies liegt zum einen am sehr steilen Hangwinkel des Meeresbodens von stellenweise über 60° und zum anderen an der starken Streuung des Signals am Boden (Kalkalgenriffe). Die Energie des zur Wasseroberfläche reflektierten Signals ist zu gering, um mit den vorhandenen Hydrophonen und der Verstärkung noch empfangen zu werden.

Ebenfalls ließ die Aufzeichnungsqualität im Flachwasser mit weniger als 3 m Tiefe nach. Dieses war bedingt durch die Anordnung von Schallgeber und Hydrophonkette. Der Einsatz eines Einzelhydrophons (EG&G, Model 262 J), das im Flachwasser bessere Aufzeichnungen ergeben soll, war zwar geplant, konnte aber wegen Lieferschwierigkeiten des Herstellers nicht durchgeführt werden.

Bei den North Lagoon Profilstrecken wurde überwiegend mit Impulsfrequenzen (Boomer 4 Impulse/s, Aufzeichnung 16 sweeps/s)gearbeitet, die den Bereich von O - 48 m Wassertiefe auf der Schreibbreite des Recorders (48,8 cm) abbilden (Schallgeschwindigkeit Meerwasser: 1540 m/s). Bei diesen Aufzeichnungen erreicht die vertikale Auflösung etwa 0,2 m.

Die Eindringtiefe des seismischen Systems schwankt mit den akustischen Eigenschaften der Sedimente. Besonders in den äußeren Bereichen der North Lagoon sind Eindringtiefen über 15 m nicht selten.

Schallgeschwindigkeiten

Die seismischen Aufzeichnungen zeigen die Mächtigkeiten der seismischen Einheiten als eine Funktion der Laufzeiten des Schalls. Die Schichtmächtigkeiten können nur ermittelt werden, wenn die Schaligeschwindigkeiten der durchlaufenen Schichten bekannt sind. Bedingt durch den Abstand zwischen Schaligeber und Hydrophonen (ca. 10 m) ist die Tiefenaufzeichnung nicht linear. Mit abnehmender Wassertiefe (besonders oberhalb 10 m) nimmt diese Abweichung zu. Um die Tiefe der Sedimentoberfläche zu ermitteln, wurde für die am häufigsten benutzte Aufzeichnungsfrequenz (16 sweeps/s entspricht 0 - 48 m Wassertiefe) ein Maßstab angefertigt. Dabei wurde die Schaligeschwindigkeit im Seewasser (Salinität ca. 36,5 °/oo, Temperatur ca. 26° C) nach Tabellen (SMITH, F.G.W., 1974) mit 1540 m/s berücksichtigt.

Genaue Schallgeschwindigkeiten in den holozänen und pleistozänen Sedimenten wurden nicht ermittelt. Die Sedimentmächtigkeiten in den genommenen Kernen erlauben jedoch Aussagen über die ungefähre Höhe der Schallgeschwindigkeiten.

Die holozänen unverfestigten Karbonatsande und Silte haben Schallgeschwindigkeiten, die bis 10 % über der des Seewassers liegen. In verfestigten pleistozänen Karbonatsanden und Residualtonen erreicht der Schall höhere Geschwindigkeiten bis ca. 2000 m/s. In Torfen ist die Schallgeschwindigkeit gering (ca. 1000 m/s). ENOS (1977), CHOI & GINSBURG (1982), CHOI & HOLMES (1982) und HARVEY et al. (1979) geben für karbonatische Sedimente ähnliche Werte an. Die so aus den Aufzeichnungen ermittelten Schichtmächtigkeiten enthalten Ungenauigkeiten durch fehlerhafte Annahmen der Schallgeschwindigkeiten der seismischen Sequenzen.

- Reflexionsfähigkeit von Grenzflächen

Die von Grenzflächen im Sediment (Reflektoren) reflektierten seismischen Signale repräsentieren nicht immer einen Wechsel des Sedimenttyps. Scharf begrenzte reflektierte Signale werden nur empfangen, wenn übereinander-liegende Schichten unterschiedliche Schallhärten haben (Schallhärte: r = Dichte x Schallgeschwindigkeit). Der Reflexionskoeffizient für Schalldruckamplituden wird beschrieben durch:

$$\begin{array}{c} P_{R} = r_{2} - r_{1} \\ \hline P_{I} = r_{2} + r_{1} \end{array}$$

 ${\sf P}_{\sf R}$ ist die Schalldruckamplitude der reflektierten und ${\sf P}_{\sf I}$ der auftreffenden Schallwelle.

Andern sich Dichte und Schallgeschwindigkeit in unterschiedlichen Richtungen, kann im Grenzfall die Schallhärte gleich bleiben, und es wird kein Signal reflektiert (McQUILLIN et al., 1979). Die Stärke des reflektierten Signals (Höhe der Schalldruckamplitude) ist abhängig von der Differenz der Schallhärten und von der Höhe der Schalldruckamplitude der auf den Reflektor auftreffenden Welle. Die Schallenergie wird von den durchlaufenen Schichten unterschiedlich stark absorbiert. Die Intensität des reflektierten Signals hat nur geringe Aussagekraft für die geologische Bedeutung des Reflektors. Beim Übergang von höherer zu niedrigerer Schallhärte wird die Phase der reflektierten Welle umgekehrt (negativer Reflexionskoeffizient). In den seismischen Aufzeichnungen wurden nur die positiven Ausschläge registriert (print pol +). Eine Phasenumkehr des reflektierten Signals entsteht häufig an der oberen Grenzfläche torfiger Sedimente (geringe Schallhärte).

Reflektoren bilden nicht unbedingt einen Wechsel des Sedimenttyps ab. Sie zeigen lediglich einen Wechsel der physikalischen Parameter des Sediments an, wie z.B. Korngröße, Sortierung, Porosität, Dichte oder Zementation. Fließende Obergänge ergeben nur schwache, unscharfe Reflexionen.

- Schallabstrahlung

Der Schallimpuls wird vom UNIBOOM kegelförmig abgestrahlt. Mit größerer Wassertiefe nimmt die bestrahlte Fläche des Meeresbodens zu. Die reflektierten Signale zeigen immer die durchschnittlichen reflexionsseismischen Eigenschaften innerhalb einer größeren Fläche. Die seismischen Aufzeichnungen bilden nicht das spezifische Profil direkt unter dem Schiff ab.

9.1.3. Signal-Interpretation

Bei der Interpretation seismischer Aufzeichnungen sind auch solche Faktoren zu beachten, die zu falschen und meistens unerwünschten Signalen in den Aufzeichnungen führen. Teilweise erfordert es eine genaue Analyse, echte seismische Reflexionen des Sedimentbodens von den unechten Signalen zu trennen.

Vier wichtige, von der Entstehung her unterschiedliche Typen unechter Signale sind zu unterscheiden:

1) Multiple Reflexionen:

Vom Sediment reflektierte Signale hoher Intensität werden an der Wasseroberfläche und vom Sedimentboden einmal oder mehrfach reflektiert, bevor sie aufgezeichnet werden. Bei der Reflexion an der Wasseroberfläche wird die Phase der Schwingung umgekehrt.

Die erste Multiple des Sedimentbodens unterscheidet sich von den echten Reflexionen (primäre Reflexionen) im Sediment durch die Phasenumkehr und dadurch, daß der Abstand von der Null-Zeit-Linie ungefähr doppelt so groß ist wie der Abstand Null-Zeit-Linie – primärer Reflektor. Das Relief der Multiplen ist stärker überhöht als das des primären Reflektors.

2) Reflektor-reverberations (singing):

In den seismischen Aufzeichnungen gibt es oft schwächere Signale, die wie ein Nachhall mit nur geringem Abstand parallel unterhalb eines starken reflektierten Signals verlaufen. Für die Entstehung dieser Signale werden zwei Erklärungen aufgeführt (MOORE, 1969; TUCKER & YORSTON, 1973).

— Geringe Laufzeitunterschiede zum primären Reflektor entstehen dadurch, daß der vom Sediment reflektierte Schall auch an der Wasseroberfläche reflektiert wird und dann erst von den Hydrophonen empfangen wird. Dieser Effekt ist jedoch bei einer geringen Schlepptiefe der Hydrophone nur schwach. Der UNIBOOMSchallgeber ist so konstruiert, daß nur sehr wenig Schallenergie nach oben zur Wasseroberfläche hin abgestrahlt wird, dort reflektiert wird und gegenüber dem primären Schall ebenfalls eine verlängerte Laufzeit hat.

— Bei der Anregung durch Schallenergie erzeugt jeder reflektierende Horizont neue Schall-Multizyklen. Ein Reflektor wird nicht als eine scharf begrenzte Linie abgebildet, sondern es folgen noch einige parallel verlaufende schwächere Schall-Signale. Dieses führt besonders bei geringen Abständen zwischen Reflektoren (kleiner als die Wellenlänge des ausgesandten Signals) zur Maskierung tiefer liegender Strukturen.

3) Seitenechos:

Durch die kegelförmige Schallabstrahlung entstehen bei einem stark differenzierten Relief des Meeresbodens Seitenechos, die die seismischen Aufzeichnungen stören können. Seitenechos haben nur sehr wenige Amplitudenzyklen und schneiden die Signale sedimentinterner Reflexionen unter einem Winkel. Seitenechos von Riffen in der Nähe der Profiltraverse liegen auch häufig über dem Sedimentboden-Reflektor.

4) Punkt Reflexionen:

Ein Punktreflektor strahlt die seismische Energie entlang der Einfallsrichtung zurück. Punktreflektoren erzeugen beim Überfahren eine hyperbelförmige Signalaufzeichnung (Öffnung unten). Der Scheitelpunkt der Hyperbel liegt über der Position des Punktreflektors, wenn dieser auf der Profiltraverse liegt. Punktreflektoren, die tiefer im Sediment liegen, erzeugen eine weiter geöffnete Hyperbel.

9.1.4. Auswertung und Darstellung

Die Interpretation der seismischen Daten und die Entwicklung einer seismischen Stratigraphie erforderte drei Schritte:

1) Signalauftrennung:

Die seismischen Signale wurden aufgetrennt in Signale, die direkte Reflexionen geologischer Strukturen sind (echte Signale) und in Signale, die durch unterschiedliche, nicht geologische Faktoren hervorgerufen werden (unechte Signale; Kap. 9.1.3.).

2) Analyse der seismischen Sequenzen:

Die Profilaufzeichnungen wurden in seismische Sequenzen unterteilt. Die internen Reflexionen einer seismischen Sequenz sind untereinander übereinstimmend (konkordante Reflexionen). Top und Basis seismischer Sequenzen werden durch Diskontinuitätsflächen markiert, an denen die internen Reflexionen enden. Am Top enden sie überwiegend an erosiven Grenzflächen (erosional truncation). An der Basis liegen sie meist konkordant auf dem Untergrund. Bei stärker einfallendem Untergrund enden sie durch onlap (Abb. 5). Die Grenzflächen der seismischen Sequenzen sind selbst oft stärker reflektierende Horizonte. Eine in den UNIBOOM-Aufzeichnungen identifizierte seismische Sequenz entspricht einer geologischen Ablagerungssequenz (MITCHUM, VAIL & SANGREE, 1977). Chronostratigraphische Bedeutung erlangen die seismischen Sequenzen dadurch, daß sie von Diskontinuitätsflächen begrenzt werden, die längere Zeiten ohne Sedimentation oder der Erosion repräsentieren (MITCHUM, VAIL, THOMSON, 1977; VAIL et al., 1977).

Diskontinuitätsflächen, die durch diagenetische Veränderungen entlang fossiler Grundwasserspiegel entstanden sind, haben ebenfalls chronostratigraphische Bedeutung. Diese Diskontinuitätsflächen verlaufen annähernd horizontal und schneiden andere reflektierende Schichten.

3) Analyse der seismischen Fazies:

Die seismische Fazies innerhalb einer seismischen Sequenz wird anhand verschiedener Parameter wie Konfiguration, Kontinuität, Häufigkeit und Amplitude der Reflexionen und der Schallgeschwindigkeit bestimmt. Hinzu kommen die externe Form und räumliche Beziehung der seismischen Fazies-Einheiten (MITCHUM, VAIL & SANGREE, 1977; MITCHUM & VAIL, 1977). Mit Hilfe dieser Parameter und den Informationen aus den Sedimentkernen wurden die seismischen Aufzeichnungen interpretiert.

Die nach den seismischen Aufzeichnungen angefertigten Profilschnitte (Abb. 7 bis 10) sind korrigiert nach der Schiffsgeschwindigkeit und der Schallgeschwindigkeit im Wasser (1540 m/s). Für die Berechnungen der Sedimentmächtigkeiten und die daraus resultierenden Karten (Abb. 11, 12) wurde pauschal für die Sedimente eine 10 % größere Schallgeschwindig-

keit als die im Wasser angenommen (Kap. 9.1.2.).

Für die Konstruktion der Karte der holozänen Sedimentmächtigkeit (Abb. 12) und der präholozänen Topographie (Abb. 11) wurden zusätzlich zu den Informationen aus den seismischen Aufzeichnungen die Sedimentmächtigkeiten in den Vibrations-Kernen und die Lotungen der Seekarten der Bermuda Platform berücksichtigt.

9.2. Navigation

Die Positionen der Probenahmestationen und der Kurs der UNIBOOM-Profilstrecken wurden festgelegt durch Winkelmessungen zwischen Landmarken oder Seezeichen mit dem Sextant, durch Anpeilen markanter Punkte mit dem Peilkompaß und durch Sichtlinien (Winkelprisma). Als Unterlagen dienten die Seekarten der Bermuda Platform in den Maßstäben von 1:6200 bis 1:60 000 (Tab. 4.2. in MORRIS et al., 1977).

9.3. Lotung

Auf den Stationen, wo Proben mit einem Sedimentgreifer genommen wurden, erfolgte die Messung der Wassertiefe mit einem ELAC ECHOSCOP LAZ 36. Eine Kontrollmöglichkeit für die Messung ergab sich durch ein Meterrad, über das Seil für den Sedimentgreifer lief.

Auf den Kernstationen wurden die Wassertiefen mit einem Kettenlot per Hand gemessen. Aus den gemessenen Wassertiefen, der Uhrzeit, den Gezeitenschrieben der Bermuda Biological Station (Ferry Reach, Dock) und aus den Gezeitentabellen wurde die auf Mean Sea Level (M.S.L.) bezogene Wassertiefe der einzelnen Stationen mit einer Ungenauigkeit von ca. 10 cm berechnet.

Bei Probenahme von Sedimentkernen an bestimmten morphologischen Stellen z.B. Riff-Top, Riff-Flanke, Riff-Fuß wurden Profile mit einem Präzisions-echolot FAHRENTHOLZ V 30/150-S-T gefahren.

9.4. Probenahme

9.4.1. Sedimentkerne

Versuche, die groben biogenen Karbonatsande der North Lagoon mit einem Kastenlot zu kernen, scheiterten. Selbst beim freien Fall des 1000 kg schweren Lotes mehrere Meter über dem Grund drang es nur wenige Zentimeter in das Sediment ein.

Diese Versuche erforderten für die Entnahme von Sedimentkernen in der North Lagoon die Konstruktion eines Vibrationslotes (s. MEISCHNER et al., 1981a).

Ein Floß (7,5 x 4,0 m) mit Zentralloch, niederlegbarem Doppel-A-Mast und elektrischer Winde diente als Arbeitsplattform. Der Kompressor für die Energieversorgung des pneumatischen Vibrationslotes stand auf dem Forschungsboot. Das Floß wurde vom Forschungsboot geschleppt und war gut manövrierfähig.

Als Kernrohre fanden überwiegend Aluminiumrohre 90/85 mm Verwendung. Auf einigen Stationen wurden auch quadratische Kernrohre 100/100 mm aus verzinktem Stahl eingesetzt.

Beim Kernvorgang wird am Seil die Eindringtiefe des Kernrohres mit einer Ungenauigkeit von ca. 10 cm gemessen. Die Kernverkürzung liegt im Durchschnitt bei 25 % (Abb. 50). Kerne in grobkörnigen Sedimenten sind oft stärker verkürzt als die in feinkörnigen. Dieses beruht wahrscheinlich auf Verdichtung des Gefüges und Reduzierung des Porenraumes der Sedimente, wobei sich gröbere, gut permeable Sedimente besser verdichten lassen als feinkörnige, schlecht permeable. Die Innenstufe der Kernschneide (nur bei Aluminium-Kernrohren, 1,5 mm) vermindert zwar im Kernrohr die Wandreibung, kann aber auch eine Kernverkürzung von 7 % bewirken, dadurch, daß unverfestigte Sande nach dem Passieren der Stufe wieder den gesamten Raum des Kernrohres ausfüllen (MEISCHNER et al., 1981a).

Das gekernte Sediment bleibt für den Transport und die Lagerung in den gut verschlossenen Kernrohren.

9.4.2. Proben von der Sediment-Oberfläche

Mit einem Sedimentgreifer nach VAN VEEN wurde auf 18 Stationen (NL 001 - NL 018, Abb. 4, Tab. 3) die Sediment-Oberfläche beprobt, anschließend makroskopisch beschrieben und ca. 800 cm³ - möglichst flach von der ungestörten Oberfläche - für weitere Untersuchungen entnommen.

9.4.3. Proben von Strandsanden

Von drei Stränden der Bermuda North Shore (Shelly Bay, Gibbons Bay und Somerset Long Bay) wurden Proben für die Korngrößenanalyse genommen. Am Strand und unter Wasser wurden Plastikdosen (Melitta Gefrierdosen 0,8 l, 10 x 10 cm Querschnitt) ca. 8 cm in den Sand gedrückt, seitlich freigelegt und der Deckel untergeschoben. Da eine Probe wahrscheinlich mehrere der oberen Sandlagen enthält, sind es Mischproben der oberen Sandbedeckung. Die Probenahme erfolgte in den verschiedenen Strandzonen: backshore, foreshore und inshore (Tab. 4).

9.5. Bearbeitung der Sedimentkerne

9.5.1. Offnen, Präparation und Photo-Dokumentation

Die quadratischen Kernkästen bestehen aus zwei miteinander verschraubten Halbschalen, die sich relativ einfach öffnen lassen.

Die Aluminium-Kernrohre wurden zunächst längsseits mit einer elektrischen Kreissäge aufgeschlitzt und dabei auf einer Schiene geführt; anschließend das Sediment, falls es nicht zu stark zementiert war, im Kernrohr mit einem Messer durchschnitten und in zwei annähernd gleich große Hälften aufgeklappt.

Die Oberflächen der Kernhälften wurden präpariert, Schnittspuren und die verschmierte oberste Schicht entfernt, größere Schalen oder Korallenbruch-stücke gesäubert.

Anschließend wurden die Kerne unter konstanten Bedingungen (Beleuchtung, Belichtung, Film) photographiert. Eine Neutralgrau-Karte (Kodak) diente als Eichung. Die Länge des Kernabschnitts pro Bild (Kleinbild) betrug normalerweise 0,3 m mit einer seitlichen Überlappung von 25 %. Zur Übersicht oder für die Dokumentation sehr kleiner Strukturen wählte ich andere Abbildungsmaßstäbe.

9.5.2. Kernbeschreibung

Auch die Beschreibung der Sedimentkerne erfolgte bei konstanten Beleuchtungsverhältnissen. Dieses ist besonders wichtig für eine einheitliche Farbbestimmung der Sedimente. In den Kernen NL 001/3 und NL 001/5 wurden die Farben mit MUNSELL soil color charts bestimmt. Da entsprechende Sedimente in anderen Kernen ähnliche Farben haben, sollen die beiden Kerne der Station NL 001 Muster sein.

Systematisch lassen sich folgende Merkmale der Sedimente beschreiben: Material, Korngröße, Sortierung, Gefüge, Zementation (bei pleistozänen Sedimenten), Farbe und der Gehalt an größeren Schalen oder Skelettbruchstücken (Schill > 2 mm). Dabei war es meine Absicht, viele biogene Bestandteile des Sedimentes zu identifizieren (s. Kernbeschreibungen). Wiesen die Sedimente weitere typische Merkmale auf, wurden sie in die Beschreibung miteinbezogen, ebenso die Abgrenzung der einzelnen Sedimente untereinander – ob langsamer Übergang oder scharfe, erosive Grenze – .

Die Sedimentstrukturen der Kerne, das Gefüge und die Einregelung der Schalen wurden in Zeichnungen im Maßstab 1 : 5 festgehalten.

9.5.3. Probenahme

Nach der Beschreibung der Sedimentkerne wurde eine Kernhälfte für weitere Bearbeitungen beprobt. Meistens umfaßte die Probe ein ca. 6 cm langes, möglichst homogenes Kernstück (ca. 170 cm³). Bei einem höheren Gehalt an grobem Schill war das Volumen der Proben für die Korngrößenanalyse doppelt so groß.

Die Probendichte war abhängig von der Homogenität der Sedimente. Es sollte möglichst jede unterschiedliche Sedimenteinheit beprobt werden. Bestand zwischen zwei unterschiedlichen Sedimentlagen eine allmähliche Übergangs-zone, so wurde jeweils ober- und unterhalb der Übergangszone eine Probe entnommen. Da die Sedimente oft stark bioturbat sind, repräsentieren die Proben Durchschnittsmerkmale eines größeren Sedimentations- und Zeitabschnittes.

In erster Linie wurden holozäne Sedimente bearbeitet. Die Analysen weniger Proben aus pleistozänen Ablagerungen dienten zum Vergleich, zur Unterscheidung und Abgrenzung zwischen holozänen und pleistozänen Sedimenten.

Bei mehreren annähernd ähnlichen Kernen analysierte ich exemplarisch die Proben nur eines Kernes.

Für ¹⁴C-Altersdatierung (Dr. H. ERLENKEUSER, Kiel) wurde die Basis der holozänen Torfe beprobt, um neue Daten für die holozäne Meeresspiegel-Anstiegskurve zu bekommen. Zur Bestimmung der Sedimentationsraten war es notwendig, auch die ¹⁴C-Alter einiger größerer Muschelschalen (<u>Codakia orbicularis</u>) und Korallenbruchstücke innerhalb der holozänen Sedimentabfolge zu bestimmen (Abb. 14, Tab. 17).

Dr. H.P. SCHWARCZ, Hamilton, Canada, Dr. R.S. HARMON, Dallas, U.S.A. (Tab. 17) datierten einige Korallen aus den pleistozänen Sedimenten mit der ²³⁰Th/²³⁴U-Methode.

Die durch die Probenahme in den Kernhälften entstandenen Hohlräume wurden mit passenden Styroporstücken verfüllt und der Kern verschlossen.

9.6. Granulometrie

9.6.1. Analytik

9.6.1.1. Probenaufbereitung und -teilung

Das Volumen der Proben für die Korngrößenanalyse lag meistens unter $200~\rm cm^3$. Bei einem größeren Volumen wurde das Probenmaterial in einer flachen Schale homogenisiert und geteilt. Feinkörnige Proben wurden zur Dispersion und Entfernung des organischen Materials mit 10 prozentigem Wasserstoffperoxid (0,01 n Ammoniaklösung) aufbereitet. Hatten die Proben einen hohen Gehalt an organischer Substanz, oder lagen sie schon in dispergierter Form vor (Sandproben oder feinkörnige Proben, die schon mit $\rm H_2O_2$ aufbereitet wurden), wurde das organische Material mit einer 0,5 prozentigen NaOC1-Lösung entfernt.

Bei der Naßsiebung und der anschließenden Filtration der Fraktion < 63 μm fand gleichzeitig eine Entsalzung der Proben statt.

Mit einer Naßsiebung (Vibrationssieb: RHEWUM "Schallfix") wurden die Korngrößen < 63 μ m abgetrennt (Silt und Ton). Die Grobfraktion > 63 μ m wurde für die Siebanalyse getrocknet, die Wassermenge der Suspension mit der Fraktion < 63 μ m durch Abfiltrieren (0,2 μ m Membranfilter) und Eindampfen eingeengt. War die Masse der Probe zu groß, wurde sie im steif pastösen Zustand homogenisiert und für die weitere Korngrößenanalyse eine Menge von ca. 20 g entnommen.

9.6.1.2. Siebung

Für die Siebung der Fraktion > 63 µm wurden mit Edelstahl-Prüfsiebgewebe nach DIN 4188 bespannte Analysensiebe (Ø des Siebbodens: 200 mm) verwendet. Die Abstufung der nominellen Maschenweiten war 0,1 Zeta-Grad (Z°; Kap. 9.6.3.1.) von 3150 µm bis 63 µm (18 Siebe). Gesiebt wurde mit einer Plan-Wurf Siebmaschine der Fa. SIEBTECHNIK GmbH (Mühlheim), Modell LAVIB ST 67. Diese Siebmaschine nimmt maximal einen aus 6 Analysensiebe be-

stehenden Siebsatz auf. Dementsprechend waren für eine Probe drei Siebdurchgänge notwendig.

Da die Menge des Aufgabegutes nicht das Doppelte der größten zulässigen Menge des Siebrückstandes überschreiten soll, war nach DIN 66165 Teil 1 beim ersten Siebdurchgang (3150 bis 1000 μ m) die maximale Aufgabemenge 350 g (berechnet für das 1000 μ m Sieb). Meistens lag die Aufgabemenge unter 200 g. Die Proben wurden mit einem Laborprobenteiler (Fa. RETSCH, Typ "Retschmühle") geteilt. Für die folgenden zwei Siebdurchgänge (800 bis 250 μ m und 200 bis 63 μ m) lag die Aufgabemenge bei ca. 80 bis 100 g. Mit dieser Menge wurde auch die für feinmaschige Siebe maximal zulässigen Aufgabemengen (z.B. bei 63 μ m ca. 50 g) weit unterschritten.

Voruntersuchungen ergaben, daß bei einer Siebdauer über 10 Mín. besonders die gröberen Fraktionen zu Bruch und Abrieb neigen. Deshalb wurde für den ersten Siebdurchgang (> 1000 μ m) eine Siebdauer von 2 x 5 Mín. mit einer Minute Handsiebung nach den ersten 5 Mín. festgesetzt. Die beiden folgenden Siebdurchgänge dauerten jeweils 2 x 10 Mín. mit einer Minute Handsiebung dazwischen. Lag die Probemenge der Fraktion > 63 μ m unter 50 g, wurden kleinere Analysensiebe (\emptyset Siebboden: 100 mm) mit gleicher Abstufung der nominellen Maschenweiten verwendet. Der Siebvorgang bestand aus zwei Durchgängen (3150 bis 500 μ m und 400 bis 63 μ m) von je 2 x 10 Mín. Siebung auf einer Siebmaschine der Fa. RETSCH, Typ "Vibro", dazwischen 1 Min. Handsiebung.

Lagen die gröbsten Komponenten einer Probe über 3150 µm, so wurde die maximale Korngröße mit einer Schieblehre bestimmt (kleinster Durchmesser der größten Komponente).

Die in den Siebpfannen aufgefangenen Kornfraktionen (< 63 μ m) wurden nach Berichtigung der entsprechenden Gewichtsprozente mit den ermittelten Korrekturfaktoren (Abweichungen zwischen nomineller Maschenweite der Siebe und wirklicher Trenngrenze; Kap. 9.6.2.2.) je zur Hälfte der Fraktion 63 bis 80 μ m und 20 bis 63 μ m zugerechnet.

Die Fehlerquellen bei der Siebanalyse sind zahlreich und entstehen z.B. durch Probenteilung, Aufgabemenge, Siebdauer, Kornform, Kornabrieb, Ab-

weichung der Trenngrenze von der nominellen Maschenweite der Siebe (Kap. 9.6.2.) und durch die Verwendung verschiedener Siebe und Siebmethoden (DIN 66165, 1981; ISO 2591, 1973 (E), 1973; HERDAN, 1960; SOCCI & TANNER, 1980).

9.6.1.3. Atterberg- und Pipett-Methode

Für die Korngrößenanalyse der Fraktion < 63 μ m wurden Sedimentations-analysen im Atterberg-Zylinder und nach der Pipett-Methode angewendet (MOLLER, 1964, S. 85 ff.). Die Fraktion < 63 μ m unterteilte ich in vier Kornklassen 63 - 20 μ m, 20 - 6,3 μ m, 6,3 - 2 μ m und < 2 μ m.

Als Vorbereitung für diese Analysen wurde die Fraktion < 63 µm (max. 20 g) in Suspension gebracht (ca. 1 l) und mindestens 24 Stunden ge-schüttelt. Da die Suspension fast aller Proben nicht stabil war (selbst Suspensionen mit 2 g Festsubstanz pro Liter waren instabil) und ausflockte (hoher Kalziumkarbonat-Gehalt) wurde als Dispersions- und Anticoagulations-Flüssigkeit Lösungen von 0,5 mmol $Na_4P_2O_7 \cdot 10~H_2O$ (Natriumpyrophosphat) oder 0,01 mol Na_2CO_3 (Natriumkarbonat) genommen (BATEL, 1960; PFEFFER, 1952). Ammoniak-Lösungen erwiesen sich als zu schwach. Natriumpyrophosphat kann mit dem Kalzium aus dem Probenmaterial reagieren und schwerlösliche Kalziumphosphate bilden. Es wurde deshalb für die Fraktionierung durch die Atterberg-Methode nicht verwendet, da hierbei im Gegensatz zur Pipett-Methode das Material der einzelnen Kornklassen abgetrennt wird und für weitere Untersuchungen zur Verfügung steht.

Vergleiche zwischen den Resultaten der Atterberg- und Pipett-Methode ergaben bis zu einem Feinkornanteil (< 63 $\mu m)$ pro Probe von 20 %, daß die Differenzen pro Fraktion unter 2 % liegen (Tab. 13). Diese Abweichung ist gering und rechtfertigt die, wenn auch etwas ungenauere, aber doch sehr viel schnellere Pipett-Methode.

Die Feinkornfraktionen der Proben NL 001 bis NL 018 und aus dem Kern NL 001/3 analysierte ich mit der Atterberg-Methode. Lag der Anteil der Fraktion < 63 μ m unter 10 % der gesamten Probe, wurde der Feinkornbereich nicht in weitere Kornklassen unterteilt.

Grenzkornbestimmungen ergaben Schwankungen zwischen 0,1 und 0,2 μ m (3,7 - 4 Z°). In den Histogrammen der Korngrößenverteilungen habe ich die Grenzkorngröße auf 4 Z° festgesetzt.

9.6.2. Kalibrierung der Analysensiebe

Die Fehlergröße der meisten Fehlerquellen bei der Siebanalyse lassen sich im nachhinein nicht mehr korrigieren. Eine Ausnahme bilden die Fehler, die durch Abweichung zwischen nomineller Maschenweite und wirklicher Trenngrenze der Analysensiebe verursacht wurden und oft sehr hoch sein können. Erkennen lassen sich diese Fehler an den positiven oder negativen Abweichungen einzelner Korngrößenklassen vom generellen Trend der Korngrößenverteilung. Die Abweichungen liegen auch bei unterschiedlichen Sedimenten immer in den gleichen Korngrößenklassen (Abb. 51). Unterschiedliche Siebkombinationen ergeben auch verschiedene Abweichungen. Durch Bestimmung der Trenngrenzen der verwendeten Analysensiebe kann diese Fehlerquelle korrigiert werden, und die Korngrößenverteilungen lassen sich besser untereinander vergleichen.

Sind die Trenngrenzen der Analysensiebe ermittelt, wäre es eigentlich richtig, die Klassenbreite der Korngrößenverteilungs-Histogramme nach den Trenngrenzen festzusetzen. Bei mehreren Siebkombinationen ist es jedoch angebracht, daß in den Darstellungen die Kornfraktionen der Proben einheitliche Klassenbreiten haben. Dieses wird durch rectangulare Interpolation (DAVIS, 1973, S. 176 f.) erreicht. Nach Korrekturfaktoren, die den Abweichungen zwischen nomineller Maschenweite und Trenngrenze entsprechen, wurden die Gewichtsprozente der einzelnen Kornfraktionen neu berechnet und dadurch die Korngrößenverteilungskurve geglättet (Abb. 51).

Ein BASIC-Programm (APPLE II) errechnete nach Eingabe der Gewichte der einzelnen Korngrößenfraktionen und der benutzten Siebkombinationen die korrigierten Gewichtsprozente und zeichnete die entsprechenden Korngrößenverteilungs-Histogramme.

Zur Kalibrierung der Analysensiebe gibt es mehrere Methoden (DIN 66165, 1981; HAVER & SCHÖNBAUER, 1978; LESCHONSKI, 1979; McMANUS, 1963; VIEL-HAUER, 1981). Leider stand für die Kalibrierung kein Referenzmaterial bekannter Durchgangssummenkurven zur Verfügung. Die Bestimmung der Trenngrenze der Siebe mit Referenzmaterial erfordert einen vergleichsweise geringen Zeitaufwand. Nachteile sind der hohe Preis des Referenzmaterials und die oft vom zu analysierenden Siebgut abweichenden Siebeigenschaften.

9.6.2.1. Ausmessen der Maschenweiten

Die Maschenweiten der Analysensiebe < 1000 μ m wurden mit einem Mikroskop gemessen (JUNG & SCHLIE, 1983; TORUNSKI, 1978). Pro Sieb wurden ca. 200 Maschen vermessen und somit die nach DIN 4188, Teil 2, geforderte Minimalbedingungen von 60 Messungen pro Sieb weit überschritten. Aus den Meßdaten ließen sich die arithmetische Mittelwerte und die Standardabweichungen der Maschenweiten getrennt nach Kett- und Schußrichtung errechnen. Die Differenz zwischen den Mittelwerten in Kett- und Schußrichtung zeigt, daß die Maschen im Durchschnitt rechteckig sind. Daraus ergeben sich unterschiedliche Trenngrenzen für kugelige (kleinerer Mittelwert) und längliche, plattige Körner (größerer Mittelwert).

Für die Korrektur der gewonnenen Rohdaten der Korngrößenverteilung wurde für jedes Sieb aus den Mittelwerten der Maschenweiten in Kett- und Schußrichtung eine durchschnittliche Maschenweite ermittelt. Aus der Differenz zwischen nomineller Maschenweite und der statistisch ermittelten, effektiven Maschenweite wurden Korrekturfaktoren abgeleitet, die die durch Siebfehler entstandenen Abweichungen korrigieren und die Kurven der Korngrößen-Häufigkeitsverteilungen glätten (Abb. 51).

Dieser probenunabhängige Korrektur-Erfolg rechtfertigt die Anwendung (BAGNOLD, 1942, S. 123 ff.), obwohl die mittleren Maschenweiten der Siebe nichts über die wirksamen Trenngrenzen aussagen (VIELHAUER, 1981).

9.6.2.2. Graphisches Korrekturverfahren

In dieser Arbeit wurden die Siebdaten mit graphisch ermittelten Werten korrigiert. Dieses ist eine verhältnismäßig schnelle und einfache Methode, die zwar ebenfalls nicht die genauen Trenngrenzen der Siebe festlegt, aber Korrekturdaten liefert, die die unterschiedlichen Kurven der Korngrößen-Häufigkeitsverteilungen verschiedener Proben glätten.

Bei diesem Verfahren werden die kumulativen Gewichtsprozente der analysierten Proben auf einem Wahrscheinlichkeitspapier dargestellt. Die Ordinate ist nach dem Gauß'schen Integral geteilt. Auf der gleichmäßig linear geteilten Abzisse werden die Korngrößenklassen in Zeta-Grad aufgetragen. Die kumulativen Gewichtsprozente log-normal verteilter Korngrößenkollektive ergeben in dieser Darstellungsform einen gradlinien Kurvenverlauf. Siebfehler einzelner Siebe werden daran erkannt, daß in bestimmten Korngrößenklassen die entsprechenden kumulativen Gewichtsprozente bei allen Proben vom allgemeinen Trend des Kurvenverlaufs benachbarter Korngrößenklassen abweichen.

Für jedes Analysensieb wurde bei allen Proben die dem Sieb entsprechenden kumulativen Gewichtsprozente in Abzissenrichtung auf den geglätteten Kurvenverlauf projiziert und der dazugehörende Z°-Wert abgelesen (FOLK, 1966). Die Mittelwerte aller Proben (jeweils für ein bestimmtes Analysensieb) ergaben die korrigierten Maschenweiten der Analysensiebe.

Diese korrigierte Maschenweite ist ein Wert, der nicht die wirkliche Trenngrenze des Siebes beschreibt, sondern die relative Trenngrenze des entsprechenden Siebes im Vergleich zu den Nachbarsieben, die ja den jeweiligen Verlauf der Kurve beeinflussen. Das heißt, würden die Trenngrenzen mehrerer aufeinander folgender Siebe alle einheitlich um 0,01 Z° von der nominellen Maschenweite abweichen, würde in der Darstellung keine Kornfraktion eine Abweichung vom allgemeinen Kurvenverlauf zeigen, und es würde keine Korrektur erfolgen. Dieses ist ein Nachteil der graphischen Korrekturmethode.

Ein weiterer Nachteil ist, daß der für ein bestimmtes Analysensieb ermittelte Korrekturwert nur für eine verwendete Siebkombination Gültigkeit hat. Wechselt die Siebkombination, müssen wieder neue Korrekturwerte errechnet werden. Dieses ist nur dann sinnvoll, wenn mit der Siebkombination eine größere Anzahl (> 20) von Proben unterschiedlicher Korngrößenverteilung gesiebt wurden, damit die Abweichung einer bestimmten Kornfraktion auf unterschiedlichen Positionen der Korngrößenverteilungskurven zu liegen kommt und Fehlkorrekturen vermieden werden (BAGNOLD, 1942). Bei Proben mit einer einheitlichen Korngrößenverteilung besteht sonst bei dieser Korrekturmethode die Gefahr, daß sedimentologische Charakteristika als zu korrigierende Analysenfehler interpretiert werden. Die analysierten Proben erfüllen diese Voraussetzungen und verringerten dadurch die Nachteile dieser Korrekturmethode.

Ein Vorteil des graphischen Korrekturverfahrens ist, daß die Differenz der ermittelten Maschenweiten zweier benachbarter Siebe gut die wirkliche Klassenbreite der entsprechenden Kornfraktion angibt. Dadurch wird eine gute Glättung der Korngrößenverteilungskurven ermöglicht. Ein weiterer Vorteil besteht darin, daß das Siebverhalten und die relativen Trenngrenzen jeweils für das analysierte Siebgut bestimmt werden. Somit fallen Differenzen weg, die durch unterschiedliche Siebeigenschaften des Siebgutes und eines zur Kalibrierung verwendeten Referenzmaterials (z.B. Glaskugeln) entstehen.

Die erfolgreiche Glättung unterschiedlicher Korngrößenverteilungskurven rechtfertigt das graphische Korrekturverfahren (Abb. 51).

9.6.2.3. Zähl-Wäge-Verfahren

Zur Bestimmung der Trenngrenzen der verwendeten Analysensiebe wurde aus unterschiedlich großen Glaskugeln der Fa. DRAGON-WERK GEORG WILD GmbH & Co. KG ein Siebgut zusammengestellt und unter den gleichen Bedingungen wie das Probenmaterial gesiebt. Nach der entsprechenden Siebdauer wurden die Siebe einzeln aus dem Siebsatz entnommen, leicht gegen den Siebrahmen ge-klopft, die dann noch durch das Sieb fallenden Glaskugeln aufgefangen und aus der Anzahl und dem Gewicht der Kugeln der mittlere Durchmesser dieser sehr engen Kornfraktion errechnet. Das spezifische Gewicht der Glaskugeln wurde pyknometrisch bestimmt. Der mittlere Korndurchmesser der aufgefangenen Glaskugeln entspricht der Trenngrenze des Siebes bei kugel-

förmigem Siebgut (HAVER & SCHÖNBAUER, 1978; LESCHONSKI, 1979; VIELHAUER, 1981). Die Trenngrenze eines Siebes ist nicht nur ein vom Sieb, sondern auch vom Siebgut abhängiger Parameter. Weicht die Kornform eines Siebgutes von der Kugelgestalt ab, so ergibt sich eine andere Trenngrenze. Trenngrenzen können für jedes Siebgut ermittelt werden und entsprechen per definitionem dem mittleren Äquivalentdurchmesser der zuletzt durch das Sieb gefallenen Körner.

Ein für das Zähl-Wäge-Verfahren verwendetes Siebgut sollte ein möglichst großes Korngrößenspektrum umfassen, in dem auch alle Korngrößen vertreten sind. Weiterhin sollte es nicht zu Bruch, Abrieb oder zur Agglomeration neigen. Aus diesen Gründen wurden Glaskugeln als Siebgut ausgewählt. Sie bieten auch den Vorteil, daß die Kornform und die spezifische Dichte weitgehend von der Korngröße unabhängig sind. Als Trenngrenze wird zwar ein Wert ermittelt, der nur für ein stark ausgefallenes Siebgut Gültigkeit hat, aber trotzdem für ein Siebgut mit anderen Kornformen einen Durchschnitts- wert repräsentiert.

Von dem Testsiebgut wurde eine größere Menge hergestellt. Repräsentative Teilmengen können zur Eichung der Siebe verwendet werden, um in gewissen Zeitabständen schnell zu überprüfen, ob die Siebe noch die gleichen Trenngrenzen haben oder eventuell bei der Reinigung beschädigt worden sind und sich die Trenngrenzen dadurch verschoben haben.

Obwohl das Zähl-Wäge-Verfahren zur Bestimmung der Trenngrenze theoretisch einwandfrei ist (VIELHAUER, 1981), hat es doch den Nachteil, daß es sehr zeitaufwendig ist. Besonders mühsam ist das Auszählen der feinkörnigen Fraktionen, die die Trenngrenzen der feinmaschigen Siebe repräsentieren. Um eine hinreichend hohe Genauigkeit zu erreichen, müssen zum Beispiel für ein 63 µm Sieb bis zu 30 000 Körner ausgezählt und gewogen werden (ca. 10 mg). Für Siebe unter 250 µm wäre es deshalb angebracht, die Körner elektronisch nach dem COULTER-Prinzip zu zählen (LESCHONSKI, 1979). Dieser Nachteil führte dazu, daß das Zähl-Wäge-Verfahren nicht zur Korrektur der Siebdaten benutzt wurde, denn es stand kein elektronisches Zählgerät zu Verfügung und die Auszählung der Siebe < 250 µm wäre zu aufwendig gewesen. Um einen methodisch bedingten Bruch bei 250 µm in den korri-

gierten Histogrammen der Korngrößen-Häufigkeitsverteilung zu vermeiden, wurden auch die Fraktionen > 250 µm nicht nach dem Zähl-Wäge-Verfahren korrigiert.

Insgesamt wurden 16 Siebe > 250 µm nach dem Zähl-Wäge-Verfahren kalibriert. Einige Trenngrenzen wichen erheblich von der nominellen Maschenweite ab. Bei einem 400 µm Sieb betrug die Trenngrenze sogar 440 µm. Im Durchschnitt lag die Trenngrenze ca. 4 % über der nominellen Maschenweite der Siebe. Die ausgemessene Maschenweite (Kap. 9.6.1.2.) war im Durchschnitt (18 Siebe) nur 1,5 % größer als die nominelle Maschenweite. Daß die Trenngrenze der Siebe meist größer ist als die ausgemessene effektive Maschenweite, ist ein Beweis dafür, daß bei fortschreitender Siebdauer die mittlere Korngröße der durch das Sieb fallenden Körner immer gröber wird. Die Trenngrenze verschiebt sich zu immer größeren Maschenweiten, und gegen Ende des Siebvorganges bestimmen nur noch wenige große Maschen die Trenngrenze des Siebes.

9.6.3. Auswertung der Korngrößenanalyse

9.6.3.1. Korngrößenmaßstäbe

Zwei Skalen mit logarithmischer Merkmalsteilung bilden relativierende Maßstäbe für die Auswertung und Darstellung von Korngrößenverteilungen (KRUMBEIN, 1938; WALGER, 1964; McMANUS, 1982). In dieser Arbeit wurde die Zeta-Skala als Maßstab genommen, da die verwendeten Analysensiebe entsprechend DIN 4188 in 0,1 Zeta-Grad abgestuft waren. Die Phi-Skala wird überwiegend in der amerikanischen und angelsächsischen Literatur als Korngrößenmaß benutzt und bildet die Basis der Siebnormen ASTM E 11- 70 und BS 410 : 1962. Die Gradeinteilungen beider Skalen sind wie folgt definiert (x = Korndurchmesser in mm).

$$Z^{\circ}$$
 (Zeta-Grad) = -lg $\frac{x}{2}$; Φ° (Phi-Grad) = + log₂x

Daraus ergibt sich:

$$x = 10^{-Z^{\circ}} \cdot 2$$

$$\Phi^{\circ} = \frac{Z^{\circ}}{1g \ 2} - 1$$

$$X = 2^{-\Phi^{\circ}}$$

$$Z^{\circ} = 1g \ 2 \ (\Phi^{\circ} + 1)$$

9.6.3.2. Statistische Korngrößenparameter und Häufigkeitsanalyse

Nach der Glättung der Korngrößen-Häufigkeitsverteilungen durch das graphische Korrekturverfahren wurden sie von einem Computer als Histogramme geplottet (Kap. 9.6.2.). Für die Interpretation der Korngrößen-Häufigkeitsverteilung wurde der gesamte Kurvenverlauf betrachtet. Veränderungen des Kurvenverlaufs im Vergleich zu benachbarten Proben lassen eher Deutungsmöglichkeiten zu als die sonst üblichen statistischen Parameter einer Korngrößenverteilung: Mittelwerte (mean, median), Sortierung (So $\equiv \sigma$), Schiefe (Sk) und Kurtosis (K). FOLK (1966, S. 77) schreibt dazu: "No 'overall' parameters or combination of them (mean, σ , Sk or K) is adequat to reveal all the properties of a complex frequency distribution; the entire curve must be seen to be appreciated, just as no antropologist can adequately characterize a Brigitte Bardot by four measurements alone."

Fast alle in der Natur vorkommenden Korngrößenverteilungen sind Mischverteilungen, die aus mehreren logarithmischen Normalverteilungen zusammengesetzt sind (WALGER, 1961; NEUMANN, R., 1963). Auch die Korngrößenverteilungs-Histogramme der analysierten Proben lassen polymodale Verteilungen erkennen. Sinnvoller als die Berechnung der aufgeführten Parameter ist deshalb eine Häufigkeitsanalyse auf dem Wahrscheinlichkeitspapier, bei der Mischverteilungen in Normalverteilungen zerlegt werden (Methode DAEVES & BECKEL, 1958; NEUMANN, R., 1963; HENGST, 1967). Die Korngrößen-Mischverteilungen der analysierten Proben sind am anschaulichsten durch die Mittelwerte, die Standardabweichungen und die prozentualen Anteile der log-normal verteilten Teilkollektive zu beschreiben (Tab. 8 bis 12). Die Standardabweichung (σ) der Teilkollektive entspricht in diesem Falle dem Sortierungsmaß nach OTTO (1939) und INMAN (1952).

Sortierungsmaß So =
$$0.5 (P_{18} - P_{89})$$

Ansteigende Korngrößen (µm) wurden in dieser Arbeit auf der Abzisse von links nach rechts aufgetragen. Deshalb sind die Perzentile P₁₆ und P₈₄ vertauscht. Das Sortierungsmaß wird in Phi-Graden angegeben (Transformation: $So_{Z^{\circ}} = So_{\Phi^{\circ}} \cdot 1g$ 2).

9.7. Grobkornanalyse

9.7.1. Untersuchungsverfahren

Es gibt mehrere Methoden die quantitative Zusammensetzung der Grobfraktion (> 63 μ m) von Sedimenten zu ermitteln (SARNTHEIN, 1971). In allen Fällen bildeten die durch die Siebung gewonnenen Korngrößenfraktionen das Untersuchungsmaterial der Grobkornanalyse.

Bei der Komponenten-Volumen-Analyse werden Streupräparate der Korngrößen-fraktionen mit Kunstharz gehärtet und Dünnschliffe angefertigt. In einem nach der Korngröße festgelegten Punktraster werden die Schliffe ausgewertet. Die einzelnen Anteile unterschiedlicher Komponenten entsprechen Volumenanteilen (SARNTHEIN, 1971; GINSBURG, 1956).

Besonders zwei Merkmale sprechen bei dem vorliegenden Probenmaterial gegen diese Methode: der hohe Zeitaufwand für die Präparation und die geringe Unterscheidbarkeit verschiedenartiger Molluskenschalen bei Durchlicht.

Mit der Komponenten-Gewichts-Analyse (BARNHART, 1963) und der Kornzahl-Analyse der Komponenten wurde die Zusammensetzung holozäner Sedimente der North Lagoon untersucht. Bei beiden Methoden erfolgte die Bestimmung der einzelnen Komponenten unter einem Binokular im Auflicht. SARNTHEIN (1971) gibt einen Vergleich der drei unterschiedlichen Arbeitsmethoden und zeigt ihre Vor- und Nachteile auf.

9.7.1.1. Komponenten-Gewichts-Analyse

Die gröbste Korngrößenfraktion (> 3150 μ m) besteht aus sehr unterschiedlich großen Körnern mit verschiedenen Kornformen und -volumina. Um die größeren und schwereren Körner stärker zu berücksichtigen als kleine, wurden die einzelnen Komponententypen der Fraktion > 3150 μ m ausgelesen und gewogen. Die stärkere Wichtung schwererer Komponenten wird durch folgende Punkte gerechtfertigt:

- Da alle Komponenten aus Kalziumkarbonat bestehen, haben sie ungefähr ein gleich großes spezifisches Gewicht. Gewichtsprozente entsprechen also Volumensprozenten. Bei unterschiedlich großen Körnern würden aber nur aus der Anzahl der Körner errechnete Prozentanteile nicht den Volumensprozenten entsprechen (Kap. 9.7.1.2.).
- Schwerere und größere Komponenten sind eher autochthon als leichte.
 Sie sind deshalb für eine Interpretation der Sedimentgenese besonders wichtig.

Die Ergebnisse dieser Untersuchungsmethode sind Gewichtsprozente der verschiedenen Komponententypen. Obwohl die Komponenten ungefähr ein gleiches spezifisches Gewicht haben, entsprechen sich zwar Gewichts- und Volumen-prozent, sind aber nicht gleich, denn einige Komponenten haben ein massiv gebautes Skelett und andere ein leicht gebautes.

9.7.1.2. Kornzahl-Analyse der Komponenten

Die Körner einer Siebfraktion (Klassenbreite 0,1 Z°) wurden bestimmten Komponententypen zugeordnet und ausgezählt, von den feinkörnigen Fraktionen (< 1000 μ m) nur jede zweite oder dritte aufeinander folgende Korngrößenfraktion, durchschnittlich pro Probe 9 Siebfraktionen von insg. 17.

Lag die Anzahl der Körner pro Fraktion ungefähr über 800, wurde die Menge mit einem Riffelteiler geteilt. Feinkörnige Fraktionen mußten mehrmals bis zur Menge einer Schüttung auf der Ausleseskala herabgeteilt werden. War bei Fraktionen < 500 µm trotz lockerer Streuung die Kornzahl zu hoch, wurden nur ca. 10 Felder der Ausleseschale ausgezählt.

Die Korngrößenklassen der Siebfraktionen sind 0,1 Z° breit und somit eng genug, um die Körner einer Fraktion als annähernd gleich groß zu betrachten. Die aus der Anzahl der Körner eines Komponententypes abgeleiteten Häufigkeitsprozente entsprechen deshalb ungefähr den Volumen- und Gewichtsprozenten (SHEPARD & MOORE; 1954; SARNTHEIN; 1971).

9.7.2. Auswertung und Darstellung

Die Gewichts- (> 3150 μ m) beziehungsweise Häufigkeitsprozente (63 - 3150 μ m) der unterschiedlichen Komponenten in der jeweiligen Korngrößenfraktion werden in Tabellen dargestellt. Diese Prozentangaben entsprechen der relativen Häufigkeit bzw. dem relativen Gewicht der Komponenten in einer eng begrenzten Korngrößenfraktion (Tab. 14, 15). Die Prozentanteile einzelner Komponenten einer Korngrößenfraktion an der Gesamtprobe wurden durch Multiplikation mit dem prozentualen Gewicht der jeweiligen Korngrößenfraktion errechnet. Durch Aufsummierung der Ergebnisse bestimmte ich die Zusammensetzung der Sandfraktion (63 - 2000 μ m) und der Fraktion > 2000 μ m (Tab. 14, 15).

Die Prozentzahlen nicht ausgewerteter Korngrößenfraktionen wurden durch lineare Interpolation zwischen der nächst größeren und der nächst kleineren Korngrößenfraktion ermittelt. Dieses Verfahren ist zulässig, denn die Abweichungen zwischen interpolierten und zur Kontrolle gemessenen Resultaten lagen bei mehreren Proben innerhalb des statistischen Reproduktionsfehlers einer Komponentenanalyse mit ca. 200 Messungen (PLAS & TOBI, 1965).

Bei der Umrechnung von Prozentanteilen der Komponenten innerhalb einer Korngrößenfraktion in Prozentanteile der Gesamtprobe erhält man bei den Fraktionen < 3150 µm Werte, die einem Mischwert aus Häufigkeitsprozenten und Gewichtsprozenten entsprechen. Da die Klassenbreiten der untersuchten Korngrößenfraktionen sehr eng sind und die spezifischen Gewichte der Komponenten annähernd gleich sind, entspricht dieser Mischwert den Volumenprozenten (Kap. 9.7.1.2.; SARNTHEIN, 1971).

In Abbildungen ist die Darstellung von Prozentanteilen der Komponenten im Sediment (Abb. 44) den Prozentanteilen innerhalb einer Korngrößenfraktion (Abb. 45) vorzuziehen. Ein einfaches Beispiel erklärt dieses. Nimmt innerhalb einer bestimmten Fraktion ein Komponententyp erheblich zu, so werden die relativen Prozentanteile der anderen Komponenten kleiner. Sie werden verdünnt. Wenn jedoch durch die Zunahme des einen Komponententyps auch der Gewichtsanteil der Korngrößenfraktion im Sediment zunimmt,

was haufig der Fall ist, dann bleiben die Prozentanteile der Korntypen bezogen auf die Gesamtprobe annähernd konstant (Beispiel: Kern NL 048, Fraktion > 3150 μ m, Kernabschnitt 68 - 117 cm: nach oben hin Zunahme der Prozentanteile von Laevicardium laevigatum bezogen auf die Fraktion > 3150 μ m, Tab. 15, bei konstanten Prozentanteilen bezogen auf die Gesamtprobe, Abb. 48).

9.7.3. Fehlerbetrachtung

In die Grobkornanalyse fließen angefangen bei der repräsentativen Probenahme, über Probenteilung, Korngrößenanalyse, erneute Probenteilung und Bestimmung der einzelnen Komponenten so viele Fehler ein, daß eine Angabe der Ergebnisse in gerundete Prozentzahlen sicher noch eine zu große Genauigkeit vortäuscht. SARNTHEIN (1971) gibt eine Übersicht der Fehlerquellen und Schätzwerte der Fehlergrößen. Jedoch ist die Genauigkeit, mit der er seine Ergebnisse darlegt (0,1 Promill), nicht gerechtfertigt.

Bestimmungsfehler sind in den zuerst ausgelesenen Proben sicher größer als in den später untersuchten. Der Gesamtfehler ist aber bei allen Proben ungefähr gleich groß, denn es wurden zunächst die gröberen Fraktionen aller Proben bestimmt und erst nach und nach die feinkörnigeren. Durch diese Abfolge in der Bearbeitung war es auch leichter, die feinkörnigen Fraktionen in einzelne Komponententypen zu unterteilen. Der Anteil an unbestimmten Körnern in diesen Fraktionen ist trotzdem sehr groß.

Einige Proben wurden doppelt bestimmt und die Resultate miteinander verglichen. Die Abweichungen sind nur selten – überwiegend bei Komponenten mit einem sehr geringe Anteil – größer als der statistische Reproduktionsfehler (2 σ), der aus dem Diagramm von PLAS und TOBI (1965) zu entnehmen ist. SARNTHEIN (1971) ermittelte ähnliche Fehlergrenzen.

9.7.4. Beschreibung der Kornarten

Die in der Grobkornanalyse unterschiedenen Kornarten sind $\underline{\text{doppelt}}$ $\underline{\text{unterstrichen}}$.

Mollusken

Die Mollusken wurden nach ABBOTT (1974) und REHDER (1981) bestimmt (Tab. 16). Die Schalen der Mollusken bestehen aus Aragonit und/oder Kalzit.

Gastropoden

<u>Astraea phoebia</u>; Merkmale: stark skulpturiertes, kegelförmiges Gehäuse, hellgelb, leicht grünlich, kräftige abgeplattete Stacheln an der Windungsperipherie, an der Schalenbasis ausgeprägte Spiral- und mündungsparallele sichelförmige Anwachsstreifung, stabiles Operculum; Korngrößenbereich: > 2000 µm

<u>Vermicularia</u>; überwiegend <u>Vermicularia spirata</u>, seltener <u>V. knorrii</u>; Merkmale: einige Gehäusewindungen zunächst schraubenförmig, dann irregulär, dünne Schale, hellbraun bis weiß, Spiralstreifen, leicht rechteckiger Windungsquerschnitt, zerbricht leicht; Korngrößenbereich: häufig > 500 μm, einige Bruchstücke bis 100 μm

Modulus modulus; Merkmale: kreiselförmiges Gehäuse, weiß bis hellbraun, knotig skulpturiert, runde Windungen, schräg liegende runde Mündung, Zahn an der Spindelbasis; Korngrößenbereich: häufig > 1600 μm, einige Bruchstücke bis 1000 μm

<u>Cerithium lutosum</u>; Merkmale: mehrmals gewundenes Gehäuse, langgestreckt und spitz, Farbe unterschiedlich, dunkelbraun mit weißen Flecken; im Unterschied zu <u>Batillaria minima</u> längerer gerader Siphonalkanal, äußerer Mündungsrand innen gezahnt, knotige Spiralstreifung; Korngrößenbereich: > 1250 μm

Finella; überwiegend Finella adamsi, seltener F. dubia; Merkmale: mehrmals gewundenes Gehäuse, klein und spitz, weiß (F. dubia: selten hellbraun gefärbt), runde Mündung; F. adamsi: stärker skulpturiert, perlenartige Knotenreihen und schwach genetzt durch Axialund Spiralrippen; F. dubia: nur obere Windungshälfte leicht gekrümmte Anwachsrippen, Spiralrippen sind zahlreich, irregulär und dünn; Korngrößenbereich: $200 - 2500 \, \mu m$

<u>Columbella mercatoria</u>; Merkmale: stabile Schale, weiß, braun, gelb oder orange geflammt, kurzes Gewinde, langgestreckte Endwindung, spindelförmig, Spiralstreifung, an der Basis Spindelfalten, langgestreckte und schmale Mündung, äußerer Mündungsrand verdickt und innen gezahnt; Korngrößenbereich: > 1600 µm

Nassarius albus; Merkmale; festes Gehäuse, weiß, starke und breite Axialrippen, Spiralstreifung, äußerer Mündungsrand innen gezahnt, kurzer Siphonalkanal; Korngrößenbereich: > 1600 um

<u>Bulla striata</u>; Merkmale: Gehäuse blasenförmig, fleckig braun, leicht violett gefärbt, Gewinde nabelartig eingesenkt, Mündung langgestreckt; Korngrößenbereich: $> 1250~\mu m$

<u>übrige Gastropoden</u>; Gastropoden, die nicht zu den in der jeweiligen Tabelle (Tab. 14, 15) vorher aufgeführten Gastropodenarten gehören, unbestimmte Gastropoden oder Gastropodenbruchstücke, unbestimmte Opercula, auch Larvalstadien (Protoconch); Korngrößenbereich: > 63 μm

Bivalven

Pteriacea; Pinctada imbricata und Isognomon Arten; Merkmale Pinctada imbricata: langer, gerader Schloßrand, vorne dreieckiges Aurikel, Ligament lang und etwas eingesenkt, Schale hellgrün, stellenweise leicht rosa; Merkmale <u>Isognomon</u>: mehrere Ligamentgruben im Schloßrand, Schale grau, gelb oder leicht violett; die Arten beider Gattungen haben Schalen, die aus mehreren dünnen Perlmutt-Lagen aufgebaut sind und sehr leicht zerfallen. Bruchstücke sind dünne Perlmutt-Blättchen, die nicht mehr den verschiedenen Arten zugeordnet werden können; Korngrößenbereich: > 63 μm

 $\underline{\underline{Codakia}}$; > 3150 μm noch unterteilt in $\underline{\underline{C}}$. $\underline{\underline{orbicularis}}$, $\underline{\underline{C}}$. $\underline{\underline{costata}}$ und $\underline{\underline{C}}$. $\underline{\underline{orbiculata}}$; Merkmale: stabile Schale, weiß, ausgeprägte radiale und konzentrische Skulpturierung; Korngrößenbereich: > 1000 μm

<u>Crassinella lunulata</u>; Merkmale: kleine Schale, weiß bis hellbraun, dreieckige Form, konzentrische Rippen; Korngrößenbereich: > 1000 µm

Laevicardium laevigatum; Merkmale: Schale elliptisch, höher als lang, weiß, manchmal leicht fleckig gefärbt, kräftige Seitenzähne, Ventralrand innen leicht gezahnt, undeutliche Radialstreifung; Korngrößenbereich: > 1000 µm

<u>Ervilia</u>; 3 unterschiedliche <u>Ervilia</u>-Arten; Merkmale: kleine Schale, weiß, rosa, selten gelb, konzentrische Rippung, seltener radiale Rippung, große Mantelbucht; Korngrößenbereich: > 1000 μm

Tellinacea; mehrere Tellina-Arten; andere häufige Arten sind: Strigilla mirabilis, Psammotreta intastriata, Semele proficua, Tagelus divisus; Merkmale: Schalen klein bis mittelgroß, meistens länger als hoch, hinten oft schnabelartig verlängert und abgewinkelt, dünnschalig, zwei Cardinalzähne (manchmal zweigeteilt) in jeder Klappe, große Mantelbucht; Bruchstücke oft schwierig zu identifizieren; Korngrößenbereich: > 1000 μm

<u>Gouldia cerina</u>; Merkmale: kleine Schale, weiß, selten violette oder braune Flecken, Schloß in der Mitte, netzartig skulpturiert, konzentrische Rippen dominieren, hinten ausgeprägte Radialrippung, unscheinbare sehr kleine Mantelbucht; Korngrößenbereich: > 400 µm

Pitar fulminata; Merkmale: Schalen stark gewölbt, hinten breiter als vorne, weiß mit gelbbraunen Flecken oder Zickzack-Linien, Wirbel sitzt weit vorne (prosogyr), deutliche kurze Mantelbucht; Korngrößenbereich: > 1000 µm

<u>übrige Bivalven</u>; Bivalven, die nicht zu den in der jeweiligen Tabelle (Tab. 14, 15) vorher aufgeführten Bivalven gehören, unbestimmte Bivalvenbruchstücke, auch juvenile Schalen; Korngrößenbereich: > 63 µm

Foraminiferen

In dieser Klasse wurden insgesamt nur fünf Komponententypen unterschieden. Bestimmungsliteratur war LOEBLICH & TAPPAN (1964) und STEINKER (1980).

<u>Miliolidae</u>; häufig sind Arten der Gattung: <u>Quinqueloculina</u>, <u>Triloculina</u> und <u>Miliolinella</u>; Merkmale: porzellanartige Schale (Mg-Kalzit), unterschiedliche Schalenformen, häufig länglich gestreckte Gehäuse (miliolin), wechselnde Aufrollungsebene; Korngrößenbereich: 63 - 800 µm

Soritidae; häufig sind Arten der Gattungen Archaias, Cyclorbiculina, Peneroplis, Broeckina und Amphisorus; Merkmale: relativ große Individuen, massive Schale (Mg-Kalzit), porzellanartig, häufig planspiral, adulte Schalen auch serial, häufig discoidal; Korngrößenbereich: 80 - 2500 µm, selten > 2500 µm

Homotrema rubrum (Unterordnung Rotaliina); Merkmale: rotes bis schwach rosarotes Skelett (Mg-Kalzit), gekammert; äußere Form: rundlich oder ästig, irregulär; Korngrößenbereich: $>63~\mu\text{m}$, unzerbrochene Exemplare auch bis 5000 μm

<u>ubrige Rotaliina</u>; häufig sind Arten der Gattung: <u>Elphidium</u>, <u>Bolivina</u>, <u>Discorbis und Ammonia beccarii</u>; Merkmale: durchsichtige Schalen (hyalin, Kalzit, selten Aragonit), perforat; Korngrößenbereich: 63 - 630 µm

<u>ubrige Foraminiferen</u>; Foraminiferen oder Foraminiferen-Bruchstücke, die nicht eindeutig den vorher genannten Foraminiferengruppen zugeordnet werden konnten; Korngrößenbereich: 63 - 1250 µm

<u>agglutinierte Wurmröhren</u> (mehrere Familien der Sedentaria); Merkmale: unterschiedlich große Fragmente von Röhren aus aneinander zementierten Sedimentpartikeln, \emptyset ca. 3 - 4 mm, Innenfläche der Röhren glatt, Außenfläche durch unterschiedlich große Sandkörner rauh; Korngrößenbereich: > 80 μ m

<u>Ostrakoden</u>; Merkmale: relativ dünne, häufig durchsichtige Schalen (Mg-Kalzit, stellenweise noch Chitin-Lagen), weiß, einzelne Porenkanäle; Korngrößenbereich: 63 - 630 µm

<u>Alcyonaria-Spiculae</u> (Sklerite); Merkmale: kleine spindelförmige Kalknadeln (Mg-Kalzit) von Octocorallen, weiß bis rot, gleichmäßig mit Warzen besetzte Oberfläche (PESTANA, 1977); Korngrößenbereich: 63 - 200 µm

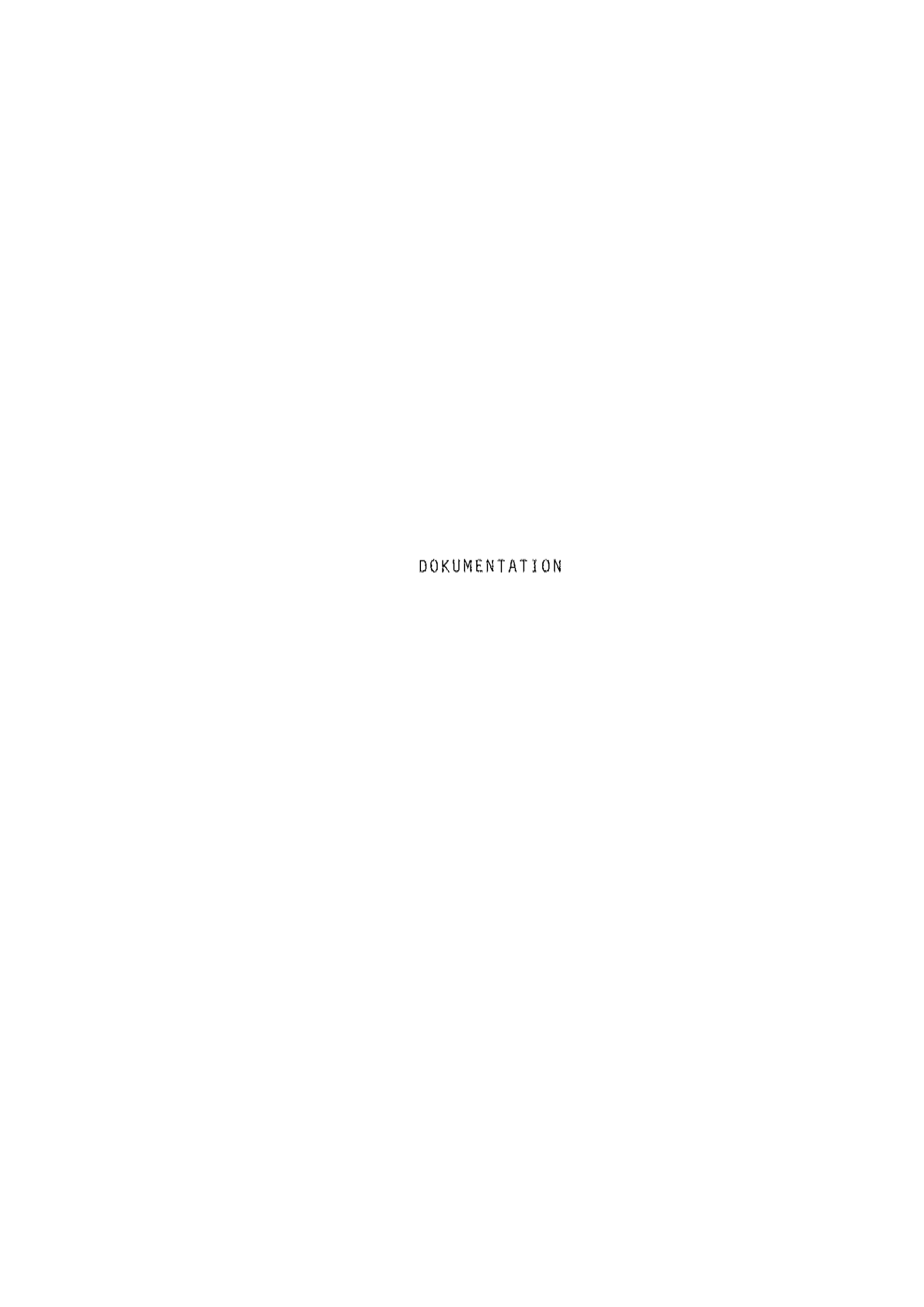
Kalkalgen

Halimeda, Segmente und Segment-Bruchstücke unterschiedlicher Halimeda-Arten; Merkmale: zylindrische oder fächerförmige Segmente (Aragonit) mit drei stumpfen Spitzen; äußere Wandung: dicht, genarbte Oberfläche; innerer Teil: stark porös, fibrös, von Kanälen durchzogen, zerfällt sehr leicht; Korngrößenbereich: > 63 µm

Rhodophyceen, Fragmente kalkabscheidender Rotalgen-Gattungen (Mg-Kalzit), häufig sind: Liagora, Galaxaura, Lithothamnium, Fosliella, Lithophyllum, Goniolithon, Amphiroa, Corallina, Jania; Merkmale: unterschiedliche Formen, häufig langgestreckte Zylinder, einige inkrustierend, unterschiedliche Anordnung der kalzitisierten primären Zellstruktur, die bei starker Vergrößerung auf der Oberfläche zu erkennen ist (GARRETT, 1969; PESTANA, 1977); Korngrößenbereich: > 63 μm.

andere Körner (unbedeutende Biogenteilchen): Dieser Komponententyp beinhaltet Fragmente von Echinodermata, Crustacea, Scleractinia, Hydrozoa, Bryozoa, außerdem Kalkröhren (Serpulidae) und Pflanzenreste

unbestimmte Körner; unbestimmter Reliktbiodetritus (SARNTHEIN, 1971); Körner, die sich keiner der vorher aufgeführten Biogengruppen sicher zuordnen lassen; subfossile Körner, deren Porenraum sehr stark mit Silt
und Zement verfüllt ist und die Internstruktur aufgelöst ist (häufig bei
Halimeda, GINSBURG, 1956, S. 2425 und ILLING, 1954, S. 21), häufig sind
auch kleine längliche Kalzitprismen mit dünnen bräunlichen Lagen senkrecht zur Längsachse (MOLLER & MOLLER, 1967).



Kernbeschreibungen

Kerne aus der North Lagoon, Bermuda (Abb. 24 bis 43, Kap. 9.5.) Die Kerne wurden mit einem preumatischen Vibrationslot genommen (MEISCHNER et al., 1981), Position: Lat. 32°22'02"N Long. 64°42'58"W; off Whalebone Bay (Ferry Point) N L 0 0 1 / 3 Kernrohr: Aluminiumrohr 90 x 2,5 mm Wassertiefe: 16.4 m Kernlänge: 4,37 m Kerngewinn: 73 % Eindringtiefe: 6.0 m Karbonatsand, mittel- bis grobkörnig, stark siltig und tonig, schlecht sortiert, stark bioturbat, 0 - 130 cm hellgrau leicht gelb (Munsell soil color 2.57 8/2); mehrere kleine Muschelschalen: Gouldta cerina, Pitar fulminata (geschützt lagunar, geringe Wasserbewegung) Karbonatsand, mittel- bis grobkörnig; nach unten hin: weniger siltig und tonig, besser sortiert; 130 - 180 cm bioturbat, hell gelbgrau; wenige kleine Muschelschalen, <u>Halimeda</u> (z.T. noch mit Chlorophyll) (geschützt lagunär, zeitweise stärkere Wasserbewegung) Karbonatsand. mittelkörnig, schwach grobkörnig und siltig, leicht schichtig, gut sortiert. schwach bioturbat, hell graugelb (2,5Y 8/4); viel Halimeda, wenige kleine Muschelschalen, stellenweise aufgearbeitetes torfiges Material. 180 - 230 cm (offen lagunar, starke Wasserbewegung) Karbonatsand, grob- bis mittelkörnig, schwach siltig und tonig, schlecht sortiert, schwach bioturbat, hell graugelb; viel Grobschill; Muschelschalen: Codakia orbicularis, Pinctada imbricata; viele Schneckenschalen: Modulus modulus, Bulla striata; viel Halimeda, etwas aufgearbeitetes torfiges Material, $230 - 250 \, \text{cm}$ braune Schlieren (Flachwasser, offen lagunär, starke Wasserbewegung, aufgearbeitete Sedimente einer Seegraswiese) Grenze: unregelmäßig, erosiv, bioturbat 250 - 290 cm Karbonatgyttja, feinkörnig, an der Basis etwas gröber, feinschichtig (mm-Bereich), braungrau; einige Wühlgänge, verfüllt mit Karbonatsand aus dem Hangenden; wenige Torfgerölle (bis 1 cm ϕ); einige Schneckenschalen: Bulla striata, Olivella sp.; an der Basis viele Schneckenschalen: Bulla striata, Cerithium lutosum, Olivella sp., Modulus modulus, Nassarius albus, Vermicularia spirata.
Paludestrina bermudensis, Planorbis sp.
(Flachwasser, marsh - pond, restricted marin, geringe Wasserbewegung)
Basis erosiv mit Anreicherungs-Schill, einige Schneckenschalen aus aufgearbeiteten Brack- und Süßwasserablagerungen Holozán Pleistozán forf (oben: Torfmudde), braunschwarz, viele vertikal stehende Pflanzenstücke ϕ 5 mm bis zu 8 cm lang, geringe Durchwühlung 290 - 337 cm Karbonatsand, mittel- bis grobkörnig, leicht schichtig, gut sortiert, nicht zementiert, braungelb viele Muschelschalen: Transennella sp., Glycymeris sp.; einige Schneckenschalen: Cerithium sp., Olivella sp.; einige Korallen-Bruchstücke; Seeigel-Bruchstücke: Mellita sp. 337 - 363 cm 363 - 437 cmKarbonatsand, schichtig: mittelkörnig, gut sortiert, schwach zementiert, hell braungelb; grob- bis mittelkörnig, schlechter sortiert, stark zementiert, hell braungrau; wenige Schalen, viel Halimeda Position: wie bei NL 001/3 N L 0 0 1 / 5 Kernrohr: quadratisches Kernrohr 100 x 100 mm Wassertiefe: 16.4 m Kernlänge: 4,43 m Kerngewinn: 75 % Eindringtiefe: 5,9 m Karbonatsand, mittel- bis grobkörnig, stark siltig und tonig, schlecht sortiert, stark bioturbal, hellgrau leicht gelb (Munsell soil color 2,5Y 8/2); mehrere kleine Muschelschalen ø ca. 3 mm: Gouldia cerina, Ervilia sp., Codakia orbiculata, 0 - 110 cm C costata, Pitar fulminata (geschützt lägunar, geringe Wasserbewegung) Karbonatsand, mittel- bis grobkörnig; nach unten him: weniger siltig und tonig, besser sortiert; 110 - 150 cm bioturbat, hell gelbgrau; mehrere kleine Muschelschalen (Obergangszone) Karbonatsand, mittelkörnig, schwach grobkörnig, wenig Silt, gut sortiert, bioturbat, hell 150 - 230 cm graugelb (2,5Y 8/4); viel Halimeda

(offen lagunär, zeitweise stärkere Wasserbewegung)

230 – 270 cm	Karbonatsand, grob- bis mittelkörning, schwach siltig und tonig, schlecht sortiert, stark bioturbat, hellgrau leicht braun (10YR 6/2); viel Grobschill; viele Muschelschalen: Laevicardium laevigatum z.T. doppelklappig, Codakia orbicularis, C. costata, Pinckada imbricata; sehr viel Hallmeda; etwas aufgearbeitetes torfiges Material, braune Schlieren. (Flachwasser, offen lagunär, starke Wasserbewegung, aufgearbeitete Sedimente einer Seegraswiese)
270 - 285 cm	Karbonatsand, mittelkörning, gut sortiert, schwach bioturbat, Wühlgänge verfüllt aus dem Hangenden, hellgrau leicht gelb; wenig Grobschill, etwas aufgearbeitetes torfiges Material, braune Schlieren (Flachwasser, offen lagunär, starke Wasserbewegung)
	Grenze: unregelmäßig, bioturbat, erosiv
285 - 290 cm	Karbonatgyttja, feinschichtig (mm-Bereich), braungrau, stark durchwühlt; mehrere Schneckenschalen: Olivella sp., Cerithium lutosum, <u>Modulus modulus, Vermicularia</u> spirata, <u>Bulla striata, Paludestrina bermudensis</u> (Flachwasser, marsh - pond, restricted marin, geringe Wasserbewegung)
	Grenze: unregelmäßig, bioturbat
Holozán	
Pleistozan	
290 - 305 cm	Ton, sehr stark humos, weich, plastisch, dunkel olivgrau bis schwarz (5Y 2/1); mehrere Wühlgänge, verfüllt mit Karbonatsand: mittelkörning, sehr gut sortiert, hellgelb (Strand- sand);
	einige Pflanzenstücke, vertikal stehend. torfig, schwarz, (Wurzeln?) (Residualton, allochthon, durchwurzelt, oder tonige Torfmudde)
305 - 315 cm	Torfmudde oder Torf, weich, plastisch, schwarz (7,5YR 2/0); einige Wühlgänge, verfüllt mit Karbonatsand
315 - 407 cm	Karbonatsand, mittel- bis grobkörnig, schichtig, schlecht bis gut sortiert, schwach bioturbat, unten leicht zementiert, bis 340 cm dunkel graubraun (2,5Y 4/2), weiter unten etwas heller graubraun (2,5Y 5/4; 10YR 5/3); viel Schill: Transennella sp., Barbatia cancellaria, Codakia sp., Chama sp., Bulla striata; einige Korallen-Bruchstücke: Porites sp.; Seelgel-Bruchstücke: Mellita sp.; oberer Abschnitt stark durchwürzelt und humos; einige Gerölle aus zementiertem Karbonatsand,
	eckig bis kantengerundet
407 - 443 cm	Karbonatsand, mittel- bis grobkörnig, schlecht bis gut sortiert, schwach zementiert (kleine Bröckchen), im frischen Zustand dunkel gelbbraun (lüyk 4/4), bildet beim Abtrocknen eine fast schwarze Kruste (lüyk 3/2); wenig Schill; viele kleine Gerölle, mäßig gerundet; obere Hälfte sehr stark mit humosem Material durchsetzt, gelatinös, schwarz, glänzend; einige Torfgerölle; untere Hälfte etwas weniger stark humos, keine Torfgerölle
<u>N L 0 0 2</u>	Position: Lat. 32°23'31"N Long. 64°43'45"W; Murrays Anchorage
Wassertiefe: 14	\$,8 m Kernrohr: quadratisches Kernrohr 100 x 100 mm
	Eindringtiefe: 2,3 m Kernlänge: 2,18 m Kerngewinn: 95 %
0 - 130 cm	Karbonatsand, mittel- bis grobkörnig, stark siltig und tonig, schlecht sortiert, bioturbat,
	hellgrau leicht gelb; mehrere kleine Muschelschalen: <u>Gouldia cerina, Crassinella lunulata, Ervilia</u> sp., <u>Pitar fulminata</u> (geschützt lagunar, geringe Wasserbewegung)
130 - 160 cm	Karbonatsand, mittelkörnig, schwach feinkörnig, mäßig sortiert, bioturbat, hellgrau leicht braun; wenige kleine Muschelschalen (offen lagunär, zeitweise stärkere Wasserbewegung)
160 - 175 cm	Karbonatsand, mittel- bis grobkörnig, schlecht sortiert, braungrau; etwas zersetztes Pflanzenmaterial (Holz), mehrere große Schalenbruchstücke; Gerölle aus zementiertem Karbonatsand, mäßig gerundet (Flachwasser, felsiges Sublitoral, starke Wasserbewegung)
Holozan	100% a. s. 61/00/cs/100cs/00cs/00cs/00cs
Pleistozān	
175 - 218 cm	Karbonatsand, mittelkörnig, gut sortiert, stellenweise stark zementiert, graubraun; mehrere große Muschelschalen: <u>Linga pensylvanica</u> z.T. doppelklappig, <u>Glycymeris</u> sp., <u>Chione</u> <u>cancellata, Divaricella dentata</u> ; Seeigel-Bruchstücke: <u>Mellita</u> sp.

N L 0 1 9 / 2

Position: Lat. 32°22'45"N Long. 64°46'36"W; NW' Bailey's Say Flats

Wassertiefe: 11.2 m

Kernrohr: Aluminiumrohr 90 x 2.5 mma

Eindringtiefe: 6.0 m

Kernlänge: 4.04 m

Kerngewinn: 67 %

0 - 52 cm

Karbonatsand, grob- bis mittelkörnig, von 0 - 15 cm stark siltig und tonig, schlecht sortiert, stark bioturbat, hellgrau leicht gelb; viele kleine Muschelschalen: Gouldia cerina, Pitar fulminata, an der Basis große Schalen von Pinctada imbricata z.T. doppelklappig

(offen lagunar, nach oben hin übergang zu geschützt lagunar)

52 - 137 cm

Karbonatsand, grob- bis mittelkörnig, schwach siltig und tonig, schlecht sortiert, stark bioturbat, hellgrau leicht gelb, ab 100 cm leicht grün; viel grober Muschelschill: Laevicardium laevigatum, Pinctada imbricata, Crassinella lunulata; mehrere große Foraminiferen: Soritidae; etwas Halimeda; an der Basis mehrere Gerölle aus zementiertem Karbonatsand, eckig bis kantengerundet, Algenbewuchs auf den Oberflächen (fädige Braun- und Grünalgen) (Flachwasser, offen lagunär, aufgearbeitete Sedimente einer Seegraswiese; Basis: felsiges Sublitoral, starke Wassserbewegung)

Holozán

Pleistozán

137 - 175 cm Karbonatsand, fein- bis mittelkörnig, schlecht sortiert, bioturbat, stark zementiert, weiß bis helldelb:

einige zersetzte Pflanzenreste (Wurzeln?); viel Schill: <u>Bulla sp., Arca sp.</u>

Grenze: unregelmäßig, bioturbat

175 ± 253 cm

Karbonatsand, grobkörnig, schwach mittelkörnig, mäßig bis gut sortiert, nicht zementiert, bis 222 cm schichtig, hellgrau; bis 222 cm viele kleine Muschelschalen (ca. 1 cm ø): Pitar fulminata, Laevicardium laevigatum, Codakia costata; Bulla sp.; viel <u>Halimeda</u>; ab 222 cm hauptsächlich Rhodophyceen-Bruchstücke und Homotrema rubrum

253 - 404 cm

Karbonatsand, mittel- bis feinkörnig, gut sortiert, ab 385 cm gröber und schlechter sortiert, von 345 bis 390 cm stärker zementiert, hellgelb, ab 375 cm dunkelbraun humos; nur wenige größere Schalen: Chama sp.; Astraea phoebia, Cerithium litteratum, Bulla sp.; einige Rhodophyceen-Bruchstücke, bis 330 cm Homotrema rubrum

NL DZO

Position: Lat. 32"21'45"N Long. 64"45'06"W: Bailey's Bay Flats

Wassertiefe: 12.6 m

Kernrohr: Aluminiumrohr 90 x 2.5 mm

Kernlänge: 2,20 m

Kerngewing: 71 %

0 - 58 cm

Karbonatsand, grob- bis mittelkörnig, stark siltig und tonig, schlecht sortiert, stark bioturbat, hellgrau leicht gelb; mehrere kleine Muschelschalen: <u>Gouldia cerina</u>, <u>Pitar fulminata</u>

(geschützt lagunär, geringe Wasserbewegung)

Grenze: erosiv

Eindringtiefe: 3,1 m

58 ~ 132 cm

Karbonatsand, grob- bis mittelkörnig, schwach siltig, schlecht sortiert, hellgelb bis hellgrau; viele Schalen: Arca sp., Laevicardium laevigatum, Pitar fulminata, Barbatia sp., Cerithium sp., Vermicularia spirata, Columbella mercatoria (offen lagunar, starke Wasserbewegung) ab 80 cm schichtweise sehr viele Gerölle aus zementiertem Karbonatsand, eckig, mit vielen Muschelschalen und Halimeda, dunkelgraue Rinde und Algenbewuchs auf den Oberflächen; an der Basis einige dünne Lagen aus Karbonatsand, feinkörnig, gut sortiert (Strandsand?) (Flachwasser, felsiges Sublitoral, starke Wasserbewegung)

Holozán

Pleistozan 132 - 220 cm

Karbonatsand, grobkörnig, oben auch noch mittelkörnig, gut sortiert, Top und Basis stark zementiert, hellgelb, unten leicht braun;

einige Schalen: Barbatia sp., Arca sp., Chama sp., Spondylus sp., Codakia orbiculata, Linga pensylvanica, Columbella mercatoria; etwas <u>Halimeda</u>, Rhodophyceen-Bruchstucke, Seeigelstachel, nach unten hin zunehmend <u>Homotrema rubrum</u>

N L 021/1

Position: Lat. 32°22'36"N Long. 64°42'13"W; off Cherrystone Hill

Wassertiefe: 18.2 m

Kersrohr: Aluminiumrohr 90 x 2,5 mm

Eindringtiefe: 2,5 m

Kernlänge: 2,01 m

Kerngewinn: 80 %

0 - 69 cm

Karbonatsand, fein- bis grobkörnig, stark siltig und tonig, schlecht sortiert, stark bioturbat, nellgrau leicht gelb; mehrere kleine Schalen: <u>Gouldia cerina</u> (geschützt lagunär, geringe Wasserbewegung)

```
Karbonatsand, grob- bis mittelkörnig, stark siltig und tonig nach unten hin abnehmend, schlecht sortiert, stark bioturbat, hellgrau leicht gelb;
 69 - 144 cm
                        viele Muschelschalen nach unten hin zunehmend: Laevicardium laevigatum, Codakia orbicularis, C. orbiculata, C. costata, Pinctada imbricata, Pitar fulminata, Gouldia cerina; einige Schneckenschalen: Astraea phoebia, Vermicularia spirata; viel Halimeda; einige Gerolle aus zementiertem Karbonatsand
                        (offen lagunar, zeitweise stärkere Wasserbewegung, aufgearbeitete Sedimente einer Seegraswiese)
                        Karbonatsand, grob- bis mittelkörnig, wenig Silt, schlecht sortiert, hellgrau bis graubraun; oben viele Schalen: Codakia orbicularis häufig doppelklappig, <u>Pinctada imbricata</u>, <u>Anodontia philippiana</u> doppelklappig, mehrere <u>Astraea phoebia</u>: viel <u>Halimeda</u>; einige pleistozane Muschel-
144 - 183 cm
                                        T. mit anzementiertem Karbonatsand (Geisterfauna): Glycymeris sp., Chione cancellata
                        Transennella sp.: viele Gerölle aus zementiertem Karbonatsand, an der Basis auch aus vulkanischem Gestein, kantengerundet, häufig fädige Braunalgen auf den Oberflächen (Flachwasser, felsiges Sublitoral, Seegraswiese, starke bis geringe Wasserbewegung)
                        Grenze: erosiv
Holozán
Pleistozän
                        Ton, karbonatfrei, dunkeloliygrün, I bis 2 mm dicke karbonatische Kluftfüllungen; sehr viele Gerölle aus vulkanischem Gestein, dunkelgrau bis schwarz, olivgrüne Verwitterungs-
183 - 201 cm
                        rinde
                        (Residualton mit umgelagertem vulkanischen Material)
N I, 0 2 2
                                           Position: Lat 32°20'09"N Long. 64°46'24"W; W' Crawl Point
Wassertiefe: 11.6 m
                                           Kernrohr: Aluminiumrohr 90 x 2,5 mm
                                           Eindringtiefe: 1.5 m
                                                                                         Kernlänge: 1,16 m
                                                                                                                                  Kerngewinn: 77 %
   0 - 17 cm
                        Karbonatsand, grob- bis feinkörnig, stark silltig und tonig, schlecht sortiert, bioturbat,
                        hellgrau leich gelb;
mehrere kleine Schalen: <u>Gouldia cerina</u>
(geschützt lagunär, geringe Wasserbewegung)
                        Karbonatsand, grobkörnig, weniger feinkörnig, schwach siltig und tonig, schlecht sortiert, bioturbat, hellgrau leicht gelb; mehrere größere Muschelschalen: <u>Laevicardium laevigatum</u>, <u>Tellina</u> sp., <u>Pitar fulminata</u>, <u>Gouldia</u>
 17 - 55 cm
                        cerina
                        Toffen lagunär, aufgearbeitete Sedimente einer Seegraswiese, zeitweise starke Wasserbewegung)
 55 - 77 cm
                        Karbonatsand, grob- bis mittelkörnig, schlecht sortiert, gelb bis hellgrau, stellenweise durch
                        Algen leicht grün gefärbt;
                        einige größere Muschelschalen: Laevicardium laevigatum; mehrere große Gerölle oder Blockschutt aus zementiertem Karbonatsand, mittelkörnig, gut sortlert, mit Pflanzenstückchen (Wurzeln?),
                        Oberfläche oft mit fädigen Braun- und Grünalgen bewachsen
                        (Flachwasser, felsiges Sublitoral, starke Wasserbewegung)
Holozán
Pleistozán
                        Karbonatsand, mittelkörnig, gut sortiert, leicht zementiert, nellgelb;
viele Schalen: Pinctade imbricata, Arca sp., Linga pensylvanica, Transennella sp., Strigilla
mirabilis; Bulla striata, Cerithium Lutosum, Nassarius albus, Petaloconchus varians; etwas
<u>Halimeda, Millepora</u>-Bruchstücke, einige große Foraminiferen: Soritidae
 77 - 93 cm
 93 × 116 cm
                        Karnverlust
N L 0 2 3 / 2
                                           Position: Lat. 32°25'04"N Long. 64°44'30"W; Three Hill Shoals
Wassertiefe: 17.0 m
                                           Kernrohr: Aluminiumrohr 90 x 2,5 mm
                                           Eindringtiefe: 5,0 m
                                                                                         Kernlänge: 2,90 m
                                                                                                                                   Kerngewinn: 58 %
   0 + 30 \text{ cm}
                        Karbonatsand, mittel- bis feinkörnig, stark siltig und tonig, schlecht sortiert, stark bioturbat.
                        hellgrau leicht gelb;
                        wenige große Schälen (>3 mm)
                        (geschützt lagunär, geringe Wasserbewegung)
                        Karbonatsand, grob- bis feinkörnig, bis 70 cm stark siltig und tonig nach unten hin abnehmend,
 30 - 130 cm
                        schlecht sortiert, stark bioturbat, hell gelbgrau;
einige große Schalenbruchstücke
                        (geschützt lagunar, zeitweise stärkere Wasserbewegung)
```

Karbonatsand, grob- bis mittelkörnig, schlecht sortiert, bioturbat, hell gelbgrau, einige grüne Flecken (grüne Halimeda-Bruchstücke in Wühlbauten);

(offen lagunar, aufgearbeitete Sedimente einer Seegraswiese, zeitweise stärkere Wasserbewegung)

besonders an der Basis mehrere große Schalen: Codakia orbicularis, Laevicardium laevigatum,

Vermicularia spirata; viel Halimeda; 200 bis 220 cm viel aufgearbeitetes torfiges Material, braune Schlieren

130 - 264 cm

Grenze: erosiv

264 - 270 cm Karbonatsand, mittel- bis feinkörnig, schlecht sortiert, teilweise feingeschichtet, braungrau; viel numoses Material, einige Torfschmitzen; <u>Bulla striata</u> (Flachwasser, bay, restricted marin, geringe <u>Wasserbewegung</u>) Grenze: unregelmäßig, bioturbat, erosiv 270 × 275 cm Torfmudde, tonig, weich, plastisch, durchwühlt, schwarz, nach unten hin Obergang zu stark humosem Residualton. (Flachwasser bis Auftauchbereich, marsh - pond) Holozán Pleistozan Karbonatsand, feinkörnig, stark zementiert, kreidig zersetzt, löchrig verwittert; durchsetzt mit stark humosem Residualton, dunkelgraubraun 275 - 285 cm 285 - 290 cm Kernverlust N L 0 2 4 Position: Lat. 32°26'33"N Long. 64°45'08"W; N' Three Hill Shoals Wassertiefe: 17.7 m Kerprohr: Aluminiumrohr 90 x 2.5 mm Eindringtiefe: 5,9 m Kernlänge: 4,67 m Kerngewinn: 79 % 0 - 50 cmKarbonatsand, grob- bis feinkörnig, stark siltig, mäßig sortiert, stark bioturbat, hellgrau leicht gelb; einige kleine Schalen: <u>Gouldia cerina, Codakia costata, Ervilia</u> sp.; im Silt einige Bruchstücke von Homotrema rubrum (geschutzt lagunar, geringe Wasserbewegung) Karbonatsand, grob- bis feinkörnig, stark siltig nach unten hin abnehmend, mäßig sortiert, unten etwas besser sortiert, stark bioturbat, hellgrau leicht gelb; mehrere große Schalen: Pitar fulminata z.T. doppelklappig, Laevicardium laevigatum; im Silt einige Bruchstücke von Homotrema rubrum 50 ~ 190 cm (geschützt lagunär, gerfinge Wasserbewegung, zeitweise stärkere Wasserbewegung und Ablagerung von aufgearbeiteten Sedimenten aus flacherem Wasser) 190 - 236 cm Karbonatsand, grob- bis mittelkörnig, schwach siltig und tonig, qut sortiert, bioturbat, hellgelb unten leicht grün, fleckig; schlecht sortierter Basalschill: Codakia orbicularis, Astraea phoebia, Bulla striata, Modulus modulus Flachwasser, offen lagunär, aufgearbeitete Sedimente einer Seegraswiese, felsiges Sublitoral, starke Wasserbewegung) Bolozán Pleistozän 236 - 454 Karbonatsand, mittel- bis feinkörnig, sehr gut sortiert, stellenweise nur schwach zementiert, hellgelb; 236 bis 260 cm stärker zementiert, kreidig zersetzt, viele Bohrmuscheln an der Oberfläche: Lithophaga nigra, Botula fusca; sonst nur wenig Schalen: <u>Bulla sp.</u>, bis 310 cm mehrere Pflanzenreste, Wurzeln; bel 330, 390 und 420 cm Einschaltungen von Karbonatsand, mittel- bis grobkörnig, stark siltig und tonig, schlecht sortiert, stärker zementiert, kreidig zersetzt, weiß bis hellgelb. viel Schill (Riffmaterial) einige Bohrmuscheln: Botula fusca häufig doppelklappig, Lithophaga sp.; Codakia orbiculata, Barbatia domingensis, Arca sp., Plicatula gibbosa; Bulla sp.; sehr viele Bruchstücke von Millepora alcicornis und Oculina sp.; viel Homotrema rubrum 454 - 467 cm Kernverlust Position: Lat. 32°24'45"N Long. 64°48'49"W; E' Devils Flats N L 025 Wassertiefe: 18.2 m Kernrohr: Aluminiumrohr 90 x 2,5 mm Kerngewinn: 75 % Eindringtiefe: 5.2 m Kernlänge: 3,91 m 0 - 69 cm Karbonatsand, fein- bis grobkörnig, stark siltig, schlecht sortiert, bioturbat, heilgrau; einige kleine Schalen: <u>Gouldia cerina, Ervilia</u> sp., <u>Codakia costata</u>; im Silt einige Bruchstücke von Homotrema rubrum (geschützt lagunar, geringe Wasserbewegung) Karbonatsand, grob- bis feinkörnig, stark siltig nach unten hin abnehmend, schlecht sortiert. bioturbat, heilgrau, unten gelb; 69 × 132 cm mehrere große Schalen: <u>Pitar fulminata</u> z.T. doppelklappig, <u>Laevicardium laevigatum</u>, <u>Vermicularia</u> spirata, Oliva reticularis, <u>Codakia orbiculata</u>; <u>Im Silt einige Bruchstücke von Homotrema rubrum</u> (geschützt lagunar, geringe Wasserbewegung, Zeitweise stärkere Wasserbewegung und Ablagerung von aufgearbeiteten Sedimenten aus flacherem Wasser) 132 - 175 cmKarbonatsand, grob- bis feinkörnig, schwach siltig, sehr schlecht sortiert, bioturbat, hellgrau leicht grün; sehr viele große Schalen, häufig gewölbt oben: Laevicardium laevigatum. Codakia orbiculata, C. orbicularis, Pitar fulminata; Vermicularia sp., Astraea phoebia, Natica canrena; viel Halimeda; an der Basis aufgearbeitetes torfiges Material

(Flachwasser, offen lagunär, aufgeårbeitete Sedimente einer Seegraswiese, stärkere Wasserbewegung)

Grenze: erosív

175 - 179 cmKärbonatsand, fein- bis grobkörnig, aus dem Liegenden mit Ton durchsetzt. mäßig sortiert. durch den Ton leicht grün gefärbt; nur wenige große Schalen: Laevicardium laevigatum, Codakia orbiculata; wenig Halimeda; aufgeorbeitetes torfiges Material (Strandsand?) Ton, siltig, karbonatfrei, dunkel olivgrün; viel zersetztes Pflanzenmaterial, dunkelbraun bis schwarz 179 - 184 cm (aufgearbeiteter Residualton?) 184 - 189 cm Karbonatsand wie bei 175 bis 179 cm Holozăn Pleistozán 189 - 386 cm Karbonatsand, mittel~ bis feinkörnig, gut sortiert, stellenweise stark zementiert, hellgelb bis hellgrau; bis 203 cm viele Schalen, sonst nur wenige Schalen: Chione cancellata, Laevicardium laevigatum, Divaricella dentata, Transennella sp., Pitar fulminata, Linga pensylvanica, Glycymeris sp.; Vermicularia sp. 386 - 391 cm Kernverlust Position: Lat. 32°25'29"N Long. 64°49'40"W; N' Devils Flats N L 026 Wassertiefe: 15,2 m Kernrohr: Aluminium 90 X 2.5 mm Eindringtiefe: 5.2 m Kernlänge: 4,26 m Kerngewing: 82 % Karbonatsand, fein- bis mittelkörnig, stark siltig, mäßig sortiert, schwach bioturbat, hellgrau 6 cm leicht rosa: Homotrema rubrum, wenig große Schalen 6 - 61 cm Karbonatsand, mittel- bis grobkörnig, schwach siltig, gut sortiert, schwach bioturbat, hellgrau leicht gelb; Homotrema rubrum, wenig große Schalen (Sturmwetter-Ablagerung, vielleicht Material aus flacherem Wasser, durch geringe Bioturbation nur wenig mit dem siltigen Karbonatsand durchmischt) Grenze: unregelmäßig, bioturbat Karbonatsand, fein- bis grobkörnig, stark siltig, nach unten hin gröber und weniger Silt, schlecht sortiert, bioturbat, heligrau bis heligeib; 61 - 420 cm Homotrema rubrum; wenige große Schalen, nach unten hin etwas mehr: Laevicardium laevigatum, Pitar fulminata, Tellina sp.; Halimeda, unten einige Bruchstücke von Millepora alcicornis (oben: geschützt lagunar, geringe Wasserbewegung; unten: Flachwasser, Zeitweise starke Wasserbewegung) Kern unten stark ausgespült 420 - 425 cm Kernverlust N L 027 Position: Lat. 32°24'13"N Long. 64°44'42"W: Murrays Anchorage Wassertiefe: 15.4 m Kernrohr: Aluminiumrohr 90 x 2.5 mm Eindringtiefe: 5,5 m Kernlänge: 3,14 m Kerngewinn: 57 % 0 - 75 cmKarbonatsand, grob- bis mittelkörnig, schwach siltig, mäßig sortiert, bioturbat, hellgrau; einige Schalen: <u>Gouldia cerina, Codakia costata, Pitar fulminata, Ervilia</u> sp., <u>Natica canrena;</u> einige große Foraminiferen: Soritidae (offen bis geschützt lagunär, mäßige Wasserbewegung) Karbonatsand, grob- bis mittelkörnig, schwach siltig, mäßig sortiert, bioturbat, hellgrau bis 75 - 90 cm heligelb; einige Schalen, wenige große Schalen (offen lagunär, zeitweise stärkere Wasserbewegung) 90 - 127 cm Karbonatsand, mittel- bis grobkörnig, etwas besser sortiert, hellgelb; viel resedimentierter pleistozaner Sand: einige größere Schalen: Codakia orbicularis, C. costata, Pitar fulminata, Laevicardium laevigatum; Astraea phoebia, Modulus modulus; ein größeres Seeigel-Bruchstück: Mellita sp.; mehrere Gerölle aus zementiertem Karbonatsand, eckig bis kantengerundet, einige angebohrt, Bohrungen teilweise mit torfigem Material verfüllt, Algenbewuchs auf den Oberflächen (Flachwasser, felsiges Sublitoral, starke Wasserbewegung, shoreface) Holozán Pleistozán Oberfläche: unregelmäßig, verkarstet, mit fädigen Algen bewachsen

Karbonatsand, mittel- bis grobkörnig, gut bis mäßig sortiert, stellenweise stark zementiert,

Glycymeris sp.; bei 257 cm grune Stellen: fädige Grunalgen z.T. einzementiert

mehrere Schalen, von 220 bis 253 cm sehr viele Schalen: <u>Linga pensylvanica</u>, <u>Olvaricella dentata</u>,

127 - 270 cm

hellgelb bis hellgrau;

270 - 303 cm Karbonatsand, grob- bis míttelkörnig, mäßig sortiert, schwach zementiert, hellgelb bis hellgrau; viele Schalen: <u>Arca sp., Linga pensylvanica, Chione cancellata, Chama sp.; mehrere Korallen-Bruchstücke: Oculina sp., Porites sp., Siderastrea radians, Montastrea sp., Millepora alcicornis</u>

303 - 314 cm Kernverlust, Kern stark ausgespült

N.L. 0.2.8 Position: Lat. 32°24'42"N Long. 64°39'19"W: NE' Fort St.Catherine

Wassertiefe: 19,2 m Kernrohr: Aluminumrohr 90 x 2,5 mm

Eindringtiefe: 2.8 m Kernlänge: 1.55 m Kerngewinn: 55 %

O - 103 cm

Karbonatsand, grob- bis mittelkörnig, stark siltig, mäßig sortiert, bioturbat, hellgelb bis hellgrau; nur wenige kleine Schalen: Ervilia sp., Pitar fulminata, Gouldia cerina, Tellina sp.; etwas Halimeda, viel Homotrema rubrum, einige Korallen-Bruchstücke und Foraminiferen: Soritidae (tiefe Sandwanne im Saumriff, geringe Wasserbewegung, viel aufgearbeitetes Riffmaterial aus flacherem Wasser)

Karbonatsand, grob- bis mittelkörnig, schwach siltig, gut sortiert, hellgelb bis hellgrau; viele große Schalen: Pitar fulminata, Codakia costata, C. orbicularis, Ervilia sp., Tellina sp., Gouldia cerina, Crassinella lunulata; Modulus modulus, Natica canrena; Homotrema rubrum, einige Korallen-Bruchstücke (Obergangszone, geringe Wasserbewegung, zeitweise stärkere Wasserbewegung, viel aufgearbeitetes Riffmaterial aus flacherem Wasser)

Karbonatsand, grob- bis mittelkörnig, gut sortiert, hellgelb bis hellgrau; sehr viele große Schalen: Arca sp., Spondylus sp., Chama sp., Pitar fulminata, Gouldia cerina, Laevicardium laevigatum, Ervilia sp., Codakia costata, Crassinella lunulata; Modulus modulus; viel Homotrema rubrum, Rhodophyceen-Bruchstücke, Korallen-Bruchstücke: Isophyllia sp., Millepora alcicornis; einige Gerölle aus zementiertem Karbonatsand ähnlicher Zusammensetzung wie der Sand von 130 bis 147 cm (flache Sendwanne im Riff; felsiges Sublitoral, viel aufgearbeitetes Riffmaterial, starke Wasserbewegung)

147 - 155 cm Kernverlust

N.L. 0 2 9 Position: Lat. 32°24'27"N Long. 64°40'25"W; N' Fort St.Catherine

Wassertiefe: 19,5 m Kernrohr: Aluminiumrohr 90 x 2,5 mm

Eindringtiefe: 1,9 m Kernlänge: 1,34 m Kerngewinn: 71 %

O - 16 cm Karbonatsand, mittel- bis grobkörnig, gut sortiert, hellgelb;
wenig Schill, <u>Homotrema rubrum</u>, einige Foraminiferen: Soritidae
(Sturmwetter-Ablagerung, starke Wasserbewegung, viel aufgearbeitetes Riffmaterial aus flacherem
Wasser, noch nicht bioturbat untergemischt)

16 - 49 cm Karbonatsand, mittel- bis grobkörnig, stark siltig und tonig, schlecht sortiert, hellgrau leicht gelb. bioturbat; einige Schalen: Pitar fulminata, sonst nur kleine Muschelschalen; Homotrema rubrum (tiefe Sandwanne im Saumriff, geringe Wasserbewegung, viel aufgearbeitetes Riffmaterial aus flacherem Wasser)

Karbonatsand, grob- bis mittelkörnig, stark siltig und tonig nach unten hin abnehmend, schlecht sortiert, bioturbat, hellgrau leicht gelb; viele Schalen: Codakia costata, Pitar fulminata, Laevicardium Laevigatum, Tellina sp., Crassinella lunulata, Gouldia cerina; Homotrema rubrum (Obergangszone, geringe Wasserbewegung, zeitweise stärkere Wasserbewegung, viel aufgearbeitetes Riffmaterial aus flacherem Wasser)

102 - 127 cm

Karbonatsand, grob- bis mittelkörnig, schwach siltig, schlecht sortiert, graugelb leicht grün; viele Schalen: Arca sp., Chama sp., Spondylus sp., Codakia orbicularis, C. costata, Laevicardium laevigatum, Tellina sp., Pitar fulminata, Ervilia sp., Crassinella lunulata; viel Homotrema rubrum; Halimeda, Rhodophyceen-Bruchstücke; sehr viele Gerölle aus Zementiertem Karbonatsand, stark von Cliona zerbohrt, bewachsen mit Serpeln, Homotrema rubrum und Rhodophyceen (flache Sandwanne im Riff, felsiges Sublitoral, viel aufgearbeitetes Riffmaterial, starke Wasserbewegung)

Holozán

Pleistozän

127 - 130 cm Karbonatsand, mittelkörnig, stark zementiert; einige Schneckenschalen, Bohrmuscheln, <u>Oculina</u>-Bruchstück, mehrere Bryozoenschichten

130 - 134 cm Kernverlust

Position: Lat. 32°24'13"N Long. 64°41'57"W; North Channel N L 0 3 0

Wassertiefe: 16.9 m Kernrohr: Aluminiumrohr 90 x 2.5 mm

Kernlänge: 2.23 m Kerngewinn: 66 % Eindringtiefe: 3.4 m.

Karbonatsand, grob- bis mittelkörnig, schwach siltig, gut sortiert, hellgelb bis hellgrau; wenig kleine Schalen: <u>Gouldia cerina</u>, <u>Codakia costata</u>; im Silt einige Bruchstücke von <u>Homotrema</u> Q - 16 cm (Sturmwetter-Ablagerung, hohe Wasserbewegung, noch nicht bioturbat untergemischt)

16 ~ 90 cm Karbonatsand, grob- bis mittelkörnig, stark siltig und tonig, schlecht sortiert, stark bigturbat, hellgrau leicht gelb; mehrere kleine Schalen: Gouldia cerina, Codakia costata, Pitar fulminata, Ervilia sp., Crassinella lunulata; Vermicularia spirata, Modulus modulus, im Silt einige Bruchstücke von Homotrema rubrum (geschützt lagunar, geringe Wasserbewegung)

90 - 173 cmKarbonatsand, grob- bis mittelkörnig, schwach siltig und tonig nach unten hin abnehmend, bioturbat, mäßig sortiert, hellgelb; viele kleine Schalen wie von 16 bis 90 cm. wenige größere Schalen: Laevicardium laevigatum, Tellina sp., Codakia orbicularis; im Silt einige Bruchstücke von Homotrema rubrum; viel Halimeda; einige große Foraminiferen: Soritidae (offen lagunär, zeitweise stärkere Wasserbewegung)

Karbonatsand, grob- bis mittelkörnig, schwach siltig und tonig, schlecht sortiert, hellgelb 173 - 206 cm leicht grün; viele große Schalen: Laevicardium laevigatum, Codakia orbicularis, Pitar fulminata, Tellina sp.; Astraea phoebia, Modulus modulus, Cerithium sp.; an der Basis einige Gerölle aus zementiertem Karbonatsand und einige pleistozäne Schalen (Flachwasser, felsiges Sublitoral, aufgearbeitete Sedimente einer Seegraswiese, starke Wasserbewegung)

Holozán

Pleistozan

Karbonatsand, grob- bis mittelkörnig, schlecht sortiert, stark zementiert, hellgelb; sehr viele Schalen: Linga pensylvanica zum großen Teil doppelklappig mit Steinkern, <u>Divaricella dentata</u>, <u>Chione cancellata</u>, <u>Lithophaga nigra</u>, <u>Arca sp.; Bulla striata</u>, <u>Polinices lacteus</u>, <u>Vermicularia spirata</u>, <u>Cerithium litteratum</u> 206 - 223 cm

N L 0 3 1 / 4 Position: Lat. 32°26'38"N Long. 64°38'38"W; W' Kitchen Shoals

Wassertiefe: 19,6 m Kernrohr: Aluminiumrohr 90 x 2,5 mm

Eindringtiefe: 7,8 m Kernlänge: 5,67 m Kerngewinn: 73 %

0 - 42 cm Karbonatsand, feinkörnig, stark siltig, gut sortiert, bioturbat, hellgrau leicht rosa; keine größeren Schalenbruchstücke, viel <u>Homotrema rubrum</u>, etwas <u>Halimeda</u> (tiefe Sandwanne im Saumriff, geringe Wasserbewegung)

42 - 56 cm Karbonatsand, grob- bis feinkörnig, sehr schwach siltig, schlecht sortiert, bioturbat, hellgelb leicht rosa; keine größeren Schalenbruchstücke, vieł Homotrema rubrum, etwas Halimeda (Sturmwetter-Ablagerung, starke Wasserbewegung, noch nicht bioturbat untergemischt)

56 - 67 cm Karbonatsand wie von O bis 42 cm

67 - 245 cm Karbonatsand, feinkörnig, etwas grobkörnig, an der Basis stärker grobkörnig, stark siltig nach unten hin abneh_mend, mäßig sortiert, bioturbat, hellgrau leicht rosa; wenige Schalen: Codakia costata, <u>Pitar fulminata</u>, <u>Tellina</u> sp., <u>Laevicardium laevigatum, Ervilia</u> sp., viel Homotrema rubrum, etwas Halimeda (tiefe Sandwanne im Saumriff, geringe Wasserbewegung)

Karbonatsand, grob- bis feinkörnig, mäßig bis schlecht sortiert, hellgelb; sehr viel Grobschill: Spondylus sp., Arca sp., Codakia orbicularis, C. orbiculata und Muschelschalen wie von 67 bis 245 cm; viel Rhodophyceen-Bruchstücke, Homotrema rubrum nach unten hin abnehmend, einige Korallen-Bruchstücke; am Top große Gerölle von einem Algen-Vermitiden-Riff mit anzementiertem Karbonatsand, zerbohrt durch Botula fusca mit Steinkern (Pleistozän?); Sandkörner häufig dunkelgrau gefärbt, viel resedimentiertes pleistozänes Material (Flachwasser, starke Wasserbewegung, Abbauprodukt einer Barre) 245 - 278 cm

278 - 318 cm Karbonatsand, mittel- bis grobkörnig, nach unten hin feinkörniger, schlecht sortiert, schwach bioturbat, hellgrau leicht gelb; wenige Schalen: <u>Codakia orbiculata</u>, <u>C. orbicularis</u>, Tellinidae, <u>Ervilia</u> sp.; viel <u>Halimeda</u>; wenig <u>Homotrema</u> <u>rubrum</u>; in einigen dünnen Lagen und teilweise in Wühlgängen Karbonatsand wie von 230 bis 240 cm (Obergangszone von geringerer zu stärkerer Wasserbewegung im back-barrier-Bereich, einige dünne washover-Lagen)

Karbonatsand, feinkörnig, leicht grobkörnig, stark siltig und etwas tonig, mäßig sortiert, 318 - 367 cmschwach bioturbat, hellgrau; einige Schalen: Codakia orbiculata, C. orbicularis, Tellinidae, Ervilla sp., einige doppel-klappige Psammotreta intastriata, Bulla striata; viel Halimeda, keine Homotrema rubrum (back barrier, bay, geringe Wasserbewegung, einige dünne washover-Lagen) 367 - 420 cm Karbonatsand, fein- bis grobkörnig, stark siltig und etwas tonig, schlecht sortiert, bioturbat, grau leicht braun: viele große Muschalschalen: Psammotreta intastriata in Lebendstellung, Tagelus divisus, andere Tellinidae, Brachidontes domingensis, Laevicardium laevigatum, Codakia orbiculata, C. orbicularis viele Schneckenschalen: Modulus modulus, Batillaria minima, Bulla striata, Vermicularia spirata, Cerithium lutosum, Cerithiopsis greeni, Astroea phoebia; viele Rhodophyceen-Bruchstücke und Halimeda (Flachwasser, back barrier, bay, geringe Wasserbewegung, Seegraswiese?) Grenze: unregelmäßig, bioturbat Karbonatsilt, stark tonig, schwach sandig, hoher Gehalt an humosem Material, dunkelgrau; viele Schneckenschalen: Batillaria minima, Cerithium lutosum, Cerithiopsis greeni, Bulla striata, Vermicularia sp., Modulus modulus, nur sehr wenige Muschelschalen: Pteriacea; viele kleine Foaminiferen: Miliolidae; Ostracodenschalen 420 - 436 cm (Flachwasser, bay - pond, restricted marin, sehr geringe Wasserbewegung) 436 - 476 cm Übergang zu Karbonatgyttja (436 - 450 cm), feinschichtig, karbonatische Lagen, dunkelgrau leicht braun; wenige Schneckenschalen; Übergang zu Torfmudde (450 – 465 cm), dunkelgraubraun; Obergang zu Torf (465 – 476 cm), größere Pflanzenstückchen, schwarzbraun, schwache Durchwühlung vom Hangenden her (Intertidal Bereich, Obergang: marsh - pond, Süßwasser - restricted marin) Holozán Pleistozăn 476 - 514 cm Ton, karbonatfrei, dunkelolivgrün leicht braun; oben mit viel zersetztem Pflanzenmaterial: Blätter, Wurzeln, Stengel; ab 486 cm mehrere stark Zersetzte Brocken aus zementiertem Karbonatsand 514 ~ 567 cm Karbonatsand, grob- bis mittelkörnig, unterschiedlich stark zementiert, z.T. kreidig zersetzt, hellgrau bis weiß; viel Schill (Riffmaterial): Botula fusca doppelklappig, Vermicularia spirata; Homotrema rubrum, Rhodophyceen-Bruchstücke NL 032Position: Lat. 32°18'59"N Long. 64°48'46"W; NE' Hogfish Beacon Wassertiefe: 11,2 m Kernrohr: Aluminiumrohr 90 x 2,5 mm Eindringtiefe: 3,4 m Kernlänge: 2.48 m Kerngewinn: 73 % 0 - 80 cm Karbonatsand, grob- bis feinkörnig, stark siltig und tonig, schlecht sortiert, stark bioturbat, hellgrau, unten leicht gelb; besonders in den Wühlgängen mehr grobes Material; viele Schalen: Pitar fulminata, Gouldia cerina, Codakia costata, Laevicardium laevigatum, Chama śp.; <u>Vermicularia spirata; viel Halimeda;</u> Oculina-Bruchstuck (geschützt lagunar, geringe Wasserbewegung, zeitweise stärkere Wasserbewegung und Zufuhr von Sedimenten aus flacherem Wasser) Karbonatsand, mittel- bis grobkörnig, stark siltig und tonig nach unten hin abnehmend, schlecht sortiert, bioturbat, hellgrau leicht gelb; 80 - 140 cm mehrere große Schalen: Laevicardium laevigatum. <u>Codakia costata, Pitar fulminata;</u> große Foraminiferen: Soritidae: etwas <u>Halimeda</u> (Obergangszone, Flachwasser mit stärkerer Wasserbewegung zu geschützt lagunar) 140 - 194 cm Karbonatsand, mittel- bis grobkörnig, schwach siltig und tonig, schlecht sortiert, schwach bioturbat, hellgelb leicht grau; viele große Schalen: <u>Laevicardium laevigatum</u> oft doppelklappig, <u>Tagelus divisus</u>, <u>Codakia costata</u>, <u>C. orbicularis</u>, <u>Pitar fulminata</u>; <u>Vermicularia spirata</u>; <u>etwas Halimeda</u>; <u>In den untersten 5 cm: <u>Codakia orbicularis</u>, <u>Pinctada imbricata</u>; <u>Modulus modulus</u>, <u>Astraea phoebia</u></u> (Flachwasser, offen lagunar, starke Wasserbewegung, aufgearbeitete Sedimente einer Seegraswiese, felsiges Sublitoral) Molozän Pleistozán Oberfläche unregelmäßig, verkarstet, durch Cliona zerbohrt, mit fädigen Algen bewachsen 194 - 239 cm Karbonatsand, mittel- bis feinkörnig, gut sortlert, bioturbat, stark zementiert nach unten hin abnehmend, gelb leicht grau; einige Schalen: Strigila mirabilis, Pitar fulminata oder Transennella sp., Tellina sp. doppel-klappig; <u>Nassarius albus</u>; etwas zersetztes Pflanzenmaterial 239 - 248 cm

Kernverlust

N L 0 3 3 / 2

Position: Lat. 32°17'02"N Long. 64°57'30"W; SE' Western Ledge Flats

Wassertiefe: 15.0 m

Kernrohr: Aluminiumrohr 90 x 2.5 mm

Eindringtiefe: 8.3 m

Kernlänge: 5,85 m

Kerngewinn: 70 %

Karbonatsand, mittel- bis grobkörnig, gut sortiert, hellgrau leicht gelb; Hallmeda; wenige kleine Schalen; im Silt einige Bruchstücke von <u>Homotrema rubrum</u> (Sturmwetter-Ablagerung, aufgearbeitetes Sediment) 3 cm

9 cm Karbonatsand, grob- bis feinkörnig, stark siltig und tonig, mäßig sortiert, hellgrau; viel <u>Halimeda</u>; einige Schalen: <u>Pitar fulminata</u>, Chlamydinae. <u>Vermicularia</u> sp.; im Silt einige Bruchstucke von <u>Homotrema rubrum</u> (tiefes Riff, geringe Wassergewegung, zeitweise etwas stärkere Wasserbewegung)

9 - 290 cmKarbonatsilt, stark tonig, wenig schlecht sortierter Karbonatsand, leicht bioturbat, hellgrau leicht grün; im Silt einige Bruchstücke von <u>Homotrema rubrum;</u> Wechsellagerung von Abschnitten mit:

II. großen Bruchstücken von: Oculina sp., Millepora alcicornis, Madracis sp.; Laevicardium laevi-gatum, Tellinidae, Arca sp., Barbatia domingensis, Chama sp.; Vermicularia sp.; wenig Halimeda II. viel Halimeda, kleine Muschelschalen; z.T. etwas starker sandig (Oculina-Millepora-Madracis Riff; geringe Wasserbewegung)

290 - 350 cm Karbonatsilt, nach unten hin stark sandig und weniger tonig, mäßig sortiert, bioturbat, hellgrau; im Silt Bruchstücke von Homotrema rubrum; nach unten hin Abnahme der Korallen-Bruchstücke und weniger <u>Halimeda</u>; einige kleine Muschelschalen (geschützt lagunar, Aufbau des Riffes)

350 - 452 cmKarbonatsand, grob- bis feinkörnig, stark siltig und tonig nach unten hin abnehmend, schlecht sortiert, biortubat, grau; im Silt einige Bruchstücke von Homotema rubrum;
von 350 bis 416 cm viele große Schalen: Laevicardium laevigatum z.T. doppelklappig. Codakia
orbicularis, C. costata, C. orbiculata, Pitar fulminata, Tellinacea, Ervilia sp., Pinctada
imbricata; Vermicularia spirata, Bulla striata, Cerithium sp.; einige pleistozäne Schalen, oft
dunkelgrau gefärbt, mit anzementiertem Karbonatsand: Barbatia cancellaria, Bulla striata,

Cerithium sp. (offen lagunar, aufgearbeitete Sedimente einer Seegraswiese, starke Wasserbewegung, nach oben hin geringere Wasserbewegung)

Grenze: unregelmäßig, erosiv, bioturbat

von 416 bis 430 cm viel organisches Material, dunkelgraue Färbung; viel Codakia orbicularis doppelklappig und andere Muschelschalen (Seegraswiese)

von 430 bis 452 cm weniger Schalen, neben anderen auch Chama sp., Columbella mercatoria und Astraea phoebia; sehr viele kleine Gerölle aus zementiertem Karbonatsand; viele pleistozane Schalen, oft dunkelgrau gefärbt, mit anzementiertem Karbonatsand: Laevicardium laevigatum, Barbatia cancellaria, Transennella sp., Chione cancellata, Bulla striata, Cerithium sp., Nassarius albus

(Flachwasser, starke Wasserbewegung, tiefer Strand, shoreface, oben: Obergang zur Seegraswiese)

Holozán

Pleistozan 452 - 528 cm

Karbonatsand, grob- bis feinkörnig, leicht siltig, schlecht sortiert, bioturbat, schwach zementiert (kleine Bröckchen ø 1 - 2 cm), etwas stärkere Zementation um Schalen, heligelb bis hellarau:

mehrere Schalen nach unten hin weniger: Linga pensylvanica, Transennella sp., Barbatia cancellaria, Laevicardium laevigatum, Codakia orbiculata, viel Bulla striata, Nassarius albus, Modulus modulus, Cerithium sp.; etwas Halimeda; nach unten hin mehr Rhodophyceen-Bruchstücke

528 - 585 cm Karbonatsand, grob- bis feinkörnig, leicht siltig, mäßig sortiert, sehr schwach zementiert, weiß leicht gelb; wenige Schalen: <u>Transennella</u> sp.; viele Rhodophyceen-Bruchstücke

N L 0 3 4 Position: Lat. 32°17'31"N Long. 64°58'35"W; S' Western Ledge Flats

Wassertiefe: 7,0 m Kernrohr: Aluminiumrohr 90 x 2,5 mm

> Eindringtlefe: 8,3 m Kernlänge: 7,00 m Kerngewing: 84 %

Karbonatsand, mittelkörnig, etwas grobkörnig, mäßig sortiert, hellgelb leicht rosa; wenige Bruchstücke von Homotrema rubrum (flache Sandwanne im Saumriff, starke Wasserbewegung) 3 cm

Karbonatsand, grob- bis mittelkörnig, mäßig sortiert, nach unten hin grobkörnig und besser sortiert, bioturbat, hellgelb leicht rosa; viele große Bruchstücke von: Rhodophyceen, <u>Homotrema rubrum</u>, etwas <u>Halimeda</u> 3 - 15 cm(Sturmwetter-Ablagerung, stärkere Wasserbewegung)

15 - 240 cm
Karbonatsand, mittel- bis grobkörnig, nach unten hin weniger grobkörnig und besser sortiert, bioturbat, hellgelb leicht rosa; einige große Bruchstücke von Homotema rubrum und Rhodophyceen nach unten hin weniger; mehrere Tellinacea, hauptsächlich Tellina candeana; etwas Halimeda (Übergangszone von tiefer zu flacher Sandwanne nach oben hin)

240 - 605 cm
Karbonatsand, fein- bis mittelkörnig, nach unten hin stark siltig, gut sortiert, bioturbat, heligelb leicht rosa;
weniger und kleinere Bruchstücke von <u>Homotrema rubrum</u> und Rhodophyceen; wenig <u>Halimeda</u>; wenige kleine Schalen von <u>Tellina candeana</u>
(tiefe Sandwanne, geschützt, mäßige Wasserbewegung, Sedimentation von gut sortiertem Sand aus flacherem Wasser, Riffmaterial)

Karbonatsand, fein- bis mittelkörnig, schwach grobkörnig, etwas schwächer siltig, mäßig sortiert, bioturbat, hellgrau leicht rosa; viele Muschelschalen: Laevicardium laevigatum. Tellinacea, Pitar fulminata; viele Schneckenschalen: Cerithium litteratum, Cerithiopsis greeni, Nassarius albus, Astraea phoebia; Homotrema rubrum; Rhodophyceen-Bruchstücke; Halimeda; einige pleistozane Schalen und kleine Gerölle aus zementiertem Karbonatsand (Flachwasser, stärkere Wasserbewegung)

Karbonatsand, fein- bis grobkörnig, schwach siltig, schlecht sortiert, hellgrau oben leicht rosa; viele Schalen wie von 605 bis 670 cm. zusätzlich: Codakia orbicularis, C. costata; besonders viele Schneckenschalen, auch <u>Bulla</u> (mit torfigem Material in der Mündung); etwas Homotrema rubrum und Rhodophyceen-Bruchstücke; viele pleistozäne Schalen, hauptsächlich Schneckenschalen und kleine Gerölle aus zementiertem Karbonatsand (Flachwasser, stärkere Wasserbewegung, aufgearbeitete Sedimente einer Seegraswiese)

689 - 700 cm Kernverlust

L 0 3 5 Position: Lat. 32°16'53"N Long. 64°55'50"W; W' Wreck Hill

Wassertiefe: 18,9 m Kernrohr: Alumintumrohr 90 x 2,5 mm

Eindringtiefe: 5,6 m Kernlänge: 4,58 m Kerngewinn: 82 %

0 - 14 cm Karbonatsilt, stark tonig, schwach sandig, mäßig sortiert, hellgrau leicht grün; im Silt einige Bruchstücke von Homotrema rubrum; viel Vermicularia spirata, sonst sehr wenig Schalen: Pitar fulminata, Laevicardium laevigatum (geschützt lagunar, sehr geringe Wasserbewegung)

14 - 87 cm Karbonatsilt, nach unten hin schwächer tonig und stärker sandig, etwas schlechter sortiert, schwach bioturbat unten etwas stärker, hellgrau; im Silt einige Bruchstücke von Homotrema rubrum; sehr wenig Schalen: Pitar fulminata, Laevicardiu: laevigatum, Vermicularia sp.; etwas Halimeda (geschützt lagunar, geringe Wasserbewegung)

87 - 172 cm Karbonatsand, grob- bis feinkörnig, stark siltig, nach unten hin schwächer tonig, sehr schlecht sortiert, bioturbat, hellgrau unten etwas dunkler; im Silt einige Bruchstücke von <u>Homotrema rubrum</u>;

87 bis 120 cm viele, hauptsächlich kleine Muschelschalen: <u>Pitar fulminata</u>, <u>Laevicardium</u> laevigatum, <u>Codakia costata</u>, <u>C. prbicularis</u>; <u>Halimeda</u>; einige kleine <u>Gerölle aus zementiertem Karbonatsand</u>, <u>kantengerundet bis mäßig gerundet</u>, <u>dunkelgrau</u>; (Übergang: Flachwasser - geschützt lagunär, zeitweise stärkere Wasserbewegung)

120 - 160 cm sehr viele Schalen, auch größere: Laevicardium laevigatum, Pitar fulminata, Cudakia orbicularis, C. costata, unten einige Psammotreta intastriata doppelklappig in Lebendstellung, Tellina listeri, Pinctada imbricata, Macrocallista maculata; Cerithium sp., Modulus modulus, Bulla striata, Nassarius albus, Natica canrena; Halimeda; mehrere Gerolle wie von 87 bis 120 cm (Flachwasser, offen lagunar, Sedimente einer Seegraswiese, oben stärker umgelagert, stärkere Wasserbewegung)

160 - 172 cm etwas weniger Schalen, mehrere kleine Bruchstücke: Laevicardium laevigatum, Pitar fulminata, Codakia orbicularis, Pinctada imbricata, Brachidontes domingensis, Chama sp., Arca sp. Cerithium sp., Modulus modulus; viele Gerölle wie von 87 bis 120 cm (Flachwasser, starke Wasserbewegung, tiefer Strand, shoreface)

Holozán

Pleistozán

Karbonatsand, mittelkörnig, gut sortiert, sehr schwach zementiert, hellgelb, oben leicht grau; viele Schalen auch grdßere: <u>Glycymeris</u> sp. häufig stark abgeschliffen (facettiert: Rundlochfacette, Gleitfacetten, allseitiger Abschliff), <u>Linga pensylvanica z.T. doppelklappig, Transennella sp., Tellinidae, Pitar fulminata, <u>Laevicardium laevigatum; Cerithium litteratum; einige Rhodophyceen-Bruchstücke, von 250 bis 310 cm nur sehr wenige kleine Schalen.</u></u>

350 - 390 cm Karbonatsand, mittelkörnig, schwach grobkörnig, nach unten hin feinkörniger, schlecht sortiert, etwas stärker zementiert, hellgelb bis weiß; viele Schalen wie von 172 bis 350 cm, etwas <u>Halimeda</u>

390 - 458 cm Karbonatsand, feinkörnig, stark siltig, schlecht sortiert, bioturbat, stärker zementiert in kleine stark verzweigte Stückchen (Wühlgängen?), kreidig zersetzt, weiß; einige Schalen: Codakia costata, Linga pensylvanica, Laevicardium loevigatum, Chlone cancellata, Transennella sp.; Modulus modulus, Vermicularia sp., Nassarius albus; viel Halimeda

N L 0 3 6 Position: Lat. 32°16'46"N Long. 64°54'28"W; W' Wreck Hill Kernrohr: Aluminiumrohr 90 x 2,5 mm; ohne Kernfänger, Kern ca. 3 m herausgerutscht Wassertiefe: 19.7 m Eindringtiefe: 9.0 m Kernlänge: 4,89 m 0 - 23 cm Karbonatsand, mittel- bis grobkörnig, oben feinkörniger, leicht gradiert, gut sortiert, hellgrau leight gelb; sehr wenig Schalen oder Schalenbruchstücke (Sturmwetter-Ablagerung, aufgearbeitetes Sediment aus flacherem Wasser, noch nicht bioturbat vermischt) Karbonatsilt, stark tonig, mittel- bis hellgrau; einige kleine Schalen: <u>Gouldia cerina</u>, unten mehrere <u>Vermicularia</u> sp.; etwas <u>Halimeda</u> 23 - 42 cm (geschützt lagunar, sehr geringe Wasserbewegung) Grenze: unregelmäßig, bioturbat Karbonatsilt, tonig, etwas feinsandig, hell- bis mittelgrau leicht grün; einige kleine Schalen: <u>Gouldia cerina</u>, mehrere <u>Vermicularia</u> sp. (geschützt lagunar, geringe Wasserbewegung) 42 - 60 cm Karbonatsilt, feinsandig, nach unten hin gröber, unten bioturbat; keine Schalen oder Schalenbruchstücke; einige große Foraminiferen: Soritidae 60 - 124 cm (geschützt lagunar, geringe Wasserbewegung) 124 - 171 cm Karbonatsand, fein- bis grobkörnig, nach unten hin schwächer siltig und gröber, schlecht sortiert. bioturbat, hellgrau leicht gelb; viele, auch größere Schalen: <u>Laevicardium laevigatum</u> z.T. doppelklappig, <u>Codakia costata, Pitar fulminata, Arca imbricata; Bulla striata; einige Gerölle aus zementiertem Karbonatsand mit pleistozanen Schalen, <u>Transennella</u> sp., dunkelgrau gefärbt</u> (Flachwasser, offen lagunar, aufbereitete Sedimente einer Seegraswiese, starke Wasserbewegung) 171 - 182 cm Karbonatsand, mittel- bis grobkörnig, sehr schlecht sortiert, mittelgrau, durch fädige Algen leicht grün gefärbt: viele Schalen, in den Schalen oft Algenmatten: <u>Laevicardium laevigatum</u>, <u>Codakia orbicularis</u>, <u>C. orbiculata</u>, <u>Pitar fulminata</u>; <u>Nassarius albus</u>; viele Gerölle, einige pleistozane Schalen: <u>Linga</u> pensylvanica (Flachwasser, starke Wasserbewegung, tiefer Strand, shoreface) Holozán Pleistozan Karbonatsand, mittelkörnig, mäßig sortiert, schwach zementiert in kleineren Bröckchen, hellgelb; Wühlgang mit holozänem Material; viel zersetztes Pflanzenmaterial, oben: feinkörnige humose Schlieren (Bodenbildung?); unten mehrere Schalen: große Tellina sp. doppelklappig, Glycymeris sp. Chione cancellata, Laevicardium laevigatum, Linga pensylvanica; Schalen z.T. stark angelöst und mit anzementierten Braunalgen-Faden auf den Oberflächen 182 - 218 cm Karbonatsand wie von 171 bis 182 cm, holozänes Material (Spaltenfüllung unter überhängenden zementiertem Karbonatsand?) 218 - 222 cm 222 - 242 cm Karbonatsand, mittelkörnig, mäßig sortiert, stellenweise stark zementiert in größeren Stücken. heligelb; mehrere Schalen: <u>Glycymeris</u> sp. häufig stark abgeschliffen und facettiert, <u>Linga pensylvanica z T. doppelklappig</u>, <u>Transennelia</u> sp.; Schalen z.T. angelöst und mit anzementierten Braunalgen-Fäden auf den Oberflächen 242 - 295 cmKarbonatsand, oben: fein- bis mittelkörnig, unten: feinkörnig, schlecht sortiert, stark zementiert in kleine stark verzweigte Stückchen, kreidig zersetzt, oben: hellgrau leicht gelb, unten: weiß; sehr wenig Schalen: Linga pensylvanica doppelklappig; Halimeda Karbonatsilt, feinsandig, mäßig sortiert, stark zementiert wie von 242 bis 295 cm, stark kreidig zersetzt, mikritisch, weiß; sehr wenig Schalen: <u>Codakia costata</u> doppelklappig; einige große Foraminiferen: Soritidae; <u>Halimeda</u>; alles stark zersetzt und teilweise aufgelöst 295 - 435 cm Karbonatsand, fein- bis grobkörnig, ab 465 cm stärker siltig, schlecht sortiert, partiell stark zementiert in größere Stücke, kreidig zersetzt, weiß bis hellgelb; mehrere große Korallen-Bruchstücke: <u>Diploria strigosa</u> mit <u>Homotrema rubrum</u> bewachsen; einige 435 - 489 cm Bohrmuscheln: unterschiedliche Diageneseformen liegen in den Koralien eng nebeneinander: Auflösung (kreidig zersetzt); ohne sichtbare Veränderung, mit offenen Skelettporen; Hundezahn-Zement in den Skelettporen und Hohlräumen; völlige Umkristallisation mit großen Kristallen und vollständiger Auflösung der Skelettstruktur

N L 0 3 7 Position: Lat. 32°16'33"N Long. 64°53'45"W; W' Wreck Hill

Wassertiefe: 18,0 m Kernrohr: Aluminiumrohr 90 x 2,5 mm

Eindringtiefe: 5,4 m Kernlänge: 4,14 m Kerngewinn: 77 %

O - 25 cm Karbonatsilt, stark tonig, schwach sandig, mößig sortiert, bioturbat, hellgrau leicht grün; viel <u>Vermicularia spirata</u>, sonst nur wenige Schalen: <u>Pitar fulminata</u>; <u>Nassarius albus</u> (geschützt lagunar, sehr geringe Wasserbewegung)

25 - 110 cm	Karbonatsilt, stark sandig, nach unten him schwächer tonig, mäßig sortiert, schwach bioturbat, hellgrau; sehr wenig Schalen: <u>Vermicularia spirata, Laevicardium laeviga</u> tum
	(geschützt lagunär, geringe Wasserbewegung)
110 - 160 cm	Karbonatsand, fein- bis grobkörnig, siltig, Wühlbauten mit grobem Sand, schlecht sortiert, bioturbat, hellgrau;
	mehrere Schalen: <u>Pitar fulminata, Laevicardium</u> <u>laevigatum</u> (unten besonders häufig), <u>Codakia</u> costata. Pteriacea
	(Flachwasser, offen lagunär, starke Wasserbewegung, nach oben hin Obergang zu geringerer Wasserbewegung)
160 - 170 cm	Karbonatsand, mittel- bis grobkörnig, graugelb leicht grün; sehr viele Gerölle aus zementiertem Karbonatsand; sehr viele pleistozäne Schalen mit anzemen- tiertem Karbonatsand: Chione cancellata, Transennella sp., Linga pensylvanica; auf den Ober- flächen oft Algenmatten aus fädigen Grün- und Braunalgen (Flachwasser, starke Wasserbewegung, Rest einer Barre?)
170 ~ 203 cm	Karbonatsand wie von 110 bis 160 cm, hellgrau;
170 " 2dd Cili	einige Schalen: <u>Laevicardium laevigatum</u> , Codakia sp., <u>Tagelus divisus</u> , <u>Brachidontes domingensis</u> ; einige pleistozane Schalen, mehrere Gerölle aus zementlertem Karbonatsand, gelb (Flachwasser, starke Wasserbewegung, shoreface) Grenze: unregelmäßig, bioturbat
Holozán	
Pleistozän	
203 - 298 cm	Karbonatsand, mittel- bis grobkörnig, gut sortiert, sehr schwach zementiert (Bröckchen < 1 cm ø, nur wenige größere Stückchen), hellgelb; wenige Schalen: <u>Linga pensylvanica</u>
298 - 370 cm	Karbonatsand, fein- bis grobkörnig, stark siltig, schlecht sortiert, stark zementiert (kleine
	stark verzweigte Stückchen), kreidig zersetzt, weiß; einige Schalen: Barbatia cancellaria, <u>Cerithium</u> sp.; <u>Halimeda</u> (stark zersetzt); Rhodophyceen- Bruchstücke: <u>Homotrema</u> <u>rubrum</u>
370 - 414 cm	Karbonatsand wie von 298 bis 370 cm, etwas gröber, in größeren Stücken zementiert; einige große Stücke (mehrere cm ø) von <u>Diploria</u> sp. und Bryozoen, sehr viel <u>Homotrema rubrum</u> (gebleicht)
N L 0 3 8	Position: Lat. 32°20'53"N Long. 64°54'23"W; NW' Rockfish Shoals
Wassertiefe: []	l,1 m Kernrohr: Aluminiumrohr 90 x 2,5 mm Eindringtiefe: 5,9 m Kernlänge: 4,42 m Kerngewinn: 75 %
0 ~ 71 cm	Karbonatsand, fein- bis mittelkörnig, siltig, gut sortiert, bioturbat oben weniger, hellgrau
5 /2 (leicht rosa; viel <u>Homotrema rubrum</u> ; etwas <u>Halimeda</u> ; viele Pflanzenstückchen (Seegrasrhizome); sehr wenig Schalen: <u>Pitar fulminata</u> (geschützt lagunär, geringe Wasserbewegung)
71 - 175 cm	Karbonatsand, fein- bis mittelkörnig, nach unten hin gröber, siltig, gut sortiert nach unten hin
	schlechter, bioturbat, heligrau leicht rosa; viel Homotrema rubrum; mehrere Schalen: Tellinacea, <u>Laevicardium laevigatum,</u> <u>Codakia orbicularis</u> (offen lagunar, zeitweise stärkere Wasserbewegung)
175 - 262 cm	Karbonatsand, grob- bis feinkörnig, nach unten hin schwächer siltig, mäßig sortiert, bioturbat, hellorau leicht rosa:
	viel <u>Homotrema rubrum</u> ; mehrere Schalen: <u>Pitar fulminata</u> , <u>Codakia costata, Laevicardium laevigatum</u> (Flachwasser, offen lagunär, starke Wasserbewegung)
262 - 269 cm	Karbonatsand, mittel- bis grobkörnig, hellgrau leicht grün; viele Gerölle aus zementiertem Karbonatsand, eckig bis kantengerundet, fädige Grünalgen auf den Oberflächen; einige Schalen: Pitar fulminata, Cerithium litteratum; viel resedimentiertes pleistozänes Material: Transenella sp. (Flachwasser, starke Wasserbewegung, shoreface)
Holozán	
Pleistozän	
269 - 338 cm	Karbonatsand, mittel- bis grobkörnig, schwach siltig, mäßig sortiert, mäßig bis stark zementiert (kleine Stückchen), hellgelb bis weiß; viel Homotrema rubrum und Rhodophyceen-Bruchstücke; mehrere Schalen: <u>Transennella</u> sp., <u>Pitar</u> fulminata, Chione cancellata, Linga pensylvanica
338 - 437 cm	Karbonatsand, mittel- bis grobkörnig, mäßig sortiert, mäßig zementiert (kleine Stückchen), hellgelb:
	nur wenig <u>Homotrema rubrum</u> und Rhodophyceen-Bruchstücke; etwas <u>Halimeda</u> ; einige Schalen: <u>Transennalla sp. 2.1. doppelklappig, Strigilla mirabilis, Laevicardium laevigatum, Barbatia</u> cancellaria: Bulla sp.:
	von 408 bls 412 cm Karbonatsand wie von 269 bis 338 cm, viel Homotrema rubrum und Rhodophyceen- Bruchstücke; Transennella sp., <u>Linga pensylvanica</u> ; <u>Olivella sp.</u>

N L 0 3 9 Position: Lat 32°19'42"N Long. 64°53'25"W; SE' Rockfish Shoals Wassertiefe: 14.3 m Kernrohr: Aluminiumrohr 90 x 2,5 mm Eindringtiefe: 6.2 m Kernlänge: 4.61 m Kerngewinn: 74 % 0 - 10 cm Karbonatsand, fein- bis grobkörnig, oben feinkörniger und siltig, gradiert, mäßig sortiert, leicht bioturbat, hellgrau leicht gelb; sehr wenige Schalen oder Schalenbruchstücke (Sturmwetter-Ablagerung, aufgearbeitetes Sediment aus flacherem Wasser, noch nicht bioturbat vermischtl 10 - 76 cm Karbonatsand, fein- bis grobkörnig, stark siltig und tonig nach unten hin abnehmend, schlecht sortiert, bioturbat besonders an der Basis, hellgrau; oben mehrere Vermicularia spirata, sonst wenig Schalen: Gouldia cerina, Codakia costata, Pitar fulminata (geschützt Tagunär, geringe Wasserbewegung) 76 - 144 cmKarbonatsand, grob~ bis feinkörnig, siltig, schwach tonig, schlecht sortiert, schichtig. karbonatsand, group die teinkoling, st. 2, bioturbat; bioturbat; bioturbat; 76 bis 100 cm hellgrau leicht gelb, sehr viele Schalen: Laevicardium laevigatum, Pitar fulminata. Codakia costata, C. orbiculata, fellinacea, Gouldia cerina; Vermicularia spirata, Nassarius albus, Modulus modulus, Cerithium sp.; einige Gerolle aus zementiertem Karbonatsand, kantengerundet; einige kleine Gerolle aus torfigem Material; 100 bis 110 cm hellgrau, durch aufgearbeitetes torfiges Material leicht hellbraun gefärbt, wenige (Flachwasser, offen lagunär, mäßige Wasserbewegung) 110 bis 121 cm hellgrau, durch Algen leicht grün gefärbt; viele Muschelschalen: Codakia orbicularis häufig durch Cliona zerbohrt, C. orbiculata, Laevicardium laevigatum, Pitar fulminata Tellinacea; mehrere Schneckenschalen: Modulus modulus, Astraea phoebia, Vermicularia spirata; oft dicke Algenmatten auf den Oberseiten der großen Muschelschalen; etwas Halimeda; 121 bis 144 cm wie von 100 bis 110 cm, einige Schalen: Pitar fulminata, Codakia orbicularis, C. costata, C. orbiculata, Laevicardium laevigatum, Tellinacea, Modiolus americanus; Vermicularia spirata, Astraea phoebia, Cerithium litteratum; einige pleistozane Schalen: Transennella sp. mit anzementiertem Karbonatsand; sehr viel torfiges Material, bioturbat vermischt; einige Torfgerölle (Flachwasser, offen lagunär, aufgearbeitete Sedimente einer Seegraswiese, mäßige Wasserbewegung) Grenze: stark unregelmäßig, bioturbat, erosiv Torfmudde, schwarz bis dunkelbraun; durchzogen von kleinen Wühlgängen, Karbonatsand mit viel organischer Substanz, hellbraun 144 - 147 cm (Flachwasser, back barrier, bay, geringe Wasserbewegung) 147 ~ 154 cm Karbonatsand, feinkörnig, schwach grobkörnig, stark siltig und tonig, mäßig sortiert, weiß; nur sehr kleine Schalenbruchstücke: <u>Halimeda</u>; mehrere Foraminiferen: Soritidae, Miliolidae (Flachwasser, back barrier, bay, gerlinge Wasserbewegung, washover-Lagen) Grenze: unregelmäßig, bioturbat 154 - 160 cm Torfmudde, schwarz bis dunkelbraun: mehrere Wünlgänge, verfüllt mit Karbonatsand wie von 121 bis 144 cm (Flachwasser, marsh - pond) Holozán Pleistozăn 160 - 168 cm Ton, karbonatfrei, dunkelolivgrün; sehr viel zersetztes Pflanzenmaterial; einige Wühlgänge, verfüllt mit Karbonatsand wie von 121 bis 144 cm Karbonatsand, mittel- bis grobkörnig, schlecht sortiert, stärk zementiert, in kleine Stücke zersetzt, durchzogen mit karbonatfreiem Ton, olivgrün 168 - 180 cm Karbonatsand, mittel- bis grobkörnig, schlecht sortiert, ab 280 cm mittelkörnig und besser sortiert, bioturbat, stark zementiert, oben hellgrau, unten hellgelb; mehrere Schalen: Laevicardium laevigatum, Pinctada imbricata, Transennella sp., Pitar fulminata, Chione cancellata, Codakia costata, Linga pensylvanica besonders häufig an der Basis (z.T. doppel klappig), Barbatia domingensis; Cerithium sp., Natica canrena, Oliva sp.; bis 210 cm mehrere kleine Pflanzenstückchen (Wurzeln?) 180 - 316 cm Grenze: erosiv 316 - 376 cm Karbonatsand, feinkörnig, stark siltig, błoturbat, stark zementiert (kleine verzweigte Stückchen), kreidig zersetzt, mikritisch, weiß; sehr wenig Schalen: <u>Vermicularia</u> sp.; einige Homotrema rubrum und Rhodophyceen-Bruchstücke; 376 - 407 cmKarbonatsand, mittel- bis feinkörnig, gut sortiert, schwach zementiert, weiß leicht gelb: viele Schalen von <u>Barbatia</u> <u>cancellaria</u> 407 - 461 cm Karbonatsand, mittel- bis grobkörnig, sillig, schlecht sortiert, bioturbat, stark zementiert,

einige Schalen von Barbatia cancellaria; viel Homotrema rubrum und Rhodophyceen-Bruchstücke; an der Basis einige größere Bruchstücke von Diploria sp.

etwas kreidig zersetzt, weiß;

Position: Lat. 32°26'38"N Long 64°47'55"W; SW' North Rock N L 0 4 0 Wassertiefe: 16.7 m Kernrohr: Aluminiumrohr 90 x 2,5 mm Kernlänge: 7,46 m Kerngewinn: 76 % Eindringtiefe: 9.8 m 0 - 147 cm Karbonatsand, feinkörnig, leicht grobkörnig, stark siltig, mäßig sortiert, nach unten hin stärker grobkornig, weniger siltig und schlechter sortiert, bioturbat, hellgrau leicht rosa; im Silt und Feinsand viel <u>Homotrema rubrum</u>; einige kleine Schalen: <u>Pitar fulminata, Gouldia</u> cerina, <u>Tellinacea, Laevicardium laevigatum; Vermicularia spirata; Halimeda; viele</u> Sabellaria-Rohren (geschützt lagunär, geringe Wasserbewegung, Sedimentation von Feinmaterial aus dem Saumriff) 147 - 190 cm Karbonatsand, fein- bis grobkörnig, siltig, schlecht sortiert, bioturbat, hellgrau leicht gelb und rosa: im Silt und Feinsand viel <u>Homotrema rubrum</u>; viele Schalen, auch größere: <u>Pitar fulminata</u>, <u>Ervflia sp., Codakia sp., Tellinacea, Laevicardium laevigatum; Vermicularia sp., Modulus modulus, <u>Natica canrena, Oliva reticularis; Halimeda</u> (geschützt lagunar, geringe Wasserbewegung, zeitweise stärkere Wasserbewegung und Ablagerung von aufgearbeiteten Sedimenten aus flacherem Wasser)</u> Karbonatsand, grob- bis feinkörnig, leicht siltig, ab 262 cm stärker siltig, mäßig bis schlecht sortiert, stark bioturbat, hellgrau oben leicht gelb; im Silt und Feinsand viel Homotrema rubrum, nach unten hin weniger, ab 262 cm nur noch selten; viele Muschelschalen, von 215 bis 235 cm mehrere große Schalen; Laevicardium laevigatum, Codakia orbicularis, Tellinacea, Pitar fulminata; viele Schneckenschalen; Modulus modulus, Vermicularia spirata, Bulla striata nach unten hin haufiger; Halimeda z.T. noch grün gefärbt; bei 290 cm dunne Lage aus Karbonatsilt. 190 - 300 cm (Flachwasser, offen lagunär, starke Wasserbewegung, aufgearbeitete Sedimente einer Seegraswiese) 300 - 396 cm Karbonatsilt, grob- bis feinsandig, stark tonig, nach unten hin stärker tonig und weniger sandig, schlecht sortiert, bioturbat, grau; von 300 bis 325 cm sehr viele große Muschelschalen: Laevicardium laevigatum, Codakia orbicularis oft doppelklappig und in Lebendstellung, Tellinacea; sehr viele Schneckenschalen: Vermicularia sp., Modulus modulus, Astraea phoebia, Bulla striata, Columbella mercatoria; etwas Halimeda (Flachwasser, Dack barrier, bay, marin, Seegraswiese) ab 325 cm nur noch wenige Muschelschalen, geringere Diversität: Tellinacea, Pteriacea; mehrere Schneckenschalen wie bei 300 bis 325 cm; Wühlgänge oft grobkörniger, mit grünen <u>Halimeda</u> Bruchstücken (Flachwasser, back barrier, bay, restricted marin) Karbonatsilt, stark tonig, sandig, unten etwas stärker sandig, schlecht sortiert, bioturbat, 396 - 460 cm mittelgrau leicht braun; wenig Muschelschalen: oben Tellinacea, unten Basalschill von Pteriacea; viele Schneckenschalen: Bulla striata, Cerithium lutosum, Modulus modulus, Nassarius albus; etwas Halimeda (Flachwasser, bay - pond, restricted marin) Grenze: unregelmäßig bioturbat, erosiv 460 - 481 cm Torfmudde, feinschichtig, dunkelbraun bis schwarzbraun; einige größere Pflanzenreste (Flachwässer bis Intertidal-Bereich, marsh - pond, brackisch) Holozán Pleistozán Ton, karbonatfrei, olivgrün bis dunkelgrau; viel organisches Material, einige größere Pflanzenstückchen (Wurzel); an der Basis durchsetzt mit Karbonatsand 481 - 497 cmKarbonatsand, mittelkörnig, sehr gut sortiert, nicht zementiert, nur an einigen Schalen fest-zementierter Sand, bis 520 cm heligrau, sonst heligelb; 497 - 695 cm bis 600 cm mehrere zersetzte Pflanzenreste und Nurzeln; ab 600 cm einige Schalen: <u>Transennella</u> sp., <u>Codakia costata</u>, <u>Pitar fulminata</u>, <u>Tellinacea</u>, <u>Chione cancellata</u>, <u>Linga pensylvanica</u>; <u>Cerithium sp., <u>Nassarius albus</u>, <u>Olivella</u> sp.</u> 695 - 746 cm Kernverlust, ausgespült Position: Lat. 32°26'34"N Long. 64°46'11"W; S' North Rock N L 041 Wassertiefe: 19,2 m Kernrohr: Aluminiumrohr 90 x 2,5 mm Eindringtiefe: 5.3 m Kernlänge: 4,62 m Kerngewinn: 87 % Karbonatsand; O bis 5 cm: feinkörnig, stark siltig, hellgrau leicht rosa; 5 bis 25 cm: mittel-körnig, nach unten hin etwas gröber, gradiert, siltig, gut sortiert, hellgrau leicht gelb; im Silt und Feinsand viel <u>Homotrema rubrum</u>; keine Schalen oder Schalenbruchstücke (Sturmwetter-Ablagerung, aufgearbeitete Sedimente aus flacherem Wasser, noch nicht bioturbat 0 - 25 cm

85 - 210 cm	Karbonatsand, fein- bis grobkörnig, siltig nach unten hin abnehmend, mäßig sortiert, bioturbat, hellgrau leicht rosa, nach unten hin leicht gelb; im Silt und feinsand Homotrema rubrum, nach unten hin weniger; lagenweise mehrere Schalen; Tellinacea, Gouldia cerina, Codakia costata, Laevicardium laevigatum, Pitar fulminata; Halimeda; Sabellaria-Röhren nach unten bin weniger (übergangszone, offen - geschützt lagunär, zeitweise stärkere Wasserbewegung)
210 - 225 cm	Karbonatsand, mittel- bis grobkörnig, schwach feinkörnig und siltig, mäßig sortiert, gelbgrau; im Silt und Feinsand etwas Homotrema rubrum; viele Schalenbruchstücke: Laevicardium laevigatum, Tellinacea, Codakia costata, C. orbicularis, Pitar fulminata, Crassinella lunulata; Cerithium sp Modulus modulus, Natica canrena, Strombus sp.; ein Bruchstück von Millepora alcicornis; viele Gerölle aus zementiertem Karbonatsand, kantengerundet bis mäßig geründet, oft mit kleinen Pflanzenröhrchen durchsetzt (Braunalgen oder Wurzeln?), einige Gerölle mit Serpelbewuchs; etwas aufgearbeitetes torfiges Material (Flachwasser, offen lagunär, starke Wasserbewegung)
225 - 240 cm	Karbonatsand, mittel- bis grobkörnig, schlecht sortiert, gelbgrau; einige Schalen: Tellinacea; mehrere Gerölle aus zementiertem Karbonatsand; viel resedimentierter pleistozäner Sand (Flachwasser, starke Wasserbewegung, shoreface)
Holozán	an i manifeman de salvelle de las Millària (M
Pleistozán	
240 - 290 cm	Karbonatsand, fein- bis mittelkörnig, siltig, tonig, gut sortiert, nur kleine zementierte Stücke häufig um Pflanzenmaterial (Murzeln), hellgelb bis weiß; einige Homotrema rubrum, sonst fast kein Schill; einige Homotrema rubrum, sonst fast kein Schill; einige Homotrema rubrum, sonst fast kein Schill; einige Homotrema verfüllt mit Karbonatsand: grob- bis mittelkörnig, mehrere kleine Schalen-bruchstücke, Modulus modulus; höherer Gehalt an organischer Substanz, grau bis braun, (holozänes Material) 258 bis 262 cm mehrere große Stücke aus zementiertem Karbonatsand, Bruchstücke von Millepora alctcornis z.T. von Homotrema rubrum besiedelt, Bulla striata
290 - 385 cm	Karbonatsand, mittel- bis grobkörnig, schlecht sortiert, lagenweise gröberes Material, hellgelb
	leicht rosa; viel Homotrema rubrum; bie 340 cm von Rhodophyceen umkrustete Stücke; 320 bis 326 cm Karbonatsand, mittel- bis feinkörnig, gut sortfert, hellgelb, weniger Homotrema rubrum
385 - 398 cm	Karbonatsand, grobkörnig; sehr viel Homotrema rubrum; von Rhodophyceen umkrustete Stückchen
398 - 425 cm	Karbonatsand, mittelkörnig, gut sortiert, bioturbat, schwach zementiert, hellgelb; nur wenig Schalen: <u>Cerithium sp.; Homotrema rubrum</u> mehrere große Stücke: stark von Rhodophyceen umkrustet, besiedelt von <u>Homotrema</u> <u>rubrum</u> und Rhodophyceen, einige stark zerbohrt durch <u>Botula</u> <u>fusca</u>
N L 0 4 2	Position: Lat. 32°24'53"N Long. 64°46'18"W; N' Beacon N° 8
Wassertiefe: 15	•
	Eindringtiefe: 4,3 m Kernlänge: 2,69 m Kerngewinn: 63 %
0 - 50 cm	Karbonatsand, mittel- bis grobkörnig, siltig, schlecht sortlert; in den Wühlbauten, feinkörnig, hellgrau; sonst hellgrau leicht gelb; sehr wenige Schalen; einige Foraminiferen: Soritidae (geschützt lagunär bis offen lagunär, zeitweise stärkere Wasserbewegung)
50 - 90 cm	Karbonatsand, grob- bis mittelkörnig, schwach siltig, schlecht sortiert, hellgelb leicht grau; viele Schalen: Pitar fulminata, Laevicardium laevigatum, Codakia orbicularis, Tellinacea, Arca sp.; Vermicularia sp., Natica canrena; unten einige Gerölle aus zementiertem Karbonatsand (Flachwasser, offen lagunär, stärkere Wasserbewegung)
90 - 135 cm	Karbonatsand, grob- bis mittelkörnig, schlecht sortiert, hellgelb leicht grün durch Algen; sehr viele Gerölle aus zementiertem Karbonatsand: mittel- bis feinkörnig, einige einzementierte kleine Muschelschalen, Algenbewuchs auf den Oberflächen (fädige Braun- und Grünalgen) nach unten hin abnehmend; nur noch sehr wenige Schalen: Laevicardium laevigatum; viel resedimentierter Karbonatsand, mittelkörnig; oben: viel <u>Halimeda Z.T. noch grün gefärbt</u> (Flachwasser, starke Wasserbewegung, shoreface, felsiges Sublitoral) Grenze: undeutlicher Obergang
Holozān	
Pleistozăn	
135 - 175 cm	Karbonatsand, mittel- bis feinkörnig, guk sortiert, partiell zementiert, hellgelb, oben noch etwas hellgräu; bis 150 cm einige große Pflanzenstücke (Wurzeln), von 160 bis 167 cm mehrere detritische Pflanzen- stücke; sehr wenige kleine Schalen: <u>Transennella</u> sp.
175 - 195 cm	Karbonatsand, mittel- bis grobkörnig, schlecht sortiert, partiell zementiert, hellgelb; viele größere Muschelschalen: <u>Pitar fulminata</u> , <u>Transennella</u> sp., <u>Laevcardium laevigatum</u> , <u>Chione</u> <u>cancellata</u> , <u>Linga pensylvanica</u>

195 - 267 cm Karbonatsand, mittel- bis grobkörnig, schlecht sortiert, bioturbat, partiell stark zementiert, hellaelb: in Wühlgängen sehr viel Schill, dort auch stärker zementiert: Arca sp., Laevicardium laevigatum. Pitar fulminata, Transennella sp., Tellinacea; viel Bulla striata und einge andere Schnecken-schalen; viele Korallenbruchstücke: Millepora alcicornis oft stark von Cliona zerbohrt, Oculina sp., Siderastrea radians in Lebendstellung, Zerbohrt von Botula fusca 267 - 269 cm Kernverlust N L 0 4 3 Position: Lat. 32°27'04"N Long. 54"45'40"W; S' North Rock Wassertiefe: 17,5 m Kernrohr: Aluminiumrohr 90 x 2.5 mm Eindringtiefe: 8.6 m Kernlänge: 6,73 m Kerngewinn; 78 % Karbonatsand, feinkörnig, stark siltig, gut sortiert, schwach bioturbat, hellgrau leicht rosa; viel Homotrema rubrum; einige Sabellaria-Röhrer, sonst keine größeren Schalenbruchstücke (geschützt lagunar, geringe Wasserbewegung, Sedimentation von Feinmaterial aus dem Saumriff) 0 - 53 cm von 15 bis 25 cm Karbonatsand, mittelkörnig, gut sortiert, hellgelb; keine größeren Schalenbruchstücke, etwas Homotrema rubrum, (Sturmwetter-Ablagerung, aufbereitete Sedimente aus flacheren Wasser, noch nicht bioturbat vermischt) Karbonatsand, fein- bis grobkörnig, siltig, schlecht sortlert, hellgrau leicht gelb; mehrere Schalen: Laevicardium laevigatum, Pitar fulminata z.T. doppelklappig, Codakia orbicularis z.T. doppelklappig, Tellinacea; Polinices Tacteus; Halimeda; einige Foraminiferen: Soritidae; etwas Homotrema rubrum (Obergangszone, offen lagunär bis geschützt lagunär, zeitweise stärkere Wasserbewegung und Ablagerung von aufgearbeiteten Sedimenten aus flacherem Wasser) 53 - 200 cm Karbonatsand, mittel- bis grobkörnig, nach unten hin weniger siltig und stärker grobkörnig, 200 - 320 cm schlecht sortlert, bioturbat, z.T. etwas schichtig, hellgelb unten leicht grün; mehrere Muschelschalen, ab 310 cm viele größe Schalen: Laevicardium laevigatum, Pitar fulminata, Codakia orbicularis, Tellinacea; mehrere Schneckenschalen: Bulla striata, Vermicularia sp., Cerithiopsis greeni; sehr viel Halimeda; nach unten hin weniger Homotrema rubrum; an der Basis: Seetgel-Bruchstücke (Mellita), Geröll aus zementiertem Karbonatsand, viel resedimentierter Karbonatsand, feinkörnig (Flachwasser, offen lagunär, starke Wasserbewegung; unten: aufgearbeitetes Sediment einer Seegraswiese) Holozan Pleistozan 320 - 492 cm Karbonatsand, fein- bis mittelkörnig, gut sortiert, stellenweise schwach zementiert, hellgelb, oben und unten leicht grau; stellenweise viel zersetztes Pflanzenmaterial, Wurzel bei 480 cm; bis 370 cm stark durchwühlt, Füllung der Wühlgange (holozanes Material): Karbonatsand, stark siltig, schlecht sortiert, viel organische Substanz, grau bis olivgrün, mehrere Schalen: <u>Codakia orbiculata</u> doppelklappig, viel <u>Modulus modulus</u>, viel <u>Halimeda</u> 492 - 500 cm Karbonatsand, mittel- bis grobkörnig, siltig, schlecht sortiert, stärker zementiert, hellgrau einige Bruchstücke von <u>Oculina</u> sp.; Bohrmuscheln: <u>Lithophaga nigra, Botula fusca; Homotrema rubrum</u> Karbonatsand, mittel- bis grobkörnig, siltig, schlecht sortiert, stellenweise schwach zementiert, 500 - 582 cm oben mittelgrau, unten hellgrau; viel Halimeda; von 500 bis 513 cm Karbonatsand, feinkörniger und besser sortiert 582 ~ 623 cm Karbonatsand, fein- bis mittelkörnig, gut sortiert, schwach zementiert, hellgelb bis weiß; 592 bis 596 cm und Wühlgang bei 610 cm: Karbonatsand wie von 500 bis 582 cm, durch organisches Material leicht braun gefärbt 623 - 650 cm Karbonatsand, mittelkörnig, stellenweise stark zementiert, durch viel organisches Material graubraun gefärbt; viel <u>Halimeda</u>; einige Schalen: <u>Laevicardium laevigatum</u>; <u>Bulla striata, Nassarius albus</u> 650 - 673 cm Karbonatsand, mittelkörnig, gut sortiert, stark zementiert; viel Halimeda Position: Lat. 32°28'25"N Long. 64°42'01"W; North East Breakers Wassertiefe: 19,2 m Kernrohr: Aluminiumrohr 90 x 2,5 mm Eindringtiefe: 8,9 m Kernlänge: 6,89 m Kerngewinn: 77 % Karbonatsand, feinkörnig, stark siltig, gut sortiert, hellgrau leicht rosa; im Silt und Feinsand viel <u>Homotrema rubrum</u>; keine größeren Schalen; <u>Halimeda</u> (tiefe Sandwanne im Saumriff, geschützt, geringe Wasserbewegung) $\Omega = 17 \text{ cm}$ Karbonatsand, fein- bis grobkörnig, siltig, nach unten hin gröber, schlecht sortiert, bioturbat, Wühlgänge stärker siltig, hellgrau leicht rosa und gelb; viel Homotrema rubrum; Halimeda; einige kleine Schalen: Tellinacea, Pitar fulminata, Ervilia sp, Laevicardium laevigatum, Gouldia cerina, Crassinella lunulata, Codakia Costata (Übergang, flache - tiefe Sandwanne im Saumriff, zeitweise stärkere Wasserbewegung, Ablagerung von aufgearbeiteten Sedimenten aus flacherem Wasser) 17 - 140 cm

140 - 228 cm	Karbonatsand, grob- bis mittelkörnig, schwach feinkörnig, nach unten hin grobkörniger, mäßig sortiert, hellgelb leicht rosa, ab 210 cm hellgelb leicht grau; viel <u>Homotrema rubrum</u> von 200 cm an abnehmend; einige Rhodophyceen-Bruchstücke ab 200 cm zunehmend, viele Foraminiferen: Soritidae; <u>Millepora alcicornis Bruchstücke, Halimeda; viele Schalen: Tellinacea, Ervilia sp., Crassinella lunulata, Gouldia cerina, Codakia costata, C. orbicularis, <u>Laevicardium laevigatum, Pitar fulminata, Barbatia domingensis</u> (flache Sandwanne im Riff, starke Wässerbewegung)</u>
228 - 396 cm	Karbonatsand, feinkörnig, schwach grobkörnig, nach unten hin stärker siltig, mäßig sortiert. bioturbat, hellgrau, unten leicht braun; in den Wühlgangen oft grobes Material und viel Homotrema rubrum, sonst weniger Homotrema rubrum, einige Rhodophyceen-Bruchstücke und Foraminiferen: Soritidae, viel Hallmeda; mehrere Schalen: Tellinacea, Ervilia sp., Pitar fulminata, Crassinella lunulata unten häufig doppelklappig, Laevicardium laevigatum, Codakia costata, C. orbicularis, Gouldia cerina; Modulus modulus, Bulla striata; von 250 bis 260 cm Karbonatsand, grobkörnig, viel Homotrema rubrum (back barrier, bay; oben: Flachwasser, marin, washover-Lagen, bioturbat untergemischt; nach unten hin geringere Wasserbewegung, tieferes Wasser, restricted marin)
396 - 455 ст	Karbonatsand, feinkörnig, stark siltig, etwas grobkörniger und tonig, mäßig sortiert, bioturbat, hoher Gehalt an organischer Substanz, hellgrau bis hellbraun; viel <u>Halimeda;</u> einige Schalen: <u>Psammotreta intastriata</u> doppelklappig in Lebendstellung, andere Tellinacea, <u>Codakia orbicularis doppelklappig, Laevicardium laevigatum, Brachidontes domingensis;</u> (Flachwasser, bay, geringe Wasserbewegung, restricted marin)
455 - 503 cm	Karbonatsand, grob- bis feinkörnig, stark siltig und tonig, sehr schlecht sortiert, bioturbat, hoher Gehalt an organischer Substanz, graubraun; viele Rhodophyceen-Bruchstücke und <u>Halimeda</u> ; an der Basis ein Bruchstück von <u>Agaricia fragilis</u> ; einige Muschelschalen: <u>Codakia orbicularis z.T. doppelklappig, Tellinacea, Laevicardium laevigatum Bruchstücke, Pteriacea, Pitar fulminata; viele Schneckenschalen: Modulus modulus, Bulla striata, Batillaria minima, <u>Vermicularia sp., Cerithium lutosum, Astraea phoebia, Cerithiopsis greeni, Nassarius albus; die Bruchstücke sind oft dunkelgrau gefarbt, einige Wühlgange enthalten noch <u>Homotrema rubrum</u> Bruchstücke (eingewühlte washover-Lagen) (Flachwasser, bay - pond, geringe Wasserbewegung, restricted marin)</u></u>
Holozán	
Pleistozän	
503 - 530 cm	Ton, schwach siltig, karbonatfrei, dunkel olivgrün; einige zersetzte Pflanzenstückchen (Wurzeln); vom Hangenden her durchwühlt
530 - 636 cm	Karbonatsand, grobkörnig, gut sortlert, nur um einige Schalen etwas anzementierter Sand, ab 600 ci etwas stärker siltig, einige feinkörnigere Wühlgänge, oben: gelb bis grüngrau durch einfiltrierte: Ton; unten: hellgelb bis weiß; sehr viel <u>Halimeda</u> ; ab 610 cm weniger <u>Halimeda</u> , mehr Rhodophyceen-Bruchstücke und <u>Homotrema</u> rubrum; wenig Muschelschalen: <u>Arca sp., Barbatia domingensis</u> ; mehrere Schneckenschalen: <u>Cerithium</u> <u>Titteratum</u> , <u>C. lutosum</u> , <u>Astraea phoebia</u>
636 - 663 cm	Karbonatsand, grobkörnig, siltig, partiell schwach zementlert, kreidig zersetzt, hellgrau bis weiß schwach rosa; sehr viele Rhodophyceen-Bruchstücke und <u>Homotrema rubrum</u> , eine große Austernschale, mehrere Schneckenschalen: <u>Cerithium litteratum</u> , <u>Vermitidae, Mitra</u> <u>barbadensis, Conus</u> sp.
663 - 667 cm	Karbonatsand, mittel- bis grobkörnig, hellgelb; weniger <u>Homotrema</u> <u>rubrum</u>
667 - 675 cm	Karbonatsand wie von 636 bis 663 cm, stärker zementiert
675 - 689 cm	Karbonatsand wie von 663 bis 667 cm, leicht zementiert
N L 0 4 5 Wassertiefe: 14	• • • • • • • • • • • • • • • • • • • •
	Eindringtiefe: 5,8 m Kernlänge: 4,17 m Kerngewinn: 72 %
0 ~ 49 cm	Karbonatsand, fein- bis mittelkörnig, stark siltig, tonig, mäßig sortiert, bioturbat, grau oben dunkler (stark reduziert); nur wenige Schalen: <u>Pitar fulminata, Gouldia cerina, Codakia costata;</u> bis 16 cm sehr viele bis zu 2 cm große Schlacke- und Kohlestückchen (bioturbat untergemischt bis 32 cm) (geschützt lagunär, geringe Wasserbewegung)
49 - 180 cm Holozăn	Karbonatsand, fein- bis grobkörnig, siltig, tonig, schlecht sortiert, bioturbat, hellgrau, unten: leicht braun; veil Halimeda; sehr viele Muschelschalen, besonders viele große und doppelklappige von 110 bis 130 cm: Pitar fulminata, Codakia orbicularis, C. orbiculata, C. costata, Psammotreta intastriata. Tagelus divisus, andere Tellinacea, Pinctada imbricata, Gouldia cerina, Ervilia sp., Laevicardius laevigatum, Arca sp.; sehr viele Schneckenschalen: Modulus modulus, Astraea phoebia, Natica canrena, Vermicularia sp., Bulla striata, Cerithium lutosum, Batillaria minima, Strombus pugilis (oben: geschützt lagunar, geringe Wasserbewegung; unten: Flachwasser, offen lagunar, Seegraswiese Grenze: unregelmäßig, bioturbat, erosiv

Pleistozán

180 - 190 cm Ton, karbonatfrei, dunkel olivgrün; durchsetzt mit torfigen Pflanzenstückchen, schwarz; stark durchwühlt vom Hangenden her

Karbonatsand, fein- bis grobkörnig, schlecht sortlert, bioturbat, hellgrau, bis 198 cm leicht grün durch Infiltrierten Ton; bis 210 cm stark zementiert (Wühlgänge besonders stark), weiter unten nur an Schalen etwas anzementierter Sand; viele kleine Muschelschalen: Codakia costata, C. orbiculata, Chione cancellata, Piter fulminata, Transennella sp., Aequipecten sp.

231 - 408 cm Karbonatsand, mittelkörnig, siltig, gut sortiert, nach unten hin weniger gut, schwach zementiert.
an Schalen etwas anzementierter Sand, ab 380 cm partiell stärker zementiert;
stellenweise einige größere Schalen: Plicatula gibbosa meistens doppelklappig, Chama sp. z.T.
doppelklappig, Cerithium litteratum, Trimusculus goesi

408 - 417 cm Kernverlust

N L 0 4 6 Position: Lat. 32°21'09"N Long 64°49'16"W; W' Brackish Pond Flats

Wassertiefe: 16,0 m Kernrohr: Aluminiumrohr 90 x 2,5 mm

Eindringtlefe: 5,2 m Kernlänge: 3,08 m Kerngewinn: 59 %

0 - 22 cm Karbonatsand, mittel- bis feinkörnig, sehr stark siltig und tonig, mäßig sortiert, bioturbat, hellgrau; sehr wenige Schalen: <u>Pitar fulminata</u>, <u>Laevicardium laevigatum</u>, <u>Gouldia cerina</u>, <u>Ervilia sp.</u>, Tellinacea; <u>Modulus modulus</u>, <u>Astraea phoebia</u> (geschützt lagunar, geringe Wasserbewegung)

22 - 85 cm Karbonatsand, grob- bis feinkörnig, stark siltig, schlecht sortiert, bioturbat, hellgrau leicht gelb; etwas Halimeda; viele Schalen, unten auch einige größere: Pitar fulminata, Codakia costata, C. orbiculata, Laevicardium laevigatum, Tellinacea, Arca zebra; Modulus modulus, Astraea phoebia, Vermicularie sp., Natica canrene (offen lagunar, zeitweise starere Wasserbewegung, aufbereitete Sedimente einer Seegraswiese)

85 - 100 cm

Karbonatsand, grob- bis feinkörnig, schwach siltig, sehr schlecht sortiert, hellgrau leicht grün; viel Halimeda; sehr viele, auch große Muschelschalen: Codakia orbicularis z.T. doppelklappig, C. orbiculata, Psammotreta intastriata, andere Tellinacea, Laevicardium laevigatum, Pinctada Imbricata, PItar fulminata; viele Schneckenschalen: Modulus modulus, Astraea phoebia, Vermicularia sp. (Flachwasser, starke Wasserbewegung, Sedimente einer Seegraswiese z.T. umgelagert)

Holozán

Pleistozän

100 - 118 cm Ton, karbonatfrei, dunkel olivgrün; stark durchsetzt mit torfigen Pflanzenstückchen, schwarz; viele kleine Bröckchen aus zementierten Karbonatsand, nach unten hin zunehmend; einige kleine Muschelschalen, dunkelgrau

Karbonatsand, mittelkörnig, stellenweise leicht siltig, gut sortiert, partiell stark zementiert, ab 255 cm sehr stark zementiert, hellgelb bis weiß; bis 140 cm einige zersetzte Pflanzenstückchen; mehrere Schalen: Transennella sp., Pitar fulminata. Leevicardium laevigatum, Codakia sp., Linga pensylvanica, Pinctada imbricata, Glycymeris sp., Chama sp., Barbatia domingensis; Cerithium sp., ab 250 cm einige Rhodophyceen-Bruchstücke, Homotrema rubrum, mehrere Foraminiferen, an der Basis einige kleine Korallen-Bruchstücke

N.L. 0 4 7 Position: Lat. 32°24'26"N Long. 64°49'25"W; S' Devils Flats

Wassertiefe: 19.5 m Kermrohr: Aluminiumrohr 90 x 2,5 mm

Eindringtiefe: 8,2 m Kernlänge: 6,68 m Kerngewinn: 82 %

C - 80 cm Karbonatsand, fein- bis mittelkörnig, siltig, nach unten hin grobkörniger, schlecht sortiert, bioturbat, hellgrau; sehr wenige Schalen: Yagelus divisus, Laevicardium laevigatum (geschützt lagunar, geringe Wasserbewegung)

von 5 bis 7 cm Karbonatsand, mittelkörnig, schwach siltig, hellgrau leicht gelb (Sturmwetter-Ablagerung, stärkere Wasserbewegung, aufgearbeitete Sedimente aus flacherem Wasser)

Karbonatsand, fein- bis grobkörnig, siltig, nach unten hin weniger siltig und stärker grobkörnig, schlecht sortiert, bioturbat, hellgrau, ab 160 cm hellgrau leicht gelb; sehr viele Schalen; nach unten hin zunehmend: Pitar fulminata, Laevicardium laevigatum, Tellinacea, Codakia costata, C. orbiculata, Gouldia cerina, Psammotreta intastriata, Chama sp., Vermicularia sp., Columbella mercatoria, Modulus modulus (Obergang, offen - geschützt lagunar, zeitweise stärkere Wasserbewegung)

183 - 231 cm Karbonatsand, grob- bis feinkörnig, schwach siltig, schlecht sortiert, bioturbat, hellgrau leicht delb: Halimeda und sehr viele Rhodophoeen-Bruchstücke, nach unten hin abnehmend; sehr viele Muschelschalen, nach unten hin abnehmend: Chama sp., Pteriacea, Codakia orbicularis, C. orbiculata, Tellinacea, Arca sp.; mehrere Schneckenschalen: Astraea phoebia, Modulus modulus, Bulla striata, Cerithium lutosum (Flachwasser, offen lagunär, starke Wasserbewegung, umgelagertes Material einer Seegraswiese, Abbauprodukte einer Barre) Karbonatsand, mittel- bis feinkörnig, siltig, schwach grobkörnig, schlecht sortiert, bioturbat, stellenweise aufgearbeitetes torfiges Material, hellgrau leicht braun; sehr wenige Muschelschalen: Pteriacea, Codakia orbicularis; mehrere Schneckenschalen: Cerithium lutosum, Bulla striata, Modulus modulus; 241 bis 245 cm einige Lagen Torfmudde, dunkelbraun 231 - 276 cm (Flachwasser, back barrier, bay - pond, restricted marin, geringe Wasserbewegung) Holozán Pleistozko Ton, karbonatfrei, dunkel olivgrün; schwach durchwühlt vom Hangenden her; sehr viele zersetzte Pflanzenreste, einige Wurzeln; 276 - 292 cm an der Basis kleine Gerölle aus stärker verfestigtem Ton Ton, stark durchsetzt mit Karbonatsand, fein- bis grobkörnig, stark siltig, kreidig zersetzt. 292 - 305 cm hellgrau leicht grün; viele zersetzte Pflanzenreste; viele Muschelschalen, nach unten hin zunehmend, alle stark kreidig zersetzt und weich: Gouldia cerina, Glycymeris sp. Karbonatsand, mittel- bis feinkornig, schwach siltig, gut sortiert, schwach zementiert, an einigen Schalen etwas anzementierter Sand, hellgrau leicht gelb; etwas zersetztes Pflanzenmaterial; einige Schalen: <u>Codakia costata, Transennella sp., Laevicardium laevigatum, Linga pensylvanica, Glycymeris sp., Chione cancellata; Bulla striata</u> 305 w 368 cm Karbonatsand, grob- bis feinkörnig, schwach siltig, schlechter sortiert, bioturbat, schwach zementiert, hellgrau leicht gelb, an der Basis etwas organische Substanz, grau; etwas <u>Hallmeda</u>; mehrere Schalen: <u>Transennella</u> sp., <u>Codakia costata</u>; <u>Bulla striata</u> 368 - 392 cm 392 - 625 cm Karbonatsand wie von 305 bis 368 cm. sehr gut sortiert, einige grobkörnigere Lagen oder Wühlbauten: wenige Muschelschalen: Transennella sp., Linga pensylvanica, Codakia costata, Tellinacea Karbonatsand, grobkörnig, oben auch mittelkörnig, gut sortiert, schwach zementiert in kleine Stückchen, hellgrau leicht gelb; 625 - 668 cm viele Rhodophydeen-Bruchstücke, etwas Homotrema rubrum; einige Schalen: Barbatia sp. Position: Lat. 32°19'48"N Long. 54°45'00"W; off Shelly Bay NL 048 Wassertiefe: 13.8 m Kernrohr: Aluminiumrohr 90 x 2,5 mm Eindringtiefe: 7,5 m Kernlänge: 5,48 m Kerngewinn: 73 % 0 - 26 cm Karbonatsand, fein- bis grobkörnig, stark siltig und tonig, schlecht sortiert, bioturbat, hellgrau leicht gelb; sehr wenige kleine Muschelschalen (geschützí lagunar, geringe Wasserbewegung) von O bis 1 cm und von 20 bis 22 cm Karbonatsand, mittel- bis grobkörnig (Sturmwetter-Ablagerung, aufgearbeitete Sedimenté aus flacherem Wasser, noch nicht bioturbat vermischt) 26 - 46 cm Karbonatsand, fein- bis grobkörnig, sillig und tonig, schlecht sortiert, stark bioturbat, hellgrau leicht gelb: einige kleine Muschelschalen: <u>Gouldia cerina</u>, <u>Codakia costata</u>, <u>Laevicardium laevigatum</u>, <u>Psammotreta intastriata</u>; wenige <u>Schneckenschalen: Modulus modulus</u> (<u>Obergangszone: offen - geschutzt lagunar</u>, zeitweise starkere <u>Wasserbewegung</u>) 46 - 118 cm Karbonatsand, grob- bis feinkörnig, schwach siltig, schlecht sortlert, bioturbat, hellgrau bis delb: ab 90 cm mehrere <u>Halimeda</u> Chips; sehr viele Schalen und Schalenbruchstücke (siehe Tab. 15) nach unten hin zunehmend, unten viele Schneckenschalen (Flachwasser, offen lagunär, stärkere Wasserbewegung, Seegraswiese, nach oben hin stärkere Grenze: unregelmäßig, erosiv, bioturbat 118 - 158 cm Karbonatsand, grob- bis feinkörnig, sehr stark tonig, siltig, nach unten hin feinkörniger, sehr schlecht sortiert, hoher Gehalt an organischer Substanz, dunkelgrau leicht braun; schichtig (mm- bis cm-Bereich) durch hellgrave Lagen von Halimeda Bruchstücken, mehrere Seegrasstückchen; starke bioturbate Durchmischung mit Sand aus dem Hangenden; einige Schalen: Codakia orbiculata, C. orbicularis, einige Pteriacea und Tellinacea, <u>Pitar fulminata; Modulus modulus, Astraea phoebia, Vermicularia</u> sp (Flachwasser, back barrier, bay, restricted marin - marin, geringe Wasserbewegung, washover-Lagen mit <u>Halimeda</u> Bruchstücken)

158 - 194 cm Karbonatton, stark siltig, schwach sandig, hoher Gehalt an organischer Substanz, dunkelgrau leicht braun; schichtig wie von 118 bis 158 cm. mehrere Seegrasstückehen; viele Foraminiferen: Miliolidae; sehr wenige kleine Muschelschalen: Codakia orbiculata; einige Schneckenschalen: <u>Modulus modulus</u>, Vermicularia sp., Cerithium <u>lutosum, Cerithiopsis greeni</u> (back barrier, bay - pond, restricted marin, geringe Wasserbewegung) Karbonatsand, fein- bis grobkörnig, oben stark tonig, nach unten hin weniger tonig, mäßig sortiert, durchsetzt mit aufgearbeitetem torfigen Material; oben: dunkelgrau bis braun, unten: 194 - 203 cm hellbraun: wenige Muschelschalen, z.T. Bruchstücke: Pinctada imbricata, Pitar fulminata, Codakia orbicularis, sehr viele Schneckenschalen: Cerithium lutosum, Vermicularia sp., Modulus modulus, Cerithiopsis graeni, Bulla striata, Olivella sp., Astraea phoebia, Nassarius albus (Flachwasser, bay - pond, restricted marin, Basalschill) Grenze: unregelmäßig, erosiv, bioturbat Torf, stark zersetzt, nur wenige Stückchen im frischen Anschnitt braun, sonst schwarz; oben etwas durchwühlt vom Hangenden her 203 - 236 cm (Flachwasser bis Auftauchbereich, marsh, Süßwasser) Holozán Pleistozan Ton, karbonatfrei, dunkel olivgrün; viele Schalen und feinkörnige Schalenbruchstücke, sehr stark angelöst: <u>Transennella</u> sp., Strigilla mirabilis, <u>Linga pensylvanica</u>; Seeigel Bruchstück: <u>Mellita</u> sp.; einige zersetzte Pflanzenstücke, Wurzeln 236 - 252 cm Karbonatsand, mittel- bis grobkörnig, nach unten hin gröber, mäßig sortiert, nicht zementiert, oben: hellgrau leicht gelb, unten: hellgrün bis grau (Grünfärbung durch aufgearbeiteten Ton); an der Basis: mehrere bis zu 1 cm große Gerölle aus Ton, karbonatfrei, grün; einige Gerölle aus Karbonatsand, zementiert, mit grünen tonigen Oberflächen; viel Halimeda, mehrere Schalen: Transennella sp., Strigilla mirabilis, Codakia orbicularis, Arca sp.; Cerithium lutosum, Cerithium litteratum, Modulus modulus 380 - 417 cm Karbonatsand, mittel- bis grobkörnig, gut sortiert, sehr stark zementiert, weiß, Oberflächen der zementierten Stücke grün gefärbt durch infiltrierten Ton; 417 - 438 cm 438 - 453 cm Karbonatsand, fein- bis mittelkörnig, schlecht sortiert, schwächer zementiert, weiß 453 - 460 cmKarbonatsand, feinkörnig, siltig, nicht zementiert, stark kreidig zersetzt, weiß; einige kleine Schalenbruchstücke 460 - 484 cm Karbonatsand, grob- bis feinkörnig, gut gerundete Körner, bioturbat, stellenweise zementiert, stark kreidig zersetzt, weiß 484 ~ 495 cm Karbonatsand, feinkörnig, siltig, stellenweise auch grobkörnig, nicht zementiert, stark kreidig zersetzt, weiß 495 - 504 cm Karbonatsand, grob- bis mittelkörnig, sehr gut gerundete Körner, stellenweise zementiert, 504 ~ 510 cm Karbonatsand, fein- bis mittelkörnig, nicht zementiert, stark kreidig zersetzt, weiß 510 ~ 548 cm Karbonatsand, mittel- bis feinkörnig, sehr stark zementiert, hellgrau bis weiß; viele Foraminiferen: Rotaliina N L 0 4 9 Position: Lat. 32°18'18"N Long. 64°52'12"W; Somerset Long Bay Wassertiefe: 1,8 m Kernrohr: Aluminiumrohr 90 x 2.5 mm Eindringtiefe: 3.7 m Kernlänge: 3,05 m Kerngewinn: 83 % 0 - 68 cm Karbonatsand, grob- bis feinkörnig, siltig, schlecht sortiert, stark bioturbat, hellgrau leicht gelb; ab 40 cm Wühlbauten mit mehreren grünen <u>Halimeda</u> Bruchstücken; sehr viel Halimeda, einige Schalen: Codakia orbicularis, C. costata; Fissurella barbadensis, Bulla striata; mehrere Pflanzenreste, Wurzeln, von O bis 10 cm viele Seegrasrhizome (Flachwasser, stärkere Wasserbewegung, oben: Seegraswiese) 68 - 107 cm Karbonatsand, mittelkörnig, gut sortiert, hellgrau bis hellbraun; bioturbat, Wühlgange: Karbonatsand wie von 0 bis 68 cm; wenige kleine Schalen: Gouldia cerina z.T. stark angelöst. <u>Pitar fulminata, Brachidontes domingesis, Cerithium lutosum</u>; mehrere torfige Bröckchen, einige Pflanzenstückchen, Wurzeln (Flachwasser, stärke Wasserbewegung, shoreface) 107 - 112 cm Torf; von 107 bis 110 cm Torfmudde mit dünnen Sandlagen; weich, plastisch, schwarzbraun, mit einigen holzigen Stückchen, braun

(Flachwasser - Intertidalbéreich, back barrier, marsh - pond. Süß- bis Salzwasser)

Ton, karbonatfrei, braungrau bis olivgrün, sehr viel torfiges Material; durchsetzt mit sehr wenig Karbonatsand, mittelkörnig, gut gerundet, weiß; einige schwarz 112 - 120 cm gefärbte Schalenbruchstücke, wenige Schalen von <u>Planorbis</u> sp. (Aufgearbeiteter Residualboden, Süßwasserablagerung, wetland) (Holozan oder Pleistozan) Rolozán Pleistozăn Ton, karbonatfrei, grau; sehr viele zersetzte Pflanzenstückchen und Wurzeln, z.T. zementiert; nach unten hin zunehmender 120 - 137 cm Gehalt an Karbonatsand, mittelkörnig (Residualboden, autochthon) Karbonatsand, mittel- bis grobkörnig, gut gerundet, gut sortiert, bis 227 cm schwach zementiert in Stücke bis 5 cm ϕ , ab 227 cm stark zementiert, leicht plattig, hellbraun bis hellgrau leicht 137 - 305 cm gelb; bis 148 cm viele Pflanzenstückchen, holzig, teilweise zementiert. Wurzeln: keine größeren Schalen N L 0 5 0 Position: Lat. 32°18'23"N Long. 64°52'26"W; Somerset Long Bay Wassertiefe: 6.2 m Kernrohr: Aluminiumrohr 90 x 2.5 mm Eindringtiefe: 6.5 m · Kernlänge: 4,11 m Kerngewinn: 63 % Karbonatsilt, stark sandig, fein- bis grobkörnig, schlecht sortiert, bioturbat, hellgrau; etwas <u>Halimeda</u> in Wühlgängen; einige Schalen: Tellinacea, <u>Laevicardium laevigatum; Bulla striata</u> Q - 60 cm (Flachwasser, geschützt lagunar, geringe Wasserbewegung) Karbonatsilt, stark sandig, grob- bis feinkörnig, schlecht sortiert, bioturbat, hellgrau; <u>Halimeda</u>; viele kleine Schalen, einige größere: <u>Pinctada imbricata, Psammotreta intastriata</u> 60 - 120 cm doppelklappig, Tagelus divisus (Flachwasser, offen bis geschützt Tagunär, zeitweise stärkere Wasserbewegung, Ablagerung von aufgearbeitetem Material aus flacherem Wasser) 120 - 170 cm Karbonatsilt, schwach sandig, fein- bis grobkörnig, mäßig sortiert, biotyrbet, bis 140 cm mehrere grobkörnige Wühlgänge, weiß bis hellgrau; sehr wenige Schalen: <u>Laevicardium laevigatum</u>; <u>Modulus modulus</u> (Flachwasser, geschützt lagunar, geringe Wasserbewegung) Karbonatsand, mittel- bis grobkörnig, schwach siltig, lagenweise mäßig siltig, schlecht sortiert, bioturbat, hellgrau bis hellgelb, unten leicht grün; sehr viele große Schalen: bis 210 cm: Laevicardium laevigatum, Tagelus divisus. Psammotreta Intastriata; Modulus modulus, Cerithium lutosum; ab 210 cm: Codakia orbicularis, C. orbiculata, C. costata, Pitar fulminata, Laevicardium laevigatum, Brachidontes domingensis; Cerithium lutosum; unten: mehrere Gerölle aus Karbonatsand, zementiert, eckig bis kantengerundet, an den Oberlächen oft grüne Algenkrusten; viel resedimentierter, pleistozäner Karbonatsand (Flachwasser, starke Wasserbewegung, Sedimente einer Seegraswiese, nach oben hin stärkere Umlagerung) 170 - 245 cmÚmlagerung) 245 - 270 cm Karbonatsand, mittelkörnig, schwach fein- und grobkörnig, leicht siltig, gut sortiert, bioturbat, mittelgrau leicht gelb, durch Algen etwas grün gefärbt; einige kleine Schaden: Codakia costata, Ervilia sp., Brachidontes domingensis; Cerithium lutosum, Bulla striata, Modulus modulus; einige pleistozane Schalen, stark abgeschliffen: Linga pensylvanica; einige Gerölle wie bei 240 cm, sehr viel resedimentierter, pleistozaner Karbonatsand (Flachwasser, starke Wasserbewegung, shoreface, felsiges Sublitoral) Holozán. Pleistozän 270 - 387 cm Karbonatsand, mittelkörnig, gut gerundet, sehr gut sortiert, geschichtet in dünnen Lagen mit etwas unterschiedlicher Korngröße, bei 270 cm schwach zementiert, sonst nicht zementiert, helldelb: sehr wenige kleine Schalenbruchstücke, wenig Homotrema rubrum 387 - 391 cm Karbonatsilt, zementiert, hellgelb bis weiß Karbonatsand, mittel- bis grobkörnig, leicht siltig, schlecht sortiert, hellgelb bis weiß; 391 - 411 cm geschichtet: mehrere dünne Lagen, dunkelbraun, humos, einige kleine Schalenbruchstücke: Cerithium lutosum

N L 0 5 1 Position: Lat. 32°18'28"N Long. 64°52'34"W; Somerset Long Bay

Wassertiefe: 11,2 m Kernrohr: Aluminiumrohr 90 x 2,5 mm

Eindringtiefe: 5,8 m Kernlänge: 4,93 m Kerngewinn: 85 %

0 - 43 cm Karbonatsilt, stark sandig, feinkörnig, bioturbat, hellgrau; einige kleine Muschelschalen: Tellinacea, <u>Pinctada imbricata</u>, <u>Codakia orbiculata</u>; viele Schneckenschalen: <u>Vermicularia</u> sp., <u>Bulla striata</u>, <u>Cerithium</u> <u>lutosum</u> (geschützt lagunär, geringe Wasserbewegung)

43 - 72 cmKarbonatsand, stark siltig, mittel- bis grobkörnig, bioturbat, hellgrau, stellenweise leicht viele Schalen, auch größere: <u>Laevicardium laevigatum</u>, <u>Psammotreta intastriata doppelklappig in</u> Lebendstellung, <u>Tagelus divisus</u>, <u>Codakia costata; Vermicularia sp., Bulla striata, Cerithium</u> Tüffen bis geschützt lagunar, zeitweise stärkere Wasserbewegung, Ablagerung von aufgearbeitetem Material aus flacherem Wasserl 72 - 100 cm Karbonatsilt, feinsandig, an den Grenzen schwach bioturbat, hellgrau bis weiß; sehr wenige Schalen: Laevicardium laevigatum, Vermicularia sp., Cerithium lutosum (geschützt lagunar, geringe Wasserbewegung) 100 - 185 cm Karbonatsand, mittel- bis grobkörnig, mäßig siltig, nach unten hin weniger siltig, mäßig sortiert, biotyrbat, hellgrau, nach unten hin gelber und leicht grün; sehr viele große Schalen, in Wühlgängen angereichert, ab 145 cm etwas weniger Schalen, Muschelschalen einige doppelklappig: Laevicardium laevigatum, Psammotreta intastriata, Codakia costata, Pitar fulminata; viele Schneckenschalen: Cerithium lutosum, Cerithiopsis greeni. Vermicularia sp. (Flachwasser, starke Wasserbewegung, offener Sandboden) Karbonatsand, fein- bis grobkörnig, schwach siltig, nach unten hin stark siltig, schlecht sortiert, bioturbat, hellgelb, nach unten hin stärker grau; mehrere Halimeda Bruchstücke und viele Schalen, nach unten hin etwas weniger Schalen, Muschelschalen haufig doppelklappig: Codakia orbicularis oft Seegrasstückchen auf den Oberflächen, C. orbiculata, C. costata, Laevicardium laevigatum, Tellinacea; viele Schneckenschalen: Astraea phoebia, Modulus modulus (Flachwasser, zeitweise stärkere Wasserbewegung, Seegraswiese) 185 - 250 cmKarbonatsand, fein- bis mittelkörnig, stark siltig, bioturbat, nach unten hin viel aufgearbeitetes torfiges Material, grau bis gelbbraun, dunkelgraue Schlieren; einige Muschelschalen: Laevicardium laevigatum, Codakia sp.; mehrere Schneckenschalen: Cerithium lutosum, Batillaria minima, Vermicularia sp., Bulla striata, Olivella sp. (Flachwasser, zeitweise stärkere Wasserbewegung, shoreface, aufgearbeitetes Material restricted 250 - 265 cm marin) Torfmudde, gut geschichtetes Material, plattig, holzig (Blätter?), frischer Anschnitt braun, sonst schwarz bis braunschwarz, unten einige Lagen aus Yon (Flachwasser - Intertidalbereich, marsh - pond, Süß- bis Salzwasser) 265 - 287 cm Ton, karbonatfrei, dunkelolivgrün bis braun (Munsell soil color: 5Y 3/2, 10 YR 3/2); viel torfiges Material (Wurzeln und Blätter) (aufgeärbeiteter Residualboden) 287 × 316 cm Holozán Pleistozan Ton, karbonatfrei, olivgrün bis grau; sehr viele zersetzte Pflanzenstückchen und Wurzeln z.T. zementiert; nach unten hin zunehmender 316 - 327 cm Gehalt an Karbonatsand; an der Basis einige Muschelschalen: <u>Transennella</u> sp. angelöst (Residualboden, autochthon) 327 - 423 cm Karbonatsand, mittelkörnig, gut sortiert, schwach zementiert in kleine Stückchen, hellgelb bis weiβ; bis 375 cm; viele zersetzte Pflanzenstückchen und Wurzeln, holzig, z.T. zementiert; einige Schalen: Transennella sp., Olivella sp.; ab 375 cm; weniger Schalen 423 - 438 cm Karbonatsand, mittel- bis grobkörnig, etwas schlechter sortiert, stärker zementiert in viele kleine Stücke, hellgelb; mehrere Schalen: Brachidontes domingensis, Barbatia cancellaria, Transennella sp., Linga pensylvanica; Olivella sp. Karbonatsand wie von 327 bis 423 cm; einige Schalen: <u>Arca imbricata, Chama sp., Transennella sp.; Olivella sp.; ein Geröll aus</u> Karbonatsand, mäßig gerundet, stark zementiert, Oberflächen zerbohrt und mit Serpelbewuchs, anzementierter Karbonatsand 438 - 475 cm 475 - 493 cm Kernverlust 0 5 2 Position: Lat. 32°18'25"N Long. 64°52'30"W; Somerset Long Bay Wassertiefe: 4,0 m Kernrohr: Aluminiumrohr 90 x 2,5 mm Eindringtiefe: 5,8 m Kernlänge: 4.63 m Kerngewinn: 80 %

und Rhodophyčeen-Bruchstücke

Karbonatsand, grob- bis feinkörnig, siltig, schlecht sortiert, stark bioturbat, hellgrau;
sehr viel <u>Halimeda</u>, etwas zersetztes Pflanzenmaterial; wenige größere Schalen: <u>Codakia costata</u>;
Fisurella barbadensis

(Flachwasser, starke Wasserbewegung, offener Sandboden, Riffhang)

0 - 50 cm

Nur geringfügige Unterschiede in der Sedimentzusammensetzung, nach unten hin mehr Korallen

	102
50 - 90 cm	Karbonatsand wie von O bis 50 cm, etwas stärker siltig; weniger <u>Halimeda</u> , mehrere größere Muschelschalen: <u>Codakia orbicularis</u> , <u>C. costata</u> , <u>Arca</u> sp., <u>Chama</u> sp.; <u>Modiolus americanus</u>
90 - 300 cm	Karbonatsand wie von O bis 50 cm; ab 170 cm sehr viel Halimeda; wenige größere Schalen: Codakia orbicularis und C. costata einige doppelklappig, Tellinacea, Modiculus americanus, Chama sp., Laevicardium laevigatum, Columbella mercatoria; bei 240 cm Bruchstück von Diploria sp. (Flachwasser, starke Wasserbewegung, offener Sandboden, Riffhang)
300 - 345 cm	Karbonatsand wie von O bis 50 cm, hellgrau leicht grün; sehr viel <u>Halimeda</u> , mehrere Rhodophyceen-Bruchstücke; sehr wenig Schalen: <u>Pitar fulminata</u> (Flachwasser, starke Wasserbewegung, Riffhang)
345 - 362 cm	Karbonatsand, grobkörnig, schwach siltig, hellgrau leicht gelb; besteht fast nur aus <u>Halimeda</u> und Rhodophyceen-Bruchstücke
362 - 375 cm	<u>Diploria</u> sp., überkippt orientiert, Unterseite bei 362 cm stark bewachsen von <u>Homotrema rubrum</u> und umkrustenden Rhodophyceen, angebohrt von <u>Lithophaga</u> <u>nigra</u>
375 - 410 cm	Karbonatsand, fein- bis grobkörnig, stark siltig, schwach bioturbat, hellgrau;
	weniger <u>Halimeda</u> ; von 385 bis 392 cm Karbonatsand, grobkörnig, schwach siltig, sehr viel <u>Halimeda</u> und Rhodophyceen- Bruchstücke, ein Korallen-Bruchstück und <u>Tellina listeri</u>
410 - 425 cm	Karbonatsand, grobkörnig, schwach siltig, hellgrau; sehr viel Rhodophyceen-Bruchstücke und <u>Hallmeda</u> ; mehrere Schalen: <u>Codakia costata</u> , <u>Laevicardium</u> <u>laevigatum</u> ; mehrere Korallen-Bruchstücke: <u>Diploria</u> sp., <u>Oculina</u> sp.
425 - 453 cm	Karbonatsand, mittel- bis grobkörnig, hellgrau leicht gelb; sehr viele Rhodophyceen-Bruchstücke, etwas Halimeda; wenig <u>Homotrema rubrum</u> , ein Korallen-Bruch- stück, einige Schalen: <u>Pitar fulminata, Codakia orbicularis, Laevicardium Taevigatum;</u> von 430 bis 435 cm Karbonatsand wie von 410 bis 425 cm, etwas weniger Grobschill (Flachwasser, starke Wasserbewegung, Riff)
453 - 463 cm	Kernverlust
N L 0 5 3 / 1	
Wassertiefe: 4,	
	Eindringtiefe: 3,7 m Kernlänge: 2,67 m Kerngewinn: 72 %
0 ~ 26 cm	Karbonatsand, grobkörnig, leicht siltig, mäßig sortiert, hellgrau nach unten hin leicht gelb; wenige größere Bruchstücke: <u>Millepora</u> <u>alcicornis</u>
26 – 74 cm	Karbonatsand, grobkörnig, siltig, schlecht sortiert; Bruchstücke größer als von O bis 26 cm: zerbrochene Molluskenschalen: <u>Chama</u> sp. z.T. stark angelöst; Korallen-Astchen: <u>Oculina</u> sp.
74 - 77 cm	Karbonatkruste, lagiger Aufbau, dicht massiv, Aufwuchs von Serpeln, zerbohrt von <u>Cliona</u> sp. und kleinen <u>Lithophaga</u> sp., überkippt orientiert
77 - 197 cm	Karbonatsand, grobkörnig, siltig; viele Bruchstücke, bis einige cm ø: 77 bis 90 cm: mehrere Millepora alcicornis Bruchstücke; 90 bis 105 cm: Diploria sp., aufrecht orientiert. Oberfläche narbig angelöst, von Homotrema rubrum besiedelt, Bohrlöcher von Lithophaga sp.; 105 bis 130 cm: mehrere Muschelschalen-Bruchstücke, massiv, Kalkalgenkrusten, Chama sp. von Cliona zerbohrt; 130 bis 133 cm: Diploria sp. 133 bis 197 cm: mehrere große Muschelschalen: Chama sp., Spondylus sp., Lucinidae doppeiklappig; mehrere Korallenbruchstücke, hauptsächlich dendroide Formen: Oculina sp., Diploria sp., Isophyllia sp. mit Kalkalgenkruste (O bis 197 cm: Flachwasser, kleine Sandwanne im Riff)

197 - 267 cm Karbonatsand, grobkörnig, siltig; mehrere große Stücke von Diploria sp., einige aufrecht orientiert (Flachwasser, Riffskelett mit Höhlraumfüllung)

N L 0 5 3 / 2 Position: Lat. 32°21'07"N Long. 64°44'37"W; S' Bailey's Bay Flats

Wassertiefe: 3,4 m Kernrohr: Aluminiumrohr 90 x 2,5 mm

Eindringtiefe: 4,8 m Kernlänge: 2,80 m Kerngewinn: 58 %

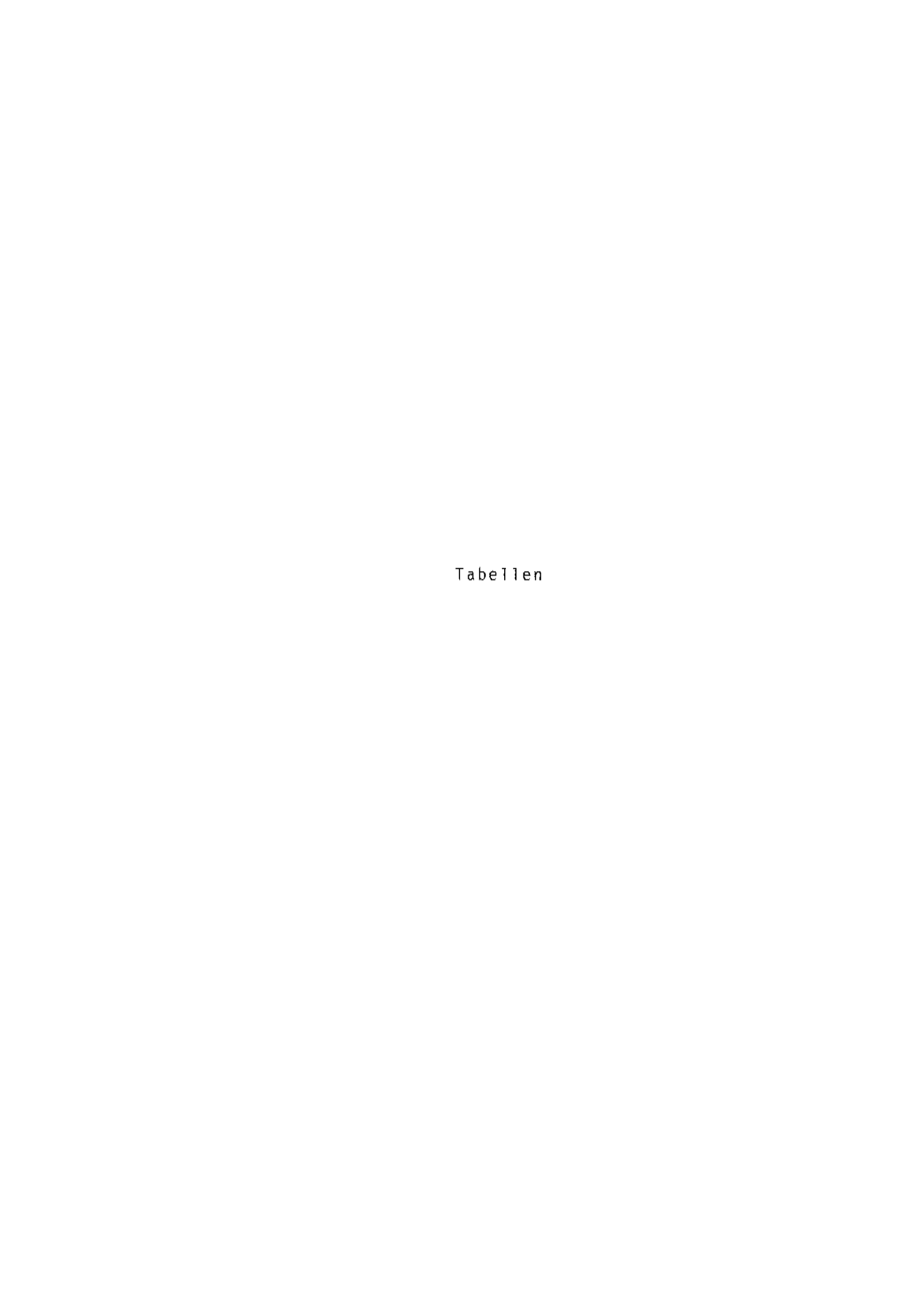
- 0 10 cm große Kalkalgenstücke, z.T. von <u>Homotrema rubrum</u> besiedelt, Oberflächen gelb und grün, wenige Korallenbruchstücke: <u>Oculina sp. stark umkrustet</u> (Flachwasser, Riffskelett ohne Hohlraumfüllung)
- 10 25 cm Karbonetsilt, tonig, schwach feinsandig, grau bis hellgrau leicht grün; mehrere 1 bis 3 cm große Kalkalgenstücke; Oculina sp.
- 25 38 cm <u>Diploria strigosa</u>, Kalkalgenkruste auf der Oberfläche

Karbonatsand, grobkörnig, stark tonig und siltig, schlecht sortiert, grau bis hellgrau leicht grün; sehr viele Kalkalgenstücke: Rhodophyceen-Bruchstücke; Korallen-Bruchstücke: Oculina sp., Milleppra alcicornis, Diploria striggsa, Montastrea annularis; einige Muschelschafen: Chama sp. Spondylus Sp., Arca sp.; Komponenten oft stark von Kalkalgen umkrustet

105 - 115 cm Montastrea annularis, von Kalkalgen und Bryozoen umkrustet, auf der Unterseite von Homotrema rübrum besiedelt

115 - 189 cm Karbonatsilt, stark tonig, sandig, von 115 bis 123 cm stark sandig, schlecht sortiert, grau bis hellgrau leicht grün; sehr viele Kalkalgenstücke und einige Millepora alcicornis Bruchstücke; von 145 bis 165 cm: ein großes Stück Montastrea annularis auf Millepora alcicornis aufgewachsen (von 10 bis 189 cm Flachwasser, Riffskelett mit Hohlraumfüllungen)

189 - 267 cm Karbonatsand, mittelkörnig, tonig und siltig, etwas besser sortiert, hellgrau z.T. leicht gelb; sehr viele Millepora alcicornis Bruchstücke; mehrere Muschelschalen: Arca imbricata, Chama sp., Spondylus sp., Codakia orbiculata; mehrere Korallen-Bruchstücke: Oculina sp., Diploria labyrintiformis von Lithophaga nigra und Gestrochaena sp. angebonrt, Porites sp.; (Flachwasser, kleine Sandwanne im Riff)



Tab. 1: Physiographische Provinzen der North Lagoon und des Saumriffs (siehe Abb. 13)

		average depth to Pre-Holocene	average inter-reef-se thickness	diment		
		surface		reef	S	r⊕marks
		(না)	(m)	frequent	rare	
1	SW' reef rim	17.2	S	x		Holocene ledge reef: dense Pleistocene rim: broad and high
2.	NE' reef rim	18.7	5	×		Holocene ledge reef: open Pleistocene rim: small and low
3	SW' lagoon, Oculina reef	22.0	10	x		thick accumulations of branched corals with associated muddy sediment matrix
4	SW basin	19.9	2.7		×	bottom sediments: muddy, <u>Vermicularia</u> shells; some patch reefs, <u>Oculina-assemblage;</u> similar to area ll
5	SW reef area	15.0	3.2	×		Holocene shoals on Pleistocene rises; thick associated inter-reef-sediments
6	Ireland Island basin	17.5	2.6		×	average depth of Pre-Holocene surface and of Holocene sediment thickness; similar to area 8
7	central reef area	14.8	1.9	Х		highest Pre-Holocene surface; thin associated inter-reef-sediments
8	Murrays Anchorage basin	17.7	2.5		х	similar to area 6
9	White Flats	15.6	3.8	х		Holocene shoals on Pleistocene rises; thick associated inter-reef-sediments
10	Three Hill Shoals	20.4	3.2	х		Holocene shoals on strong cemented Pleistocene sand (seismic sequence 1)
11	N basin	19.1	2.7		x	bottom sediments: silty; some patch reefs; similar to area 4
12	NE reef area	21.3	1.8	×		dense standing tall and slender patch reefs; very thin inter-reef-sediments
13	N reef area	19.0	3.8	X		Holocene shoals on Pleistocene rises, lobate extensions of the reef rim

Tab. 2: Volumen holozäner Sedimente

					area (km²)	average thickness (m)	volume (10 ⁶ m³)
North Lagoon	(289 km²)	reefs	(15	%)	43	9	387
worth Lagoon	(203 km-)	lagoonal bottom	(85	%)	246	2.7	664
reef rim	(173 km²)	reefs	(70	%)	120	9	1080
	,	deep sand-pockets and -channels	(30	%)	53	5	265
Σ,					462	5.2	2396

Station	Latitude North	Longitude West	Water depth (M.S.L.)	Location
NL 001	32"22'02"	04°42'58"	16.4	off Whalebone Bay (Ferry Point)
NL 002	35,53,31,	64°43'45"	14.8	Murrays Anchorage
NT 003	32°24'55"	64°44'30"	17.3	Three Hill Shoals
NL 004	32"25:27"	6444406"	6.1	Three Hill Shoals
NL 005	32"25'57"	64"44'32"	17.5	N' Three Hill Shoals
NL 006	32°26'25"	64°45'12"	18.3	N' Three Hill Shoals
NL 007	32°27'35"	64°46'01"	16.5	5' North Rock
NF 008	32°28′28"	64°45'48"	8.6	E' North Rock
NL 009	32"28'42"	64°46'02"	16.2	N' North Rock
NL 010	32°21'50"	54°42°50"	6.0	Whalebone Bay (Ferry Point)
NL OI1	32°20'56"	64°43'23"	1.5	Bailey's Bay
NL 012	32°20'47"	64°44'23"	8.9	Crawl Flats
NL 013	32°21'15"	64"44'53"	11.9	S' Bailey's Bay Flats
NL 014	32°22'20"	64°46'06"	11.8	NW' Bailey's Bay Flats
NL 015	32°23'27"	64°47'24"	4.6	E' White Flats
NL 016	32°24'16"	64°48′27"	16.1	SE' Devils Flats
NL 017	32°23′45"	64°50`28"	19.0	N' White Flats
NL 018	32°23'12"	64°52148"	12.3	Eastern Blue Cut
NL 019	32°22'45"	64°46'36"	11.2	NW' Bailey's Bay Flats
NF 050	32°21'45"	64°45'06"	12.6	Bailey's Bay Flats
NL 021	32°22'36"	64°42'13"	18.2	off Cherrystone Hill
NL 022	32°20'09"	64°46'24"	11.6	W' Crawl Point
NL 023	32°25'04"	64°44'30"	17.0	Three Hill Shoals
NL 024	32°26'33"	64°45'08"	17.7	N' Three Hill Shoals
NL 025	32°24'45"	64°48'49"	18.2	E' Devils Flats
NL 026	32°25'29"	64°49'40"	15.2	N' Devils Flats
NL 027	32°24'13"	64°44'42"	15.4	Murrays Anchorage
NL 028	32"24'42"	64°39′19"	19.2	NE' Fort St. Catherine
NL 029	32°24'27"	64°40'25"	19.5	N' Fort St. Catherine
Nr 030	32°24'13"	64°41'57"	16.9	North Channel
NL 031	32"26'38"	64°38'38"	19.6	W' Kitchen Shoals
MF 035	32°18'59"	64°48'46"	11.2	NE' Hogfish Beacon
NL 033	32"17'02"	64°57'30"	15.0	\$E' Western Ledge Flats
NL 034	32°17'31"	64°58'35"	7.0	S' Western Ledge Flats
NL 035	32°16'53"	64°55'50"	18.9	w' wreck Hill
NL 036	32°16'46"	64"54'28"	19.7	W' Wreck Hill
NL 037	32"16'33"	64°53'45"	18.0	W' Wreck Hill
NL 038	32°20'53"	64°54'23"	11.1	NW' Rockfish Shoals
NF 039	32°19'42"	64°53'25"	14.3	SE' Rockfish Shoals
NL 040	32"26'38"	64°47′55"	16.7	SW' North Rock
NL 041	32°26'34"	64°46′11"	19.2	S' North Rock
NL 042	32°24'53"	64°46'18"	15.5	N' Beacon Nº 8
ME 043	32°27'04"	64"45'40"	17.5	S' North Rock
NL 044	32°28`25"	64°42'01"	19.2	North East Breakers
NL 045	32°19'17"	64°49'23"	14.4	Grassy Bay
NL 046	32°21'09"	64°49'16"	16.0	W' Brackish Pond Flats
NL 047	32"24'26"	64°49'25"	19.5	S' Devils Flats
NL 048	32°19'48"	64°45'00"	13.8	off Shelly Bay
NL 049	32°18'18"	64°52'12"	1.8	Somerset Long Bay
NL 050	32"18'23"	64°52'26"	6.2	Somerset long Bay
NL 051	32°18'28"	64°52′34″	11.2	Somerset Long Bay
NL 052	32"18'25"	64°52′30"	4.0	Somerset Long Bay
NL 053/1	32°21'07"	64~44'37"	4.8	Crawl flats
NL 053/2	32°21'07"	64°44'37"	3,4	Crawl Flats

Tab. 4: Proben von Stränden der North Shore

Samples from North Shore	e beaches
Shelly Bay Lat.	. 32°19'53"N Long. 64°44'19"W
SB 1 foreshore	
SB 2 inshore	
Gibbons Bay Lat.	. 32"19'18"N Long. 64"44'29"W
GB 1 backshore	
GB 2 lower foreshore	
GB 3 inshore	
Somerset Long Bay Lat.	. 32°18'12"N Long, 64°52'18"W
SLB 1 backshore	
SLB 2 upper foreshore	
SLB 3 lower foreshore	

Korngrößenverteilungen (Tab. 5 bis 7)

Tab. 5: Korngrößenverteilungen von Proben rezenter Strandsande der North Shore (Abb. 21)

GRAIN SIZE								
FRACTION		2	-	2	M٦	-	2.	m
(pm)	53	8	89	89	99	81.B	SEB	SLB
> 3150	2.5	. 2	1.5	29.9	.0	2.0	6.2	2.3
2500 - 3150	1.5	-3	.9	5.9	٠.0	.7	3.7	1.9
2000 - 2500	2.7	.3	.9	5.6	.0	1.2	4.8	2.7
1600 - 2000	6.5	. 4	1.5	7.7	.0	3.0	9.1	4.8
1250 - 1600	13.1	-7	2.3	10.1	_1	6.9	13.6	8.5
1000 - 1250	16.0	.2	2.7	9.9	.1	9.6	11.8	9.7
800 - 1000	18.7	.6	4.1	9.8	.8	13,1	10.8	12.0
630 - 800	13.1	1.2	5.4	6.0	1,6	13.3	7.5	9.7
500 - 630	8.8	2.2	6.9	3.1	3.1	12.7	5.7	8.3
400 - 500	5.6	5.6	10.3	2.4	8.5	12.9	6.2	8.6
315 - 400	3.1	10.5	11.6	2.0	12.3	9.1	5.0	6.9
250 - 315	2.6	25.4	14.3	2.3	19.3	6.9	5.0	8.1
200 - 250	2.6	28.7	14.5	2.0	21.8	4.5	4.6	8.1
160 - 200	1.4	17.0	13.6	1.4	19.9	1.7	3.1	5.3
125 - 160	. 8	5.7	8.1	.9	10.1	,,7	1.5	2.1
100 ~ 125	. 1	. 3	.7	. 3	.9	.2	.3	. 3
80 - 100	.2	.0	.1	-2	_1	.1	.2	. 1
63 - 80	, 1	. 1	.0	.2	_1	.1	.2	. 1
20 ~ 63	.2	_3	.2	. 2	- 2	. 4	.3	.2
6.3 - 20	.7	.2	, 1	.1	.2	.3	. 1	_ 1
2 - 6,3	. 1	, 2	.1	.1	.2	.3	. 1	- 1
< 2	., 1	.2	.1	. 1	. 2	.3	. 1	.1
MAXIMUM								•
GRAIN SIZE	8.0	4.0	6.3	25.0	3.2	8.0	10.0	6.3
(mm)								

	orngr berfl									nt-			Tab. 6
GRAIN SIZE	100	200	5003	30%	905	306	1 37	88	600	010	011	012	
FRACTION (µm)	0 ₹	0 7#	**	앞	₩	떭	<u>₩</u>) 1	D		0 **	넕	
C pm 7	-70 0	न्तः		Z	z	25	2	22	न्तः	न्द	₩.	-	
> 3150	.6	. 4	1.0	1.5	.7	. 3	.0	10.9	3.4	4.7	1.7	1.5	
2500 - 3150	.7	.2	1.0	.9	.5	.2	.0	6.9	3.0	1.1	1.7	1.6	
2000 - 2500	.8	.3	1.6	1.3	.9	.4	.0	7.1	4,3	1.6	1.3	2,4	
1600 - 2000	2.3	.7	4.6	3.1	5.6	1.1	.1	12.3	8.7	3.2	2.7	4.6	
1250 - 1600	6.2	3.3	10.8	6.2	8.8	4.3	. 7	16.6	17.6	6.4	5.1	7.3	
1000 - 1250	11.2	5.7	11.2	10.9	11.4	6.8	1.8	16.7	22.4	7.6	5.8	8.9	
800 - 1000	15.1	7.0	9.6	18.7	12.2	8.0	3.7	13.2	22.6	9.7	7.4	11.0	
630 - 800	14.4			22.2	11.0	7.5	4.6	8.1	12.0	11.4	9.4	11.7	
500 630	11.1	7.7 8.0	7.8 6.0	16.6	8.3	5.8	4.1	2.7	3.6	11.7	12.0	10.3	
400 - 500	9.7	9.5	5.9	10.2	7.6	5.2		1.7	1.2	13.7	18.1	10.5	
315 - 400	8.0		5.5	4.1	6.5	4.4	3.4 2.9	1.6	.5	13.2	18.2	9.4	
250 - 315	4,6	8.6	4.7	1.4	4.8	3.5	2.3	.8	.2	7.9	9.2	7.0	
		6.1										4_8	
200 - 250 160 - 200	2.3	4.4	4.7 4.5	7 *	3.8	3.2	2.0	.3	.T	3.6	4.1		
160 - 200	1.3	3.2	4.5	-3	2.9	3.3	2.5	.1	. 1 D	1.2	2.1	2.9	
125 - 160 100 - 135	1.0	2.5	3.9	-2	2.2	3.6	5.5	.1	.0	-4	.9	1.5	
100 - 125	.6	1.7	1.6	.1	1.2	3.0	9.8	.1	.0	.1	-2	.5	
80 - 100	.5	1.7	1.0	.1	1.0	3.0	11.6	. 7	.0	.1	.1	.3	
63 - 80	.4	1.9	.8	.3	.8	3.4	72.1	. 3	.1	.2	.1	.3	
20 ~ 63	2.6	15.2	6.8	. 5	7.1	24.2	26.0	. 4	.2	.6	. 3	.8	
6,3 - 20	1,6	4,2	2.3	₊ 2	1.9	4.7	1.9	.0	.O	. 4	. 1	.5	
2 - 6.3	.,7	.9	.6	. 1	.5	.8	.8	.0	.0	5.	. 1	.2	
< Z	4.3	6.8	4.1	.5	3.4	4.0	4.2	.0	. 0	1,1	.3	2.0	
MAXIMUM													
GRAIN SIZE	5.0	10.0	8.0	12.5	6.3	6.3	5.0	12.5	12.5	12.5	8.0	6.3	
(mm)													
C0 5 7 51 + 5 7 5													
GRAIN SIZE	5	7 4	15	116	17	18							
FRACTION	듮	E 374	L 915	L. 016	IL 917	L 018							
	ML 913	ME 574	åL 015	al, 016	최L 017	NL 018							
FRACTION	¥E ÐI	놽	뵱	ल	귶	7.							
FRACTION (µm) > 3150	હિ ≱ 1.3	# 2.0	.1	ਜ਼ੋ 1.2	*0 ≒	≓ .1							
FRACTION (µm) > 3150 2500 - 3150	હિં ≱ 1.3 1.4	≓ 2.0 2.2	. 1 . 2	ਕ 1.2 1.3		≓ .1 .2							
FRACTION (μm) > 3150 2500 - 3150 2000 - 2500	1.3 1,4 2.2	≝ 2.0 2.2 3.2	.1 .2 .8	ਜ਼ੌ 1.2 1.3 2.0	.0 .0	.1 .2 .1							
FRACTION (μm) > 3150 2500 - 3150 2000 - 2500 1600 - 2000	1.3 1.4 2.2 5.8	2.0 2.2 3.2 8.2	.1 .2 .8 2.9	ਜ਼ੌ 1.2 1.3 2.0 4.6	.0 .0 .0	.1 .2 .1							
FRACTION (μm) > 3150 2500 - 3150 2000 - 2500 1600 - 2000 1250 - 1600	1.3 1.4 2.2 5.8 13.5	2.0 2.2 3.2 8.2 14.1	.1 .2 .8 2.9 7.8	ਜ਼ੌ 1.2 1.3 2.0 4.6 9.9	. O . D . O . 1	.1 .2 .1 .3							
FRACTION (μm) > 3150 2500 - 3150 2000 - 2500 1600 - 2000 1250 - 1600 1000 - 1250	1.3 1.4 2.2 5.8 13.5	2.0 2.2 3.2 8.2 14.1 12.8	.1 .2 .8 2.9 7.8 10.4	1.2 1.3 2.0 4.6 9.9	. 0 . 0 . 0 . 1 . 2	.1 .2 .1 .3 .4							
FRACTION (μm) > 3150 2500 - 3150 2000 - 2500 1600 - 2000 1250 - 1600 1000 - 1250 800 - 1000	1.3 1.4 2.2 5.8 13.5 15.0	2.0 2.2 3.2 8.2 14.1 12.8	.1 .2 .8 2.9 7.8 10.4	1.2 1.3 2.0 4.6 9.9 11.6	.0 .0 .0 .1 .2 .4	.1 .2 .1 .3 .4 .5							
FRACTION (μm) > 3150 2500 - 3150 2000 - 2500 1600 - 2000 1250 - 1600 1000 - 1250 800 - 1000 630 ~ 800	1.3 1.4 2.2 5.8 13.5 15.0 14.0	2.0 2.2 3.2 8.2 14.1 12.8 11.0 8.9	.1 .2 .8 2.9 7.8 10.4 12.6 13.2	1.2 1.3 2.0 4.6 9.9 11.6 12.0	.0 .0 .0 .1 .2 .4 .7	.1 .2 .1 .3 .4 .5							
FRACTION (μm) > 3150 2500 - 3150 2000 - 2500 1600 - 2000 1250 - 1600 1000 - 1250 800 - 1000 630 - 800 500 - 630	1.3 1.4 2.2 5.8 13.5 15.0 14.0 11.8 8.6	2.0 2.2 3.2 8.2 14.1 12.8 11.0 8.9 6.5	.1 .2 .8 2.9 7.8 10.4 12.6 13.2	1.2 1.3 2.0 4.6 9.9 11.6 12.0 10.5 8.3	.0 .0 .0 .1 .2 .4 .7	.1 .2 .1 .3 .4 .5 .8 1.0							
FRACTION (μm) > 3150 2500 - 3150 2000 - 2500 1600 - 2000 1250 - 1600 1000 - 1250 800 - 1000 630 - 800 500 - 630 400 - 500	1.3 1.4 2.2 5.8 13.5 15.0 14.0 11.8 8.6 7.2	2.0 2.2 3.2 8.2 14.1 12.8 11.0 8.9 6.5 6.1	.1 .2 .8 2.9 7.8 10.4 12.6 13.2 10.7 10.2	1.2 1.3 2.0 4.6 9.9 11.6 12.0 10.5 8.3 8.1	.0 .0 .0 .1 .2 .4 .7 .9	.1 .2 .1 .3 .4 .5 .8 1.0							
FRACTION (μm) > 3150 2500 - 3150 2000 - 2500 1600 - 2000 1250 - 1600 1000 - 1250 800 - 1000 630 - 800 500 - 630 400 - 500 315 - 400	1.3 1.4 2.2 5.8 13.5 15.0 14.0 11.8 8.6 7.2 5.5	2.0 2.2 3.2 8.2 14.1 12.8 11.0 8.9 6.5 6.1 5.3	-1 -2 -8 2.9 7.8 10.4 12.6 13.2 10.7 10.2 8.8	1.2 1.3 2.0 4.6 9.9 11.6 12.0 10.5 8.3 8.1	.0 .0 .1 .2 .4 .7 .9	.1 .2 .1 .3 .4 .5 .8 1.0 1.5 3.2 5.8							
FRACTION (μm) > 3150 2500 - 3150 2000 - 2500 1600 - 2000 1250 - 1600 1000 - 1250 800 - 1000 630 - 800 500 - 630 400 - 500 315 - 400 250 - 315	1.3 1.4 2.2 5.8 13.5 15.0 14.0 11.8 8.6 7.2 5.5 3.5	2.0 2.2 3.2 8.2 14.1 12.8 11.0 8.9 6.5 6.1 5.3	1.2 .8 2.9 7.8 10.4 12.6 13.2 10.7 10.2 8.8 6.5	1.2 1.3 2.0 4.6 9.9 11.6 12.0 10.5 8.3 8.1 7.0 5.0	.0 .0 .1 .2 .4 .7 .9 .9	.1 .2 .1 .3 .4 .5 .8 1.0 1.5 3.2 5.8 10.2							
FRACTION (μm) > 3150 2500 - 3150 2000 - 2500 1600 - 2000 1250 - 1600 1000 - 1250 800 - 1000 630 - 800 500 - 630 400 - 500 315 - 400 250 - 315 200 - 250	1.3 1.4 2.2 5.8 13.5 15.0 14.0 11.8 8.6 7.5 5.5 2.4	2.0 2.2 3.2 8.2 14.1 12.8 11.0 8.9 6.5 6.1 5.3 4.0 3.5	1.2 .8 2.9 7.8 10.4 12.6 13.2 10.7 10.2 8.8 6.5 4.5	1.2 1.3 2.0 4.6 9.9 11.6 12.0 10.5 8.3 8.1 7.0 5.0 3.4	.0 .0 .1 .2 .4 .7 .9 .9 1.0	.1 .2 .1 .3 .4 .5 .8 1.0 1.5 3.2 5.8 10.2							
FRACTION (μm) > 3150 2500 - 3150 2000 - 2500 1600 - 2000 1250 - 1600 1000 - 1250 800 - 1000 630 - 800 500 - 630 400 - 500 315 - 400 250 - 315 200 - 250 180 - 200	1.3 1.4 2.8 13.5 15.0 14.0 8.6 7.5 5.5 2.4 1.4	2.0 2.2 3.2 8.2 14.1 12.8 11.0 8.9 6.5 6.1 5.3 4.0 3.5 2.8	.1 .2 .8 2.9 7.8 10.4 12.6 13.2 10.7 10.2 8.8 6.5 4.5	1.2 1.3 2.0 4.6 9.9 11.6 12.0 10.5 8.3 8.1 7.0 5.0 3.4 2.3	.0 .0 .1 .2 .4 .7 .9 .9 1.0 1.0	.1 .2 .1 .3 .4 .5 .8 1.0 1.5 3.2 5.8 10.2 14.9 17.3							
FRACTION (μm) > 3150 2500 - 3150 2000 - 2500 1600 - 2000 1250 - 1600 1000 - 1250 800 - 1000 630 - 800 500 - 630 400 - 500 315 - 400 250 - 315 200 - 250 180 - 200 125 - 160	1.3 1.4 2.8 13.5 15.0 14.0 11.8 8.6 7.2 5.5 2.4 4.9	2.0 2.2 3.2 14.1 12.8 11.0 8.9 6.5 6.1 5.3 4.0 3.5 2.8 2.2	1.2 .8 2.9 7.8 10.4 12.6 13.2 10.7 10.2 8.8 6.5 4.5 3.0 1.8	1.2 1.3 2.0 4.6 9.9 11.6 12.0 10.5 8.3 8.1 7.0 5.0 3.4 2.3 1.8	.0 .0 .0 .1 .2 .4 .7 .9 1.0 1.0 1.3 1.8	.1 .2 .1 .3 .4 .5 .8 1.0 1.5 3.2 5.8 10.2 14.9 17.3 16.9							
FRACTION (μm) > 3150 2500 - 3150 2000 - 2500 1600 - 2000 1250 - 1600 1000 - 1250 800 - 1000 630 - 800 500 - 630 400 - 500 315 - 400 250 - 315 200 - 250 160 - 200 125 - 160 100 - 125	1.3 1.4 2.8 13.0 14.0 11.8 8.6 7.5 5.5 2.4 4.9 4	2.0 2.2 3.2 8.2 14.1 12.8 11.0 8.9 6.5 6.1 5.3 4.0 3.5 2.2 1.1	1.2 .8 2.9 7.8 10.4 12.6 13.2 10.7 10.2 8.8 6.5 4.5 3.0 1.8	1.2 1.3 2.0 4.6 9.9 11.6 12.0 10.5 8.3 8.1 7.0 5.0 3.4 2.3 1.8 1.2	.0 .0 .1 .2 .4 .7 .9 .9 1.0 1.0	.1 .2 .1 .3 .4 .5 .8 1.0 1.5 3.2 5.8 10.2 14.9 17.3 16.9 9.1							
FRACTION (μm) > 3150 2500 - 3150 2000 - 2500 1600 - 2000 1250 - 1600 1000 - 1250 800 - 1000 630 - 800 500 - 630 400 - 500 315 - 400 250 - 315 200 - 250 180 - 200 125 - 160 100 - 125 80 - 100	1.3 1.4 2.8 13.5 15.0 14.0 11.8 8.6 7.5 5.5 2.4 4.3	2.0 2.2 3.2 8.2 14.1 12.8 11.0 8.9 6.5 6.1 5.3 4.0 3.5 2.8 2.2	10.4 12.6 13.2 10.7 10.2 8.8 6.5 4.5 3.0 1.8 .7	1.2 1.3 2.0 4.6 9.9 11.6 12.0 10.5 8.1 7.0 5.0 3.4 2.3 1.8 1.2	.0 .0 .0 .1 .2 .4 .7 .9 1.0 1.0 1.3 1.8	.1 .2 .1 .3 .4 .5 .8 1.0 1.5 5.8 10.2 14.9 17.3 16.9 9.1 4.7							
FRACTION (μm) > 3150 2500 - 3150 2000 - 2500 1600 - 2000 1250 - 1600 1000 - 1250 800 - 1000 630 - 800 500 - 630 400 - 500 315 - 400 250 - 315 200 - 250 160 - 200 125 - 160 100 - 125	1.3 1.4 2.8 13.0 14.0 11.8 8.6 7.5 5.5 2.4 4.9 4	2.0 2.2 3.2 8.2 14.1 12.8 11.0 8.9 6.5 6.1 5.3 4.0 3.5 2.2 1.1	1.2 .8 2.9 7.8 10.4 12.6 13.2 10.7 10.2 8.8 6.5 4.5 3.0 1.8	1.2 1.3 2.0 4.6 9.9 11.6 12.0 10.5 8.3 8.1 7.0 5.0 3.4 2.3 1.8 1.2	.0 .0 .1 .2 .4 .7 .9 .9 1.0 1.3 1.8 3.1	.1 .2 .1 .3 .4 .5 .8 1.0 1.5 3.2 5.8 10.2 14.9 17.3 16.9 9.1							
FRACTION (μm) > 3150 2500 - 3150 2000 - 2500 1600 - 2000 1250 - 1600 1000 - 1250 800 - 1000 630 - 800 500 - 630 400 - 500 315 - 400 250 - 315 200 - 250 180 - 200 125 - 160 100 - 125 80 - 100	1.3 1.4 2.8 13.5 15.0 14.0 11.8 8.6 7.5 5.5 2.4 4.3	2.0 2.2 3.2 8.2 14.1 12.8 11.0 8.9 6.5 6.1 5.3 4.0 3.5 2.8 2.2	10.4 12.6 13.2 10.7 10.2 8.8 6.5 4.5 3.0 1.8 .7	1.2 1.3 2.0 4.6 9.9 11.6 12.0 10.5 8.1 7.0 5.0 3.4 2.3 1.8 1.2	.0 .0 .1 .2 .4 .7 .9 .9 1.0 1.3 1.8 3.1 4.2 5.4	.1 .2 .1 .3 .4 .5 .8 1.0 1.5 5.8 10.2 14.9 17.3 16.9 9.1 4.7							
FRACTION (μm) > 3150 2500 - 3150 2000 - 2500 1600 - 2000 1250 - 1600 1000 - 1250 800 - 1000 630 - 800 500 - 630 400 - 500 315 - 400 250 - 315 200 - 250 160 - 200 125 - 160 100 - 125 80 - 100 63 - 80	1.34 2.85 135.0 14.0 18.6 2.5 15.5 2.4 4 .9 .3 .2	2.0 2.2 3.2 4.1 12.8 11.0 8.9 6.5 6.1 5.3 4.0 3.5 2.8 2.1 1.7	1.2 .8 2.9 7.8 10.4 12.6 13.2 10.7 10.2 8.8 6.5 4.5 3.0 1.8 .7	1.2 1.3 2.0 4.6 9.9 11.6 12.0 10.5 8.3 7.0 5.0 3.4 2.3 1.8 1.2	.0 .0 .1 .2 .4 .7 .9 .9 1.0 1.3 1.8 3.1 4.2 5.4 8.0	.1 .2 .1 .3 .4 .5 .8 1.0 1.5 3.2 5.8 10.2 14.9 17.3 16.9 9.1 4.7 3.2							
FRACTION (μm) > 3150 2500 - 3150 2000 - 2500 1600 - 2000 1250 - 1600 1000 - 1250 800 - 1000 630 - 800 500 - 630 400 - 500 315 - 400 250 - 315 200 - 250 160 - 200 125 - 160 100 - 125 80 - 100 63 - 80 20 - 63 4.3 - 20	1.3 1.4 2.8 13.5 15.0 14.0 11.8 8.6 7.5 5.5 2.4 4 .3 .2 1.0 8 .6 7 .6 9 .6 9 .6 9 .6 9 .6 9 .6 9 .6 9	2.0 2.2 3.2 8.2 14.1 12.8 11.0 8.9 6.5 6.1 5.3 4.0 3.5 2.2 1.1 .7 .5	1.2 .8 2.9 7.8 10.4 12.6 13.2 10.7 10.2 8.8 6.5 4.5 3.0 1.8 .7 .5 .3	1.2 1.3 2.0 4.6 9.9 11.6 12.0 10.5 8.1 7.0 5.0 3.4 2.3 1.8 1.2 1.1 8.5	.0 .0 .0 .1 .2 .4 .7 .9 .9 1.0 1.3 1.8 3.1 4.2 4.5 5.4 5.7 .2	.1 .2 .1 .3 .4 .5 .8 1.0 1.5 5.8 10.2 14.9 17.3 16.9 9.1 4.7 3.2 6.2							
FRACTION (μm) > 3150 2500 - 3150 2000 - 2500 1600 - 2000 1250 - 1600 1000 - 1250 800 - 1000 630 - 800 500 - 630 400 - 500 315 - 400 250 - 315 200 - 250 160 - 200 125 - 160 100 - 125 80 - 100 63 - 80 20 - 63 4.3 - 20	1.3 1.4 2.8 13.5 15.0 14.0 11.8 8.6 7.5 5.5 2.4 4 .3 .2 1.0 8 .6 7 .6 9 .6 9 .6 9 .6 9 .6 9 .6 9 .6 9	2.0 2.2 3.2 8.2 14.1 12.8 11.0 8.9 6.1 5.3 4.0 3.5 2.8 2.2 1.1 .7 .5	1.2 .8 2.9 7.8 10.4 12.6 13.2 10.7 10.2 8.8 6.5 4.5 3.0 1.8 .7 .5 .3	1.2 1.3 2.6 9.9 11.6 12.0 10.5 8.1 7.0 3.4 2.3 1.8 1.2 1.8 4.5 1.0	.0 .0 .0 .1 .2 .4 .7 .9 .9 1.0 1.3 1.8 3.1 4.2 5.4 5.7 5.7 .2 6.0 1.1	.1 .2 .1 .3 .4 .5 .8 1.0 1.5 5.8 10.2 14.9 17.3 16.9 9.1 4.7 3.2 6.2							
FRACTION (μm) > 3150 2500 - 3150 2000 - 2500 1600 - 2000 1250 - 1600 1000 - 1250 800 - 1000 630 - 800 500 - 630 400 - 500 315 - 400 250 - 315 200 - 250 160 - 200 125 - 160 100 - 125 80 - 100 63 - 80 20 - 63 6.3 - 20 2 - 6.3	1.3.4.2.8.5.0.0.8.6.2.5.5.5.4.4.9.4.3.2.1.0.8.3	2.0 2.2 3.2 8.2 14.1 12.8 11.0 8.9 6.5 6.1 5.3 4.0 3.5 2.2 1.1 .7 .5	1.2 .8 2.9 7.8 10.4 12.6 13.2 10.7 10.2 8.8 6.5 4.5 3.0 1.8 .7 .5 .3	1.2 1.3 2.0 4.6 9.9 11.6 12.0 10.5 8.1 7.0 5.0 3.4 2.3 1.8 1.2 1.1 8.5	.0 .0 .0 .1 .2 .4 .7 .9 .9 1.0 1.3 1.8 3.1 4.2 4.5 5.4 5.7 .2	.1 .2 .1 .3 .4 .5 .8 1.0 1.5 5.8 10.2 14.9 17.3 16.9 9.1 4.7 3.2 6.2							
FRACTION (μm) > 3150 2500 - 3150 2000 - 2500 1600 - 2000 1250 - 1600 1000 - 1250 800 - 1000 630 - 800 500 - 630 400 - 500 315 - 400 250 - 315 200 - 250 160 - 200 125 - 160 100 - 125 80 - 100 63 - 80 20 - 63 6.3 - 20 2 - 6.3 < 2	1.3.4.2.8.5.0.0.8.6.2.5.5.5.4.4.9.4.3.2.1.0.8.3	2.0 2.2 3.2 8.2 14.1 12.8 11.0 8.9 6.1 5.3 4.0 3.5 2.8 2.2 1.1 .7 .5	1.2 .8 2.9 7.8 10.4 12.6 13.2 10.7 10.2 8.8 6.5 4.5 3.0 1.8 .7 .5 .3	1.2 1.3 2.6 9.9 11.6 12.0 10.5 8.1 7.0 3.4 2.3 1.8 1.2 1.8 4.5 1.0	.0 .0 .0 .1 .2 .4 .7 .9 .9 1.0 1.3 1.8 3.1 4.2 5.4 5.7 5.7 .2 6.0 1.1	.1 .2 .1 .3 .4 .5 .8 1.0 1.5 5.8 10.2 14.9 17.3 16.9 9.1 4.7 3.2 6.2							

(mm)

Tab. 7: Korngrößenverteilungen von Proben aus den Sedimentkernen (Abb. 25 bis 43)

GRAIN SIZE FRACTION (µm)	NL 001/3 5-15 CR	RL 001/3 32-40 cm	NL (20173 75-84 cm	NL 001/3 120-130 cm	ME 001/3 \$50~157 см	åL 881/3 188-190 cm	NL 001/3 215-224 cm	NL 001/3 242-250 cm	RL 0217/3 341-353 cm	KL (2017)3 389~397 cn		
> 3150	.9	3.2	3.4	3.5	2.4	.9	1.4	8.4	6.9	15.1		
2500 - 3150	.3	. 9	1,2	1.3	1.5	8.	1.5	3.2	2.9	2.0		
2000 - 2500	.4	1.0	1.4	1.4	1.7	1.1	1.8	3.4	3.0	1.6		
1600 - 2000	.7	1.6	2.4	2.5	3.1	2.1	3.0	4.6	3.5	1.1		
1250 - 1600	2.1	3.8	5.5	5.4	5.3	4.3	4.4	5.6	4.7	1.0		
1000 - 1250	4.0	5.2	6.3	6.1	6.4	5.6	4.2	5.0	5.4	1,1		
800 - 1000	6.8	7.2	7.8	8.2	8.3	7.1	4.9	5.1	8.6	1.7		
630 - 800	7.6	7.7	8.6	2.6	8.6	6.6	3.9	4.8	11,6	2.1		
500 - 630	7.1	7.0	7.7	7.7	7.6	5.9	3.1	3.8	10.2	3.6		
400 - 500	8.4	7,9	8.8	8.7	8.9	7.3	4,5	4.5	8.3	8.3		
315 400	9.7	9,3	10.5	10.3	11.1	10.2	7.3	5.4	6.3	13.6		
250 ~ 315	9.3	9.0	9.9	9.9	12.0	15.1	12.5	5.9	4.8	13.7		
200 - 250	6.2	6.0	6.3	6.3	8.6	15.9	15.9	6.2 6.7	4.0 3.5	9.3 6.0		
160 - 200	3.3	3.1	3.0	2.9	3.6 1.5	8.7 3.4	12.5 8.3	7.8	3.0	4.3		
125 - 160	2.6 1.9	2.3 1.7	2.0 1.4	1.8 1.2	.8	1.1	3.8	6.1	1.6	2.6		
100 - 125 80 - 100	1.6	1.4	1.1	.9	.7	.6	1.8	3.5	1.1	1.9		
63 - 80	1,2	1.0	-4	.4	.6	-4	1.3	2.2	1.1	2.1		
20 - 63	10.3	7.4	5.4	5.2	3.3	1.5	2.7	5.3	3.7	4.6		
6.3 - 20	4.1	2.9	1.7	1.8	1.0	.5	.4 -	.7	2.4	1.5 .7		
2 - 6.3	1.5	1.1	.6	-8	.5	. Z . 7	.2 .6	.3 1.5	7.1 2.3	1.6		
S > MUMIXAM	10.0	9.3	4.6	5.1	2.4	• '	.0	1 # 2	2 + -3	1.0		
GRAIN SIZE	12.5	12.5	12.5	12.5	12.5	8.0	10.0	12.5	16.0	16.0		
(mm)												
					_							
GRAIN SIZE	٥. "	2 €	안동	연토	2.3		.	5. E	<i>***</i> €	y- E	← ½	- 5
FRACTION	219.	359	25.50	81972 95 cm	133		02:1/1 8 cm	72. 80	37/	<u>5</u>	121 <i>,</i>	138
(µm)	NL 019/2 5-11 cm	NL 0\$9/2 41-47 cm	NL 019/2 47-53 cm	NL 01972 89-95 cm	NL 019/2 129~135 cm		NL 023 2-8 cm	NL 02†/1	R. 021/1 37-43 cm	NE 021/5 48-54 cm	ML 021/1 78-84 cm	NL 02177 \$32-138 cm
					WW		WE (0	2.10		- 4	MAN. 5-11	412 T
> 3150	<u>.</u> 5	3.3	11.3	14.7	13.5		.2	.5	1.0	2.2	6.5	7.0
2500 - 3150	.5	1.9	1.7	7.8	6.5		, 1	.2	.2	. 4	2.8	3.0
2000 - 2500	1.2	2.7										
1600 - 2000			2.1	6.Z	5.7		.1	- 2	. 2	- 4	2.6	3.4
	3.7	5.5	4.7	6.Z 7.1	5.7 6.2		.1 .1	.2 .4	. 2	.4 .7	2.6 3.6	3.4 4.5
1250 - 1600	3.7 8.7	5.5 10.7										
		5.5	4.7	7.1	6.2		.1	. 4	. 4	۲,	3.6	4.5
1250 - 1600 1000 - 1250 800 - 1000	8.7 9.5 11.6	5.5 10.7 11.1 12.1	4.7 9.3	7.1 7.4	6.2 7.5 5.9 6.6		.1 .6	,4 1.2	.4 1.1	۲. ۵.۱	3.6 5.7	4.5 6.8
1250 - 1600 1000 - 1250 800 - 1000 630 - 800	8.7 9.5 11.6 8.2	5.5 10.7 11.1 12.1 9.2	4.7 9.3 9.6 10.9 8.3	7.1 7.4 6.1 6.4 4.7	6.2 7.5 5.9 6.6 4.8		.1 .6 1.7	.4 1.2 3.0	.4 1.1 2.5	۳. ۱.6 3.0	3.6 5.7 6.4	4.5 6.8 6.7 7.3 5.6
1250 - 1600 1000 - 1250 800 - 1000 430 - 800 500 - 430	8.7 9.5 11.6 8.2 6.9	5.5 10.7 11.1 12.1 9.2 7.4	4.7 9.3 9.6 10.9 8.3 6.8	7.1 7.4 6.1 6.4 4.7 4.0	6.2 7.5 5.9 6.6 4.8 4.2		.1 .6 1.7 4.0 4.3 3.7	.4 1.2 3.0 5.4 5.7 4.9	.4 1.1 2.5 4.4 4.8 4.1	.7 1.6 3.0 4.8 5.1 4.4	3.6 5.7 6.4 7.2 5.8 4.6	4.5 6.8 6.7 7.3 5.6 4.6
1250 - 1600 1000 - 1250 800 - 1000 430 - 800 500 - 430 400 - 500	8.7 9.5 11.6 8.2 6.9 6.4	5.5 10.7 11.1 12.1 9.2 7.4 6.5	4.7 9.3 9.6 10.9 8.3 6.8 6.1	7.1 7.4 6.1 6.4 4.7 4.0 3.8	6.2 7.5 5.9 6.6 4.8 4.2 4.1		.1 .6 1.7 4.0 4.3 3.7 3.7	1.2 3.0 5.4 5.7 4.9	.4 1.1 2.5 4.4 4.8 4.1 3.8	.7 1.6 3.0 4.8 5.1 4.4 4.1	3.6 5.7 6.4 7.2 5.8 4.6 4.1	4.5 6.8 6.7 7.3 5.6 4.6 4.1
1250 - 1600 1000 - 1250 800 - 1000 430 - 800 500 - 430 400 - 500 315 - 400	8.7 9.5 11.6 8.2 6.9 6.4 6.1	5.5 10.7 11.1 12.1 9.2 7.4 6.5 6.0	4.7 9.3 9.6 10.9 8.3 6.8 6.1 5.4	7.1 7.4 6.1 6.4 4.7 4.0 3.8 3.9	6.2 7.5 5.9 6.6 4.8 4.2 4.1		.1 .6 1.7 4.0 4.3 3.7 3.7	1.2 3.0 5.4 5.7 4.9 4.5	.4 1.1 2.5 4.4 4.8 4.1 3.8 4.0	.7 1.6 3.0 4.8 5.1 4.4 4.1	3.6 5.7 6.4 7.2 5.8 4.6 4.1 4.1	4.5 6.8 6.7 7.3 5.6 4.6 4.1
1250 - 1600 1000 - 1250 800 - 1000 430 - 800 500 - 430 400 - 500 315 - 400 250 - 315	8.7 9.5 11.6 8.2 6.9 6.4 6.1	5.5 10.7 11.1 12.1 9.2 7.4 6.5 6.0 5.1	4.7 9.3 9.6 10.9 8.3 6.8 6.1 5.4	7.1 7.4 6.1 6.4 4.7 4.0 3.8 3.9	6.2 7.5 5.9 6.6 4.8 4.2 4.1 4.0 3.9		.1 .6 1.7 4.0 4.3 3.7 3.7 3.9	1.2 3.0 5.4 5.7 4.9 4.5 4.8 5.8	.4 1.1 2.5 4.4 4.8 4.1 3.8 4.0 4.8	.7 1.6 3.0 4.8 5.1 4.4 4.1 4.4 5.3	3.6 5.7 6.4 7.2 5.8 4.6 4.1 4.1 4.9	4.5 6.8 6.7 7.3 5.6 4.6 4.1 4.2 5.1
1250 - 1600 1000 - 1250 800 - 1000 630 - 800 500 - 630 400 - 500 315 - 400 250 - 315 200 - 250	8.7 9.5 11.6 8.2 6.9 6.4 6.1 5.2	5.5 10.7 11.1 12.1 9.2 7.4 6.5 6.0 5.1 4.0	4.7 9.3 9.6 10.9 8.3 6.8 6.1 5.4 4.7 3.5	7.1 7.4 6.1 6.4 4.7 4.0 3.8 3.9 3.9 3.9	6.2 7.5 5.9 6.6 4.8 4.2 4.1 4.0 3.9		.1 .6 1.7 4.0 4.3 3.7 3.7 3.9 4.9 6.3	1.2 3.0 5.4 5.7 4.9 4.5 4.8 5.8 7.2	1.1 2.5 4.4 4.8 4.1 3.8 4.0 4.8 5.8	.7 1.6 3.0 4.8 5.1 4.4 4.1 4.4 5.3 6.9	3.6 5.7 6.4 7.2 5.8 4.6 4.1 4.1 4.9 6.3	4.5 6.8 6.7 7.3 5.6 4.6 4.1 4.2 5.1
1250 - 1600 1000 - 1250 800 - 1000 630 - 800 500 - 630 400 - 500 315 - 400 250 - 315 200 - 250 160 - 200	8.7 9.5 11.6 8.2 6.9 6.4 6.1 5.2 4.3 2.6	5.5 10.7 11.1 12.1 9.2 7.4 6.5 6.0 5.1 4.0 2.3	4.7 9.3 9.6 10.9 8.3 6.8 6.1 5.4 4.7 3.5 2.2	7.1 7.4 6.1 6.4 4.7 4.0 3.8 3.9 3.9 3.8 2.6	6.2 7.5 5.9 6.6 4.8 4.2 4.1 4.0 3.9 3.5 2.5		.1 .6 1.7 4.0 4.3 3.7 3.7 3.9 4.9 6.3 5.9	.4 1.2 3.0 5.4 5.7 4.9 4.5 4.8 5.8 7.2 6.7	1.1 2.5 4.4 4.8 4.1 3.8 4.0 4.8 5.8	.7 1.6 3.0 4.8 5.1 4.4 4.1 4.4 5.3 6.9	3.6 5.7 6.4 7.2 5.8 4.6 4.1 4.1 4.9 6.3	4.5 6.8 6.7 7.3 5.6 4.6 4.1 4.2 5.1 7.0 6.4
1250 - 1600 1000 - 1250 800 - 1000 430 - 800 500 - 430 400 - 500 315 - 400 250 - 315 200 - 250 160 - 200 125 - 160	8.7 9.5 11.6 8.2 6.9 6.4 6.1 5.2 4.3 2.6 2.1	5.5 10.7 11.1 12.1 9.2 7.4 6.5 6.0 5.1 4.0 2.3 1.8	4.7 9.3 9.6 10.9 8.3 6.8 6.1 5.4 4.7 3.5 2.2	7.1 7.4 6.1 6.4 4.7 4.0 3.8 3.9 3.9 3.8 2.6	6.2 7.5 5.9 6.6 4.8 4.2 4.1 4.0 3.9 3.5 2.1		.1 .6 1.7 4.0 4.3 3.7 3.7 3.9 4.9 6.3 5.9	1.2 3.0 5.4 5.7 4.9 4.5 4.8 5.8 7.2 6.7 5.2	.4 1.1 2.5 4.4 4.8 4.1 3.8 4.0 4.8 5.8 5.6	.7 1.6 3.0 4.8 5.1 4.4 4.1 4.4 5.3 6.5 5.1	3.6 5.7 6.4 7.2 5.8 4.6 4.1 4.1 4.9 6.3 5.6 4.1	4.5 6.8 6.7 7.3 5.6 4.6 4.1 4.2 5.1 7.0 6.4
1250 - 1600 1000 - 1250 800 - 1000 430 - 800 500 - 430 400 - 500 315 - 400 250 - 315 200 - 250 160 - 200 125 - 160 100 - 125	8.7 9.5 11.6 8.2 6.9 6.4 6.1 5.2 4.3 2.6 2.1	5.5 10.7 11.1 12.1 9.2 7.4 6.5 6.0 5.1 4.0 2.3 1.8	4.7 9.3 9.6 10.9 8.3 6.8 6.1 5.4 4.7 3.5 2.2	7.1 7.4 6.1 6.4 4.7 4.0 3.8 3.9 3.9 3.9 3.8 2.6 2.1	6.2 7.5 5.9 6.6 4.8 4.2 4.1 4.0 3.9 3.5 2.1 1.2		.1 .6 1.7 4.0 4.3 3.7 3.7 3.9 4.9 6.3 5.9 4.9	1.2 3.0 5.4 5.7 4.9 4.5 4.8 5.8 7.2 6.7 5.2	.4 1.1 2.5 4.4 4.8 4.1 3.8 4.0 4.8 5.8 5.6 4.4	.7 1.6 3.0 4.8 5.1 4.4 4.1 4.4 5.3 6.9 6.5 5.1 4.2	3.6 5.7 6.4 7.2 5.8 4.6 4.1 4.1 4.9 6.3 5.6 4.1 3.2	4.5 6.8 6.7 7.3 5.6 4.6 4.1 4.2 5.1 7.0 6.4 4.3 2.5
1250 - 1600 1000 - 1250 800 - 1000 430 - 800 500 - 430 400 - 500 315 - 400 250 - 315 200 - 250 160 - 200 125 - 160	8.7 9.5 11.6 8.2 6.9 6.4 6.1 5.2 4.3 2.6 2.1 1.3	5.5 10.7 11.1 12.1 9.2 7.4 6.5 6.0 5.1 4.0 2.3 1.8 1.0	4.7 9.3 9.6 10.9 8.3 6.8 6.1 5.4 4.7 3.5 2.2 1.6	7.1 7.4 6.1 6.4 4.7 4.0 3.8 3.9 3.9 3.8 2.6 2.1	6.2 7.5 5.9 6.6 4.8 4.2 4.1 4.0 3.9 3.5 2.1 1.2		.1 .6 1.7 4.0 4.3 3.7 3.7 3.9 4.9 6.3 5.9 4.0 3.3	1.2 3.0 5.4 5.7 4.9 4.5 4.8 5.8 7.2 6.7 5.2 4.2 3.2	.4 1.1 2.5 4.4 4.8 4.1 3.8 4.0 4.8 5.8 5.6 4.4 3.6 2.8	.7 1.6 3.0 4.8 5.1 4.4 4.1 4.4 5.3 6.5 5.1 4.2	3.6 5.7 6.4 7.2 5.8 4.6 4.1 4.1 4.9 6.3 5.6 4.1 3.2 2.3	4.5 6.8 6.7 7.3 5.6 4.6 4.1 4.2 5.1 7.0 6.4 4.3 2.5
1250 - 1600 1000 - 1250 800 - 1000 430 - 800 500 - 430 400 - 500 315 - 400 250 - 315 200 - 250 160 - 200 125 - 160 100 - 125 80 - 100 63 - 80	8.7 9.5 11.6 8.2 6.9 6.4 6.1 5.2 4.3 2.6 2.1 1.3	5.5 10.7 11.1 12.1 9.2 7.4 6.5 6.0 5.1 4.0 2.3 1.8 1.0	4.7 9.3 9.6 10.9 8.3 6.8 6.1 5.4 4.7 3.5 2.2 1.6 1.0	7.1 7.4 6.1 6.4 4.7 4.0 3.8 3.9 3.9 3.9 3.8 2.6 1.2 .8	6.2 7.5 5.9 6.6 4.8 4.2 4.1 4.0 3.9 3.5 2.1 1.2 .8 1.0		.1 .6 1.7 4.0 4.3 3.7 3.7 3.9 4.9 6.3 5.9 4.0 3.3 3.7	1.2 3.0 5.4 5.7 4.9 4.5 4.8 5.8 7.2 6.7 5.2 4.2 3.3	.4 1.1 2.5 4.4 4.8 4.1 3.8 4.0 4.8 5.8 5.6 4.4 3.6 2.8 3.1	.7 1.6 3.0 4.8 5.1 4.4 4.1 4.4 5.3 6.5 5.1 4.2 3.3	3.6 5.7 6.4 7.2 5.8 4.6 4.1 4.1 4.9 6.3 5.6 4.1 3.2 2.3 2.1	4.5 6.8 6.7 7.3 5.6 4.6 4.1 4.2 5.1 7.0 6.4 4.3 2.5 1.7
1250 - 1600 1000 - 1250 800 - 1000 630 - 800 500 - 630 400 - 500 315 - 400 250 - 315 200 - 250 160 - 200 125 - 160 100 - 125 80 - 100 63 - 80 20 - 63	8.7 9.5 11.6 6.2 6.9 6.4 6.1 5.2 4.3 2.6 2.1 1.3 .9 .9	5.5 10.7 11.1 12.1 9.2 7.4 6.5 6.0 5.1 4.0 2.3 1.8 1.0 .7	4.7 9.3 9.6 10.9 8.3 6.8 6.1 5.4 4.7 3.5 2.2 1.6 1.0 .7	7.1 7.4 6.1 6.4 4.7 4.0 3.8 3.9 3.9 3.9 3.9 3.6 2.1 1.2 .8	6.2 7.5 5.9 6.6 4.8 4.2 4.1 4.0 3.9 3.5 2.1 1.2 .8 1.0		.1 .6 1.7 4.0 4.3 3.7 3.7 3.9 4.9 6.3 5.9 4.9 4.0 3.3 3.7	1.2 3.0 5.4 5.7 4.9 4.5 4.8 5.8 7.2 6.7 5.2 4.2 3.3	.4 1.1 2.5 4.4 4.8 4.1 3.8 4.0 4.8 5.8 5.6 4.4 3.6 2.8 3.1	.7 1.6 3.0 4.8 5.1 4.4 4.1 4.4 5.3 6.9 6.5 5.1 4.2 3.3	3.6 5.7 6.4 7.2 5.8 4.6 4.1 4.1 4.9 6.3 5.6 4.1 3.2 2.3 2.1 7.3	4.5 6.8 6.7 7.3 5.6 4.6 4.1 4.2 5.1 7.0 6.4 4.3 2.5 1.7 7.8
1250 - 1600 1000 - 1250 800 - 1000 430 - 800 500 - 430 400 - 500 315 - 400 250 - 315 200 - 250 160 - 200 125 - 160 100 - 125 80 - 100 63 - 80 20 - 63 6.3 - 20	8.7 9.5 11.6 8.2 6.9 6.4 6.1 5.2 4.3 2.6 2.1 1.3 .9 .9 6.8 3.8	5.5 10.7 11.1 12.1 9.2 7.4 6.5 6.0 5.1 4.0 2.3 1.8 1.0 .7 .6	4.7 9.3 9.6 10.9 8.3 6.8 6.1 5.4 4.7 3.5 2.2 1.6 1.0 .7 .8 2.4 2.3	7.1 7.4 6.1 6.4 4.7 4.0 3.8 3.9 3.9 3.6 2.1 1.2 .8 .9	6.2 7.5 5.9 6.6 4.2 4.1 4.0 3.9 3.5 2.1 1.2 8 1.0 5.2		.1 .6 1.7 4.0 4.3 3.7 3.7 3.9 4.9 6.3 5.9 4.0 3.3 3.7	1.2 3.0 5.4 5.7 4.9 4.5 4.8 5.8 7.2 6.7 5.2 3.3 12.0 5.8	.4 1.1 2.5 4.4 4.8 4.1 3.8 4.0 4.8 5.8 5.6 4.4 3.6 2.8 3.1	.7 1.6 3.0 4.8 5.1 4.4 4.1 4.4 5.3 6.5 5.1 4.2 3.3 12.2 5.6	3.6 5.7 6.4 7.2 5.8 4.6 4.1 4.1 4.9 6.3 5.6 4.1 3.2 2.3 2.1 7.3 2.8	4.5 6.8 6.7 7.3 5.6 4.6 4.1 4.2 5.1 7.0 6.4 4.3 2.5 1.7 7.7
1250 - 1600 1000 - 1250 800 - 1000 630 - 800 500 - 630 400 - 500 315 - 400 250 - 315 200 - 250 160 - 200 125 - 160 100 - 125 80 - 100 63 - 80 20 - 63 6.3 - 20 2 - 6.3	8.7 9.5 11.6 8.2 6.9 6.4 6.1 5.2 4.3 2.6 2.1 1.3 -9 -9 6.8 3.8 1.0	5.5 10.7 11.1 12.1 9.2 7.4 6.5 6.0 5.1 4.0 2.3 1.8 1.0 .7 .6	4.7 9.3 9.6 10.9 8.3 6.8 6.1 5.4 4.7 3.5 2.2 1.6 1.0 .7 .8 2.4 2.3 2.3	7.1 7.4 6.4 4.7 4.0 3.8 3.9 3.8 2.6 2.1 1.2 8 .9	6.2 7.5 5.9 6.6 4.2 4.1 4.0 3.9 2.1 1.2 8 1.0 5.2 3.0		.1 .6 1.7 4.0 4.3 3.7 3.7 3.9 4.9 6.3 5.9 4.0 3.3 7.6 2.6	1.2 3.0 5.4 5.7 4.9 4.5 4.8 5.8 7.2 6.7 5.2 4.2 3.3 12.0 5.8 1.6	.4 1.1 2.5 4.4 4.8 4.1 3.8 4.0 4.8 5.8 5.6 4.4 3.6 2.8 3.1 14.4 8.3 2.5	.7 1.6 3.0 4.8 5.1 4.4 4.1 4.4 5.3 6.9 6.5 5.1 4.2 3.3 12.2 5.6 2.1	3.6 5.7 6.4 7.2 5.8 4.6 4.1 4.1 4.9 6.3 5.6 4.1 3.2 2.1 7.3 2.8	4.5 6.8 6.7 7.3 5.6 4.6 4.1 7.0 6.4 4.3 2.5 1.7 7.7 5.8 2.0 7.0
1250 - 1600 1000 - 1250 800 - 1000 430 - 800 500 - 430 400 - 500 315 - 400 250 - 315 200 - 250 160 - 200 125 - 160 100 - 125 80 - 100 63 - 80 20 - 63 6.3 - 20	8.7 9.5 11.6 8.2 6.9 6.4 6.1 5.2 4.3 2.6 2.1 1.3 .9 .9 6.8 3.8	5.5 10.7 11.1 12.1 9.2 7.4 6.5 6.0 5.1 4.0 2.3 1.8 1.0 .7 .6	4.7 9.3 9.6 10.9 8.3 6.8 6.1 5.4 4.7 3.5 2.2 1.6 1.0 .7 .8 2.4 2.3	7.1 7.4 6.1 6.4 4.7 4.0 3.8 3.9 3.9 3.6 2.1 1.2 .8 .9	6.2 7.5 5.9 6.6 4.2 4.1 4.0 3.9 3.5 2.1 1.2 8 1.0 5.2		.1 .6 1.7 4.0 4.3 3.7 3.7 3.9 4.9 6.3 5.9 4.0 3.3 3.7	1.2 3.0 5.4 5.7 4.9 4.5 4.8 5.8 7.2 6.7 5.2 3.3 12.0 5.8	.4 1.1 2.5 4.4 4.8 4.1 3.8 4.0 4.8 5.8 5.6 4.4 3.6 2.8 3.1	.7 1.6 3.0 4.8 5.1 4.4 4.1 4.4 5.3 6.5 5.1 4.2 3.3 12.2 5.6	3.6 5.7 6.4 7.2 5.8 4.6 4.1 4.1 4.9 6.3 5.6 4.1 3.2 2.3 2.1 7.3 2.8	4.5 6.8 6.7 7.3 5.6 4.6 4.1 4.2 5.1 7.0 6.4 4.3 2.5 1.7 7.7
1250 - 1600 1000 - 1250 800 - 1000 630 - 800 500 - 630 400 - 500 315 - 400 250 - 315 200 - 250 160 - 200 125 - 160 100 - 125 80 - 100 63 - 80 20 - 63 6.3 - 20 2 - 6.3 < 2	8.7 9.5 11.6 8.2 6.9 6.4 6.1 5.2 4.3 2.6 2.1 1.3 -9 -9 6.8 3.8 1.0	5.5 10.7 11.1 12.1 9.2 7.4 6.5 6.0 5.1 4.0 2.3 1.8 1.0 .7 .6	4.7 9.3 9.6 10.9 8.3 6.8 6.1 5.4 4.7 3.5 2.2 1.6 1.0 .7 .8 2.4 2.3 2.3	7.1 7.4 6.4 4.7 4.0 3.8 3.9 3.8 2.6 2.1 1.2 8 .9	6.2 7.5 5.9 6.6 4.2 4.1 4.0 3.9 3.9 2.1 1.2 8 1.0 5.2 3.0		.1 .6 1.7 4.0 4.3 3.7 3.7 3.9 4.9 6.3 5.9 4.0 3.3 7.6 2.6	1.2 3.0 5.4 5.7 4.9 4.5 4.8 5.8 7.2 6.7 5.2 4.2 3.3 12.0 5.8 1.6	.4 1.1 2.5 4.4 4.8 4.1 3.8 4.0 4.8 5.8 5.6 4.4 3.6 2.8 3.1 14.4 8.3 2.5	.7 1.6 3.0 4.8 5.1 4.4 4.1 4.4 5.3 6.9 6.5 5.1 4.2 3.3 12.2 5.6 2.1	3.6 5.7 6.4 7.2 5.8 4.6 4.1 4.1 4.9 6.3 5.6 4.1 3.2 2.1 7.3 2.8	4.5 6.8 6.7 7.3 5.6 4.6 4.1 7.0 6.4 4.3 2.5 1.7 7.7 5.8 2.0 7.0

											_
GRAIN SIZE	₩ — Ş	NL 021/1 175-182 cm		. 8	Į.	5	<u>8</u>	£3 5	8) CB	5
FRACTION	RE 021/4 151-163 o	120	Щ. 024 1-7 св	Nt. 024 27-33 c	R. 024 57-63 cm	RL 024 87-93 (KL 024 117-523	NL 024 147-153	NL 024 174-180	NL 024 180~190	40, 824 \$95-26\$
(µm)	₹ 15	₹.	₩ 1-7-	27-	2 ₩	= 7 = 60	7. 1.7.†	작.	⊒ 1,4	<u>₹</u> ₩	₩,
> 3150	13.7	24.5	.2	.6	3.9	3.1	3.3	3.5	4.3	7.6	.9
2500 - 3150	3,4	3.5	.2	.5	7.4	1.3	1.3	1.0	1.3	1.3	.6
2000 - 2500	3.4	3.5	.5	.6	1.6	1.5	1.6	1.2	1.4	1 - 4	1.0
1600 - 2000	4-4	4.3	1.5	1.5	2.8	8.8	2.8	2.3	2.7	2.7	2.7
1250 - 1600	6.4	5.8	5.4	5.6	7.1	6.6	6.3	5.7	6.7	4.8	7.2
1000 - 1250	6.7	5.9	10.2	9.9	8.9	8.0	7.6	8.0	9.5	9.4	11.3
800 ~ 1000	7.0	6.6	13.2	12.3	11.0	9.0	9.9	10.7	12.4	11.6	14.8
630 - 800	5.9	4.9	10.4	9.2	7.7	6.9	7.0	7.8	9.0	8.6	31.5
500 - 630	4.6	3.9	8.0	6.8	5.9	5.3	5.3	5.6	6.4	6.0	8.6
400 - 500	4.2	3.7	7.7	6.3	4.9	4,5	4.5	4.7	5 . 4	4.9	7.2
315 - 400	4 - 4	4.1	7.4	6.0	4.6	4,2	4.2	4.3	4.9	4.1	6.6
250 ~ 315	5.2	5.2	4.0	4.6	4.6	4.5	4.4	4.4	4.7	4 - 4	5,9
SOO - SSO	6.3	5.7	5.9	5.0	4.3	4.3	4.3	4.2	4.4	3.9	5.1
160 - 200	5,8	5.2	4.6	3.8	3.4	3.6	3.6	3.6	3.6	3.3	3.5
125 - 160	3.6	4.D	3.8	3.3	3.3	3.7	3.7	3.8	3.7	3.4	2.8
100 - 125	1.9	1.9	2.3	2+3	2.6	3.3	3.3	3.3	2.9	2.7	1.6
80 - 100	1.2	.9	1,9	2.2	2.4	3.1	3.0	2.9	2.3	2.2	1.1
63 - 80	1.4	. 9	1.7	2.4	2.6	3.6	3.3	3.3	2.5	2,4	1.0
20 - 63	4.1	1.6	2.5	10.7	10.9	12.8	12.8	11.7	7.6	7.6	1.8
6.3 - 20	1.6	1.3	2.2	2.4	1.9	2.8	2.6	2.7	1.7	1.8	1.6
2 - 6.3	8.	1.3	5.2	. 5	.6	.8	.8	.7	-5	.7	1.6
< 2	3.9	1.3	2.2	3.6	3.6	4.3	4.4	4.5	2.1	3.2	3.6
MUMIKAN											
GRAIN SIZE	20.0	20.0	5.0	6.3	12,5	8.0	10.0	16.0	12.5	25.0	6.3
(mm)											
	sit;	ŧ			t2	21					Œ
GRAIN SIZE	g CR	ę ca	te	5	85 9	20		5	5	5	(E)
GRAIN SIZE	024 -219 cm	024 -236 ca	025 D ca	025 79 cm	025 -126 cm			027 30 cm	027 76 cm	027 97 ca	027 -126 cm
GRAIN SIZE FRACTION (µm)	NL 024 213-219 cm	NL 024 230-236 cm	KL 025 4-13 ca	NL 025 73-79 cm	ML 025 120-126 cm	NL C25 160-167 cm		NL 027 24-30 cm	KL 027 73-76 cm	RL 027 93-97 ca	NL 027 121-126 cm
FRACTION	KL 024 213-219 cr	NL 024 230-236 cm	NL 025 4-10 ce	NL 025 73-79 cm	40			NL 027 24~30 cm	73-76 ca	NL 027 93-97 ca	NL 027 124-126 cm
FRACTION	M NL 024	M. 024 G 230-236 cm	NL 025	տ № 025 o 73-79 cm	→ NL B25 5 120-126 cm			W RL B27	73-76 cm	ŭ NL 027 ŭ 93-97 ca	NL 027
FRACTION (µm)	NL 024 213-219	NL 024 230-236		RL 023	RL 025 120-126	NL 625 160-167					NL 027 125-126
FRACTION (µm) > 3150	W NL 024	W NL 024	.3	o № 02.	~ RL 025 .o 120-126	160-167		3.7	4.7	13.3	DS7 NL 027
FRACTION (µm) > 3150 2500 ~ 3150	ML 024	5 N. 024 230-236	.3	N 0 N 13-79 13-79 73-79	~ ~ NL B25	WL 625		3.7 1.7	4.7 2.1	13.3 1.3 1.6 3.1	NL 027
FRACTION (μm) > 3150 2500 - 3150 2000 - 2500 1600 - 2000 1250 - 1600	NL 024 NL 024 NL 024 NL 024 NL 024	N. 024	.3 .2 .4 .8 3.0	64-£7 8 2 8 2 2 4 2 5 4 2 5 4 5 5 5 6 6 6 6 6 6 6 6 6 6 6 6 6 6 6	N N A NL B25	291-091 2 9 7 5 7 4 . 5 7		3.7 1.7 2.1 4.5 8.1	4.7 2.1 2.6 5.0 8.2	13.3 1.3 1.6	NL 027 124-126 124-126
FRACTION (μm) > 3150 2500 - 3150 2000 - 2500 1600 - 2000 1250 - 1600 1000 - 1250	N. 024 2	N. 024	.3 .2 .4 .8 3.0 4.9	64-€2 8.5.8.5.5.0 201¥ 6.2.8.5.5.0	7 2 2 2 120-126	298-091 2 9 7 4.5 5 . 7 4.9		3.7 1.7 2.1 4.5 8.1 8.1	4.7 2.1 2.6 5.0 8.2 7.5	13.3 1.3 1.6 3.1 5.2	NL 027 121-126 121-126 121-126
FRACTION (μm) > 3150 2500 ~ 3150 2000 ~ 2500 1600 ~ 2000 1250 ~ 1600 1000 ~ 1250 800 ~ 1000	612-212 3.9 1.4 1.7 3.3 7.6 9.3 11.7	982-082 5.5.3.8.1.2.4.	.3 .2 .4 .8 3.0 4.9 6.3	20 N 6.5 8 5 5 6 9 6.9	7. P. 120-136 7. P. 120-136 7. P. 120-136 7. P. 120-136	298-091 2 9 7 5 7 9 8 5 5 9 8		3.7 1.7 2.1 4.5 8.1	4.7 2.1 2.6 5.0 8.2 7.5 9.5	13.3 1.3 1.6 3.1 5.2 6.1 9.3	720-181
FRACTION (μm) > 3150 2500 - 3150 2000 - 2500 1600 - 2000 1250 - 1600 1000 - 1250 800 - 1000 630 - 800	612-512 3.9 1.4 1.7 3.3 7.6 9.3 11.7 9.1	750 NN 054 750 NN 054 750 -539 750 -539 7	.3 .2 .4 .8 3.0 4.9 6.3 5.7	20 N 62-52 8 5 5 6 9 8 6 7 6 5 8 5 5 6 9 8 6 5 6 6 6 6 6 6 6 6 6 6 6 6 6 6 6 6 6	7. 2. 8. 4. 7. 8. 852 7. 2. 8. 4. 7. 6. 7. 7. 8. 4. 7. 6. 7. 7. 7. 7. 7. 7. 7. 7. 7. 7. 7. 7. 7.	298-091 2 9 3 4 5 7 4 5 8 4 4 6		3.7 1.7 2.1 4.5 8.1 8.1 10.4 8.8	4.7 2.1 2.6 5.0 8.2 7.5 9.5 8.6	13.3 1.3 1.6 3.1 5.2 6.1 9.3	751-151 8 7 3 4 4 6 9 8 4 4 6 9 8 8 9 8 9 8
FRACTION (μm) > 3150 2500 - 3150 2000 - 2500 1600 - 2000 1250 - 1600 1000 - 1250 800 - 1000 630 - 800 500 - 630	612-513 3.4 1.7 3.3 7.6 9.7 9.7 9.7	982-082 5 5 5 3 8 1 2 4 0 4 3 4 4 4 3 4 4 4 3 4 4 4 3 4 4 4 4 3 4 4 4 4 3 4 4 4 4 4 4 4 4 4 3 4	.3 .2 .4 .8 3.0 4.9 6.3 5.7 4.6	20 14 6 2 3 4 5 5 6 9 8 2 2 4 5 5 6 5 4 2	720-138 7-2-2-4-4-7-6-7-1-4-4-7-8-4-8-4	298-091 2 9 3 7 4 5 7 9 5 8 6 6 9 5 8 6 9 9 5 8 6 9		3.7 1.7 2.1 4.5 8.1 8.1 10.4 8.8 7.9	4.7 2.1 2.6 5.0 8.2 7.5 9.5 8.6 7.8	13.3 1.3 1.6 3.1 5.2 6.1 9.3 8.6	NL 027 121-126 121-126 121-126
FRACTION (μm) > 3150 2500 - 3150 2000 - 2500 1600 - 2000 1250 - 1600 1000 - 1250 800 - 1000 630 - 800 500 - 630 400 - 500	612-212 3.4 1.7 3.3 7.6 9.1 6.7 9.1 6.2	922-022 5 5 5 3 8 1 2 4 0 4 5 3 4 4 3 4 5	.3 .2 .4 .8 3.0 4.9 6.3 5.7 4.6 4.3	20 74 62 5 8 5 5 6 9 2 2 8 5 5 6 5 4 3 8	7.7 2.8 4.4 7 6.7 6.7 5.1 4.3 4.3 4.3 4.3	291-091 2 9 7 4.5 7 9 8 4.9 9 3.9		3.7 1.7 2.1 4.5 8.1 8.1 10.4 8.8 7.9	4.7 2.1 2.6 5.0 8.2 7.5 9.5 8.6 7.8 7.7	13.3 1.3 1.6 3.1 5.2 6.1 9.3 8.6 8.2	N 053 1.13 1.13 1.14 1.15 1.15 1.15 1.15 1.15 1.15 1.15
FRACTION (μm) > 3150 2500 - 3150 2000 - 2500 1600 - 2000 1250 - 1600 1000 - 1250 800 - 1000 630 - 800 500 - 630 400 - 500 315 - 400	612-512 3.9 1.4 1.7 3.3 7.6 9.3 11.7 9.1 6.2 5.7	922-022 5 5 5 3 8 1 2 4 0 4 5 9 3 3 3 3 3 3 9	.3 .2 .4 .8 3.0 4.9 6.3 5.7 4.6 4.3	20 18 6.5 8.5 5.0 9 2.2 8.9 5.4 3.5 9	921-021 7.7 8.4 6.7 6.7 6.7 4.3 6.4 4.3 6.4 6.7 6.0 6.7 6.4 6.3 6.4 6.4 6.4 6.4 6.4 6.4 6.4 6.4 6.4 6.4	\$29 W 15.9.7.5.7.9.8.6.9.9.4.		3.7 1.7 2.1 4.5 8.1 10.4 8.8 7.9 7.7	4.7 2.1 2.6 5.0 8.2 7.5 9.5 8.6 7.8 7.7	13.3 1.3 1.6 3.1 5.2 6.1 9.3 8.6 8.2 8.2 8.2	VI 053 VI 053 VI 054 VI
FRACTION (μm) > 3150 2500 - 3150 2000 - 2500 1600 - 2000 1250 - 1600 1000 - 1250 800 - 1000 630 - 800 500 - 630 400 - 500 315 - 400 250 - 315	612-212 3.4 1.7 3.6 3.7 9.7 9.7 9.7 9.7 9.7 9.7 9.7 9	982-082 5 5 5 3 8 1 2 4 0 4 5 9 5 4 3 4 4 3 4 5 9 5	.3 .2 .4 .8 3.0 4.9 6.3 5.7 4.6 4.3 4.3	20 N 6.5.8.5.5.0.9.2.8.9.0	7. P. 136 7. 2. 8. 4. 7. 0. 7. 1. 4. 3. 6. 0. 7. 1. 4. 3. 6. 0. 7. 1. 4. 3. 6. 0. 6. 7. 1. 4. 4. 5. 6. 0. 6. 7. 1. 4. 4. 5. 6. 0. 6. 7. 1. 4. 4. 5. 6. 0. 6. 7. 1. 4. 4. 5. 6. 6. 7. 1. 4. 4. 5. 6. 6. 7. 1. 4. 4. 5. 6. 6. 7. 1. 4. 4. 5. 6. 6. 7. 1. 4. 5. 6. 6. 7.	\$29 W 15.9.7.5.7.9.8.6.9.9.4.9		3.7 1.7 2.1 4.5 8.1 8.1 10.4 8.8 7.9 7.7	4.7 2.1 2.6 5.0 8.2 7.5 9.5 8.6 7.8 7.7 7.7	13.3 1.3 1.6 3.1 5.2 6.1 9.3 8.6 8.2 8.2 8.9 8.2	20 - NI 053 1.3 3 4 4 4 6 9 9 9 9 9 9 9 9 9 9 9 9 9 9 9 9
FRACTION (μm) > 3150 2500 ~ 3150 2000 ~ 2500 1600 ~ 2000 1250 ~ 1600 1000 ~ 1250 800 ~ 1000 630 ~ 800 500 ~ 630 400 ~ 500 315 ~ 400 250 ~ 315 200 ~ 250	612-212 9 1.4 1.7 3.6 3.7 9.1 6.7 5.7 4.5	927-027 5 5 5 3 8 1 2 4 0 4 5 9 5 3 4 4 3 4 5 9 5 3	.3 .2 .4 .8 3.0 4.9 6.3 5.7 4.6 4.3 4.3 4.3	20 N 62 8 5 5 0 9 8 2 8 9 0 5 4 3 5 4 5 4	7 2 2 4 4 5 6 6 6 7 7 4 4 5 6 6 6 6 6 6 6 6 6 6 6 6 6 6 6 6 6	\$29 W 15.3.7.5.7.9.8.6.9.9.4.9.3.		3.7 1.7 2.1 4.5 8.1 8.1 10.4 8.8 7.9 7.7 7.9	4.7 2.1 2.6 5.0 8.2 7.5 9.5 8.6 7.7 7.7 6.9 4.3	13.3 1.3 1.6 3.1 5.2 6.1 9.3 8.6 8.2 8.2 8.2 8.2 8.2	921-1521 8 1 1 3 4 4 4 6 9 9 8 9 9 1 1 1 1 1 1 1 1 1 1 1 1 1 1 1
FRACTION (μm) > 3150 2500 ~ 3150 2000 ~ 2500 1600 ~ 2000 1250 ~ 1600 1000 ~ 1250 800 ~ 1000 630 ~ 800 500 ~ 630 400 ~ 500 315 ~ 400 250 ~ 315 200 ~ 250 160 ~ 200	612-512 9 1.4 1.7 3.6 9.3 7.0 9.1 6.7 5.4 5.4	927-027 5 5 5 3 8 1 ≥ 4 0 4 5 9 5 3 6 4 3 6 5 3 6 5 3 6 6 6 6 6 6 6 6 6 6 6 6 6	.3 .2 .4 .8 3.0 4.9 6.3 5.7 4.6 4.3 4.3 4.3	20 N 62 8 5 5 0 9 8 2 8 9 0 5 1 2 8 4 5 5 4 5 5 1	N 852 7 2 2 4 4 5 6 6 5 4 4 5 6 6 6 7 1 4 3 6 6 6 2	\$29 TM 15.3.7.5.7.9.8.6.9.9.4.9.3.8		3.7 1.7 2.1 4.5 8.1 8.1 10.4 8.8 7.9 7.7 7.9 7.0 4.5 2.1	4.7 2.1 2.6 5.0 8.2 7.5 9.5 8.6 7.8 7.7 0.9 4.3 2.0	13.3 1.3 1.6 3.1 5.2 6.1 9.3 8.6 8.2 8.2 8.2 8.2	VI 053 N 4 1 1 3 4 4 4 4 4 9 9 8 4 9 1 1 1 1 1 1 1 1 1 1 1 1 1 1 1 1 1 1
FRACTION (μm) > 3150 2500 - 3150 2000 - 2500 1600 - 2000 1250 - 1600 1000 - 1250 800 - 1000 630 - 800 500 - 630 400 - 500 315 - 400 250 - 315 200 - 250 160 - 200 125 - 160	612-212 9 4 1 . 3 . 6 . 3 . 7 . 7 . 2 . 7 . 4 . 5 . 5 . 5 . 5 . 5 . 5 . 5 . 5 . 5	927-027 5 5 5 3 8 1 2 4 0 4 5 9 5 3 6 9 9 5 3 0 - 5 3 8 3 4 4 5 5 9 5 3 6 9	.3 .2 .4 .8 3.0 4.9 6.3 5.7 4.6 4.3 4.3 4.3 4.3	20 78 6.5.8.5.5.0.9.2.8.9.0.5.1.1	72.84.7.0 7.84.7.0 7.14.3.6.0.6.2.5	298-091 2 9 7 5 7 9 8 6 9 9 4 9 3 8 5 4 5 4 5 4 5 5 4 5 5 4 5 5 6 5 6 6 6 6		3.7 1.7 2.1 4.5 8.1 8.1 10.4 8.8 7.9 7.7 7.9 7.0 4.5 2.1	4.7 2.1 2.6 5.0 8.2 7.5 9.5 8.6 7.7 7.7 6.9 4.3 2.0 1.3	13.3 1.3 1.6 3.1 5.2 6.1 9.3 8.6 8.2 8.2 8.2 8.2 8.2	VI 053 N 4 1 1 2 4 4 4 4 9 9 8 4 9 1 1 9 7 3 6 0 9 1 1 1 0 2 3 6 0 9 9 9 9 9 9 9 9 9 9 9 9 9 9 9 9 9 9
FRACTION (μm) > 3150 2500 - 3150 2000 - 2500 1600 - 2000 1250 - 1600 1000 - 1250 800 - 1000 630 - 800 500 - 630 400 - 500 315 - 400 250 - 315 200 - 250 160 - 200 125 - 160 100 - 125	612-212 9.14 1.36 1.7 1.7 1.7 1.7 1.7 1.7 1.7 1.7	92-022 55538 1 2 4 0 4 5 9 5 3 6 9 3 3 4 3 5 3 5 3 5 3 6 9 3	.3 .2 .4 .8 3.0 4.9 6.3 5.7 4.6 4.3 4.3 4.3 4.3 4.7 3.6	20 N 6.5.8.5.5.0.9.2.2.8.9.0.5.1.7.8.5.1.3.8.4.3.3.4.3.8.4.3.3.4.3.8.4.3.4.4.3.8.4.4.3.8.4.4.3.4.4.4.4	921 97 8 4 7 0 7 1 4 3 6 0 6 2 5 4 4 5 5 4 4 5 5 4 4 5 5 4 6 6 7 6 7 6 7 6 7 6 7 6 7 6 7 6 7 6 7	\$29 W 15.9.7.5.7.9.8.6.9.9.4.9.3.8.5.8		3.7 1.7 2.1 4.5 8.1 10.4 8.8 7.9 7.7 7.9 7.0 4.5 2.1	4.7 2.1 2.6 5.0 8.2 7.5 9.5 8.6 7.7 7.7 6.9 4.3 2.0 1.3	13.3 1.3 1.4 3.1 5.2 6.1 9.3 8.6 8.2 8.2 8.2 8.3 2.4 1.5	921-151 8:13.44.09.84.91.93.60.99.151-152.09
FRACTION (μm) > 3150 2500 - 3150 2000 - 2500 1600 - 2000 1250 - 1600 1000 - 1250 800 - 1000 630 - 800 500 - 630 400 - 500 315 - 400 250 - 315 200 - 250 160 - 200 125 - 160 100 - 125 80 - 100	612-212 9 4 7 3 6 3 7 1 7 2 7 4 5 4 5 7 9 1 1 2 1 2 1 2 1 2 1 2 1 2 1 2 1 2 1 2	982-082 5 5 5 3 8 1 2 4 0 4 5 9 5 3 6 9 3 6 4 3 6 9 6 9	.3 .2 .4 .8 3.0 4.9 6.3 5.7 4.6 4.3 4.3 4.3 4.1 3.6 5.0 4.7	20 18 6.5.8.5.0.9.2.8.9.0.5.1.1.8.8.	921 N 7 2 2 4 4 7 0 7 1 4 4 3 6 0 6 2 5 4 8 4 5 5 4 8 8 8 8 8 8 8 8 8 8 8 8 8	\$29 W 15.3.7.5.7.9.8.6.9.9.4.9.3.8.5.8.7		3.7 1.7 2.1 4.5 8.1 8.1 10.4 8.8 7.9 7.7 7.9 7.0 4.5 2.1 1.5	4.7 2.1 2.6 5.0 8.2 7.5 9.5 8.6 7.7 7.7 6.9 4.3 2.0 1.3	13.3 1.3 1.6 3.1 5.2 6.1 9.3 8.6 8.2 8.2 8.9 8.2 8.2 8.9	921-151 8 1 3 4 4 6 9 9 8 4 9 1 1 1 2 2 4 1 1 1 1 2 9 9 9 1 1 1 1 1 2 9 9 9 1 1 1 1
FRACTION (μm) > 3150 2500 - 3150 2000 - 2500 1600 - 2000 1250 - 1600 1000 - 1250 800 - 1000 630 - 800 500 - 630 400 - 500 315 - 400 250 - 315 200 - 250 160 - 200 125 - 160 100 - 125 80 - 100 63 - 80	612-512 9 4 1 . 7 3 . 6 3 7 1 . 7 9 . 5 . 7 4 . 5 . 7 9 . 7	927-027 5 5 5 3 8 1 2 4 0 4 5 9 5 3 6 9 3 6 0 3 5 5 5 3 8 1 2 4 0 4 5 9 5 3 6 9 3 6 0	.3 .2 .4 .8 3.0 4.9 6.3 5.7 4.6 4.3 4.3 4.3 4.3 4.7 3.6 5.0	20 N 62-8 5 5 0 9 2 2 8 9 0 5 1 7 8 8 9 6 5 4 3 3 4 3 3 4 3 2 2	N 855 7 2 2 4 4 7 0 7 1 4 3 6 0 6 2 5 4 8 5 5 4 8 5 5 4 8 5 5 6 8 7 8 7 8 8 7	298-091 2 9 7 5 7 9 8 6 9 9 4 9 3 8 5 8 7 6 4 5 9 9 4 4 4 3 8 5 8 7 6		3.7 1.7 2.1 4.5 8.1 8.1 10.4 8.8 7.9 7.7 7.9 7.0 4.5 2.1 1.5 .8	4.7 2.1 2.6 5.0 8.2 7.5 8.6 7.7 6.9 4.3 2.0 1.3 .7	13.3 1.3 1.6 3.1 5.2 6.1 9.3 8.6 8.2 8.2 8.2 8.2 8.2 8.3 1.5 8.5 8.6	921-121 8 1 3 4 4 4 0 9 8 4 9 1 9 3 6 0 9 6 6 6 6 6 6 6 6 6 6 6 6 6 6 6 6 6
FRACTION (μm) > 3150 2500 - 3150 2000 - 2500 1600 - 2000 1250 - 1600 1000 - 1250 800 - 1000 630 - 800 500 - 630 400 - 500 315 - 400 250 - 315 200 - 250 160 - 200 125 - 160 100 - 125 80 - 100 63 - 80 20 - 63	612-217 3.4 1.7 3.6 3.7 4.7 3.7 4.7 4.7 4.7 4.7 4.7 4.7 4.7 4	927-027 5.5.3.8.1.2.4.0.4.5.9.5.3.6.0.3.4.4.3.5.9.5.3.6.0.0.3.6.0.0.0.0	.3 .2 .4 .8 3.0 4.9 6.3 5.7 4.6 4.3 4.3 4.3 4.1 3.6 5.0 4.7 3.9 5.1	20 N 6.5.8.5.5.0.9.2.2.8.9.0.5.1.7.8.8.9.4.3.3.4.3.8.2.2.4	921 9 7 8 4 7 0 7 1 4 3 6 0 6 2 5 4 8 5 9 120-121 9 7 8 4 7 0 7 1 4 3 6 0 6 2 5 4 8 5 9 1 8 1 8 1 8 1 8 1 8 1 8 1 8 1 8 1 8 1	298-091 2 9 7 5 7 9 8 6 9 9 4 9 3 8 5 8 7 6 0		3.7 1.7 2.1 4.5 8.1 8.3 10.4 8.8 7.7 7.9 7.0 4.5 2.1 1.5 .8 .6 .7	4.7 2.1 2.6 5.0 8.2 7.5 9.5 8.6 7.7 7.7 6.9 4.3 2.0 1.3 .7 .5	13.3 1.3 1.6 3.1 5.2 6.1 9.3 8.6 8.2 8.2 8.2 8.2 8.2 8.3 2.4 1.5 8.5	VI 053 N 4 1 1 2 4 4 4 9 9 8 4 9 1 1 9 7 3 6 6 6 1 1 9 1 1 1 2 4 6 9 8 8 4 9 1 1 1 1 2 3 6 6 6 6 6 6 6 6 6 6 6 6 6 6 6 6 6 6
FRACTION (μm) > 3150 2500 - 3150 2000 - 2500 1600 - 2000 1250 - 1600 1000 - 1250 800 - 1000 630 - 800 500 - 630 400 - 500 315 - 400 250 - 315 200 - 250 160 - 200 125 - 160 100 - 125 80 - 100 63 - 80 20 - 63 6.3 - 80	612-512 9 4.7 3.6 3 7.1 7 9.7 4.5 4.5 7 9.7 3.6 3.7 9.7 4.5 4.5 4.5 7.9 7.3 6.5 5.4 5.5 7.9 7.3 6.5 7.9 7.0 7.0 7.0 7.0 7.0 7.0 7.0 7.0 7.0 7.0	92-022 5 5 3 8 1 2 4 0 4 5 9 5 3 6 9 3 6 0 3 7 1 .8 3 .4 .4 .3 .5 9 5 3 6 .5 .7	.3 .2 .4 .8 3.0 4.9 6.3 5.7 4.6 4.3 4.3 4.1 3.6 5.0 4.7 3.9 5.1 23.0 4.4	20 N 6.5.8.5.5.0.9.2.2.8.9.0.5.1.1.8.8.9.4.3.3.4.3.8.2.2.4.4.3.3.4.3.8.2.2.4.4.3.3.4.3.8.2.2.4.4.3.3.4.3.8.8.9.4.4.3.3.4.3.8.2.2.4.4.3.3.4.3.8.8.9.4.4.3.3.4.3.8.8.9.4.4.8.8.9.4.4.3.8.9.4.4.3.8.8.9.4.4.3.8.8.9.4.4.3.8.8.9.4.4.3.8.8.9.4.4.3.8.8.9.4.4.3.8.8.9.4.4.3.8.8.9.4.4.3.8.8.9.4.4.3.8.8.9.4.4.9.8.8.9.4.4.8.9.4.4.8.9.4.4.8.9.4.4.8.9.4.4.8.9.4.4.8.9.4.4.8.9.4.4.8.9.4.4.8.9.4.4.8.9.4.4.8.9.4.4.9.4.9	921-021 9 7 8 4 4 7 0 7 1 4 4 3 6 0 6 2 5 4 8 5 9 7 4 130 132 8 1 7 9 132 132 132 132 132 132 132 132 132 132	\$29 W 15.3.7.5.7.9.8.6.9.9.4.9.3.8.7.6.0.8		3.7 1.7 2.1 4.5 8.1 10.4 8.8 7.9 7.7 7.9 7.0 4.5 2.1 1.5 8.6 .7	4.7 2.1 2.6 5.0 8.2 7.5 9.5 8.6 7.7 7.7 6.9 4.3 2.0 1.3 .7 .5 .7	13.3 1.3 1.4 3.1 5.2 6.1 9.3 8.6 8.2 8.2 8.9 8.2 8.3 2.4 1.5 8.5	921-1521 8 1 3 3 4 4 6 0 9 8 4 9 1 1 1 2 2 4 6 0 9 9 9 1 1 1 0 9 9 1 1 1 0 9 9 1 1 1 0 9 9 1 1 1 0 9 9 1 1 1 0 9 9 1 1 1 0 9 9 1 1 1 0 9 1 1 1 1
FRACTION (μm) > 3150 2500 - 3150 2000 - 2500 1600 - 2000 1250 - 1600 1000 - 1250 800 - 1000 630 - 800 500 - 630 400 - 500 315 - 400 250 - 315 200 - 250 160 - 200 125 - 160 100 - 125 80 - 100 63 - 80 20 - 63 4.3 - 20 2 - 6.3	612-512 9 4 7 3 6 3 7 1 7 2 7 4 5 4 5 4 5 7 9 7 3 6 7 1 7 2 7 4 5 6 7 7 4 7 8 7 8 7 8 7 8 7 8 7 8 7 8 7 8 7	922-022 5 5 3 8 1 2 4 0 4 5 9 5 3 6 9 3 6 0 3 7 0 1 1 2 3 0 4 3 4 5 3 3 3 2 3 6 1 1 0 1 1 2 4 0 4 5 9 5 3 6 9 3 6 0 1 1 0 1 1 2 4 0 4 5 9 5 3 6 9 3 6 0 1 1 0 1 1 2 4 0 4 5 9 5 3 6 9 3 6 0 1 1 0 1 1 2 4 0 4 5 9 5 3 6 9 3 6 0 1 1 0 1 1 2 4 0 4 5 9 5 3 6 9 3 6 0 1 1 0 1 2 4 0 4 5 9 5 3 6 9 3 6 0 1 1 0 1 2 4 0 4 5 9 5 3 6 9 3 6 0 1 1 0 1 2 4 0 4 5 9 5 3 6 0 1 1 0 1 2 4 0 4 5 9 5 3 6 0 1 1 0 1 2 4 0 4 5 9 5 3 6 0 1 1 0 1 2 4 0 4 5 9 5 3 6 0 1 1 0 1 2 4 0 4 5 9 5 3 6 0 1 1 0 1 2 4 0 4 5 9 5 3 6 0 1 1 0 1 2 4 0 4 5 9 5 3 6 0 1 1 0 1 2 4 0 4 5 9 5 3 6 0 1 1 0 1 2 4 0 4 5 9 5 3 6 0 1 1 0 1 2 4 0 4 5 9 5 3 6 0 1 1 0 1 2 4 0 4 5 9 5 3 6 0 1 1 0 1 2 4 0 4 5 9 5 1 0 1 2 4 0 4 5 9 5 1 0 1 1 0 1 1 1 1 1 1 1 1 1 1 1 1 1 1	.3 .2 .4 .8 3.0 4.9 6.3 5.7 4.6 4.3 4.3 4.3 4.1 3.6 5.0 4.7 3.9 5.1 23.0 4.4	20 18 6.5.8.5.5.0.9.2.2.8.9.0.5.1.1.8.8.9.4.4.5.1.2.2.3.3.4.3.3.4.3.2.2.4.5.5.0.9.2.2.8.9.0.5.1.1.8.8.9.4.4.5.1.2.2.3.3.4.3.3.2.2.3.4.3.4.3.3.4.3.4.3.4.3.4.3.4.3.4.3.4.3.4.3.4.3.4.3.4.3.4.3.4.3.4.3.4.3.4.3.4.3.4.4.3.4.4.3.4.4.3.4.4.3.4.4.3.4	921 97 8 4 7 0 7 1 4 3 6 0 6 2 5 4 8 5 9 7 8 4 7 0 7 1 4 3 6 0 6 2 5 4 8 5 9 7 8	\$29 W 15.3.7.5.7.9.8.6.9.9.4.9.3.8.5.8.7.6.0.8.9		3.7 1.7 2.1 4.5 8.1 8.1 10.4 8.8 7.7 7.9 7.0 4.5 2.1 1.5 .6 .7 4.5	4.7 2.1 2.6 5.0 8.2 7.5 9.5 8.6 7.7 7.7 6.9 4.3 2.0 1.3 .7 .5 .7	13.3 1.3 1.6 3.1 5.2 6.1 9.3 8.6 8.2 8.2 8.2 8.3 2.4 1.5 .8 .5 .6 1.8	921-151 8 1 3 4 4 6 0 9 8 4 9 9 1 1 1 2 2 4 6 0 9 9 1 1 1 1 2 9 6 6 6 1 1 1 1 2 1 1 1 1 1 1 1 1 1 1 1 1
FRACTION (μm) > 3150 2500 ~ 3150 2000 ~ 2500 1600 ~ 2000 1250 ~ 1600 1000 ~ 1250 800 ~ 1000 630 ~ 800 500 ~ 630 400 ~ 500 315 ~ 400 250 ~ 315 200 ~ 250 160 ~ 200 125 ~ 160 100 ~ 125 80 ~ 100 63 ~ 80 20 ~ 63 4.3 ~ 20 2 ~ 6.3 < 2	612-512 9 4.7 3.6 3 7.1 7 9.7 4.5 4.5 7 9.7 3.6 3.7 9.7 4.5 4.5 4.5 7.9 7.3 6.5 5.4 5.5 7.9 7.3 6.5 7.9 7.0 7.0 7.0 7.0 7.0 7.0 7.0 7.0 7.0 7.0	92-022 5 5 3 8 1 2 4 0 4 5 9 5 3 6 9 3 6 0 3 7 1 .8 3 .4 .4 .3 .5 9 5 3 6 .5 .7	.3 .2 .4 .8 3.0 4.9 6.3 5.7 4.6 4.3 4.3 4.1 3.6 5.0 4.7 3.9 5.1 23.0 4.4	20 N 6.5.8.5.5.0.9.2.2.8.9.0.5.1.1.8.8.9.4.3.3.4.3.8.2.2.4.4.3.3.4.3.8.2.2.4.4.3.3.4.3.8.2.2.4.4.3.3.4.3.8.8.9.4.4.3.3.4.3.8.2.2.4.4.3.3.4.3.8.8.9.4.4.3.3.4.3.8.8.9.4.4.8.8.9.4.4.3.8.9.4.4.3.8.8.9.4.4.3.8.8.9.4.4.3.8.8.9.4.4.3.8.8.9.4.4.3.8.8.9.4.4.3.8.8.9.4.4.3.8.8.9.4.4.3.8.8.9.4.4.3.8.8.9.4.4.9.8.8.9.4.4.8.9.4.4.8.9.4.4.8.9.4.4.8.9.4.4.8.9.4.4.8.9.4.4.8.9.4.4.8.9.4.4.8.9.4.4.8.9.4.4.8.9.4.4.9.4.9	921-021 9 7 8 4 4 7 0 7 1 4 4 3 6 0 6 2 5 4 8 5 9 7 4 130 132 8 1 7 9 132 132 132 132 132 132 132 132 132 132	\$29 W 15.3.7.5.7.9.8.6.9.9.4.9.3.8.7.6.0.8		3.7 1.7 2.1 4.5 8.1 10.4 8.8 7.9 7.7 7.9 7.0 4.5 2.1 1.5 8.6 .7	4.7 2.1 2.6 5.0 8.2 7.5 9.5 8.6 7.7 7.7 6.9 4.3 2.0 1.3 .7 .5 .7	13.3 1.3 1.4 3.1 5.2 6.1 9.3 8.6 8.2 8.2 8.9 8.2 8.3 2.4 1.5 8.5	921-1521 8 1 3 3 4 4 6 0 9 8 4 9 1 1 1 2 2 4 6 0 9 9 9 1 1 1 0 9 9 1 1 1 0 9 9 1 1 1 0 9 9 1 1 1 0 9 9 1 1 1 0 9 9 1 1 1 0 9 9 1 1 1 0 9 1 1 1 1
FRACTION (μm) > 3150 2500 ~ 3150 2000 ~ 2500 1600 ~ 2000 1250 ~ 1600 1000 ~ 1250 800 ~ 1000 630 ~ 800 500 ~ 630 400 ~ 500 315 ~ 400 250 ~ 315 200 ~ 250 160 ~ 200 125 ~ 160 100 ~ 125 80 ~ 100 63 ~ 80 20 ~ 63 4.3 ~ 20 2 ~ 6.3 MAXIMUM	612-212 9 4 7 3 6 3 7 1 7 2 7 4 5 4 5 5 7 9 7 3 6 7 6 5 5 4 5 4 5 7 9 7 3 6 7 6 7 6 7 6 7 6 7 6 7 6 7 6 7 6 7	922-022 5 5 3 8 1 2 4 0 4 5 9 5 3 6 9 3 6 0 3 7 0 2 9 3 0 5 3 6 7 1 5 5 6 9 3 6 7 1 5 6 9 7 1 5 6 7 1 5 6 9 7 1 5 6	.3 .2 .4 .8 3.0 4.9 6.3 5.7 4.6 4.3 4.3 4.3 4.3 4.1 3.6 5.0 4.7 3.9 5.1 23.0 4.4 1.1 6.0	20 N 62-82 8 9 0 5 1 1 8 8 9 4 4 5 4 8 7 6 5 4 3 3 4 3 3 2 2 4 4 5 4	72.84.7071.4360625485.9789	\$29 TM 15 3 3 4 5 5 4 5 4 5 4 5 4 5 4 5 4 5 4 5		3.7 1.7 2.1 4.5 8.1 8.1 10.4 8.8 7.9 7.7 7.9 7.0 4.5 2.1 1.5 .6 .7 4.5	4.7 2.1 2.6 5.0 8.2 7.5 8.6 7.7 7.7 6.9 4.3 2.0 1.3 .7 .5 .7 .7 .9 .9 .9 .9 .9 .9 .9 .9 .9 .9 .9 .9 .9	13.3 1.3 1.6 3.1 5.2 6.1 9.3 8.6 8.2 8.2 8.2 8.2 8.2 8.2 8.3 1.5 6.1 6.1 6.1 6.1 6.1 6.1 6.1 6.1 6.1 6.1	921-121 8 1 3 4 4 6 9 9 8 4 9 1 9 3 6 6 6 6 1 1 0 0 0 1 1 1 1 2 4 6 9 9 9 1 1 1 1 2 3 6 6 9 9 1 1 1 1 1 1 1 1 1 1 1 1 1 1 1 1
FRACTION (μm) > 3150 2500 ~ 3150 2000 ~ 2500 1600 ~ 2000 1250 ~ 1600 1000 ~ 1250 800 ~ 1000 630 ~ 800 500 ~ 630 400 ~ 500 315 ~ 400 250 ~ 315 200 ~ 250 160 ~ 200 125 ~ 160 100 ~ 125 80 ~ 100 63 ~ 80 20 ~ 63 4.3 ~ 20 2 ~ 6.3 < 2	612-512 9 4 7 3 6 3 7 1 7 2 7 4 5 4 5 4 5 7 9 7 3 6 7 1 7 2 7 4 5 6 7 7 4 7 8 7 8 7 8 7 8 7 8 7 8 7 8 7 8 7	922-022 5 5 3 8 1 2 4 0 4 5 9 5 3 6 9 3 6 0 3 7 0 1 1 2 3 0 4 3 4 5 3 3 3 2 3 6 1 1 0 1 1 2 4 0 4 5 9 5 3 6 9 3 6 0 1 1 0 1 1 2 4 0 4 5 9 5 3 6 9 3 6 0 1 1 0 1 1 1 1 1 1 1 1 1 1 1 1 1 1 1	.3 .2 .4 .8 3.0 4.9 6.3 5.7 4.6 4.3 4.3 4.3 4.1 3.6 5.0 4.7 3.9 5.1 23.0 4.4	20 18 6.5.8.5.5.0.9.2.2.8.9.0.5.1.1.8.8.9.4.4.5.1.2.2.3.3.4.3.3.4.3.2.2.4.5.5.0.9.2.2.8.9.0.5.1.1.8.8.9.4.4.5.1.2.2.3.3.4.3.3.2.2.3.4.3.4.3.3.4.3.4.3.4.3.4.3.4.3.4.3.4.3.4.3.4.3.4.3.4.3.4.3.4.3.4.3.4.3.4.3.4.3.4.4.3.4.4.3.4.4.3.4.4.3.4.4.3.4	921 97 8 4 7 0 7 1 4 3 6 0 6 2 5 4 8 5 9 7 8 4 7 0 7 1 4 3 6 0 6 2 5 4 8 5 9 7 8	\$29 W 15.3.7.5.7.9.8.6.9.9.4.9.3.8.5.8.7.6.0.8.9		3.7 1.7 2.1 4.5 8.1 8.1 10.4 8.8 7.7 7.9 7.0 4.5 2.1 1.5 .6 .7 4.5	4.7 2.1 2.6 5.0 8.2 7.5 9.5 8.6 7.7 7.7 6.9 4.3 2.0 1.3 .7 .5 .7	13.3 1.3 1.6 3.1 5.2 6.1 9.3 8.6 8.2 8.2 8.2 8.3 2.4 1.5 .8 .5 .6 1.8	921-151 8 1 3 4 4 6 0 9 8 4 9 9 1 1 1 2 2 4 6 0 9 9 1 1 1 1 2 9 6 6 6 1 1 1 1 2 1 1 1 1 1 1 1 1 1 1 1 1

Fortsetzung Tab. 7

				25	_			65				
GRAIN SIZE	E	E	Ë	5	5		, E	2 cm			8	. 5
FRACTION	Mt 028 4-19 cm	11€ 028 34-40 cm	NE 028 74-80 cm	Nt. 928 110-129	ME 028 330-145		92.6 6	RL 029 103-122		0330 E5	031 -40 cm	Nt. 030 80-86 cm
(jim)	₩.4	無效	팔찬	¥ €	# E		Ni 029 SO-60	₹ 133		™ 3-4	₹ %	₩.
> 3150	.4	.8	.9	6.0	10.1		6.6	15.7		- 5	1.6	4.2
2500 - 3150	.5	.6	.5	1.7	2.6		3.4	2.4		.3	. B	2.0
2000 ~ 2500	.6	. 7	. 5	1.7	2.3		3.6	2.5		. 4	1.2	8.8
1600 - 2000	1.2	1.4	1.1	2.7	3.0		5,4	3.5		ን - ፖ	3.0	4.2
1250 - 1600	3.0	3.9	3.4	5.7	5.5		7.0	4.9		7.2	7.3	7.0
1000 - 1250	5.0	5.4	5.6	7.1	6.1		6.4	5.2		10.5	7.6	6.7
800 - 1000	7.6	8.6	9.5	9.1	8.8		7.0	6.1		13.9	8.9	8.6
630 - 800	8.1	9.9	10.1	10.1	9.2		6.4	6.1		10.9	7.81	6.9
500 630	7.8	9.2	9.3	8.9	8.4		5.9	5.3		8.6	6.4	6.0
400 - 500	8.0	8.5	8.5	8.1	7.4		5,7	2-8		8.2	6.4	6.3
315 ~ 400	7.7	8.1	8.1	7.2	6.9		5.5	5.4		8.6	7.1	7.4
250 - 315	7.5	7.4	7.3	6.3	5.9		4.7	5.7		8.0	7.1	7.7
200 - 250	6.2	5.9	5.6	5.1	4.7		3.3	5.2		5.2	5.2	5.6
160 - 200	4.4	4.2	4.1	3.6	3.3		2.1	4.5		2.6	2.7	3.2
125 - 160	3.8	3.4	3.2	2.8	2.7		2.0	4.3		1.9	8.0	2.7
100 ~ 125	2.7	2.2	2.1	1.8	1.6		1,4	2.4		1.2	1.4	1.7
80 ~ 100	5.8	1.7	1.6	1_4	1.1		1.3	1.6		.9	1.1	1.2
63 - 80	5.6	2,2	5.0	1.4	1.4		1.6	1.6		1.1	7.4	1.4
20 ~ 63	9.6	7.2	7.8	4.8	2.4		7.1	5.6		2.3	7.9	6.4
6.3 - 20	2.8	2.1	2.2	1.2	2,2		2.6	1.8		2.1	3.6	2.0
2 - 6.3	1.1	.9	.7	- 4	2.2		1.0	8.		2.1	.9	.9
< 2	7.2	5.8	5.8	3.1	2.2		6.7	4.2		2.1	8.6	5.7
MAXIMUM												
GRAIN SIZE	6.3	6.3	8.0	12.5	20.0		16.0	31.5		4.0	8.0	8.0
(mm)												
	_	_					_		g/l-	42	4-	-
	5	Ę.				_	. 5	Ç	6	<u>#</u>	5	23
	_			<u>~</u> #	선 등	₹ F.	₹.~	₹~	₹.0		× 100	4 4
GRAIN SIZE	330 1443	330		33174 36 cm	33.44 33. cm	33174 38 cm	33174 -156	331/4 -248	33174 -255	35 <i>114</i> -275	33374 -328	03174 -384
FRACTION	1. 030 134-140	4L 630 183-193		NL 03174 30-36 cm	NE 03174 47-53 cm	NE 031/4 82-88 cm	NE 03174 150-156	NL 03174 234-240 (NL 031/4 242-255	NL 031/4 267~275	NL 03374 322-328 cm	NE 03174 376-384
	NL 030 134-140	NL G30 183-193		ML 03174 30-36 cm	NL 031/4 47~53 CM	ME 031/4 82-88 cm	NE 031/4 150-156 cm	NL 031/4 234-248	NL 031/4 242-255	NL 031/4 267-275	ML 03374 322-328	NE 03174 370-384 cm
FRACTION (μm)		NL 630 183-193		폭항	NL 031/4			NL 031/4 234-248	NL 031/4 242-255	NL 031/4 267~275		
FRACTION	7 7 KL 030	7.7 2.7 183-493		a 188 198 198 198 198 198 198 198 198 198	-	.7	1.0	w NL 031/4	NL 031/4	NL 031/4	1,0	11.5
FRACTION (µm) > 3150	2.7	G ML 630		폭항	NE 031/4	.7	1.0	WL 031/4	NL 031/4	NL 031/4	1.0	11.5
FRACTION (μm) > 3150 2500 - 3150	2.7	10.0 183-493 7.7			.0	.7	1.0	N. 031/4	NL 031/4	9/150 NL 031/25	1.0 .7	11.5 3.6 3.2
FRACTION (µm) > 3150 2500 - 3150 2000 - 2500	2.7 2.0 2.5	Z.7 2.8		J# 5 0 0 30 €	 -0 -1	.7 .6 .7	1.0 1.2	WL 031/4	931-235 NL 031/4	NL 031/4	1.0	11.5 3.6 3.2 3.5
FRACTION (μm) > 3150 2500 - 3150 2000 - 2500 1600 - 2000	2.7 2.0 2.5 4.0	1030 N		#L 0 0 36	-0 -1 1-9	.7 .6 .7	1.0 1.2 .7	2 1 2 2 234-240	NL 031/4	9/150 NL 031/2525	1.0 .7 .8	11.5 3.6 3.2
FRACTION (μm) > 3150 2500 - 3150 2000 - 2500 1600 - 2000 1250 - 1600	2.7 2.0 2.5 4.0 6.2	1030 N 030 Z . 8 0 0 0 0 0 0 0 0 0 0 0 0 0 0 0 0 0 0		M	-0 -1 1-9 6-2	.7 .6 .7 1.3	1.0 1.2 .7 1.0	P31-255 3 7 9 6 4	9/150 N 031/9	9/35/2 5 1 3 3 8 9 2 2 2 2 2 2 2 2 2 2 2 2 2 2 2 2 2 2	1.0 .7 .8 1.2	11.5 3.6 3.2 3.5 3.7 3.3
FRACTION (μm) > 3150 2500 - 3150 2000 - 2500 1600 - 2000 1250 - 1600 1000 - 1250	2.7 2.0 2.5 4.0 6.2 6.9	10.7 2.8 4.0 6.1 182-854		M	-0 -1 1-9 6-2 8-1	.7 .6 .7 1.3 1.8	1.0 1.2 .7 1.0 1.6	7/150 W 31.79 3.79 2.4.59 3.79	7/150 N 03/7/5/5/5/5/5/5/5/5/5/5/5/5/5/5/5/5/5/5/	7/150 NN 7 4 5 9 2 2 5 5 7 3 3 8 6	1.0 .7 .8 1.2 1.7 2.1	11.5 3.6 3.2 3.5 3.7
FRACTION (μm) > 3150 2500 - 3150 2000 - 2500 1600 - 2000 1250 - 1600 1000 - 1250 800 - 1000	2.7 2.0 2.5 4.0 6.2 6.9 9.5	080 N 10.0 7.4		JK	-0 -1 1-9 6-2 8-1 9-9	.7 .6 .7 1.3 1.8 1.9	1.0 1.2 .7 1.0 1.6 1.7	7/150 TM 3.7.9.6.4.3.5.	7,150 N 1031,752-552 5.0.8.1.9.9.0	7/150 NV 02/2/2/2 7.1 5.3 9.3 12.8 12.6 2	1.0 .7 .8 1.2 1.7 2.1 2.6	11.5 3.6 3.2 3.5 3.7 3.3
FRACTION (μm) > 3150 2500 - 3150 2000 - 2500 1600 - 2000 1250 - 1600 1000 - 1250 800 - 1000 630 - 800	2.7 2.0 2.5 4.0 6.2 6.9 9.5 7.8	10.0 T. 8 0.0 1 7.4 6.2 6.1 7.4 6.2		MK	.0 .1 1.9 6.2 8.1 9.9	.7 .6 .7 1.3 1.8 1.9 2.2	1.0 1.2 .7 1.0 1.6 1.7 1.9	672-522 3.7.9.6.4.3.5.0.2.4.3.5.0	7,150 N 031,79 P 0 8 P 0 P 0 P 0 P 0 P 0 P 0 P 0 P 0 P	7.45.3 9.45.25 7.45.3 9.8 6 2 1 12.51 5.7	1.0 .7 .8 1.2 1.7 2.1 2.6 2.4	11.5 3.6 3.2 3.5 3.7 3.3 3.6 3.1
FRACTION (μm) > 3150 2500 - 3150 2000 - 2500 1600 - 2000 1250 - 1600 1000 - 1250 800 - 1000 630 - 800 500 - 630	2.7 2.0 2.5 4.0 6.2 6.9 9.5 7.8	2.00 TM 10.0 7 2 .0 0 6.1 7 .4 6.2 3 6.3 6.3 6.3 6.3 6.3 6.3 6.3 6.3 6.3 6		₩	-0 -1 1-9 6-2 8-1 9-9 8-1	.7 .6 .7 1.3 1.8 1.9 2.2 2.3	1.0 1.2 .7 1.0 1.6 1.7 1.9 1.9	972-982 3 7 9 6 4 3 5 0 6 4 3 5 0 6	752-292 5 0 8 1 9 9 0 8 3 5 6 6 8 5 4	7/150 N 7 4 5 3 3 8 6 2 1 1 2 . 9 5 2 - 2 9 5 . 1 9 9 9 9 9 9 9 9 9 9 9 9 9 9 9 9 9 9	1.0 .7 .8 1.2 1.7 2.1 2.6 2.4 2.3	11.5 3.6 3.2 3.5 3.7 3.3 3.6 3.1 2.7
FRACTION (μm) > 3150 2500 - 3150 2000 - 2500 1600 - 2000 1250 - 1600 1000 - 1250 800 - 1000 630 - 800 500 - 630 400 - 500	2.7 2.0 2.5 4.0 6.2 6.9 9.5 7.8 6.5 6.8	10.7 2.8 4.0 6.1 7.4 6.3 5.3 5.5		- 1 - 2 - 3 - 5 - 6 - 7 1.0	-0 -1 1.9 6.2 8.1 9.9 8.1 7.0 6.7	.7 .6 .7 1.3 1.8 1.9 2.2 2.3 2.3 2.6	1.0 1.2 .7 1.0 1.6 1.7 1.9 1.9 2.0	972-922 3 7 9 6 4 3 5 5 0 6 7 2 1 2 2 2 2 2 2 2 2 2 2 2 2 2 2 2 2 2	552-292 5 0 8 1 9 9 0 8 3 0 0 4 3 5 6 6 8 5 4 4	7/350 NV 7.5.1 5.3.3 9.12.6 11.2.5.1 2.9.7	1.0 .7 .8 1.2 1.7 2.1 2.6 2.4 2.3 2.3	11.5 3.6 3.2 3.5 3.7 3.3 3.6 3.1 2.7 2.5
FRACTION (μm) > 3150 2500 - 3150 2000 - 2500 1600 - 2000 1250 - 1600 1000 - 1250 800 - 1000 630 - 800 500 - 630 400 - 500 315 - 400	2.7 2.0 2.5 4.0 6.2 6.9 9.5 7.8 6.5 6.8 8.1	0£0 TM 10.0 7 8 4.0 0 6.1 7.4 6.3 5.5 6.4		्रेष्ट्र . □ □	-0 -1 1.9 6.2 8.1 9.9 8.1 7.0 6.7 6.3	.7 .6 .7 1.3 1.8 1.9 2.2 2.3 2.3 2.6 3.1	1.0 1.2 .7 1.0 1.6 1.7 1.9 2.0 2.1 2.5	972-922 3.7 1.9 2.4 3.5 3.5 3.0 2.7 3.4	752-752 5 0 8 1 9 9 0 8 3 0 0 4 3 5 6 6 8 5 4 4 4 4	7/150 NV 7.1.3.3.9.8.6.2.7.92.7.0.2.7.2.9.7.0.	1.0 .7 .8 1.2 1.7 2.1 2.6 2.4 2.3 2.3 2.7	11.5 3.6 3.2 3.5 3.7 3.3 3.6 3.1 2.7 2.5 2.4
FRACTION (μm) > 3150 2500 - 3150 2000 - 2500 1600 - 2000 1250 - 1600 1000 - 1250 800 - 1000 630 - 800 500 - 630 400 - 500 315 - 400 250 - 315	2.7 2.0 2.5 4.0 6.2 6.9 9.5 7.8 6.5 6.8 8.1 8.6	0£0 TM 10.0 7 2.8 4.0 6.1 7.4 6.3 5.3 5.4 6.9		. □ □	.0 .1 1.9 6.2 8.1 9.9 8.1 7.0 6.7 6.3	.7 .6 .7 1.3 1.8 1.9 2.2 2.3 2.3 2.6 3.1	1.0 1.2 .7 1.0 1.6 1.7 1.9 2.0 2.1 2.5 3.2	## 3.7 9.6 3.7 1.9 6 3.4 3.5 3.0 6 2.7 4.0 4.0 4.0 4.0 4.0 4.0 4.0 4.0 4.0 4.0	552-252 5 0 8 1 9 9 0 8 3 0 0 3 5 6 6 8 5 4 4 4 4 4 4 4 4 4 4 4 4 4 4 4 4 4 4	7/150 TN 7.5 4.1 5.3 4.2 5.1 12.6 11.2 2.7 3.5 3.5	1.0 .7 .8 1.2 1.7 2.1 2.6 2.4 2.3 2.7 3.5	11.5 3.6 3.2 3.5 3.7 3.3 3.6 3.1 2.7 2.5 2.4
FRACTION (μm) > 3150 2500 - 3150 2000 - 2500 1600 - 2000 1250 - 1600 1000 - 1250 800 - 1000 630 - 800 500 - 630 400 - 500 315 - 400 250 - 315 200 - 250	2.7 2.0 2.5 4.0 6.2 6.9 9.5 7.8 6.5 6.8 8.1 8.6 6.2	0£0 TM 10.7 8 0.0 1 4 2 3 5 5 4 9 6 6 5 6 6 5 6		- 1	.0 .1 1.9 6.2 8.1 9.9 8.1 7.0 6.7 6.3 5.7	.7 .6 .7 1.3 1.8 1.9 2.2 2.3 2.6 3.1 4.5 6.3	1.0 1.2 .7 1.0 1.6 1.7 1.9 2.0 2.1 2.5 3.2 4.7	092-922 3 7 1.9 2.4 3.5 5.0 2.7 4.0 2.4 5.0 2	752-272 5 0 8 1 9 9 0 8 3 0 0 3 2 4 4 4 4 4 4 4 4 4 4 4 4 4 4 4 4 4 4	7/150 TN 7.5 4.1 5.3 9.3 12.8 6.1 2.9 2.7 3.5 9.3 3.9	1.0 .7 .8 1.2 1.7 2.1 2.6 2.4 2.3 2.3 2.7 3.5 5.0	11.5 3.6 3.2 3.5 3.7 3.3 3.6 3.1 2.7 2.5 2.4 2.4 2.3
FRACTION (μm) > 3150 2500 - 3150 2000 - 2500 1600 - 2000 1250 - 1600 1000 - 1250 800 - 1000 630 - 800 500 - 630 400 - 500 315 - 400 250 - 315 200 - 250 160 - 200	2.7 2.0 2.5 4.0 6.2 6.9 9.5 7.8 6.5 6.8 8.1 8.6 6.2 3.5	0£0 TM 10.7 & 0.0 1 4 2 3 5 4 9 6 5 4 5 6 6 5 4 5		₩ .00 .12 .35 .67 .04 .24 .9	.0 .1 1.9 6.2 8.1 9.9 8.1 7.0 6.7 6.3 5.7 5.2	.7 .6 .7 1.3 1.8 1.9 2.2 2.3 2.3 2.6 3.1 4.5 6.3 7.7	1.0 1.2 .7 1.0 1.6 1.7 1.9 1.9 2.0 2.1 2.5 3.2 4.7	092-952 3 7 9 6 4 3 5 5 0 6 7 4 0 2 1 1 1 1 1 1 1 1 1 1 1 1 1 1 1 1 1 1	752-272 5 0 8 1 9 9 0 8 3 0 0 3 2 0	5/2-292 7.5 4.1 5.3 12.6 2.7 3.9 3.4 3.9 3.4	1.0 .7 .8 1.2 1.7 2.1 2.6 2.4 2.3 2.3 2.7 3.5 5.0 5.7	11.5 3.6 3.2 3.5 3.7 3.3 3.6 3.1 2.7 2.5 2.4 2.4 2.3 2.2
FRACTION (μm) > 3150 2500 - 3150 2000 - 2500 1600 - 2000 1250 - 1600 1000 - 1250 800 - 1000 630 - 800 500 - 630 400 - 500 315 - 400 250 - 315 200 - 250 160 - 200	2.7 2.0 2.5 4.0 6.2 6.9 9.5 7.8 6.5 6.8 8.1 8.6 6.2 3.5 2.7	0£0 TM 10.7 8 0 0 0 1 4 2 3 5 4 9 6 5 9 4 9		- 1 - 2 - 3 - 5 - 6 - 7 1.0 - 1 - 4 - 9 - 1 - 6	.00 .1 1.9 6.2 8.1 9.9 8.1 7.0 6.7 6.3 5.7 5.2 5.0 7.0	.7 .6 .7 1.3 1.8 1.9 2.2 2.3 2.3 2.6 3.1 4.5 6.3 7.7	1.0 1.2 .7 1.0 1.6 1.7 1.9 2.0 2.1 2.5 3.2 4.7 5.9	### 1.96 ### 2.64 ### 2.64 ### 3.5 ### 3.6 ### 3.5 ### 3.5	552-737 5.08199083003208 5780 W 6435668544444444444444444444444444444444	9/27-292 5.1 5.3 9.3 12.6 11.2 5.7 3.5 3.3 3.3 3.3 3.3 3.3 3.3 3.3 3.3 3.3	1.0 .7 .8 1.2 1.7 2.1 2.6 2.4 2.3 2.3 2.7 3.5 5.0 5.7	11.5 3.6 3.2 3.5 3.7 3.3 3.6 3.1 2.7 2.5 2.4 2.3 2.3 2.5
FRACTION (μm) > 3150 2500 - 3150 2000 - 2500 1600 - 2000 1250 - 1600 1000 - 1250 800 - 1000 630 - 800 500 - 630 400 - 500 315 - 400 250 - 315 200 - 250 160 - 200 125 - 160 100 - 125	2.7 2.0 2.5 4.0 6.9 9.5 7.8 6.5 6.8 8.1 8.6 6.2 3.7 1.7	0£0 TM 10.7 8.0 6.1 4.2 3.5 4.9 6.5 9.8		- 1 - 2 - 3 - 5 - 6 - 7 1.0 4.0 - 1 - 2 - 3 - 7 - 1.0 - 1 - 6 - 1 - 6 - 7 - 1 - 6 - 7 - 7 - 7 - 7 - 7 - 7 - 7 - 7 - 7 - 7		.7 .6 .7 1.3 1.8 1.9 2.2 2.3 2.3 2.6 3.1 4.5 6.3 7.7 11.9	1.0 1.2 .7 1.0 1.6 1.7 1.9 2.0 2.1 2.5 3.2 4.7 5.9 10.2 13.0	### 1.5	552-737 5.08199083000320867444443	9/320-192 7.1.3.3.9.3.8.6.2.1.2.9.7.0.5.3.9.3.3.2.2.12.6.2.1.3.3.3.2.2.3.3.2.2.3.3.3.2.2.3.3.3.2.2.3.3.3.2.2.3.3.3.2.2.3.3.3.2.2.3.3.3.2.2.2.3.3.3.2.2.3.3.3.2.2.3.3.3.2.2.3.3.3.2.2.3.3.3.2.2.3.3.3.2.2.3.3.3.2.2.3.3.3.2.2.3.3.3.2.2.3.3.3.2.2.3.3.3.2.2.3.3.3.2.2.3.3.3.2.2.3.3.3.2.2.3.3.3.2.2.3.3.3.2.2.3.3.3.2.2.3.3.3.2.2.3.3.3.2.2.2.3.3.3.2.2.3.3.3.2.2.3.3.3.2.2.3.3.3.2.2.3.3.3.2.2.3.3.3.2.2.3.3.3.2.2.3.3.3.2.2.3.3.3.2.2.3.3.3.2.2.3.3.3.2.2.3.3.3.2.2.3.3.3.2.2.3.3.3.2.2.3.3.3.2.2.3.3.3.2.2.3.3.3.2.2.3.3.3.2.2.3.3.3.2.2.2.3.3.3.2.2.3.3.3.2.2.3.3.3.2.2.3.3.3.2.2.3.3.3.2.2.3.3.3.2.2.3.3.3.2.2.3.3.3.2.2.3.3.3.2.2.3.3.3.2.2.3.3.3.2.2.3.3.3.2.2.3.3.3.2.2.3.3.3.2.2.3.3.3.2.2.3.3.3.2.2.3.3.3.2.2.3.3.3.2.2.3.3.3.2.2.2.3.3.3.3.2.2.3.3.3.2.2.3.3.3.3.2.2.3.3.3.3.2.3.3.3.2.3.3.3.3.3.2.3	1.0 .7 .8 1.2 1.7 2.1 2.6 2.4 2.3 2.3 2.7 3.5 5.0 5.7 8.0 8.5	11.5 3.6 3.2 3.5 3.7 3.3 3.6 3.1 2.7 2.5 2.4 2.4 2.3 2.2 3.3
FRACTION (μm) > 3150 2500 - 3150 2000 - 2500 1600 - 2000 1250 - 1600 1000 - 1250 800 - 1000 630 - 800 500 - 630 400 - 500 315 - 400 250 - 315 200 - 250 160 - 200 125 - 160 100 - 125 80 - 100	2.7 2.0 2.5 4.0 6.2 6.9 9.5 7.8 6.5 6.8 8.1 8.6 6.2 3.5 2.7 1.7	0£0 TM 10.7 2.8 4.0 6.1 7.4 2.3 5.5 4.9 5.6 5.9 5.6 4.9 3.8 1		.0 .0 .1 .2 .3 .5 .6 .7 1.0 1.4 2.2 4.0 5.9 11.6 17.0 17.0		.7 .6 .7 1.3 1.8 1.9 2.2 2.3 2.3 2.6 3.1 4.5 6.3 7.7 11.9 9.8	1.0 1.2 .7 1.0 1.6 1.7 1.9 2.0 2.1 2.5 3.2 4.7 5.9 10.2 13.0 11.6	7/120 W 3.7 9.6 4 3.5 5.0 6.7 4 0.2 1 1.5 5 6.5	752-292 5 0 8 1 9 9 0 8 3 0 0 3 2 0 8 6 2 1 9 9 0 8 3 4 4 4 4 4 4 3 2 2	7/150 TN 7.1.3.8.6.2.7.0.5.9.4.3.2.3.0.5.9.4.3.2.3.3.3.2.3.3.3.2.3	1.0 .7 .8 1.2 1.7 2.1 2.6 2.4 2.3 2.3 2.7 3.5 5.0 5.7 8.0 8.5 7.7	11.5 3.6 3.2 3.5 3.7 3.3 3.6 3.1 2.7 2.5 2.4 2.3 2.3 2.3 3.5
FRACTION (μm) > 3150 2500 - 3150 2000 - 2500 1600 - 2000 1250 - 1600 1000 - 1250 800 - 1000 630 - 800 500 - 630 400 - 500 315 - 400 250 - 315 200 - 250 160 - 200 125 - 160 100 - 125 80 - 100 63 - 80	2.7 2.0 2.5 4.0 6.9 9.5 6.8 6.5 6.8 8.1 8.6 6.2 5 2.7 1.7	0£0 TM 10.7 8 0 0 0 1 4 2 2 4 6 0 1 4 4 2 5 3 5 6 4 9 6 5 4 9 8 1 1 6 1 4 2 1 1 6 1 6 1 6 1 6 1 6 1 6 1 6 1 6 1 6		N .0 .0 .1 .2 .3 .5 .6 .7 1.0 1.4 2.2 4.0 9 11.6 17.0 17.3	.0 .1 1.9 6.2 8.1 9.9 8.1 7.0 6.7 6.3 5.7 5.7 5.2 5.0 7.0 7.2	.7 .6 .7 1.3 1.8 1.9 2.2 2.3 2.6 3.1 4.5 6.3 7.7 11.9 12.9 9.8 6.9	1.0 1.2 .7 1.0 1.6 1.7 1.9 2.0 2.1 2.9 3.2 4.7 5.9 10.2 13.0 11.6 9.4	### 3.7.9.6.4.3.5.0.6.7.4.0.2.1.4.5.5.9	752-272 5.081.9908.3003208625	7/150 TN 7.5 4.1 5.3 12.6 2 1.2 5.1 2.9 2.7 3.5 9 3.4 3.2 1.0 2.7 3.5 9.4 3.2 1.0 2.7 3.5 9.4 3.2 1.0 2.7 3.5 9.4 3.2 1.0 2.7 3.5 9.4 3.2 2.3 1.0 2.7 3.5 9.4 3.3 2.3 1.0 2.7 3.5 9.4 3.3 2.3 1.0 2.5 3.5 9.4 3.3 2.3 1.0 2.5 3.5 9.4 3.3 2.3 1.0 2.5 3.5 9.4 3.3 2.3 1.0 2.5 3.5 9.4 3.3 2.3 1.0 2.5 3.5 9.4 3.3 2.3 1.0 2.5 3.5 9.4 3.5 2.5 3.5 9.5 3.5 9.5 3.5 9.5 3.5 9.5 3.5 9.5 3.5 9.5 3.5 9.5 3.5 9.5 3.5 9.5 3.5 9.5 9.5 3.5 9.5 9.5 9.5 9.5 9.5 9.5 9.5 9.5 9.5 9	1.0 .7 .8 1.2 1.7 2.1 2.6 2.4 2.3 2.3 2.7 3.5 5.0 5.7 8.0 8.5 7.7	11.5 3.6 3.2 3.5 3.7 3.3 3.6 3.1 2.7 2.5 2.4 2.3 2.2 3.5 3.5 3.5
FRACTION (μm) > 3150 2500 - 3150 2000 - 2500 1600 - 2000 1250 - 1600 1000 - 1250 800 - 1000 630 - 800 500 - 630 400 - 500 315 - 400 250 - 315 200 - 250 160 - 200 125 - 160 100 - 125 80 - 100 63 - 80 20 - 63	2.7 2.0 4.0 6.9 9.5 7.8 6.8 8.1 6.2 3.7 1.7 1.1 4.3	0£0 TM 10.7 8 0 0 0 1 4 2 2 4 6 0 1 4 2 2 4 6 5 3 5 6 4 9 8 8 1 6 2 2		0 1 3 5 7 1.0 1.4 2.2 4.0 5.9 11.6 17.0 17.0 15.3		.7 .6 .7 1.3 1.8 1.9 2.2 2.3 2.6 3.1 4.5 6.3 7.7 11.9 12.9 9.8 6.9	1.0 1.2 .7 1.0 1.6 1.7 1.9 2.0 2.1 2.5 3.2 4.7 5.9 10.2 13.0 11.6 9.4	### 3.7.9.6.4.3 3.7.9.6.4.3 3.5.0.6.7.4.0.2 11.5.5.9 6.9	752-752 5.0 8 1 9 9 0 8 3 0 0 3 2 0 8 6 2 5 6 8 5 4 4 4 4 4 4 3 2 1 1	9/320 NV 7.1 3.3 9.3 8.6 2.7 9.7 3.5 9.3 3.2 3.5 9.4 3.2 3.1 1.3 9.3 3.4 3.2 3.3 1.0 1.3	1.0 .7 .8 1.2 1.7 2.1 2.6 2.4 2.3 2.3 2.7 3.5 5.0 5.7 8.0 8.5 7.7 8.4	11.5 3.6 3.2 3.5 3.7 3.3 3.6 3.1 2.7 2.5 2.4 2.3 2.3 2.5 3.3 3.5 4.4
FRACTION (μm) > 3150 2500 - 3150 2000 - 2500 1600 - 2000 1250 - 1600 1000 - 1250 800 - 1000 630 - 800 500 - 630 400 - 500 315 - 400 250 - 315 200 - 250 160 - 200 125 - 160 100 - 125 80 - 100 63 - 80 20 - 63 6.3 - 20	2.7 2.5 4.0 6.9 9.8 6.9 7.8 6.8 8.1 6.2 7.7 1.1 2.3 2.7	0£0 TM 10.7 8 4.0 6.7 4.2 3.5 4.9 5.5 5.4 9 5.5 4.9 8.1 1.6 2.0 1.6 2.0		.0 .0 .1 .2 .3 .5 .6 .7 1.0 1.4 2.2 4.0 17.0 17.0 17.0 15.3 17.0 1.6		.7 .6 .7 1.3 1.8 1.9 2.2 2.3 2.6 3.1 4.5 6.3 7.7 11.9 9.8 6.9	1.0 1.2 .7 1.0 1.6 1.7 1.9 2.0 2.1 2.5 3.2 4.7 5.9 10.2 13.0 11.6 9.4	1/150 N 3.7.9.6.4.3.5.0.6.7.4.0.2.1.4.5.5.9.9.9.1.6.3.6.7.4.0.2.1.4.5.5.9.9.9.1.4.5.5.9.9.9.1.9.1.4.5.5.9.9.9.1.9.1.4.5.5.9.9.9.1.9.1.4.5.5.9.9.9.1.9.1.4.5.5.9.9.9.9.1.9.1.4.5.5.9.9.9.9.1.9.1.4.5.5.9.9.9.9.1.9.1.4.5.5.9.9.9.9.1.9.1.4.5.5.9.9.9.9.1.9.1.4.5.5.9.9.9.9.1.9.1.4.5.5.9.9.9.9.1.9.1.4.5.5.9.9.9.9.1.9.1.4.5.5.9.9.9.9.1.9.1.4.5.5.9.9.9.9.1.9.1.4.5.5.9.9.9.9.1.9.1.4.5.5.9.9.9.9.1.9.1.4.5.5.9.9.9.9.1.9.1.4.5.5.9.9.9.9.1.9.1.4.5.5.9.9.9.9.9.1.9.1.4.5.5.9.9.9.9.1.9.1.4.5.5.9.9.9.9.1.9.1.4.5.5.9.9.9.9.1.9.1.4.5.5.9.9.9.9.1.9.1.4.5.5.9.9.9.9.1.9.1.4.5.5.9.9.9.9.1.9.1.9.1.4.5.5.9.9.9.9.1.9.1.4.5.5.9.9.9.9.1.9.1.4.5.5.9.9.9.9.9.1.9.0.0.0.0.0.0.0.0.0.0.0.0.0	7/327 N 6 4 3 5 6 6 6 8 5 4 4 4 4 4 4 3 2 7 1 1 1 1 1 1 1 1 1 1 1 1 1 1 1 1 1 1	7/150 TN 7.1 3.3 9.3 8.4 12.6 11.2 9.7 3.5 9.3 3.2 1.0 1.2 1.2 1.2 1.2 1.2 1.2 1.2 1.2 1.2 1.2	1.0 .7 .8 1.2 1.7 2.1 2.6 2.4 2.3 2.3 2.7 3.5 5.0 5.7 8.0 8.5 7.7 8.4 24.3 2.6	11.5 3.6 3.2 3.5 3.7 3.3 3.6 3.1 2.7 2.5 2.4 2.3 2.3 3.3 3.5 4.4 20.4 4.0
FRACTION (μm) > 3150 2500 - 3150 2000 - 2500 1600 - 2000 1250 - 1600 1000 - 1250 800 - 1000 630 - 800 500 - 630 400 - 500 315 - 400 250 - 315 200 - 250 160 - 200 125 - 160 100 - 125 80 - 100 63 - 80 20 - 63 6.3 - 20 2 - 6.3	2.7 2.0 2.5 4.0 6.2 6.9 7.8 6.8 8.6 2.7 1.7 1.2 4.3 2.8	0£0 TM 10.7 8 4.0 0 6.1 4 2 3 5 5 4 4 9 8 8 1 4 2 2 0 0 1 4 2 1 1 2 2 2 2 2 2 2 2 2 2 2 2 2 2 2		- 1 - 2 - 3 - 5 - 6 - 7 1.0 15.3 17.0 1.6 - 7		.7 .6 .7 1.3 1.8 1.9 2.2 2.3 2.6 3.1 4.5 6.3 7.7 11.9 12.9 9.8 6.9	1.0 1.2 .7 1.0 1.6 1.7 1.9 2.0 2.1 2.5 3.2 4.7 5.9 10.2 13.0 11.6 9.4 15.9 2.2 1.3	### 3.7.9.6.4.3.5.0.6.7.4.0.2.1.4.5.5.9.9.9.8	752-292 5.0819908300320862565571030N 643566685444444321111111111111111111111111111111	7/150 TN 7.1 3.8 6.2 1.2 2.7 0.5 3.8 2.3 0.5 3.4 3.2 3.0 1.2 2.7 0.5 3.4 3.2 3.1 1.2 2.7 3.5 3.4 3.2 3.2 3.2 3.2 3.2 3.2 3.2 3.2 3.2 3.2	1.0 .7 .8 1.2 1.7 2.1 2.6 2.4 2.3 2.3 2.7 3.5 5.0 5.7 8.0 8.5 7.7 8.4 24.3 2.6	11.5 3.6 3.2 3.5 3.7 3.3 3.6 3.1 2.7 2.5 2.4 2.3 2.2 3.3 3.5 4.4 20.4 4.0 1.6
FRACTION (μm) > 3150 2500 - 3150 2000 - 2500 1600 - 2000 1250 - 1600 1000 - 1250 800 - 1000 630 - 800 500 - 630 400 - 500 315 ~ 400 250 - 315 200 - 250 160 - 200 125 - 160 100 - 125 80 - 100 63 ~ 80 20 - 63 6.3 - 20 2 - 6.3 < 2 MAXIMUM GRAIN SIZE	2.7 2.0 2.5 4.0 6.2 6.9 7.8 6.8 8.6 2.7 1.7 1.2 4.3 2.8	0£0 TM 10.7 8 4.0 0 6.1 4 2 3 5 5 4 4 9 8 8 1 4 2 2 0 0 1 4 2 1 1 2 2 2 2 2 2 2 2 2 2 2 2 2 2 2		- 1 - 2 - 3 - 5 - 6 - 7 1.0 15.3 17.0 1.6 - 7		.7 .6 .7 1.3 1.8 1.9 2.2 2.3 2.6 3.1 4.5 6.3 7.7 11.9 12.9 9.8 6.9	1.0 1.2 .7 1.0 1.6 1.7 1.9 2.0 2.1 2.5 3.2 4.7 5.9 10.2 13.0 11.6 9.4 15.9 2.2 1.3	### 3.7.9.6.4.3.5.0.6.7.4.0.2.1.4.5.5.9.9.9.8	752-292 5.0819908300320862565571030N 643566685444444321111111111111111111111111111111	7/150 TN 7.1 3.8 6.2 1.2 2.7 0.5 3.8 2.3 0.5 3.4 3.2 3.0 1.2 2.7 0.5 3.4 3.2 3.1 1.2 2.7 3.5 3.4 3.2 3.2 3.2 3.2 3.2 3.2 3.2 3.2 3.2 3.2	1.0 .7 .8 1.2 1.7 2.1 2.6 2.4 2.3 2.3 2.7 3.5 5.0 5.7 8.0 8.5 7.7 8.4 24.3 2.6	11.5 3.6 3.2 3.5 3.7 3.3 3.6 3.1 2.7 2.5 2.4 2.3 2.2 3.3 3.5 4.4 20.4 4.0 1.6
FRACTION (μm) > 3150 2500 - 3150 2000 - 2500 1600 - 2000 1250 - 1600 1000 - 1250 800 - 1000 630 - 800 500 - 630 400 - 500 315 ~ 400 250 ~ 315 200 - 250 160 - 200 125 - 160 100 - 125 80 - 100 63 ~ 80 20 - 63 6.3 - 20 2 - 6.3 < 2 MAXIMUM	2.7 2.5 4.0 4.9 9.8 6.9 7.8 6.8 1.6 2.7 7.7 1.2 4.3 2.8 4.7	0£0 TW 10.7 & 0.0 1 4 2 2 3 5 4 9 6 5 9 8 1 6 2 2 2 2 2 2 2 2 2 2 2 2 2 2 2 2 2 2		N .0 0 .0 .1 .2 3 .5 .6 .7 1.4 2 .0 9 11 .6 .7 17 .0 15 .3 17 .0 6 .7 3 .0 6 .0 6 .0 6 .0 6 .0 6 .0 6 .0 6 .0	.0 .1 1.9 6.2 8.1 7.0 6.3 5.7 5.7 5.2 5.0 7.0 7.2 5.2 7.0 7.2	.7 .6 .7 1.8 1.9 2.2 2.3 2.6 3.1 4.5 6.3 7.7 11.9 9.8 6.9 12.0 2.9 1.2	1.0 1.2 .7 1.0 1.6 1.7 1.9 2.0 2.1 2.9 3.2 4.7 5.9 10.2 13.0 11.6 9.4 15.9 2.2 1.3 5.0	### 3.7.9.6.4.3.5.0.6.7.4.0.2.1.4.5.5.9.9.9.8.4.	752-272 5.081.9908.3003208625.6555	7/320 TN 7.5 4.1 5.3 12.6 2 11.2 5.7 9.3 3.2 1.0 3.2 2.3 1.0 3.2 2.3 1.0 1.2 2.2 1.2 2.3 1.0 1.2 2.2 1.2 2.2 1.2 1.2 2.2 1.2 1.2 1.2	1.0 .7 .8 1.2 1.7 2.1 2.6 2.4 2.3 2.3 2.7 3.5 5.0 8.7 8.0 8.5 7.7 8.4 24.3 2.6 1.0 5.5	11.5 3.6 3.2 3.5 3.7 3.3 3.6 3.1 2.7 2.5 2.4 2.3 2.2 3.3 3.5 4.4 4.0 1.6 10.0

	7											
	KL 831/4 421-424 cn	ML 031/4 431-440 cm		01	N 6	CL E	DI C	2 5	ς 5 5	3	~ 5	RL 03372 368-376 cm
GRAIN SIZE	RL 03174 421-424	31 // 14 G		RL 033/2 4-10 cm	NL 033/2 10-20 cm	NL 033/2 44-50 cm	NL 033/2 85-93 cm	NL 033/2 157-163	NL 033/2 201-214 cm	WL 033/2 294-300 cm	N. 033/2 338-344	23.6
FRACTION	22 T	20.7		చ్చి	25.52	2.2	88	90.7	27.		6.3	23
C µm D	至 23	<u>∓</u> -1		至寺	_≅ =	코 3	≅ %	₹ ∵	₹ ₹	# 83	포장	医斑
> 3150	2.6	13.9		2.8	22.2	3.8	18.9	4.7	18.8	_1	- 47	16.8
2500 - 3150	.2	.8		7.8	2.3	1.0	1.8	2.6	1.1	.1	. 1	3.3
2000 - 2500	.2	.9		2.3	2.2	2.3	2.3	4.8	1.2	.3	.3	3.0
1600 - 2000	., 4	.9		4.4	2.7	2.7	2.6	6.1	1.3	.3	.6	3.6
1250 ~ 1600	-8	.6		5.5	2 - 4	2.3	2.3	3.5	1.2	- 3	1_1	4.6
1000 - 1250	. 1	. 5		5.1	2.0	1.9	1.7	2,4	1.0	. 3	1.4	4.0
800 - 1000	.1	.5		6.2	2.2	2.1	1.7	2.9	1.0	_4	2.1	3.5
630 - 800	.2	. 4		4.9	1.7	1.8	1.4	2.5	.9	- 4	2.4	2.9
500 - 630	<u>.</u> 4	.3		3.8	1.5	1.4	1.1	1.7	.8	.4	2.2	2.8
400 - 500	.3	.3		3.3	1.3	1.0	1.0	1.0	.7	.3	1.6	2.5
315 - 400	3	.3		3.0	1.2	.9	.9	1.1	.8	.4	1.9	2.6
250 - 315	.4	.3		2.5	1.2	. 9	. 9	1.0	.7	.4	2.1	2.7
200 - 250	.4	.3		2.0	1.1	.8	.9	.9	. 7	.5	1.9	2,8
160 - 200	.4	.2		1.5	.9	.9	.7	.9	.6	.6	2.2	2.6
125 - 160	.4	.2		1.7	1.1	,9	1.0	. 9	,8	.7	2,6	3.4
						1.2		1.3	.9	1.1	3.3	
100 - 125	.3	* 5		1.7	7.1		1.0					3.6
80 - 100	.4	.2		2.3	1.4	1.7	1.2	1.7	1.4	2.0	4.3	8.8
63 - 80	1,5	.9		3.5	2.5	2.7	1.9	3.2	2.5	Z.8	4.4	3.0
20 ~ 63	26.8	18.7		26.9	27.3	35.0	30.6	33.6	36.0	44.1	44.1	19.1
6.3 ~ 20	19.8	17.6		5.5	7.6	11.9	8,9	7.8	9.3	14.3	6.8	3.3
2 - 6.3	11,5	11.3		.8	1.8	2.9	1.9	1.7	2.4	3.9	1.4	1,1
< 2	33.1	30.7		8.4	12.3	19.9	15.3	13.7	15.9	26.3	12.8	6.3
MAXIMUM												
GRAIN SIZE	5.0	25.0		16.0	25.0	10.0	20.0	12.5	25.0	8.0	10.0	16.0
(mm)												
	5	<u>т</u> д 6)	5	ن تع	<u> </u>					5	٤	E/ W
GRAIN SIZE	3/2 12 c≡	3/2 51 ss	3/2 74 ca	3/2 28 cm	372 70 cm		√ 7 €	. 	ق پ	έ, 43 ca		13 86 5
	033/2 2-412 cm	033/2 1-451 sa	033/2 5-474 ca	03372 J-528 cm	033/2 4-570 cm		034 3 cm	034 10 cm	034 -63 cm	40	034 }-216	034 0-298 er
GRAIN SIZE	NE 133/2 402-412 ca	Ni. 033/2 441-451 sa	NL 033/2 466-474 ca	NL 033/2 520-528 cm	NL 033/2 564-570 cr		NL 034 0-3 cm	NL 034 3-10 cm	NL 034 55-63 cm	NE 1034 135-143 ca		RL 034 290-298 er
GRAIN SIZE FRACTION	NE 033/2 402-412 cm	Ni. 033/2 441-451 ca	NL 033/2 466-474 ca	NL 033/2 520-528 cm	NL 033/2 564-570 cr		NL 034 0~3 cm	NL 034 3-10 cm	NL 034 55-63 cm	40	034 }-216	RL 034 290-298 er
GRAIN SIZE FRACTION	\$\frac{402-412}{402-412}\$	6 441-451 cs	6 Rt 033/2 N 666-474 cm	W NL 033/2	ö NL 033/2 s 564-570 св					推 934 135-143	034 }-216	RL 034 290-298
GRAIN SIZE FRACTION (µm)							NL 034	NL 034 6 9 3-40 cm	70 70 ML 034	40	Nt. 034 210-216	M RL 034
GRAIN SIZE FRACTION (µm) > 3150	29.6	19.9	39.2	33.4	18.4		ο,	8.6 3.9	2.7	135-143 135-143	NL 034	867-062 S.
GRAIN SIZE FRACTION (μm) > 3150 2500 - 3150 2000 - 2500	29.6 3.3 2.7	19.9 4.3	39.2 4.7	33.4 4.9	18.4 5.4		.0 .1	8.6 3.9 3.6	2.7 2.5 2.7	£41-5£1 ™ 4 0.	Nt 034	RL 034 W RL 034
GRAIN SIZE FRACTION (μm) > 3150 2500 - 3150	29.6 3.3 2.7 2.9	19.9 4.3 3.2 3.6	39.2 4.7 3.1 3.2	33.4 4.9 3.2 3.1	18.4 5.4 4.0 3.9		.0 .1 .1	8.6 3.9 3.6 4.6	2.7 2.5 2.7 3.3	95.0 % 135-143	912-912 ::::::	ML 634 W RL 634
GRAIN SIZE FRACTION (μm) > 3150 2500 - 3150 2000 - 2500 1600 - 2000 1250 - 1600	29.6 3.3 2.7 2.9 3.3	19.9 4.3 3.2 3.6 4.3	39.2 4.7 3.1 3.2 3.3	33.4 4.9 3.2 3.1 3.1	18.4 5.4 4.0 3.9 3.5		.0 .1 .1 .5	8.6 3.9 3.6 4.6 7.7	2.7 2.5 2.7 3.3 4.4	\$\frac{5}{14} = 1.4 2.0 3.6 5.7	912-932 : : : : 4 : 920 N	ML 034
GRAIN SIZE FRACTION (μm) > 3150 2500 - 3150 2000 - 2500 1600 - 2000 1250 - 1600 1000 - 1250	29.6 3.3 2.7 2.9 3.3 3.1	19.9 4.3 3.2 3.6 4.3	39.2 4.7 3.1 3.2 3.3 3.1	33.4 4.9 3.2 3.1 3.1 2.6	18.4 5.4 4.0 3.9 3.5 2.7		.0 .1 .1 .5 1.7	8.6 3.9 3.6 4.6 7.7 8.2	2.7 2.5 2.7 3.3 4.4 4.3	\$1-58 1.4 2.0 3.4 2.0 5.7 5.8	N 034	9.5.0.2 Sp. 290-298
GRAIN SIZE FRACTION (μm) > 3150 2500 - 3150 2000 - 2500 1600 - 2000 1250 - 1600 1000 - 1250 800 - 1000	29.6 3.3 2.7 2.9 3.3 3.1 2.6	19.9 4.3 3.2 3.6 4.3 4.3	39.2 4.7 3.1 3.2 3.3 3.1 3.3	33.4 4.9 3.2 3.1 3.1 2.6 2.6	18.4 5.4 4.0 3.9 3.5 2.7 2.5		.0 .1 .5 1.7 3.5 5.5	8.6 3.9 3.6 4.6 7.7 8.2	2.7 2.5 2.7 3.3 4.4 4.3 4.5	\$21-581 1.4 2.0 3.7 8.8 5.8 6.8	36-2ff 2 2 2 2 2 2 2 2 2 2 2 2 2 2 2 2 2 2	RL 034
GRAIN SIZE FRACTION (μm) > 3150 2500 - 3150 2000 - 2500 1600 - 2000 1250 - 1600 1000 - 1250 800 - 1000 630 - 800	29.6 3.3 2.7 2.9 3.3 3.1 2.6 2.3	19.9 4.3 3.2 3.6 4.3 4.3 4.2 3.4	39.2 4.7 3.1 3.2 3.3 3.1 3.3 2.8	33.4 4.9 3.2 3.1 3.1 2.6 2.6 2.1	18.4 5.4 4.0 3.9 3.5 2.7 2.5 2.1		.0 .1 .5 1.7 3.5 5.5	8.6 3.9 3.6 4.6 7.7 8.2 10.1 9.0	2.7 2.5 2.7 3.3 4.4 4.3 4.5	\$\xi_1\xi_2\xi_3\xi_4\xi_4\xi_4\xi_4\xi_4\xi_5\xi_5\xi_8\xi_8\xi_5\xi_6\xi_8\xi_5\xi_6\xi_8\xi_6\xi_6\xi_6\xi_6\xi_6\xi_6\xi_6\xi_6	912-913 7 7 5 4 1 8 6 8 4 1 8 4 4 4 4 4 4 4 4 4 4 4 4 4 4 4 4	M 034 3.1 1.2 2.4 6.8 1.1
GRAIN SIZE FRACTION (μm) > 3150 2500 - 3150 2000 - 2500 1600 - 2000 1250 - 1600 1000 - 1250 800 - 1000 630 - 800 500 - 630	29.6 3.3 2.7 2.9 3.3 3.1 2.6 2.3 1.9	19.9 4.3 3.2 3.6 4.3 4.3 4.2 3.4	39.2 4.7 3.1 3.2 3.3 3.1 3.3 2.8	33.4 4.9 3.2 3.1 3.1 2.6 2.6 2.1	18.4 5.4 4.0 3.9 3.5 2.7 2.5 2.1		.0 .1 .5 1.7 3.5 5.5	8.6 3.9 3.6 4.6 7.7 8.2 10.1 9.0 7.0	2.7 2.5 2.7 3.3 4.4 4.3 4.5 4.2	\$\frac{1}{2}\$\fra	N 034	M. B34 1.1 2.4 4.6 8.1 1.9
GRAIN SIZE FRACTION (μm) > 3150 2500 - 3150 2000 - 2500 1600 - 2000 1250 - 1600 1000 - 1250 800 - 1000 630 - 800 500 - 630 400 - 500	29.6 3.3 2.7 2.9 3.3 3.1 2.6 2.3 1.9	19.9 4.3 3.2 3.6 4.3 4.3 4.2 3.4 3.0 2.9	39.2 4.7 3.1 3.2 3.3 3.1 3.3 2.8 2.5 2.4	33.4 4.9 3.2 3.1 3.1 2.6 2.6 2.1 1.9	18.4 5.4 4.0 3.9 3.5 2.7 2.5 2.1 1.9		.0 .1 .5 1.7 3.5 5.5 6.9 6.6	8.6 3.9 3.6 4.6 7.7 8.2 10.1 9.0 7.0 5.3	2.7 2.5 2.7 3.3 4.4 4.3 4.5 4.2 4.4 5.7	\$\frac{1}{5}\frac{1}{6}\frac{1}{1}\frac{1}{6}\frac{1}{1}\frac{1}{6}\frac{1}{1}\frac{1}\frac{1}{1}\frac{1}{1}\frac{1}{1}\frac{1}{1}\frac{1}{1}\frac{1}{1}\frac{1}{1}\frac{1}{1}\frac{1}{1}\frac{1}{1}\frac{1}{1}\frac{1}{1}\frac{1}{1}\frac{1}{1}\frac{1}{1}\frac{1}{1}\frac{1}{1}\frac{1}\frac{1}{1}\frac{1}\frac{1}{1}\frac{1}{1}\frac{1}{1}\frac{1}	N 034 1	FI B34
GRAIN SIZE FRACTION (µm) > 3150 2500 - 3150 2000 - 2500 1600 - 2000 1250 - 1600 1000 - 1250 800 - 1000 630 - 800 500 - 630 400 - 500 315 - 400	29.6 3.3 2.7 2.9 3.3 3.1 2.6 2.3 1.9 1.8 2.0	19.9 4.3 3.2 3.6 4.3 4.3 4.2 3.4 3.0 2.9 3.1	39.2 4.7 3.1 3.2 3.3 3.1 3.3 2.8 2.5 2.4 2.9	33.4 4.9 3.2 3.1 3.1 2.6 2.6 2.1 1.9 1.8 2.3	18.4 5.4 4.0 3.9 3.5 2.7 2.5 2.1 1.9 1.9		.0 .1 .5 1.7 3.5 5.5 6.9 6.6 6.7 9.5	8.6 3.9 3.6 4.6 7.7 8.2 10.1 9.0 7.0 5.5 5.8	2.7 2.5 2.7 3.3 4.4 4.3 4.5 4.2 4.4 5.7 9.0	\$\frac{\partial}{200} \rightarrow{1}{100} \rig	N 034 1.1.5 1.4.1 3.5.6 4.8 5.4 8.3 13.0	M B34 1.1.2.4.6.6.8.1.1.1.9.4.6.6.0.0.0.0.0.0.0.0.0.0.0.0.0.0.0.0.0
GRAIN SIZE FRACTION (µm) > 3150 2500 - 3150 2000 - 2500 1600 - 2000 1250 - 1600 1000 - 1250 800 - 1000 630 - 800 500 - 630 400 - 500 315 - 400 250 - 315	29.6 3.3 2.7 2.9 3.3 3.1 2.6 2.3 1.9 1.8 2.0 2.1	19.9 4.3 3.2 3.6 4.3 4.3 4.2 3.4 3.0 2.9 3.1 3.1	39.2 4.7 3.1 3.2 3.3 3.1 3.3 2.8 2.5 2.4 2.9 3.5	33.4 4.9 3.2 3.1 3.1 2.6 2.6 2.1 1.9 1.8 2.3 3.1	18.4 5.4 4.0 3.9 3.5 2.7 2.5 3.1 1.9 1.9 2.4		.0 .1 .5 1.7 3.5 5.5 6.9 6.6 6.7 9.5	8.6 3.9 3.6 4.6 7.7 8.2 10.1 9.0 7.0 5.3 5.8 7.5	2.7 2.5 2.7 3.3 4.4 4.3 4.5 4.2 4.4 5.7 9.0	\$\frac{\xi_1\cdots}{\xi_2\cdots} = 1.4 \\ 2.6 \\ 5.7 \\ 8.8 \\ 8.8 \\ 5.9 \\ 7.4 \\ 9.3 \\ 12.3 \\ 12.3 \\ 12.3 \\ 12.3 \\ 12.3 \\ 13.4 \\ 13.4 \\ 13.5 \\ 13	912-912 11 .5 13 .6 13 .6 13 .6 13 .6 14 .9	3. D . 1 2
GRAIN SIZE FRACTION (µm) > 3150 2500 - 3150 2000 - 2500 1600 - 2000 1250 - 1600 1000 - 1250 800 - 1000 630 - 800 500 - 630 400 - 500 315 - 400 250 - 315 200 - 250	29.6 3.3 2.7 2.9 3.3 3.1 2.6 2.3 1.9 1.8 2.0 2.1 2.2	19.9 4.3 3.2 3.6 4.3 4.2 3.4 3.0 2.9 3.1 3.1 3.2	39.2 4.7 3.1 3.2 3.3 3.1 3.3 2.8 2.5 2.4 2.9 3.5 3.9	33.4 4.9 3.2 3.1 3.1 2.6 2.6 2.1 1.9 1.8 2.3 3.1 3.9	18.4 5.4 4.0 3.9 3.5 2.7 2.5 2.1 1.9 1.9 2.4 3.5		.0 .1 .5 1.7 3.5 5.5 6.9 6.6 6.7 9.5 13.5	8.6 3.9 3.6 4.6 7.7 8.2 10.1 9.0 7.0 5.3 5.8 7.5 7.7	2.7 2.5 2.7 3.3 4.4 4.3 4.5 4.2 4.4 5.7 9.0 11.7 12.7	\$\frac{\xi_1\cdots}{\xi_2\cdots} = 1.4 \\ 2.0 \\ 5.7 \\ 8.8 \\ 5.9 \\ 10.3 \\ 10.2 \\ 10.2 \\ 10.2 \\ 10.2 \\ 10.2 \\ 10.3 \\ 10.2 \\ 10.3 \\	912-912 .1 .5 1.4 3.1 3.8 4.6 4.8 5.4 8.3 13.0 9 13.3	88 1.1 .2 .4 .6 .8 1.1 1.9 4.6 10.0 3 16.1
GRAIN SIZE FRACTION (μm) > 3150 2500 - 3150 2000 - 2500 1600 - 2000 1250 - 1600 1000 - 1250 800 - 1000 630 - 800 500 - 630 400 - 500 315 - 400 250 - 315 200 - 250 160 - 200	29.6 3.3 2.7 2.9 3.3 3.1 2.6 2.3 1.9 1.8 2.0 2.1 2.2	19.9 4.3 3.2 3.6 4.3 4.2 3.4 3.0 2.9 3.1 3.1 3.2 3.3	39.2 4.7 3.1 3.2 3.3 3.1 3.3 2.8 2.5 2.4 2.9 3.5 3.9 3.3	33.4 4.9 3.2 3.1 3.1 2.6 2.1 1.9 1.8 2.3 3.1 3.9 4.1	18.4 5.4 4.0 3.9 3.5 2.7 2.5 2.1 1.9 1.9 2.4 3.5 4.9		.0 .1 .5 1.7 3.5 5.5 6.9 6.6 6.7 9.5 13.5 14.3	8.6 3.9 3.6 4.6 7.7 8.2 10.1 9.0 7.0 5.3 5.8 7.5 7.7 5.1	2.7 2.5 2.7 3.3 4.4 4.3 4.5 4.2 4.4 5.7 9.0 11.7 12.7	\$\frac{\xi_1\cdots}{\xi_2\cdots} \tau_1 \tau_2 \tau_2 \tau_2	912-912 .1 .5 1.4 3.6 4.8 4.8 4.8 5.4 8.3 13.9 13.7	3.0 .1 .2 .4 .6 .8 1.1 1.9 4.6 10.0 14.3 16.1 15.7
GRAIN SIZE FRACTION (μm) > 3150 2500 - 3150 2000 - 2500 1600 - 2000 1250 - 1600 1000 - 1250 800 - 1000 630 - 800 500 - 630 400 - 500 315 - 400 250 - 315 200 - 250 160 - 200 125 - 160	29.6 3.3 2.7 2.9 3.3 3.1 2.6 2.3 1.9 1.8 2.0 2.1 2.2	19.9 4.3 3.2 3.6 4.3 4.2 3.4 3.0 2.9 3.1 3.1 3.2 3.3 5.0	39.2 4.7 3.1 3.2 3.3 3.1 3.3 2.8 2.5 2.4 2.9 3.5 3.9 3.3 2.8	33.4 4.9 3.2 3.1 3.1 2.6 2.1 1.9 1.8 2.3 3.1 3.9 4.1	18.4 5.4 4.0 3.9 3.5 2.7 2.5 2.7 1.9 1.9 2.4 3.5 4.9		.0 .1 .5 1.7 3.5 5.5 6.9 6.6 6.7 9.5 13.5	8.6 3.9 3.6 4.6 7.7 8.2 10.1 9.0 7.0 5.3 7.5 7.7 5.1 2.4	2.7 2.5 2.7 3.3 4.4 4.3 4.5 4.2 4.4 5.7 9.0 11.7 12.7 10.6 8.5	\$\frac{\xi_1\cdots}{\xi_2\cdots}\$ \text{1.4.0.6.7.8.8.8.8.9.4.9.3.2.0.0} \text{10.0.3.2.0.0} \text{10.0.0} \text{10.0.0} \text{10.0.0} \text{10.0.0} \text{10.0.0} \	912-912 1.5.4.1.8.6.8.4.3.0.9.3.7.9.3.7.9.3.7.9.9.9.9.9.9.9.9.9.9.9	3.0 .1 .2 .4 .6 .8 1.1 1.9 4.6 10.0 14.3 16.1 15.7
GRAIN SIZE FRACTION (μm) > 3150 2500 - 3150 2000 - 2500 1600 - 2000 1250 - 1600 1000 - 1250 800 - 1000 630 - 800 500 - 630 400 - 500 315 - 400 250 - 315 200 - 250 160 - 200 125 - 160 100 - 125	29.6 3.3 2.7 2.9 3.3 3.1 2.6 2.3 1.9 1.8 2.0 2.1 2.2 2.4 4.1 5.1	19.9 4.3 3.2 3.6 4.3 4.2 3.4 3.0 2.9 3.1 3.1 3.2 3.3 5.0 5.8	39.2 4.7 3.1 3.2 3.3 3.1 3.3 2.8 2.5 2.4 2.9 3.5 3.9 3.9 3.3 2.8 2.8	33.4 4.9 3.2 3.1 2.6 2.6 2.1 1.9 1.8 2.3 3.1 3.9 4.1 4.6 3.7	18.4 5.4 4.0 3.9 3.5 2.7 2.5 3.1 1.9 1.9 2.4 3.5 4.9 5.4 6.1 5.0		.0 .1 .5 1.7 3.5 5.5 6.9 6.6 6.7 9.5 13.5 14.3 11.4 7.9 2.8	8.6 3.9 3.6 4.6 7.7 8.2 10.1 9.0 7.0 5.3 5.8 7.5 7.7 5.1 2.4	2.7 2.5 2.7 3.3 4.4 4.3 4.5 4.2 4.4 5.7 9.0 11.7 12.7 10.6 8.5 2.9	\$\frac{1}{50}\$ \rightarrow{1}{3}\$ \rightarrow{1}{2}\$ \rightarrow{0}{3}\$ \rightarrow{1}{5}\$ \rightarrow{0}{6}\$ \rightarrow{1}{6}\$ \rightarrow{1}{5}\$ \rightarrow{0}{6}\$ \rightarrow{1}{5}\$ \rightarrow{0}{6}\$ \rightarrow{1}{5}\$ \rightarrow{0}{6}\$ \rightarrow{0}{5}\$ \rightarrow{0}{6}\$ \rightarrow{0}{5}\$ \rightarrow{0}{6}\$ \rightarrow{0}{6}	912-912 .1 .5 1.4 3.8 4.8 5.4 8.3 13.0 14.9 13.3 9.9 2.9	3.0 .1 .2 .4 .6 .8 1.1 1.9 4.6 10.0 14.3 16.1 15.7 15.0 6.8
GRAIN SIZE FRACTION (μm) > 3150 2500 - 3150 2000 - 2500 1600 - 2000 1250 - 1600 1000 - 1250 800 - 1000 630 - 800 500 - 630 400 - 500 315 - 400 250 - 315 200 - 250 160 - 200 125 - 160 100 - 125 80 - 100	29.6 3.3 2.7 2.9 3.3 3.1 2.6 2.3 1.9 1.8 2.0 2.1 2.2 4.1 5.1 4.8	19.9 4.3 3.2 3.6 4.3 4.2 3.4 3.0 2.9 3.1 3.1 3.2 3.3 5.0 5.8 4.0	39.2 4.7 3.1 3.2 3.3 3.1 3.3 2.8 2.5 2.4 2.9 3.5 3.9 3.3 2.8 2.9	33.4 4.9 3.2 3.1 3.1 2.6 2.6 2.1 1.9 1.8 2.3 3.1 3.9 4.1 4.6 3.7 2.7	18.4 5.4 4.0 3.9 3.5 2.7 2.5 3.1 1.9 2.4 3.5 4.9 5.4 6.1 5.0		.0 .1 .5 1.7 3.5 5.5 6.9 6.6 6.7 9.5 13.5 14.3 11.4 7.9 2.8 1.2	8.6 3.9 3.6 4.6 7.7 8.2 10.1 9.0 7.0 5.3 5.8 7.7 5.1 2.4 .7	2.7 2.5 2.7 3.3 4.4 4.3 4.5 4.2 4.4 5.7 9.0 11.7 12.7 10.6 8.5 2.9	\$\frac{\xi_1\cdots}{\xi_2\cdots}\$ \tag{3.4.0.6.7.8.8.8.9.4.9.3.2.0.0.2.9}	912-912 -1 -5 -1 -5 -1 -5 -5 -6 -8 -8 -6 -8 -8 -9 -9 -9 -9 -9 -9 -9 -9 -9 -9	3.0 .1 .2 .4 .6 .8 1.1 1.9 4.6 10.0 14.3 16.1 15.7 15.0 6.8 2.3
GRAIN SIZE FRACTION (μm) > 3150 2500 - 3150 2000 - 2500 1600 - 2000 1250 - 1600 1000 - 1250 800 - 1000 630 - 800 500 - 630 400 - 500 315 - 400 250 - 315 200 - 250 160 - 200 125 - 160 100 - 125	29.6 3.3 2.7 2.9 3.3 3.1 2.6 2.3 1.9 1.8 2.0 2.1 2.2 2.4 4.1 5.1	19.9 4.3 3.2 3.6 4.3 4.2 3.4 3.0 2.9 3.1 3.1 3.2 3.3 5.0 5.8	39.2 4.7 3.1 3.2 3.3 3.1 3.3 2.8 2.5 2.4 2.9 3.5 3.9 3.9 3.3 2.8 2.8	33.4 4.9 3.2 3.1 2.6 2.6 2.1 1.9 1.8 2.3 3.1 3.9 4.1 4.6 3.7	18.4 5.4 4.0 3.9 3.5 2.7 2.5 3.1 1.9 1.9 2.4 3.5 4.9 5.4 6.1 5.0		.0 .1 .5 1.7 3.5 5.5 6.9 6.6 6.7 9.5 13.5 14.3 11.4 7.9 2.8	8.6 3.9 3.6 4.6 7.7 8.2 10.1 9.0 7.0 5.3 5.8 7.5 7.7 5.1 2.4	2.7 2.5 2.7 3.3 4.4 4.3 4.5 4.2 4.4 5.7 9.0 11.7 12.7 10.6 8.5 2.9	\$\frac{1}{50}\$ \rightarrow{1}{3}\$ \rightarrow{1}{2}\$ \rightarrow{0}{3}\$ \rightarrow{1}{5}\$ \rightarrow{0}{6}\$ \rightarrow{1}{6}\$ \rightarrow{1}{5}\$ \rightarrow{0}{6}\$ \rightarrow{1}{5}\$ \rightarrow{0}{6}\$ \rightarrow{1}{5}\$ \rightarrow{0}{6}\$ \rightarrow{0}{5}\$ \rightarrow{0}{6}\$ \rightarrow{0}{5}\$ \rightarrow{0}{6}\$ \rightarrow{0}{6}	912-912 .1 .5 1.4 3.8 4.8 5.4 8.3 13.0 14.9 13.3 9.9 2.9	3.0 .1 .2 .4 .6 .8 1.1 1.9 4.6 10.0 14.3 16.1 15.7 15.0 6.8
GRAIN SIZE FRACTION (μm) > 3150 2500 - 3150 2000 - 2500 1600 - 2000 1250 - 1600 1000 - 1250 800 - 1000 630 - 800 500 - 630 400 - 500 315 - 400 250 - 315 200 - 250 160 - 200 125 - 160 100 - 125 80 - 100	29.6 3.3 2.7 2.9 3.3 3.1 2.6 2.3 1.9 1.8 2.0 2.1 2.2 4.1 5.1 4.8	19.9 4.3 3.2 3.6 4.3 4.2 3.4 3.0 2.9 3.1 3.1 3.2 3.3 5.0 5.8 4.0	39.2 4.7 3.1 3.2 3.3 3.1 3.3 2.8 2.5 2.4 2.9 3.5 3.9 3.3 2.8 2.9	33.4 4.9 3.2 3.1 3.1 2.6 2.6 2.1 1.9 1.8 2.3 3.1 3.9 4.1 4.6 3.7 2.7	18.4 5.4 4.0 3.9 3.5 2.7 2.5 3.1 1.9 2.4 3.5 4.9 5.4 6.1 5.0		.0 .1 .5 1.7 3.5 5.5 6.9 6.6 6.7 9.5 13.5 14.3 11.4 7.9 2.8 1.2	8.6 3.9 3.6 4.6 7.7 8.2 10.1 9.0 7.0 5.3 5.8 7.7 5.1 2.4 .7	2.7 2.5 2.7 3.3 4.4 4.3 4.5 4.2 4.4 5.7 9.0 11.7 12.7 10.6 8.5 2.9	\$\frac{\xi_1\cdots}{\xi_2\cdots}\$ \tag{3.4.0.6.7.8.8.8.9.4.9.3.2.0.0.2.9}	912-912 -1 -5 -1 -5 -1 -5 -5 -6 -8 -8 -6 -8 -8 -9 -9 -9 -9 -9 -9 -9 -9 -9 -9	3.0 .1 .2 .4 .6 .8 1.1 1.9 4.6 10.0 14.3 16.1 15.7 15.0 6.8 2.3
GRAIN SIZE FRACTION (μm) > 3150 2500 - 3150 2000 - 2500 1600 - 2000 1250 - 1600 1000 - 1250 800 - 1000 630 - 800 500 - 630 400 - 500 315 - 400 250 - 315 200 - 250 160 - 200 125 - 160 100 - 125 80 - 100 63 - 80	29.6 3.3 2.7 2.9 3.3 3.1 2.6 2.3 1.9 1.8 2.0 2.1 2.4 4.1 5.1 4.8 3.9	19.9 4.3 3.2 3.6 4.3 4.2 3.4 3.0 2.9 3.1 3.1 3.2 3.3 5.0 5.8 4.0 3.1	39.2 4.7 3.1 3.2 3.3 3.1 3.3 2.8 2.5 2.4 2.9 3.5 3.9 3.3 2.8 2.9	33.4 4.9 3.2 3.1 3.1 2.6 2.1 1.9 1.8 2.3 3.1 3.9 4.1 4.6 3.7 2.7 2.6	18.4 5.4 4.0 3.9 3.5 2.7 2.5 1.9 1.9 2.4 3.9 4.1 5.9 4.1 5.9 5.7		.0 .1 .5 1.7 3.5 5.5 6.9 6.6 6.7 9.5 13.5 14.3 11.4 7.9 2.8 1.2	8.6 3.9 3.6 4.6 7.7 8.2 10.1 9.0 7.0 5.3 5.8 7.5 7.7 5.1 2.4 .7	2.7 2.5 2.7 3.3 4.4 4.3 4.5 4.2 4.4 5.7 9.0 11.7 12.7 10.6 8.5 2.9 .8	\$\frac{\xi_1\cdots}{\xi_2\cdots} \qu	912-012 11.5.4.1.8.6.8.4.8.4.8.13.7.9.9.9.1.8	3.0 .1 .2 .4 .6 .8 1.1 1.9 4.6 10.0 14.3 16.1 15.7 15.0 6.8 2.3 1.2
GRAIN SIZE FRACTION (μm) > 3150 2500 - 3150 2000 - 2500 1600 - 2000 1250 - 1600 1000 - 1250 800 - 1000 630 - 800 500 - 630 400 - 500 315 - 400 250 - 315 200 - 250 160 - 200 125 - 160 100 - 125 80 - 100 63 - 80 20 - 63	29.6 3.3 2.7 2.9 3.1 2.6 2.3 1.9 1.8 2.0 2.1 2.4 4.1 5.1 4.8 3.9	19.9 4.3 3.2 3.6 4.3 4.2 3.4 3.0 2.9 3.1 3.2 3.3 5.0 5.8 4.0 3.1 7.1	39.2 4.7 3.1 3.2 3.3 3.1 3.3 2.8 2.5 2.4 2.9 3.5 3.9 3.3 2.8 2.9	33.4 4.9 3.2 3.1 2.6 2.5 2.1 1.9 1.8 2.3 3.1 3.9 4.1 4.6 3.7 2.7 2.7 2.6	18.4 5.4 4.0 3.5 2.7 2.5 2.1 9.4 4.9 4.1 5.9 5.4 5.9 5.4 5.9 5.4 5.9 5.4 5.9 5.4 5.9 5.4 5.9 5.9 5.9 5.9 5.9 5.9 5.9 5.9 5.9 5.9		.0 .1 .5 1.7 3.5 5.5 6.9 6.6 6.7 9.5 13.5 14.3 11.4 7.9 2.8 1.2	8.6 3.9 3.6 4.6 7.7 8.2 10.1 9.0 5.3 5.8 7.7 5.1 2.4 .7 .3	2.7 2.5 2.7 3.3 4.4 4.3 4.5 4.2 4.4 5.7 9.0 11.7 12.7 10.6 8.5 2.9 .8 1.2	\$\frac{1}{5}\frac{1}{6}\frac{1}{1}\frac{1}{2}\frac{1}\frac{1}{2}\f	912-912 .1 .5 .5 .6 .8 .5 .4 .8 .5 .4 .8 .5 .4 .8 .5 .7 .9 .7 .9 .7 .7 .9 .7 .7 .7 .7 .7 .7 .7 .7 .7 .7	3.0 .1 .2 .4 .6 .8 1.1 1.9 4.6 10.0 14.3 16.1 15.7 15.0 6.8 2.3 1.2
GRAIN SIZE FRACTION (μm) > 3150 2500 - 3150 2000 - 2500 1600 - 2000 1250 - 1600 1000 - 1250 800 - 1000 630 - 800 500 - 630 400 - 500 315 - 400 250 - 315 200 - 250 160 - 200 125 - 160 100 - 125 80 - 100 63 - 80 20 - 63 20 - 63 20 - 63 20 - 63 20 - 63 20 - 63	29.6 3.3 2.7 2.9 3.3 3.1 2.6 2.3 1.9 1.8 2.0 2.1 2.2 4.1 5.1 4.8 3.9	19.9 4.3 3.2 3.6 4.3 4.2 3.4 3.0 2.9 3.1 3.2 3.3 5.0 5.8 4.0 3.1 7.1 2.3	39.2 4.7 3.1 3.2 3.3 3.1 3.3 2.8 2.5 2.4 2.9 3.5 3.9 3.3 2.8 2.5 2.4 2.9 3.5 3.7	33.4 4.9 3.2 3.1 3.1 2.6 2.6 2.1 1.9 1.8 2.3 3.1 3.9 4.1 4.6 3.7 2.7 2.7 2.6	18.4 5.4 4.0 3.9 3.5 2.7 2.5 1.9 2.4 5.9 5.4 5.9 5.4 5.9 5.4 5.9 5.7 5.7 5.7 5.7 5.7 5.7 5.7 5.7 5.7 5.7		.0 .1 .5 1.7 3.5 5.5 6.9 6.6 6.7 9.5 13.5 14.3 11.4 7.9 2.8 1.2 1.8	8.6 3.9 3.6 4.6 7.7 8.2 10.1 9.0 5.3 5.8 7.7 5.1 2.4 .7 .3 .4	2.7 2.5 2.7 3.3 4.4 4.3 4.5 4.2 4.4 5.7 9.0 11.7 12.7 10.6 8.5 2.9 .8 1.2	\$\frac{\xi_1\cdots}{\xi_2\cdots}\$ 3.4.0.6.7.8.8.8.9.4.9.3.2.0.0.2.9.8.4.2.2.10.2.2.10.2.2.10.2.2.10.2.2.10.2.2.10.2.2.10.2.2.2.2	912-912 .1 .5 1. 1. 1. 1. 1. 1. 1. 1. 1. 1.	10.00 14.3 16.1 15.7 15.0 6.8 2.3 1.4 1.4
GRAIN SIZE FRACTION (µm) > 3150 2500 - 3150 2000 - 2500 1600 - 2000 1250 - 1600 1000 - 1250 800 - 1000 630 - 800 500 - 630 400 - 500 315 - 400 250 - 315 200 - 250 160 - 200 125 - 160 100 - 125 80 - 100 63 - 80 20 - 63 6.3 - 20 2 - 6.3	29.6 3.3 2.7 2.9 3.3 3.1 2.6 2.3 1.9 1.8 2.0 2.1 2.2 4.1 5.1 4.8 3.9	19.9 4.3 3.6 4.3 4.3 4.2 3.4 3.0 2.9 3.1 3.1 3.2 3.3 5.0 5.8 4.0 7.1 2.3 1.6	39.2 4.7 3.1 3.2 3.3 3.1 3.3 2.8 2.5 2.4 2.9 3.5 3.9 3.3 2.8 2.7 3.5 3.7 2.8 2.7	33.4 4.9 3.2 3.1 3.1 2.6 2.6 2.1 1.9 1.8 2.3 3.1 3.9 4.1 4.6 3.7 2.7 2.6 4.1 3.4	18.4 5.4 4.0 3.9 3.5 2.7 2.5 1.9 2.4 5.9 5.4 5.9 5.4 5.9 5.4 6.1 6.2 6.3 6.3 6.4 6.5 6.7 6.7 6.7 6.7 6.7 6.7 6.7 6.7		.0 .1 .5 1.7 3.5 5.5 6.9 6.6 6.7 9.5 13.5 14.3 11.4 7.9 2.8 1.2 1.8 1.6	8.6 3.9 3.6 4.6 7.7 8.2 10.1 9.0 7.0 5.3 5.8 7.5 7.7 5.1 2.4 .7 .3 .4 .6 .5 .5	2.7 2.5 2.7 3.3 4.4 4.3 4.5 4.2 4.4 5.7 9.0 11.7 12.7 10.6 8.5 2.9 .8 1.0 1.0	\$\frac{\xi_1\cdots}{\xi_2\cdots}\$ 3.4.0.6.7.8.8.8.9.4.9.3.2.0.0.2.9.8.4.2.	912-912 	3.0 .1 .2 .4 .6 .8 1.1 1.9 4.6 10.0 14.3 16.1 15.7 15.0 6.8 2.3 1.2
GRAIN SIZE FRACTION (µm) > 3150 2500 - 3150 2000 - 2500 1600 - 2000 1250 - 1600 1000 - 1250 800 - 1000 630 - 800 500 - 630 400 - 500 315 - 400 250 - 315 200 - 250 160 - 200 125 - 160 100 - 125 80 - 100 63 - 80 20 - 63 60 - 80 20 - 63 MAXIMUM	29.6 3.3 2.7 2.9 3.1 2.6 2.3 1.9 1.8 2.0 2.1 2.4 4.1 4.1 4.9 11.6 2.5 1.7	19.9 4.3 3.6 4.3 4.2 3.4 3.0 2.9 3.1 3.2 3.3 5.0 5.8 4.0 7.1 2.3 1.6 5.3	39.2 4.7 3.1 3.2 3.3 3.1 3.3 2.8 2.5 2.4 2.9 3.9 3.3 2.8 2.7 2.7 2.7	33.4 4.9 3.2 3.1 2.6 2.1 1.9 1.8 2.3 3.1 3.9 4.1 4.6 3.7 2.7 2.6 4.1 3.4 3.4	18.4 5.4 3.5 2.5 1.9 4.5 4.5 5.7 5.7 5.7 5.7 5.7 5.7 5.7 5.7 5.7 5		.0 .1 .5 1.7 3.5 5.5 6.9 6.6 7.9 13.5 14.3 11.4 7.9 2.8 1.2 1.8 1.6 1.6	8.6 3.9 3.6 4.6 7.7 8.2 10.1 9.0 7.0 5.3 5.8 7.7 7.1 2.4 .6 .5 .5 .5	2.7 2.5 2.7 3.3 4.4 4.3 4.5 4.2 4.4 5.7 9.0 11.7 12.7 10.6 8.5 2.9 .8 1.0 1.0	\$\frac{1}{5}\frac{1}{6}\frac{1}{	9(2-9)2 	867-062 .D .1 .2 .4 .6 .8 1.1 1.9 4.6 10.0 3.1 15.7 15.8 2.3 2 1.4 1.4 1.4 1.4
GRAIN SIZE FRACTION (µm) > 3150 2500 - 3150 2000 - 2500 1600 - 2000 1250 - 1600 1000 - 1250 800 - 1000 630 - 800 500 - 630 400 - 500 315 - 400 250 - 315 200 - 250 160 - 200 125 - 160 100 - 125 80 - 100 63 - 80 20 - 63 400 20 - 63 400 20 - 63 400 20 - 63 400 20 - 63 400 20 - 63 400 20 - 63 400 63 - 80 20 - 63 400 20 - 63	29.6 3.3 2.7 2.9 3.3 3.1 2.6 2.3 1.9 1.8 2.0 2.1 2.2 4.1 5.1 4.8 3.9	19.9 4.3 3.6 4.3 4.3 4.2 3.4 3.0 2.9 3.1 3.1 3.2 3.3 5.0 5.8 4.0 7.1 2.3 1.6	39.2 4.7 3.1 3.2 3.3 3.1 3.3 2.8 2.5 2.4 2.9 3.5 3.9 3.3 2.8 2.7 3.5 3.7 2.8 2.7	33.4 4.9 3.2 3.1 3.1 2.6 2.6 2.1 1.9 1.8 2.3 3.1 3.9 4.1 4.6 3.7 2.7 2.6 4.1 3.4	18.4 5.4 4.0 3.9 3.5 2.7 2.5 1.9 2.4 5.9 5.4 5.9 5.4 5.9 5.4 6.1 6.2 6.3 6.3 6.4 6.5 6.7 6.7 6.7 6.7 6.7 6.7 6.7 6.7		.0 .1 .5 1.7 3.5 5.5 6.9 6.6 6.7 9.5 13.5 14.3 11.4 7.9 2.8 1.2 1.8 1.6	8.6 3.9 3.6 4.6 7.7 8.2 10.1 9.0 7.0 5.3 5.8 7.5 7.7 5.1 2.4 .7 .3 .4 .6 .5 .5	2.7 2.5 2.7 3.3 4.4 4.3 4.5 4.2 4.4 5.7 9.0 11.7 12.7 10.6 8.5 2.9 .8 1.0 1.0	\$\frac{\xi_1\cdots}{\xi_2\cdots}\$ 3.4.0.6.7.8.8.8.9.4.9.3.2.0.0.2.9.8.4.2.2.10.2.2.10.2.2.10.2.2.10.2.2.10.2.2.10.2.2.10.2.2.2.2	912-912 .1 .5 1. 1. 1. 1. 1. 1. 1. 1. 1. 1.	10.00 14.3 16.1 15.7 15.0 6.8 2.3 1.4 1.4

Fortsetzung Tab. 7

GRAIN SIZE FRACTION	400-406 cn	NL 834 445-455 CR	ÑL 034 540-546 cm	NI 034 630-640 co	NL 034 673~684 cb		AL 035 3-7 cm	ML 035 27-33 ca	035 -81 ca	NL 035 92-98 ca	ML 035 134-148 cm	Nt. 035 165-170 cm
(µm)	# FO	폭 3	₹ 54(≅ ‰	₩			표 :2	ML (¥25	포 1	₩. 165
> 3150	. 1	3.2	.7	4.8	11.1		1.3	. 1	.2	9.1	13,0	12.3
2500 - 3150	.0	1.5	.3	1.7	2.7		.3	.0	.2	2.8	2.5	2.3
2000 - 2500	, 1	1,5	3	1.8	3.1		.3	.1	.2	2.4	2.2	5-0
1600 - 2000	.2	1.7	,4	2.2	3.5		.3	. 1	. 4	2.8	3.2	2.9
1250 - 1600	.4	1.7	7	2.6	4.3		.5	.3	.8	4.3	4-6	3.7
1000 - 1250	.5	1.2	.7	2.2	3.8		. &	. 5	1.3	4.5	4.7	3.6
800 ~ 1000	.7	1.1	. 9	2.5	4.1		.9	1.3	2.3	4.6	4.8	4.0
630 ~ 066	.9	1.0	1.0	2.7	4.7		1.1	1.7	2.5	3.5	3.9	3.6
500 ~ 630 400 - 500	1.3 2.5	1.2	1.2 1.5	3.0	4.4 5.3		1.0	1.7 1.3	2.4	2.8	3.3 3.3	3.1 3.2
315 - 400	5.4	4.2	2.1	3.7 4.7	6.1		-8 -8	1.5	2.5 2.7	2.6 2.6	3.5	3.8
250 - 315	10.2	7.7	3.4	5.9	5.9		1.0	2,1	3.3	2.8	4.0	4.8
200 - 250	13.6	10.1	5.6	7.3	5.5		1.0	2.2	3.7	3.0	4.2	5_9
160 - 200	15.6	12.5	7.2	8.7	5.4		1.0	2.2	3.4	2.7	3.9	5.6
125 160	19.5	16.8	11.3	11.6	6.5		1,1	2.6	4.5	3.3	4.1	6.0
100 - 125	11.8	12.2	11.9	9.3	4.8		1.5	3.5	5.6	3,8	3,5	4.5
80 100	5.1	5.9	10.1	5.9	3,0		2.5	5.5	6.4	4.3	3.1	3.4
63 - 80	2.9	3.5	10.8	4.9	2.6		3.8	5.3	8.4	5.2	3.2	3.4
20 - 63	4.0	5.1	18.0	7.9	6.5		43.8	38.2	33.6	22.0	14.0	12.4
6.3 - 20	1.5	1.5	3.1	1.9	2,4		14.3	9,1	5.0	3.4	3.2	3.2
2 - 6.3	, 5	.7	1.2	+8	.9		3.1	2.2	1.3	. 9	1.1	1.2
< 2	3.1	3.7	7.6	3.9	4.0		19.0	18.7	9.3	6.6	6.1	5.0
MAXIMUM		40.0		40.5	44.5		40.5					
GRAIN SIZE	6.3	10.0	8.0	12.5	16.0		12.5	6.3	8.0	16.0	31.5	20.0
(mm)												
			_	Ę	8	E 3	5	es G		5	6	5
GRAIN SIZE	<u>%</u>	75 EB	55 50 8	5 22		_	39 130 ca			40 6 ca	4ე 1 տ	<i>(</i> "1
FRACTION	-9 cm	t 039 3-29 cm	50 %	L 039 6-180 cm		_	L 039 25-130 cm			R. 040 0-16 ca	41, 040 35-91, cm	<i>(</i> "1
	ML 039 3-9 cm	AL 039 23-29 cm	NŁ 039 52-58 cn		-	NL 039 112-120 cm		KL 039 14?-154 cm		R. 040 10-16 รถ	ы! 040 85-91 сп	NL 040 164-170 сп
FRACTION	NL 039 1 3-9 cm	NL 039	50 %	S RL 039 S 86-100 cm		_	с ис 039 с 125-130 са			Nt. 040 10-16 ca	85-91 cm	<i>(</i> "1
FRACTION (µm)			NE 039 52-58	KL D39 86-169	NL 039 102-108	NL 039 112-120	NL 039 125-130	KL 039 142-154				NL 040 164-170
FRACTION (µm) > 3150	-	.9	NE 039	S NL 039 S 86-100	ы ы 039 .5 102-108	ដ NL 039 5 112-120	ы 039 5 125-130	KL 039		. 4	7.3	w RL G40 ₩ 164-170
FRACTION (µm) > 3150 2500 + 3150	-	.9 .2	NE 036	86-100	ML 039	ML 039	2 0 NL 939	KL 039		.4	1.3 .7	L W R 040
FRACTION (µm) > 3150 2500 + 3150 2000 - 2500	- - .1	.9	NE 039	N N N N N 1039	901-201 5.9 1.7 2.1	NL 039	N - 5 NL 039 C 8 D 125-130	RL 039		.4	1.3 .7 1.0	000 TM 3.0 1.3 2.7 5.4
FRACTION (μm) > 3150 2500 + 3150 2000 - 2500 1600 - 2000 1250 - 1600 1000 - 1250	- - -1 .7	.9 .2 .3 1.0	NL 039	001-98 8 5 3 7 6 5 3 6 5 3	1039 1039 1039 1039 1039 1039 1039 1039	021-211 UF 034	84.939 9.6.4.0.8.9.125-130	551-251 .4 .6 .2 .7 .4 .4 .4 .7 .7 .7 .7 .7 .7 .7 .7 .7 .7 .7 .7 .7		.4 .2 .3 .8 1.5	7.3 .7 1.0 2.1 3.8 4.4	010 W 3 1.3 7 4.6
FRACTION (μm) > 3150 2500 + 3150 2000 - 2500 1600 - 2000 1250 - 1600 1000 - 1250 800 - 1000	- .1 .7 2.4 3.2 4.8	.9 .2 .3 1.0 1.8 3.6	NE 033	093-98 20.8 2.5 2.3 3.7 6.0 5.2	801-201 9.77 2.66 8.5	N. 039 12-120 13-4 13-4 14-4 15-130 14-4 15-130	125-130 12-130 12-130 135-130	551-291 .4 .6 1.7 1.7 3.1		.4 .2 .3 .8 1.5 2.0	7.3 .7 1.0 2.1 3.8 4.4 4.3	011-991 2 0 3 1 3 2 5 4 6 5 5 5 5 5
FRACTION (μm) > 3150 2500 + 3150 2000 - 2500 1600 - 2000 1250 - 1600 1000 - 1250 800 - 1000 630 - 800	- .1 .7 2.4 3.2 4.8 5.5	.9 .2 .3 1.0 1.8 3.6 4.5	NF 033	091-98 8 5 5 3 6 0 3 5 5 6 6 6 6 6 6 6 6 6 6 6 6 6 6 6 6 6	801-201 9.7 5.7 2.66.8 5.1	N 039 13-120 14-5-5-3-4-2-6 15-150 15	155-130 1 25-130 1 25-130	551-271 .4 .1 .4 .6 .2 .7 .3 .9 .3 .9		.4 .2 .3 .8 1.5 2.0 2.3	7.3 .7 1.0 2.1 3.8 4.4 4.3 3.9	011-191 2 0 3 7 4 6 5 5 5 4 8
FRACTION (μm) > 3150 2500 + 3150 2000 - 2500 1600 - 2000 1250 - 1600 1000 - 1250 800 - 1000 630 - 800 500 - 630	- .1 .7 2.4 3.2 4.8 5.5	.9 .2 .3 1.0 1.8 3.6 4.5	# 033 1.0 0 1 5.0 4.0 2 4.0 4.0 5.0 4.0 5.0 4.0 5.0 4.0 5.0 4.0 5.0 4.0 5.0 4.0 5.0 4.0 5.0 5.0 5.0 5.0 5.0 5.0 5.0 5.0 5.0 5.0 5.0 5.0 5.0 5.0 5.0	091-98 20.8 2.5 2.3 3.7 6.0 5.3 5.2 4.6 3.8	801-201 9.7 5.7 2.6 5.5 5.1 2 4.6 5.5 5.1 2	13.4 13.4 13.4 13.4 13.4 14.0 14.0 14.0 14.0 14.0 15.0 16.0 16.0 16.0 16.0 16.0 16.0 16.0 16	031-321	551-271 .4 .6 .6 .7 .7 .1 .9 .3 .3 .3 .3 .3 .3 .3 .3 .3 .3 .3 .3 .3		.4 .2 .3 .8 1.5 2.0 2.3 2.3	1.3 .7 1.0 2.1 3.8 4.4 4.3 3.9 3.4	010-194 2 0 3 7 4 6 5 5 5 5 5 5 5 5 5 5 5 5 5 5 5 5 5 5
FRACTION (μm) > 3150 2500 + 3150 2000 - 2500 1600 - 2000 1250 - 1600 1000 - 1250 800 - 1000 630 - 800 500 - 630 400 - 500	- .1 .7 2.4 3.2 4.8 5.5 5.3	.9 .2 .3 1.0 1.8 3.6 4.5 4.3	1.033 1.03.0 1.04.0 1.04.4	091-98 20.8 2.3 3.7 6.0 5.2 4.6 3.5	801-201 9 7 7 2 4 6 5 5 5 4 3 8 4 5 5 4 3 8	13 1 1 2 4 4 5 4 4 4 4 5 4 4 4 4 5 4 4 4 4 5 4 4 4 4 5 4 4 4 4 5 4	031-521 6 8 0 7 9 6 3 3 4 0 0 5 5 6 5 6 5 6 6 6 6 6 6 6 6 6 6 6 6	551-271 .4 .1 .4 .6 2 1.7 3.9 3.3 7		.4 .2 .3 .8 1.5 2.0 2.3 2.3 2.1 2.6	7.3 .7 1.0 2.1 3.8 4.4 4.3 3.9 3.4 3.7	0#0 N 3 1 1 2 2 5 5 5 5 5 5 5 5 5 5 5 5 5 5 5 5
FRACTION (μm) > 3150 2500 + 3150 2000 - 2500 1600 - 2000 1250 - 1600 1000 - 1250 800 - 1000 630 - 800 500 - 630 400 - 500 315 - 400	- .1 .7 2.4 3.2 4.8 5.5 5.3 5.3	.9 .2 .3 1.0 1.8 3.6 4.5 4.3 4.5	1.0 0 0 1 0 0 4 4 4 4 4 4 4 4 4 4 4 4 4 4	091-98 8.5 2.3 3.7 6.3 5.4 6.8 3.5 4.6 3.5 3.4	801-201 9 7 1 2 4 6 8 5 1 2 8 7 4 3 3 3 3	021-211 0.4 6.5 5.4 4.2 6.2 4.1 1.5 4.2 6.2 7.1	031-321	551-271 .4 .1 .4 .5 2 7 .3 .9 3 .3 7 .3 .3 2 .3		.4 .2 .3 .8 1.5 2.0 2.3 2.3 2.1 2.6 2.3	1.3 .7 1.0 2.1 3.8 4.4 4.3 3.9 3.4 3.7 3.0	010-191 2.0.3.7.4.6.5.8.3.9.0
FRACTION (μm) > 3150 2500 + 3150 2000 - 2500 1600 - 2000 1250 - 1400 1000 - 1250 800 - 1000 630 - 800 500 - 630 400 - 500 315 - 400 250 - 315	1 .7 2.4 3.2 4.8 5.5 5.3 5.3 5.5 6.1	.9 .2 .3 1.0 1.8 3.6 4.5 4.3 4.3	1.000 1.000	091-98 8.5 20.5 2.3 3.7 6.3 5.4 4.6 3.5 4.4 3.5 3.4 4.4	801-201 9 7 1 2 4 6 6 8 5 5 1 2 8 7 7 4 8 3 3 3 3 3 3 3 3	021-211 0.4 6.5 3.4 4.2 6.2 7.1 3.4 4.5 4.4 4.4 4.4 4.4 4.4 4.4 4.4 4.4 4	152-155	551-291 .4 .1 .4 .6 2 7 .1 .9 3 .7 3 .3 2 .3 3 .3 2 .3 3		.4 .2 .3 .8 1.5 2.0 2.3 2.3 2.1 2.6 2.3 2.2	7.3 .7 1.0 2.1 3.8 4.4 4.3 3.9 3.4 3.7	QLL-991 2 0 3 7 4 6 5 5 8 3 9 0 5 5 5 5 8 3 9 0 5 5 5 5 8 3 9 0 5 5 6 8 8 8 8 8 8 8 8 8 8 8 8 8 8 8 8 8
FRACTION (μm) > 3150 2500 + 3150 2000 - 2500 1600 - 2000 1250 - 1600 1000 - 1250 800 - 1000 630 - 800 500 - 630 400 - 500 315 - 400	- .1 .7 2.4 3.2 4.8 5.5 5.3 5.3	.9 .2 .3 1.0 1.8 3.6 4.5 4.3 4.5	1.0 0 0 1 0 0 4 4 4 4 4 4 4 4 4 4 4 4 4 4	093-98 8.5 3.7 0.3 2.6 8.5 4.4 3.3 3.3 3.3 3.3 3.3 3.3 3.3 3.3 3.3	801-201 9 7 1 2 4 6 8 5 1 2 8 7 4 3 3 3 3	021-211 0.4 6.5 5.4 4.2 6.2 4.1 1.5 4.2 6.2 7.1	031-321	551-271 .4 .1 .4 .5 2 7 .3 .9 3 .3 7 .3 .3 2 .3		.4 .2 .3 .8 1.5 2.0 2.3 2.3 2.1 2.6 2.3	1.3 .7 1.0 2.1 3.8 4.4 4.3 3.9 3.4 3.7 3.0	010-191 2.0.3.7.4.6.5.8.3.9.0
FRACTION (μm) > 3150 2500 + 3150 2000 - 2500 1600 - 2000 1250 - 1600 1000 - 1250 800 - 1000 630 - 800 500 - 630 400 - 500 315 - 400 250 - 315 200 - 250	- .1 .7 2.4 3.2 4.8 5.5 5.3 5.3 5.5 6.1	.9 .2 .3 1.0 1.8 3.6 4.5 4.3 4.3 4.5 5.1	\$29 25 2.1 1.3 D.0 1.D.6 4.4 4.5 5.5 5.5	091-98 8.5 20.5 2.3 3.7 6.3 5.4 4.6 3.5 4.4 3.5 3.4 4.4	801-201 9.7 1.7 2.6 5.8 5.1 2.8 3.7 7.5	021-211 0.4 6.5 3.4 2.6 2.7 1.3 9.034 4.5 4.5 4.5 4.5 4.5 4.5 4.5 5.5 5.5 5.	051-521	551-271 .4 .1 .4 6.2 7 .1 9 .3 .7 .3 .3 .2 .2 .2 .2 .2 .2		.4 .2 .3 .8 1.5 2.0 2.3 2.3 2.1 2.6 2.3 2.2	1.3 .7 1.0 2.1 3.8 4.4 4.3 3.9 3.4 3.7 3.0 3.0 3.5	070 W 3 1.3 7.4 6.5 8.3 9.0 5.6
FRACTION (μm) > 3150 2500 + 3150 2500 + 2500 1600 + 2000 1250 + 1600 1000 - 1250 800 + 1000 630 + 800 500 - 630 400 + 500 315 - 400 250 - 315 200 - 250 160 - 200	- .1 .7 2.4 3.2 4.8 5.5 5.3 5.3 5.3 6.1 6.9	.9 .2 .3 1.0 1.8 3.6 4.5 4.3 4.5 5.1 5.1 5.2	\$29 25 21 1 3 0 0 1 D 6 4 4 4 5 5 5 5 6 0	091-98 8 2.5 3 5.0 5.3 5.4 4.3 2 4.6 8 3.3 3.3 3.3	801-201 9.7 2.1 2.6 5.5 5.1 2.8 3.7 7.7 3.5 3.5	021-211 0.4 6.5 3.4 2.6 2.7 1.3 9.8 1.1-213	051-52t	627 TH .4 .6 .2 .7 .7 .9 .3 .7 .2 .2 .2 .3 .2 .2 .3 .3 .2 .2 .3 .3 .2 .2 .3 .3 .3 .2 .2 .3 .3 .3 .3 .3 .3 .3 .3 .3 .3 .3 .3 .3		.4 .2 .3 .8 1.5 2.0 2.3 2.3 2.1 2.6 2.3 2.2 3.5	1.3 .7 1.0 2.1 3.8 4.4 4.3 3.9 3.4 3.7 3.0 3.0 3.5 3.7	011-191 2.0.3.7.4.6.5.8.3.9.0.5.6.4.4.5.4.4.5.4.4.4.5.4.4.4.4.5.4.4.4.4
FRACTION (μm) > 3150 2500 + 3150 2000 + 2500 1600 + 2000 1250 + 1600 1000 - 1250 800 + 1000 630 + 800 500 + 630 400 + 500 315 + 400 250 + 315 200 + 250 160 + 200 125 + 160	- .1 .7 2.4 3.2 4.8 5.5 5.3 5.3 5.3 6.1 6.9 7.3	.9 .2 .3 1.0 1.8 3.6 4.3 4.3 4.3 5.1 5.1 5.2 6.7	1.030 1.030	091-98 8 2.5 3 .7 6.0 5.3 5.4 4.3 5.4 4.3 3.3 4.3 3.3 4.3	801-201 9 7 7 2 4 6 6 8 5 5 1 2 8 7 7 7 5 5 7 8 5 7	021-214 0.4 6.5 3.4 2.6 2.7 1.3 9.8 1.034 2.6 2.7 1.0 2.0 2.7 1.0 2.0 2.0 2.0 2.0 2.0 2.0 2.0 2.0 2.0 2	051-521 6 8 0 7 9 6 3 3 4 0 9 0 7 6 2 5 5 4 4 5 6 2 5 5 6 5 6 5 6 5 6 5 6 5 6 5 6 5 6	627 H .1 .4 .6 .2 .7 .1 .9 .3 .7 .3 .3 .2 .2 .3 .4 .5		.4 .2 .3 .8 1.5 2.0 2.3 2.3 2.1 2.6 2.3 2.2 3.0 6.0	1.3 .7 1.0 2.1 3.8 4.4 4.3 3.9 3.4 3.7 3.0 3.0 3.5 3.7 6.2	011-191 2.03.7.4.6.5.83.9.0.5.6.4.1.010.11
FRACTION (μm) > 3150 2500 + 3150 2000 - 2500 1600 - 2000 1250 + 1600 1000 - 1250 800 - 1000 630 - 800 500 - 630 400 - 500 315 - 400 250 - 315 200 - 250 160 - 200 125 - 160 100 - 125	1 .7 2.4 3.2 4.8 5.5 5.3 5.5 6.1 6.9 7.3 11.0 10.1	.9 .2 .3 1.0 1.8 4.5 4.3 4.3 5.1 5.1 5.2 6.7	100 20 20 20 1 1 3 0 0 0 1 0 0 0 4 4 4 4 5 5 5 6 0 9 9 9 1 1 1 1 1 1 1 1 1 1 1 1 1 1 1 1	091-98 8 5 3 7 0 3 2 6 8 5 4 4 3 2 3 4 4 4 3 4 4 4 4	801-201 9 7 7 1 2 6 6 8 5 1 2 8 7 7 5 5 1 2 8 5 5 1 2 8 5 5 1 2	021-211 0.4 6.5 3.4 4.2 6.2 7.1 3.9 8.1 7.2 4.4 4.4 4.3 9.8 1.7 5.1 7.2 4.4 4.4 4.3 9.8 1.7 6.2 1.4 4.4 4.4 4.4 4.4 4.4 4.4 4.4 4.4 4.4	031-321	620 TH .1 4 .6 2 7 .1 9 3 3 7 3 3 2 2 2 3 4 5 5		.4 .2 .3 .8 1.5 2.0 2.3 2.3 2.1 2.6 2.3 2.5 3.0 6.0 9.4	1.3 .7 1.0 2.1 3.8 4.4 4.3 3.9 3.4 3.7 3.0 3.0 3.5 3.7 6.2 8.0	011-191 2.03.7.4.6.5.8.3.9.0.5.6.4.1.0
FRACTION (μm) > 3150 2500 + 3150 2000 - 2500 1600 - 2000 1250 - 1600 1000 - 1250 800 - 1000 630 - 800 500 - 630 400 - 500 315 - 400 250 - 315 200 - 250 160 - 200 125 - 160 100 - 125 80 - 100	1 .7 2.4 3.2 4.8 5.5 5.3 5.5 6.1 6.9 7.3 11.0 16.8	.9 .2 .3 1.0 1.8 3.6 4.5 4.3 4.3 4.5 5.1 5.1 5.2 6.7 5.1	1033 1001 1001 1001 1001 1001 1001 1001	091-98 8 5 3 3	801-201 9 7 1 2 4 6 6 8 5 5 1 2 8 8 7 7 7 5 8 8 5 5 5 8 8 8 8 7 7 8 8 8 8	021-211 0.4.6.5.3.4.2.6.2.7.1.3.9.8.1.1.0.11-211 0.4.4.3.5.8.1.1.0.11-211 0.4.6.5.3.4.2.6.2.7.1.3.9.8.1.1.0.11-211 0.4.6.5.3.4.2.6.2.7.1.3.9.8.1.1.0.11-211 0.4.6.5.3.4.2.6.2.7.1.3.9.8.1.1.0.11-211 0.4.6.5.3.4.2.6.2.7.1.3.9.8.1.1.0.11-211 0.4.6.5.3.4.2.6.2.7.1.3.9.8.1.1.0.11-211 0.4.6.5.3.4.2.6.2.7.1.3.9.8.1.1.0.11-211 0.4.6.5.3.4.2.6.2.7.1.3.9.8.1.1.0.11-211 0.4.6.5.3.4.2.6.2.7.1.3.9.8.1.1.0.11-211 0.4.6.5.3.4.2.6.2.7.1.3.9.8.1.1.0.11-211 0.4.6.5.3.4.2.6.2.7.1.3.9.8.1.1.0.1.1.1.1.1.1.1.1.1.1.1.1.1.1.1.1	031-321	551-271		.4 .2 .3 .8 1.5 2.0 2.3 2.3 2.1 2.6 2.3 2.2 2.5 3.0 6.0 9.4 9.8	1.3 .7 1.0 2.1 3.8 4.4 4.3 3.9 3.4 3.7 3.0 3.0 3.5 5.7 6.2 8.0 7.2	010-191 2.0.3.7.4.6.5.8.3.9.0.5.6.4.1.0.0 010 14 3.1.3.7.4.6.5.8.3.9.0.5.6.4.1.0.0
FRACTION (μm) > 3150 2500 + 3150 2500 + 2500 1600 + 2000 1250 + 1600 1000 - 1250 800 + 1000 630 + 800 500 - 630 400 - 500 315 - 400 250 - 315 200 - 250 160 - 200 125 - 160 100 + 125 80 - 100 63 - 80	- .1 .7 2.4 3.2 4.8 5.5 5.3 5.3 5.5 6.1 6.9 7.3 11.0 10.1 6.8 5.8	.9 .2 .3 1.0 1.8 3.6 4.3 4.3 4.5 5.1 5.1 5.2 6.7 5.1 5.2 8	82-25 2.1.1.3.0.0.1.0.6.4.4.0.5.0.9.9.8.4.4.5.5.6.8.9.9.8.4	091-98 8 5 3 3 . 0 5 . 3 5 . 4 . 4 3 3 5 . 4 . 3 3 3 . 3 3 3 3 3 3 3 3 3 3 3 3 3	881-201 9.7.1.2.6.8.5.1.2.8.7.7.5.5.1.2.8.9	021-211 0 4 6 5 3 4 2 6 2 7 1 3 9 8 1 1 0 2 4 4 5 4 4 4 4 3 3 5 5 5 4 4 4 4 5 6 2 7 1 3 9 8 1 1 0 2	021-521 680796334090762845	620 TH .1 4 6 2 7 7 9 3 7 3 3 2 2 2 3 4 5 5 1 9		.4 .2 .3 .8 1.5 2.0 2.3 2.3 2.1 2.6 2.3 2.2 3.0 6.0 9.4 9.8 8.6	1.3 .7 1.0 2.1 3.8 4.4 4.3 3.9 3.4 3.7 3.0 3.5 3.7 6.2 8.0 7.2	011-191 2.0.3.7.4.6.5.8.3.9.0.5.6.4.1.0.0.8.
FRACTION (μm) > 3150 2500 + 3150 2000 - 2500 1600 - 2000 1250 - 1600 1000 - 1250 800 - 1000 630 - 800 500 - 630 400 - 500 315 - 400 250 - 315 200 - 250 160 - 200 125 - 160 100 - 125 80 - 100 63 - 80 20 - 63	1 .7 2.4 3.2 4.8 5.5 5.3 5.5 6.1 6.9 7.3 11.0 16.8 5.8 9.6 .8	.9 .2 .3 1.0 1.8 3.6 4.3 4.3 4.5 5.1 5.2 6.7 5.1 3.8 19.6	100 20 20 20 1 1 3 0 0 0 1 0 0 0 4 4 4 4 5 5 5 6 8 7 4 8 4 4 4 5 5 6 8 7 4 8 4 4 4 6 16 6 16 16 16 16 16 16 16 16 16 16 16	091-98 8.5.3.7.0.3.2.6.8.5.4.4.3.2.3.2.1.0.9	801-201 9 1.7 2.1 4.6 6.8 6.5 1.2 8.7 7.5 5.1 2.8 9.10.3	021-211 0.4.6.5.3.4.2.6.2.7.1.3.9.8.1.7.0.2.4.4.5.4.4.4.3.3.5.5.4.4.7.4.3.9.8.1.7.0.2.4.4.4.4.3.3.5.5.4.4.7.4.4.4.3.9.8.1.7.0.2.4.4.4.4.4.3.9.8.1.7.0.2.4.4.4.4.4.3.9.8.1.7.0.2.4.4.4.4.4.4.4.4.4.4.4.4.4.4.4.4.4.4	031-521 6 8 0 7 9 6 3 3 4 0 9 0 7 6 2 8 4 5 2 5 6 5 4 4 3 6 3 5 5 8 4 3 5 10 10 10 10 10 10 10 10 10 10 10 10 10	620 TM		.4 .2 .3 .8 1.5 2.0 2.3 2.3 2.1 2.6 2.3 2.5 3.0 4.0 9.4 9.8 8.6 34.2 3.4	1.3 .7 1.0 2.1 3.8 4.4 4.3 3.9 3.4 3.7 3.0 3.0 3.5 3.7 6.2 8.0 7.2 5.8	011-191 203746583905641008468
FRACTION (μm) > 3150 2500 + 3150 2000 - 2500 1600 - 2000 1250 - 1600 1000 - 1250 800 - 1000 630 - 800 500 - 630 400 - 500 315 - 400 250 - 315 200 - 250 160 - 200 125 - 160 100 - 125 80 - 100 63 - 80 20 - 63 6.3 - 20	1 .7 2.4 3.2 4.8 5.5 5.3 5.5 6.1 6.9 7.3 11.0 16.8 5.8 9.6 .8	.9 .2 .3 1.0 1.8 3.6 4.3 4.3 4.3 5.1 5.2 6.7 5.1 5.2 6.7	1033 1001 1001 1001 1001 1001 1001 1001	091-98 8.5.3.7.6.3.2.6.8.5.4.4.3.2.3.2.1.0.9.6.	801-201 9 7 2 . 1 2 6 . 8 5 . 1 2 8 8 . 7 7 3 . 5 . 1 2 8 3 . 9 10 . 3 6	021-211 0.4.6.5.3.4.2.6.2.7.1.3.9.8.1.7.0.2.4.0.	031-321	620 TH .1 4.6 2.7 1.9 3.7 3.3 2.2 2.5 5.1 9.3 8.4 5.5 1.9 3.8		.4 .2 .3 .8 1.5 2.0 2.3 2.3 2.1 2.6 2.3 2.5 3.0 6.0 9.4 9.8 8.6	1.3 .7 1.0 2.1 3.8 4.4 4.3 3.9 3.4 3.7 3.0 3.0 3.5 5.7 6.2 8.0 7.2 5.8 21,6 3.5	011-191 2.03.7.4.6.5.8.3.9.0.5.6.4.1.0.0.8.4.4.6.5.8.3.9.0.5.6.4.1.0.0.8.4.4.6.2.8.4.4.6.5.8.3.9.0.5.6.4.4.6.5.8.3.9.0.5.6.4.4.6.5.8.3.9.0.5.6.4.1.0.0.8.4.4.6.2.8.4.4.6.5.8.3.9.0.5.6.4.4.5.5.4.4.6.5.8.3.9.0.5.6.4.4.6.5.8.3.9.0.5.6.4.4.6.5.8.3.9.0.5.6.4.4.5.5.5.4.4.5.5.4.5.5.4.5.5.5.4.5
FRACTION (μm) > 3150 2500 + 3150 2000 - 2500 1600 - 2000 1250 - 1600 1000 - 1250 800 - 1000 630 - 800 500 - 630 400 - 500 315 - 400 250 - 315 200 - 250 160 - 200 125 - 160 100 - 125 80 - 100 63 - 80 20 - 63 6.3 - 20 2 - 6.3 MAXIMUM	1 .7 2.4 4.8 5.5 5.3 5.5 6.1 6.9 7.3 11.0 16.8 5.8 9.6 .8 2.6	.9 .2 .3 1.8 3.6 5.1 5.1 5.7 5.7 5.7 5.7 5.7 1.8 6.7 1.8 19.6 6.7	\$20 PM	091-98 8537 6.3 2 4.6 8 5 3 4.4 3 2 3 4 4 1 0 9 6 7 2 4 6 8 5 3 4 4 3 5 7 1 6 7 2 4 6 8 6 8 6 8 6 8 6 8 6 8 6 8 6 8 6 8 6	881-201 9.7.1.2.6.8.5.1.2.8.7.7.5.5.1.2.8.9.3.6.2.6.	021-211 0.46.5.3.4.2.6.2.1.1.3.9.8.1.1.0.2.4.0.6.2.1.1.3.9.8.1.1.0.2.4.0.6.2.1.1.3.9.8.1.1.0.2.4.0.6.2	656 TR 6.8 0 7 9 6 3 3 4 0 9 0 7 6 2 8 4 5 2 7 0 4 5 5 6 5 4 4 3 5 5 4 3 3 5 4 3 3 5 4 3 5 6 6 7 0 2 1 8 4	620 H .1 .4 6.2 7 1 9 3 .7 3 3 2 2 2 3 4 5 5 1 9 3 8 1 5 6 1 7 5 6 1 9 3 8 1 5 6 1 7		.4 .2 .3 .8 1.5 2.0 2.3 2.1 2.6 2.3 2.5 3.0 9.4 9.8 8.6 3.4	1.3 .7 1.0 2.1 3.8 4.4 4.3 3.9 3.4 3.7 3.0 3.0 3.5 5.7 6.2 8.0 7.2 8.0 7.2 8.0 7.2 8.0 7.2 8.0 7.2 8.0 7.2 8.0 7.0 7.0 7.0 7.0 7.0 7.0 7.0 7.0 7.0 7	0H-9H 2037465839056410084482
FRACTION (μm) > 3150 2500 + 3150 2000 - 2500 1600 - 2000 1250 - 1600 1000 - 1250 800 - 1000 630 - 800 500 - 630 400 - 500 315 - 400 250 - 315 200 - 250 160 - 200 125 - 160 100 - 125 80 - 100 63 - 80 20 - 63 6.3 - 20 2 - 63 6.3 - 20 2 - 63	1 .7 2.4 8 5.5 5.3 5.5 6.1 6.9 7.3 11.0 1 6.8 5.8 9.6 .8	.9 .2 .3 1.8 3.6 5.1 5.1 5.7 5.7 5.7 5.7 5.7 1.8 6.7 1.8 19.6 6.7	20 24 1 3 0 0 0 1 D 6 4 4 4 0 5 5 0 9 9 8 4 6 2 1 1 3 0 0 1 D 6 4 4 4 5 5 5 6 8 7 4 8 4 6 2 1 1 1 1 1 1 1 1 1 1 1 1 1 1 1 1 1 1	091-98 8.5 3.7 0.3 2.6 8.5 4.4 3.2 3.2 1.0 9.6 7.1 0.7 0.7 0.7 0.7 0.7 0.7 0.7 0.7 0.7 0.7	801-201 9 7 1 . 7 2 . 6 . 8 . 5 . 1 2 . 8 . 7 7 5 . 8 . 9 3 . 6 . 2 . 8 . 9 3 . 6 . 2 . 1 . 2 . 1 . 2 . 1 . 2 . 1 . 2 . 1 . 2 . 2	021-211 0.4.6.5.3.4.2.6.2.7.1.3.9.8.7.1.0.2.4.0.6	031-321	620 TH .1.4.6.2.7.1.9.3.7.3.3.2.2.2.5.5.1.9.3.8.1		.4 .2 .3 .8 1.5 2.0 2.3 2.3 2.1 2.6 2.3 2.5 3.0 4.0 9.4 9.8 8.6 34.2 3.4	1.3 .7 1.0 2.1 3.8 4.4 4.3 3.9 3.4 3.7 3.0 3.5 3.7 6.0 7.2 8.0 7.2 8.0 7.2 8.0 7.2 8.1 8.1 8.1 8.1 8.1 8.1 8.1 8.1 8.1 8.1	011-191 203746583905641008468

rortsetzui	ng ta	3D. /										
GRAIN SIZE FRACTION	NL 040 236-231 sir	AL 040 300-312 ca	4L 040 312-325 сп	ИL 048 400-486 ст	ML 040 643-461 cm	ML D40 \$14-520 cm	KL 040 590-596 cm	KL (40 673-679 cr		141 6 cm	มเ 941 8-11 cm	Ni B41 15-13 cm
(µm)	黑心	폭전	単方	F 5	当 は	¥ 5	FE 599	R. 673		#	≅ &	量片
> 3150	13.4	21.4	14,1	6.1	10.8	.1	.3	1,6		10.		<u>.</u> .
2500 - 3150	1.2	1.9	.8	.5	1.7	.2	.2	.7		70	м.	**
2000 - 2500	1.7	1.7	1.1	1.0	1.8	. 2	.3	.7		-		-
1600 ~ 2000	3.3	1.9	1.3	1.0	2.1	. 5	. 5	1.2		.0	.1	. 2
1250 - 1600	5.4	2.2	1.7	1.1	2,3	. 9	" 6	1.8		.2	. 3	1.2
1000 - 1250	5.7	2,5	2.0	- 8	2.0	1.1	.7	2,0		.3	.8	5.5
800 - 1000	6.1	2.6	2.2	1-1	7.7	1.5	1.1	2.6		.1	2.0	3.8
630 - 800 500 - 630	5.2 4.5	2.2 1.9	2,5	1.1	1.5	3.3	3.3	5.1		.2	2.9	5.1
400 - 500	4.6	2.1	2.3	1.1 .7	1.4	7.8 17.4	9.1 19.2	8.5 13.9		.2	4.2 6.3	6.0 7.5
315 - 400	3.8	1.8	2.2	-9	1.3	16.1	17.5	71.3		.8	9.8	9.8
250 - 315	3,9	2.0	2.5	1.0	1.8	15.9	15.4	10.9		3,6	14.6	12.9
200 - 250	3.9	1.9	2.4	1.0	1.8	10.8	10.1	9.0		8.8	14.5	12.2
160 - 200	4.3	3.7	2.0	. 9	1.5	6.6	5.8	6.8		10.9	11.8	9.8
125 - 160	6.4	2.1	2.4	- 9	2.4	4-4	4.0	5.6		13.9	9.4	7.7
100 - 125	5.8	2.7	2.6	1.1	3.6	2.1	1.9	3.3		10.7	4.5	3.7
80 - 100	3.5	3.3	2.8	1.6	3.9	1.1	1.1	2,1		ð.O	3.2	2.7
63 - 80	2.1	3.8	2.9	2.5	3.5	.8	.9	1.5		11.3	3.5	3.2
20 - 63	7.4	20.9	18.6	22.0	16.6	2.5	2.3	3.3		24.8	9.7	3.3
6.3 ~ 20	2.3	4.9	7.3	12.6	7.6	2.2	1.9	2.7		7.7	.8	. 8
8 - 6.3	.8	2.2	3.3	4.9	7.1	2.2	1.9	2.7		-1	. 4	. 3
< 2	4.8	12.5	20.4	36.1	22.1	2.2	1.9	2.7		3.2	1.2	1.5
MAXIMUM	50.0			- 4 15	4							
GRAIN SIZE	50.0	40.0	50.0	76.0	16.0	6.3	12.5	10.0		2.0	2,0	2.0
(mm)												
		_	_	5	٤	رب (ب				5	E.	<u></u>
			=					_	<i>p</i> :			
GRAIN SIZE	. 5	Ξ G	Ξ		- X	#- £5		- ತ್ರ	-3 -3	36	4	4 2
FRACTION	L 04.1 2-25 ca	l 041 4-40 α	t 041 7-93 c	L 041 47–153	L 041 10-225	L 041 51-257		. 1844 -11 cm	7-73 01	. 044 24136	04.4 72-200	044 9-225
	NL 043 22-25 cm	M. C4.1 34-40 ca	NE 841 87-93 cm	NL 041 147-153	NL 041 210-225	RL 045 259-257		해. 844 5-11 cm	ål. O44 67-73 cm	NL 044 124~130	NL 044 192-200	RL 644 219-225
FRACTION	NL 04)	15 34-40 (4) 1. 34-40	ML 941 .c. 87-93 c	. 8L 041 . 147-153	ML 041	L D45		#£ 1244 } 5-11 cm	8L 044 5 67-73 ci	» NL 044 124-136	ა № 044 • 192-200	м R! 044 - 219-225
FRACTION (μπ)												
FRACTION (µm) > 3150	9 41	.4	.8	1.7	13.2	1.3		.1	, 9	4.7	5.9	3.1
FRACTION (μm) > 3150 2500 - 3150 2000 - 2500 1600 - 2000	 - .0	-4 -1	.8	1.7	13.2	1.3		.1	,9 .8	4.7 1.9	5.9 2.7	3.1 3.2
FRACTION (μm) > 3150 2500 - 3150 2000 - 2500 1600 - 2000 1250 - 1600	 .0 .3	.4 .1 .3	.8 .6 .7 1.0	1.7 .7 .8 1.5 2.5	13.2 2.1 2.5 2.5 3.3	1.3 .6 .7 .8		.1 .1 .3 .4	.9 .8 1.1 2.0 3.6	4.7 1.9 2.1 2.9 4.4	5.9 2.7 2.8 4.0	3.1 3.2 4.9 7.9 9.5
FRACTION (μm) > 3150 2500 - 3150 2000 - 2500 1600 - 2000 1250 - 1600 1000 - 1250	 .0 .3 1.5 2.7	.4 .1 .3 .7	.8 .6 .7 1.0 1.9 2.0	1.7 .7 .8 1.5 2.5	13.2 2.1 2.5 2.5 3.3 3.1	1.3 .6 .7 .8 .8		.1 .3 .4 .5	.9 .8 1.1 2.0 3.6 3.9	4.7 1.9 2.1 2.9 4.4 4.2	5.9 2.7 2.8 4.0 5.8 6.1	3.1 3.2 4.9 7.9 9.5 7.9
FRACTION (μm) > 3150 2500 - 3150 2000 - 2500 1600 - 2000 1250 - 1600 1000 - 1250 800 - 1000	.0 .3 1.5 2.7	.4 .1 .3 .7 .9	.8 .6 .7 1.0 1.9 2.0	1.7 .7 .8 1.5 2.5 2.4	13.2 2.1 2.5 2.5 3.3 3.1	1.3 .6 .7 .8 .8		.1 .3 .4 .5 .4	.9 .8 1.1 2.0 3.6 3.9 5.1	4.7 1.9 2.1 2.9 4.4 4.2 5.2	5.9 2.7 2.8 4.0 5.8 6.1 8.4	3.1 3.2 4.9 7.9 9.5 7.9 8.7
FRACTION (μm) > 3150 2500 - 3150 2000 - 2500 1600 - 2000 1250 - 1600 1000 - 1250 800 - 1000 630 - 800	- .0 .3 1.5 2.7 4.0	.4 .1 .3 .7 .9 1.6	.8 .6 .7 1.0 1.9 2.0 2.6 2.7	1.7 .7 .8 1.5 2.5 2.4 3.0	13.2 2.1 2.5 2.5 3.3 3.1 3.4	1.3 .6 .7 .8 .8 .6		.1 .3 .4 .5 .4 .6 .7	.9 .8 1.1 2.0 3.6 3.9 5.1	4.7 1.9 2.1 2.9 4.4 4.2 5.2 5.3	5.9 2.7 2.8 4.0 5.8 6.1 8.4	3.1 3.2 4.9 7.9 9.5 7.9 8.7 7.5
FRACTION (μm) > 3150 2500 - 3150 2000 - 2500 1600 - 2000 1250 - 1600 1000 - 1250 800 - 1000 630 - 800 500 - 630	- .0 .3 1.5 2.7 4.0 5.4 6.4	.4 .1 .3 .7 .9 1.6 2.0	.8 .6 .7 1.0 1.9 2.0 2.6 2.7	1.7 .7 .8 1.5 2.5 2.4 3.0 3.3 3.8	13.2 2.1 2.5 2.5 3.3 3.1 3.4 3.6 3.9	1.3 .6 .7 .8 .8 .6 .9		.1 .3 .4 .5 .4	.9 .8 1.1 2.0 3.4 3.9 5.1 5.3	4.7 1.9 2.1 2.9 4.4 4.2 5.2 5.3	5.9 2.7 2.8 4.0 5.8 6.1 8.4 8.4 7.9	3.1 3.2 4.9 7.9 9.5 7.9 8.7 7.5
FRACTION (µm) > 3150 2500 - 3150 2000 - 2500 1600 - 2000 1250 - 1600 1000 - 1250 800 - 1000 630 - 800 500 - 630 400 - 500	- .0 .3 1.5 2.7 4.0 5.4 6.4 7.9	.4 .1 .3 .7 .9 1.6 2.0 2.4	.8 .6 .7 1.0 1.9 2.0 2.6 2.7 3.1	1.7 .7 .8 1.5 2.5 2.4 3.0 3.3 3.8 4.8	13.2 2.1 2.5 2.5 3.3 3.1 3.4 3.6 3.9	1.3 .6 .7 .8 .8 .6 .9 .8		.1 .3 .4 .5 .4 .6 .7	.9 .8 1.1 2.0 3.6 3.9 5.1 5.3 6.1	4.7 1.9 2.1 2.9 4.4 4.2 5.2 5.3 5.2 5.8	5.9 2.7 2.8 4.0 5.8 6.1 8.4 7.9 8.1	3.1 3.2 4.9 7.9 9.5 7.9 8.7 7.5 6.8
FRACTION (μm) > 3150 2500 - 3150 2000 - 2500 1600 - 2000 1250 - 1600 1000 - 1250 800 - 1000 630 - 800 500 - 630	- .0 .3 1.5 2.7 4.0 5.4 6.4	.4 .1 .3 .7 .9 1.6 2.0	.8 .6 .7 1.0 1.9 2.0 2.6 2.7 3.1 3.9 5.3	1.7 .7 .8 1.5 2.5 2.4 3.0 3.3 3.8 4.8 6.6	13.2 2.1 2.5 2.5 3.3 3.1 3.4 3.6 3.9	1.3 .6 .7 .8 .8 .6 .9 .5		.1 .3 .4 .5 .4 .6 .7 .9	.9 .8 1.1 2.0 3.6 3.9 5.1 5.1 5.3 6.1 6.6	4.7 1.9 2.1 2.9 4.4 4.2 5.2 5.3 5.2 5.8 6.6	5.9 2.7 2.8 4.0 5.8 6.1 8.4 7.9 8.1 8.2	3.1 3.2 4.9 7.9 9.5 7.9 8.7 7.5 6.8 6.5
FRACTION (μm) > 3150 2500 - 3150 2000 - 2500 1600 - 2000 1250 - 1600 1000 - 1250 800 - 1000 630 - 800 500 - 630 400 - 500 315 - 400	 .0 .3 1.5 2.7 4.0 5.4 6.4 7.9	.4 .1 .3 .7 .9 1.6 2.0 2.4 3.0	.8 .6 .7 1.0 1.9 2.0 2.6 2.7 3.1	1.7 .7 .8 1.5 2.5 2.4 3.0 3.3 3.8 4.8	13.2 2.1 2.5 2.5 3.3 3.1 3.4 3.6 3.9 4.8 6.3	1.3 .6 .7 .8 .8 .6 .9 .8		.1 .3 .4 .5 .4 .6 .7	.9 .8 1.1 2.0 3.6 3.9 5.1 5.3 6.1	4.7 1.9 2.1 2.9 4.4 4.2 5.2 5.3 5.2 5.8	5.9 2.7 2.8 4.0 5.8 6.1 8.4 7.9 8.1	3.1 3.2 4.9 7.9 9.5 7.9 8.7 7.5 6.8 6.5 5.8
FRACTION (μm) > 3150 2500 - 3150 2000 - 2500 1600 - 2000 1250 - 1600 1000 - 1250 800 - 1000 630 - 800 500 - 630 400 - 500 315 - 400 250 - 315	 .0 .3 1.5 2.7 4.0 5.4 6.4 7.9 10.2	.4 .1 .3 .7 .9 1.6 2.0 2.4 3.0 4.1 5.5	.8 .6 .7 1.0 1.9 2.0 2.6 2.7 3.1 3.9 5.3 7.1	1.7 .7 .8 1.5 2.5 2.4 3.0 3.3 3.8 4.8 6.6 8.7	13.2 2.1 2.5 2.5 3.3 3.1 3.4 3.6 3.9 4.8 6.3 8.6	1.3 .6 .7 .8 .8 .6 .9 .5 .8		.1 .3 .4 .5 .4 .6 .7 .9 1.4 2.4	.9 .8 1.1 2.0 3.6 3.9 5.1 5.3 6.1 6.6 6.3	4.7 1.9 2.1 2.9 4.4 4.2 5.2 5.3 5.2 5.8 6.6	5.9 2.7 2.8 4.0 5.8 6.1 8.4 7.9 8.1 8.2 6.8	3.1 3.2 4.9 7.9 9.5 7.9 8.7 7.5 6.8 6.5
FRACTION (µm) > 3150 2500 - 3150 2000 - 2500 1600 - 2000 1250 - 1600 1000 - 1250 800 - 1000 630 - 800 500 - 630 400 - 500 315 - 400 250 - 315 200 - 250		.4 .1 .3 .7 .9 1.6 2.0 2.4 3.0 4.1 5.5	.8 .6 .7 1.0 1.9 2.0 2.6 2.7 3.1 3.9 5.3 7.1 7.0	1.7 .7 .8 1.5 2.5 2.4 3.0 3.3 3.8 4.8 6.6 8.7	13.2 2.1 2.5 2.5 3.3 3.1 3.4 3.6 3.9 4.8 6.3 8.6 8.5	1.3 .6 .7 .8 .8 .6 .9 .8 .9		.1 .3 .4 .5 .4 .6 .7 .9 1.4 2.4 4.3 5.3	.9 .8 1.3 2.0 3.6 3.9 5.1 5.3 6.1 6.3 5.3	4.7 1.9 2.1 2.9 4.4 4.2 5.2 5.3 5.2 5.8 6.6 6.1 5.0	5.9 2.7 2.8 4.0 5.8 6.1 8.4 7.9 8.1 8.2 6.8 5.2	3.1 3.2 4.9 7.9 9.5 7.9 8.7 7.5 6.8 6.5 6.5 4.8
FRACTION (µm) > 3150 2500 - 3150 2000 - 2500 1600 - 2000 1250 - 1600 1000 - 1250 800 - 1000 630 - 800 500 - 630 400 - 500 315 - 400 250 - 315 200 - 250 160 - 200		.4 .1 .3 .7 .9 1.6 2.0 2.4 3.0 4.1 5.5 5.6 4.7	.8 .6 .7 1.0 1.9 2.0 2.6 2.7 3.1 3.9 5.3 7.1 7.0 6.1	1.7 .7 .8 1.5 2.5 2.4 3.0 3.3 3.8 4.8 6.6 8.7 8.4 7.4	13.2 2.1 2.5 2.5 3.3 3.1 3.4 3.6 3.9 4.8 6.3 8.6 8.5 7.5	1.3 .6 .7 .8 .8 .6 .9 .8 .8 .9 1.2 2.7 5.2		.1 .3 .4 .5 .4 .6 .7 .9 1.4 2.4 4.3 5.3	.9 .8 1.1 2.0 3.6 3.9 5.1 5.3 6.1 6.3 5.3 5.3	4.7 1.9 2.1 2.9 4.4 4.2 5.2 5.3 5.2 5.8 6.6 6.1 5.0 4.5	5.9 2.7 2.8 4.0 5.8 6.1 8.4 7.9 8.1 8.2 6.8 5.2	3.1 3.2 4.9 7.9 9.5 7.9 8.7 7.5 6.8 6.5 6.5 4.8
FRACTION (µm) > 3150 2500 - 3150 2000 - 2500 1600 - 2000 1250 - 1600 1000 - 1250 800 - 1000 630 - 800 500 - 630 400 - 500 315 - 400 250 - 315 200 - 250 160 - 200 125 - 160 100 - 125 80 - 100		.4 .1 .3 .7 .9 1.6 2.0 2.4 3.0 4.1 5.5 5.6 4.7 4.6 3.9	.8 .6 .7 1.0 1.9 2.0 2.6 2.7 3.1 3.9 5.3 7.1 7.0 6.1 5.7 4.0 3.9	1.7 .7 .8 1.5 2.5 2.4 3.0 3.3 3.8 4.8 6.6 8.7 8.4 7.1 4.4 3.4	13.2 2.1 2.5 2.5 3.3 3.1 3.4 3.6 3.9 4.8 6.3 8.6 8.5 7.5 7.0 3.7 2.2	1.3 .6 .7 .8 .8 .6 .9 .8 .9 1.2 2.7 5.2 6.7 10.2		.1 .3 .4 .5 .4 .6 .7 .9 1.4 2.4 4.3 5.3 6.3 10.0 12.2 11.6	.9 .8 1.1 2.0 3.6 3.9 5.1 5.3 6.1 6.6 6.3 5.3 5.0 6.5 7.0 6.2	4.7 1.9 2.1 2.9 4.4 4.2 5.2 5.3 5.2 5.8 6.1 5.0 4.5 5.7 5.8	5.9 2.7 2.8 4.0 5.8 6.1 8.4 7.9 8.1 8.2 4.3 4.3 4.3 4.3 4.5	3.1 3.2 4.9 7.9 9.5 7.9 8.7 7.5 6.8 6.5 6.5 5.8 4.8 3.9 3.4 1.8
FRACTION (μm) > 3150 2500 - 3150 2000 - 2500 1600 - 2000 1250 - 1600 1000 - 1250 800 - 1000 630 - 800 500 - 630 400 - 500 315 - 400 250 - 315 200 - 250 160 - 200 125 - 160 100 - 125		.4 .1 .3 .7 .9 1.6 2.0 2.4 3.0 4.1 5.5 5.6 4.7 4.6 3.5	.8 .6 .7 1.0 1.9 2.0 2.6 2.7 3.1 3.9 5.3 7.1 7.0 6.1 5.7	1.7 .7 .8 1.5 2.4 3.0 3.3 3.8 4.8 6.6 8.7 8.4 7.4 7.1	13.2 2.1 2.5 2.5 3.3 3.1 3.4 3.6 3.9 4.8 6.3 8.6 8.5 7.0 3.7	1.3 .6 .7 .8 .8 .6 .9 .8 .8 .9 1.2 2.7 5.2 6.7 10.2		.1 .3 .4 .5 .4 .6 .7 .9 1.4 2.4 4.3 5.3 6.3 10.0	.9 .8 1.1 2.0 3.6 3.9 5.1 5.3 6.1 6.6 6.3 5.3 5.0 6.5 7.0	4.7 1.9 2.1 2.9 4.4 4.2 5.2 5.3 5.2 5.8 6.6 6.1 5.7 5.8	5.9 2.7 2.8 4.0 5.8 6.1 8.4 7.9 8.1 8.2 4.3 2.6	3.1 3.2 4.9 7.9 9.5 7.9 8.7 7.5 6.8 6.5 5.8 4.8 3.9 3.4
FRACTION (µm) > 3150 2500 - 3150 2000 - 2500 1600 - 2000 1250 - 1600 1000 - 1250 800 - 1000 630 - 800 500 - 630 400 - 500 315 - 400 250 - 315 200 - 250 160 - 200 125 - 160 100 - 125 80 - 100		.4 .1 .3 .7 .9 1.6 2.0 2.4 3.0 4.1 5.5 5.6 4.7 4.6 3.9	.8 .6 .7 1.0 1.9 2.0 2.6 2.7 3.1 3.9 5.3 7.1 7.0 6.1 5.7 4.0 3.9	1.7 .7 .8 1.5 2.5 2.4 3.0 3.3 3.8 4.8 6.6 8.7 8.4 7.1 4.4 3.4	13.2 2.1 2.5 2.5 3.3 3.1 3.4 3.6 3.9 4.8 6.3 8.6 8.5 7.5 7.0 3.7 2.2	1.3 .6 .7 .8 .8 .6 .9 .8 .9 1.2 2.7 5.2 6.7 10.2		.1 .3 .4 .5 .4 .6 .7 .9 1.4 2.4 4.3 5.3 6.3 10.0 12.2 11.6	.9 .8 1.1 2.0 3.6 3.9 5.1 5.3 6.1 6.6 6.3 5.3 5.0 6.5 7.0 6.2	4.7 1.9 2.1 2.9 4.4 4.2 5.2 5.3 5.2 5.8 6.1 5.0 4.5 5.7 5.8	5.9 2.7 2.8 4.0 5.8 6.1 8.4 7.9 8.1 8.2 4.3 4.3 4.3 4.3 4.5	3.1 3.2 4.9 7.9 9.5 7.9 8.7 7.5 6.8 6.5 5.8 4.8 3.9 3.4 1.8
FRACTION (µm) > 3150 2500 - 3150 2000 - 2500 1600 - 2000 1250 - 1600 1000 - 1250 800 - 1000 630 - 800 500 - 630 400 - 500 315 - 400 250 - 315 200 - 250 160 - 200 125 - 160 100 - 125 80 - 100 63 - 80 20 - 63 6.3 - 80		.4 .1 .3 .7 .9 1.6 2.0 2.4 3.0 4.1 5.5 5.6 4.7 4.6 2.5 3.9 8.1	.8 .6 .7 1.0 1.9 2.6 2.7 3.1 3.9 5.3 7.1 7.0 6.1 5.7 4.0 3.9 6.0	1.7 .7 .8 1.5 2.4 3.0 3.3 3.8 4.8 6.6 8.7 8.4 7.1 4.4 4.2	13.2 2.1 2.5 2.5 3.3 3.1 3.4 3.6 3.9 4.8 6.3 8.6 8.5 7.5 7.0 3.7 2.2	1.3 .6 .7 .8 .8 .6 .9 .8 .9 1.2 2.7 5.2 6.7 10.2 10.9 9.6 11.7		.1 .3 .4 .5 .4 .6 .7 .9 1.4 2.4 4.3 5.3 6.3 10.0 12.2 11.6	.9 .8 1.1 2.0 3.6 3.9 5.1 5.3 6.1 6.3 5.3 6.5 7.0 6.2 7.0	4.7 1.9 2.1 2.9 4.4 4.2 5.2 5.2 5.8 6.1 5.2 5.8 6.1 5.7 5.8 6.1 5.7 5.8 6.7	5.9 2.7 2.8 4.0 5.8 6.1 8.4 7.9 8.1 8.2 4.3 4.3 2.4 1.5 1.3	3.1 3.2 4.9 7.9 9.5 7.9 8.7 7.5 6.8 6.5 6.5 5.8 4.8 3.9 3.4 1.8 1.0
FRACTION (µm) > 3150 2500 - 3150 2000 - 2500 1600 - 2000 1250 - 1600 630 - 800 500 - 630 400 - 500 315 - 400 250 - 315 200 - 250 160 - 200 125 - 160 100 - 125 80 - 100 63 - 80 20 - 63 80 20 - 63 20 - 63		.4 .1 .3 .7 .9 1.6 2.0 2.4 3.0 4.1 5.5 5.6 4.7 4.6 3.5 3.9 8.1	.8 .6 .7 1.0 1.9 2.0 2.6 2.7 3.1 3.9 5.3 7.1 7.0 6.1 5.7 4.0 3.9 6.0 24.6 4.0 1.2	1.7 .7 .8 1.5 2.4 3.0 3.3 3.8 4.8 6.6 8.7 8.4 7.1 4.4 3.4 4.2 15.2 3.4 1.3	13.2 2.1 2.5 2.5 3.3 3.1 3.4 3.6 3.9 4.8 6.3 8.6 8.5 7.5 7.0 3.7 2.2 2.2 4.1 1.9 1.1	1.3 .6 .7 .8 .8 .6 .9 .8 .9 1.2 2.7 5.2 6.7 10.2 10.9 9.6 11.7		.1 .3 .4 .5 .4 .6 .7 .9 1.4 2.4 4.3 5.3 6.3 10.0 12.2 11.6 12.9 20.8 2.5 1.4	.9 .8 1.1 2.0 3.6 3.9 5.1 5.3 6.1 6.3 5.3 6.3 5.0 6.3 7.0 6.2 7.0 11.3 7.7	4.7 1.9 2.1 2.9 4.4 4.2 5.2 5.3 5.2 5.8 6.1 5.0 4.5 5.7 5.8 4.9 4.7	5.9 2.7 2.8 4.0 5.8 6.1 8.4 7.1 8.2 8.2 2.3 2.5 3 1.4 4.4	3.1 3.2 4.9 7.9 9.5 7.9 8.7 7.5 6.8 6.5 5.8 4.8 3.9 3.4 1.0 1.0
FRACTION (µm) > 3150 2500 - 3150 2000 - 2500 1600 - 1600 1000 - 1250 800 - 1000 630 - 800 500 - 630 400 - 500 315 - 400 250 - 315 200 - 250 160 - 200 125 - 160 100 - 125 80 - 100 63 - 80 2 - 63 6.3 - 20 2 - 6.3 < 2		.4 .1 .3 .7 .9 1.6 2.0 2.4 3.0 4.1 5.5 5.6 4.7 4.6 2.5 3.9 8.1	.8 .6 .7 1.0 1.9 2.6 2.7 3.1 3.9 5.3 7.1 7.0 6.1 5.7 4.0 3.9 6.0	1.7 .7 .8 1.5 2.4 3.0 3.3 3.8 4.8 6.6 8.7 8.4 7.1 4.4 4.2	13.2 2.1 2.5 2.5 3.3 3.1 3.4 3.6 3.9 4.8 6.3 8.6 8.5 7.5 7.0 3.7 2.2 2.2 4.1	1.3 .6 .7 .8 .8 .6 .9 .8 .9 1.2 2.7 5.2 6.7 10.2 10.9 9.6 11.7		.1 .3 .4 .5 .4 .6 .7 .9 1.4 2.4 4.3 5.3 6.3 10.0 12.2 11.6 12.9 20.8 2.5	.9 .8 1.1 2.0 3.6 3.9 5.1 5.3 6.1 6.6 6.3 5.3 5.0 6.5 7.0 6.2 7.0	4.7 1.9 2.1 2.9 4.4 4.2 5.2 5.3 5.2 5.8 6.1 5.0 4.5 5.7 5.8 4.9 4.7	5.9 2.7 2.8 4.0 5.8 6.1 8.4 7.9 8.1 8.2 4.3 2.4 1.5 1.6 1.4	3.1 3.2 4.9 7.9 9.5 7.9 8.7 7.5 6.8 6.5 5.8 4.8 3.9 3.4 1.0 1.0
FRACTION (µm) > 3150 2500 - 3150 2000 - 2500 1600 - 2000 1250 - 1600 630 - 800 500 - 630 400 - 500 315 - 400 250 - 315 200 - 250 160 - 200 125 - 160 100 - 125 80 - 100 63 - 80 20 - 63 80 20 - 63 20 - 63		.4 .1 .3 .7 .9 1.6 2.0 2.4 3.0 4.1 5.5 5.6 4.7 4.6 3.5 3.9 8.1	.8 .6 .7 1.0 1.9 2.0 2.6 2.7 3.1 3.9 5.3 7.1 7.0 6.1 5.7 4.0 3.9 6.0 24.6 4.0 1.2	1.7 .7 .8 1.5 2.4 3.0 3.3 3.8 4.8 6.6 8.7 8.4 7.1 4.4 3.4 4.2 15.2 3.4 1.3	13.2 2.1 2.5 2.5 3.3 3.1 3.4 3.6 3.9 4.8 6.3 8.6 8.5 7.5 7.0 3.7 2.2 2.2 4.1 1.9 1.1	1.3 .6 .7 .8 .8 .6 .9 .8 .9 1.2 2.7 5.2 6.7 10.2 10.9 9.6 11.7		.1 .3 .4 .5 .4 .6 .7 .9 1.4 2.4 4.3 5.3 6.3 10.0 12.2 11.6 12.9 20.8 2.5 1.4	.9 .8 1.1 2.0 3.6 3.9 5.1 5.3 6.1 6.3 5.3 6.3 5.0 6.3 7.0 6.2 7.0 11.3 7.7	4.7 1.9 2.1 2.9 4.4 4.2 5.2 5.3 5.2 5.8 6.1 5.0 4.5 5.7 5.8 4.9 4.7	5.9 2.7 2.8 4.0 5.8 6.1 8.4 7.1 8.2 8.2 2.3 2.5 3 1.4 4.4	3.1 3.2 4.9 7.9 9.5 7.9 8.7 7.5 6.8 6.5 5.8 4.8 3.9 3.4 1.0 1.0

F	or	†c	ωt	zun	n T	ab	-
1	UI		ت ت	Z 411	9 1	$\alpha \nu$. /

GRAIN SIZE FRACTION	NL 064 248-246 ca	NL 064 334-340 cm	NL 044 370~376 cb	Nz 944 624-430 ca	ЫL 054 484-488 ст	#L C44 \$88~50C cm		045 cn	. 045 1-17 ca	AL 045 57-63 cm	45 128 ca	NL 045 166-176 cm
(µm)	-(8년 2월-	RL (™ (370-	NE (±48.4 484~	所 688-2		45	胜 3	3L 0 57-6	NL 065 112-128	ML 0 166-
. ****		// ₂										
> 3150 2500 ~ 3150	4.4 2.6	.3 .7	2.8 1.5	2.2	4.0 2.8	7 ₋ 1 2.7		3.9 .3	3.4	4,1	21.1	7.0
2000 ~ 2500	3.2	.9	1.6	. 7	3.4	3.1		.5	.2	1.3 1.0	1.4	2.1 1.9
1600 - 2000	4.2	1.5	2.2	1.1	5.1	4.4		. 4	.2	1.2	1.7	2.1
1250 - 1600	5.2	2.2	3.0	1,7	6.4	5.6		.4	.3	1.9	2.4	2.9
1000 - 1250	4.4	2.6	3.0	1.8	5.5	4.5		.5	.3	2.5	2.9	3.2
800 - 1000	4.6	2.8	3.3	2.1	5.9	5.2		1.0	"B	3.7	3.2	3.7
630 - 800	4.3	2.8	2.6	1.8	4 . O	3.3		2.0	1.6	3,3	2.7	3.2
500 - 630	4.0	2.7	2.5	7.7	3.3	2.8		2.6	2.0	2.9	2.4	2.7
400 - 500	4.8	3.3	2.8	1.7	3.1	2.6		2.7	2.3	2.9	2.5	2.9
315 - 400	2.0	4.3	3.4	2,2	3.0	2.5		3.1	2.8	3.2	3.0	3.4
250 - 315	8.4	7.2	5.5	3,3	3.3	2.7		3.7	3.4	3.8	3.2	3.5
200 - 250	9.7	10.2	7.6	4.4	3.2	2.6		3,5	3.9	4.3	3.6	3.9
160 - 200	10.2	12.5	9.4	5.3	2.9	2.0		5.0	4.7	5.5	4.5	4.8
125 - 160	10.3	15.8	12.2	8.1	3.3	2.5		8.0	8.0	9.7	7.9	8.2
100 - 125	4.5	9.7	8.4	7.9	2.9	2-2		8.1	8.6	10.2	8.4	9.6
80 - 100	1.6	4.7	4.9	4.8	5.6	2.1		6.9	6.9	4.8	6.2	7.7
63 - 80	1.2	3.4	4.8	8.5	3.6	3.5		5,2	7.0	5.5	5.2	7.0
20 - 63	1.8	6.2	9.2	22.6	15.7	17.3		17.7	19.1	13.0	7.7	9.5
6.3 - 20	1.6	1.ន	5.5	4.1	4.2	6.1		5.8	5.6	3.0	2.1	2.1
2 - 6.3	1.6	.8	1.3	1,8	1.7	2.5		2.7	2.2	1.2	.9	1.1
< 5	1.6	3.9	5,8	9.6	10.0	12.7		16.0	16.4	9,1	5.7	7 - 4
MAXIMUM												
GRAIN SIZE	12.5	5.0	8.0	12.5	8.0	12.5		12.5	12.5	12.5	31.5	16.0
(mm)												
									**	E		aix
GRAIN SIZE	رة م	, E	, E		യ ട്	. E	es es	_ 5	E C	1₹ cm	39 ER	23 23
GRAIN SIZE FRACTION	046 12 csi	046 -54 cm	046 -98 cm		848 9 ca	1148 -38 cm	048 -78 cm	048 -92 ca		048 -117		D48 3-173
	หื. 846 6~12 เภ	NE 846 48-54 cm	AL 046 85-98 cm		ŘL 048 3~9 cm	NE 1148 32-38 cm	제 048 68-78 대	RL 048 78-92 cm	Ni D48 92-107 ce	สป (148 รีชิ?~117 cm	NL 048 135-139 cm	NL D48 168-173 ce
FRACTION	rR. 1046 6~12 csı	NE 04(NL 048 3-9 cm	NE 1148 32-38 cm	NL 048 68-78 cr	NL 048 78-92 cm		048 -117		D48 3-173
FRACTION (µm) > 3150	.3	75-84 11.3	30.8		. 3-9	7. 32-38	6 ML 04.	840 JA 648	S NE D48 La 92-107	% #L 048 % 107−117	4. NL 048	NL 048
FRACTION (μm) > 3150 2500 - 3150	.3 .1	75.87 11.3 3.0	30.8 2.6		6-£ .4 .1	86-56 7.7	34 St-89 8 5 5 5 5 5 5 5 5 5 5 5 5 5 5 5 5 5 5	26-82 3. 18-92 3. 18-92	1 0 1 1 1 1 1 1 1 1 1 1 1 1 1 1 1 1 1 1	2. 2. 3. 1048 5. 4. 1048 1. 5. 4. 107-117	NI 048	N D48
FRACTION (μm) > 3150 2500 + 3150 2000 - 2500	.3 .1 .1	75-84 3.0 o	30.8 2.6 2.3		.4 .1 .1	85-25 1.7 .7	92-89 9 9 1 12 9 9 1 12	N N N N 1948	2 - 2 M M B48 4 2 - 107	0 1 5 107-117	N 048	NL 048
FRACTION (μm) > 3150 2500 - 3150 2000 - 2500 1600 - 2000	.3 .1 .1	75-84 11.3 3.0 2.9 4.0	30.8 2.6 2.3 3.0		6-E .4 .1 .2 .1 .2	25-26 1.7 7.7 1.1	8/-89 9 1 2 4 90 1k 9 2 3 4	E S S S S S S S S S S S S S S S S S S S	10	2. 2. 2. 3. 107-117	621-321 N D#8	N D48
FRACTION (μm) > 3150 2500 + 3150 2000 + 2500 1600 + 2000 1250 + 1600	.3 .1 .1 .2	78-87 11.3 3.0 2.9 4.0 6.7	30.8 2.6 2.3 3.0 4.8		6-£ .4 .1 .1 .2 .6	35-28 1.7.7 1.1 2.9	90 1k 9.1 2.4 6.5	26-82 870 Na 8 2 2 3 9 7	2 1 2 3 1 5 2 4 107 107 107 107 107 107 107 107 107 107	27.5 2.7 2.7 2.7 2.7 5.1	890 TN 132-136	N
FRACTION (μm) > 3150 2500 + 3150 2000 - 2500 1600 - 2000 1250 - 1600 1000 - 1250	.3 .1 .1 .2 .6	75-87 11.3 3.0 2.9 4.0 6.7 7.1	30.8 2.6 2.3 3.0 4.8 5.1		.4 .1 .2 .2 .2 .2	85-25 1.7 .7 .7 1.1 2.9 5.6	90-89 9 1 2 4 5 6 7 8 4 5 6 7 8 4 5 6 7 8 4 5 6 7 8 4 5 6 7 8 4 5 6 7 8 4 5 6 7 8 8 8 8 8 8 8 8 8 8 8 8 8 8 8 8 8 8	26-82 3.3.9 7.5 7.5 3.5 3.5 7.5 3.5 7.5 3.5 3.5 7.5 3.5 3.5 3.5 3.5 3.5 3.5 3.5 3.5 3.5 3	M BM M BM	27.5 27.5 2.7 2.7 5.7	6\$1-3\$1 15.5.7 3.7 3.5 3.5	E21-891 S. 7. 7. 6. 6. 4.
FRACTION (μm) > 3150 2500 + 3150 2000 - 2500 1600 - 2000 1250 - 1600 1000 - 1250 800 - 1000	.3 .1 .1 .2 .6 1.7	3.0 2.9 4.0 6.7 7.1 7.7	30.8 2.6 2.3 3.0 4.8 5.1 5.8		0-12 -4 -1 -2 -6 -2 -4 -6 -2 -4 -6 -4 -1 -1 -2 -6 -2 -4 -6 -4 -1 -1 -1 -1 -1 -1 -1 -1 -1 -1 -1 -1 -1	\$50 W 1.7 .7 .7 .7 .1.1 2.9 5.6 8.2	82-89 9124 9.124 6.5 6.6	26-82 8.3 2.3 3.9 6.7 7.5 8.4	20.38.1.5.2.5.3.1.5.2.5.3.5.1.5.2.5.2.107.2.5.2.107.2.5.2.107.2.5.2.107.2.5.2.107.2.5.2.107.2.5.2.107.2.5.2.107.2.5.2.107.2.5.2.107.2.5.2.107.2.5.2.2.2.2.2.2.2.2.2.2.2.2.2.2.2.2.2.	27.5 2.7 5.7 6.0 27.5 2.0 7.1 7.0 27.1 2.0 7.1 7.0 0.0	870 N 15.4 4 1.5.7 3.7.5 4.6	E21-891 S. 7. 7. 6. 6. 4. 7.
FRACTION (μm) > 3150 2500 + 3150 2000 + 2500 1600 + 2000 1250 + 1600 1000 - 1250 800 + 1000 630 + 800	.3 .1 .2 .6 1.7 5.1	370 ₩ 11.3 3.0 2.9 4.0 6.7 7.1 7.7 6.3	30.8 2.6 2.3 3.0 4.8 5.1 5.8		04. .4 .1 .2 .6 2.2 4.6 5.1	98-28 1.7 .7 .7 1.1 2.9 5.6 8.2 6.3	82-89 9 1 2 4 5 5 6 6 6 6 6 6 6 6 6 6 6 6 6 6 6 6 6	26-82 8.3 2.3 3.9 6.7 7.5 8.4 6.3	20.55.7 25.107	27.5 2.7 2.7 2.7 5.7 6.0 4.8	870 N 15.4 15.7 3.7 3.7 3.5 4.6 4.3	2/1-891 S. 7. 7. 6. 8. 4. 7. 7.
FRACTION (μm) > 3150 2500 + 3150 2000 + 2500 1600 + 2000 1250 + 1600 1000 - 1250 800 + 1000 630 + 800 500 + 630	.3 .1 .2 .6 1.7 5.1 5.5	75.87 11.3 3.0 2.9 4.0 6.7 7.1 7.7 6.3 5.1	30.8 2.6 2.3 3.0 4.8 5.1 5.8 5.0 4.3		0-15 -4 -1 -1 -2 -6 2.2 4.6 5.1 4.7	\$\frac{8\color{1}}{2\color{1}} \text{w} \tag{1.7}{2\cdot 7} \tag{7.1}{2\cdot 9} \tag{5.6}{6\cdot 3} \tag{5.4}	82-89 9 1 2 4 5 6 6 8 7 8 6 6 8 8 9 1 2 4 5 6 6 8 8 9 1 8 9	26-82 8.3 ≈ 3.9 7 7.5 4 6.3 1	891 W 20.1-26 3.8 1 1 5 2 5 7 5 7 6	27.5 2.7 2.7 2.7 5.7 6.0 4.8 3.9	681-581 4.5.7.3.7.5.6.4.3.5.	890 N 2 .7 7 .6 8 .4 .7 7 .7
FRACTION (μm) > 3150 2500 + 3150 2000 + 2500 1600 + 2000 1250 + 1600 1000 - 1250 800 + 1000 630 + 800	.3 .1 .2 .6 1.7 5.1	370 ₩ 11.3 3.0 2.9 4.0 6.7 7.1 7.7 6.3	30.8 2.6 2.3 3.0 4.8 5.1 5.8		04. .4 .1 .2 .6 2.6 5.1 4.7 4.7	98-28 1.7.7.7 1.1.9 5.0 5.0	82-89 912456626 223656626	26-82 3.2.3.9.7.5.4.3.1.6.	20. 20. 20. 20. 20. 20. 20. 20. 20. 20.	27.5 2.1 2.7 5.7 5.0 4.8 3.6 3.6	15.7.33.7.5.6.3.5.1.132-133.1	840 N 2 .7 7 6 8 4 .7 7 7 7
FRACTION (μm) > 3150 2500 + 3150 2000 - 2500 1600 - 2000 1250 - 1600 1000 - 1250 800 - 1000 630 + 800 500 - 630 400 - 500	.3 .1 .2 .6 1.7 5.1 5.5 4.9 4.7	75.87 11.3 3.0 2.9 4.0 6.7 7.1 7.7 6.3 5.1 4.6	30.8 2.6 2.3 3.0 4.8 5.1 5.8 5.0 4.3 4.1		0-15 -4 -1 -1 -2 -6 2.2 4.6 5.1 4.7	\$\frac{8\color{1}}{2\color{1}} \text{w} \tag{1.7}{2\cdot 7} \tag{7.1}{2\cdot 9} \tag{5.6}{6\cdot 3} \tag{5.4}	82-89 9 1 2 4 5 6 6 8 7 8 6 6 8 8 9 1 2 4 5 6 6 8 8 9 1 8 9	26-82 8.3 ≈ 3.9 7 7.5 4 6.3 1	891 W 20.1-26 3.8 1 1 5 2 5 7 5 7 6	27.5 2.0 2.7 5.7 5.0 4.8 3.6 4.9 3.6 3.6	890 N 15.4 15.7 3.7 3.5 4.3 3.5 4.3 3.5 2.5	\$40 N 2 .7.7.6.8.4.7.7.7.8
FRACTION (μm) > 3150 2500 + 3150 2000 - 2500 1600 - 2000 1250 - 1600 1000 - 1250 800 - 1000 630 + 800 500 - 630 400 - 500 315 - 400	.3 .1 .2 .6 1.7 5.1 5.5 4.7 4.7	75-87 11.3 3.0 2.9 4.0 6.7 7.1 7.7 6.3 5.1 4.6 4.3	30.8 2.6 2.3 3.0 4.8 5.1 5.8 5.0 4.3 4.1		04. .4 .1 .2 .6 2.6 5.1 4.7 5.2	88-28 7 7 7 1 9 6 8 5 5 6 5 5 5 5 5 5 5 5 5 5 5 5 5 5 5	82-89 912456626626654665466	26-82 8.2 2.3 9.7 7.8 6.3 1.6 6.5 4.6	Man	27.5 2.1 2.7 5.7 6.0 4.8 3.6 3.6 3.4	890 N 15.4 4 1 2 3 3 7 3 4 6 4 3 5 2 1 4 2 2 4 4 2 2 4 4 4 3 5 4 6 4 3 5 4 6 4 3 5 4 6 4 6 6 6 6 6 6 6 6 6 6 6 6 6 6 6 6	\$40 N 2 . 7 . 7 . 7 . 8 8
FRACTION (μm) > 3150 2500 - 3150 2000 - 2500 1600 - 2000 1250 - 1600 1000 - 1250 800 - 1000 630 - 800 500 - 630 400 - 500 315 - 400 250 - 315	.3 .1 .2 .6 1.7 5.1 5.5 4.9 4.7	75-87 11.3 3.0 4.0 6.7 7.1 7.7 6.3 5.1 4.3 9	30.8 2.6 2.3 3.0 4.8 5.1 5.8 5.0 4.3 4.1 4.0 3.9		04. .4 .1 .2 .6 2.2 4.6 5.1 4.7 5.2 4.7 5.4	88-28 7.7.7.1.9.6.2.3.4.0.3.5.5.5.5.5.5.5.5.5.5.5.5.5.5.5.5.5.5	82-89 9.1.2.4.5.6.6.2.6.6.2.6.6.4.4.4.4.4.4.4.4.4.4.4.4	26-82 8.2.3.9 7.5.4.3.1.6.6.5.4.6.5	8M 20 1 . 3 . 5 . 5 . 7 . 5 . 4 . 1 . 1 . 1 . 1 . 1	27.5 2.0 2.7 5.7 5.0 4.8 3.6 4.9 3.6 3.6	890 N 15.4 15.7 3.7 3.5 4.3 3.5 4.3 3.5 2.5	\$40 N 2 .7.7.6.8.4.7.7.7.8.8.8
FRACTION (μm) > 3150 2500 + 3150 2000 - 2500 1600 - 2000 1250 - 1600 1000 - 1250 800 - 1000 630 - 800 500 - 630 400 - 500 315 - 400 250 - 315 200 - 250	.3 .1 .2 .6 1.7 5.1 5.5 4.9 4.7 4.7 3.5	30	30.8 2.6 2.3 3.0 4.8 5.1 5.8 5.0 4.3 4.1 4.0 3.9 3.1		04.5 .4 .1 .2 .6 2.6 4.6 1 4.7 5.4 5.7 5.4 5.7	88-58 7.7.7.1.9.6.2.3.4.0.3.5.0.5.5.5.5.6.0	82-89 9.1.2.4.5.6.6.2.6.6.2.6.6.4.7.8.6.6.2.6.6.4.7	26-82 3.2 3.9 7.5 4.5	201-26 3.8 1 1 5 2 2 7 . 7 4 . 1 4 . 1 4 . 3	27.5 2.0 2.7 5.7 6.08 3.6 6.4 4.4 3.4 3.4	870 N 15.4 5 2 3 3 7 3 3 5 4 6 3 3 5 4 6 3 3 5 4 6 4 3 5 2 1 5 4 4 1 2 2 1 1 2 2 1 1 1 2 2 1 1 1 1 1 1	\$40 N 2 . 7 . 7 . 7 . 8 8
FRACTION (μm) > 3150 2500 + 3150 2000 - 2500 1600 - 2000 1250 - 1600 1000 - 1250 800 - 1000 630 + 800 500 - 630 400 - 500 315 - 400 250 - 315 200 - 250 160 - 200	.3 .1 .2 .6 1.7 5.1 5.5 4.9 4.7 4.7 4.7 3.5 2.4	75-87 11.3.0.9.0.7 7.1.7.3.1.6.3.9.8.8 1.8.9.8.8	30.8 2.6 2.3 3.0 4.8 5.1 5.8 5.0 4.3 4.1 4.0 3.9 3.1 2.2		0-15 .4 .1 .2 .6 2.6 2.6 5.1 4.7 5.4 5.5 5.4 5.7 5.8	88-28 7 7 7 7 1 9 6 2 3 4 0 3 5 6 6 4 6 6 6 6 6 6 6 6 6 6 6 6 6 6 6 6	82-89 91245666266471 92236566266471	26-82 3.23.97.54.31.66.57.1	201-26 3.8 1 1 5 2 5 7 6 1 1 1 3 5 4 4 4 4 4 4 4 4 4 4 4 4 4 4 4 4 4 4	27.5 27.1 27.5 27.7 5.7 6.0 4.8 3.6 4.4 3.4	870 N 15.4 5 2 3 3 7 3 5 6 4 3 5 2 1 5 4 4 3 5 2 1 5 4 4 3 5 2 1 5 4 4 3 5 2 1 5 4 4 3 5 2 1 5 4 4 5 5 6 6 6 6 6 6 6 6 6 6 6 6 6 6 6	\$\frac{90}{8} \qquad \qquad \qquad \qquad \qquad \qquad \qquad \qquad \qquad \qqqqqqqqqqqqqqqqqqqqqqqqqqqqqqqqqqqq
FRACTION (μm) > 3150 2500 - 3150 2000 - 2500 1600 - 2000 1250 - 1600 1000 - 1250 800 - 1000 630 - 800 500 - 630 400 - 500 315 - 400 250 - 315 200 - 250 160 - 200 125 - 160	.3 .1 .2 .6 1.7 5.1 5.5 4.9 4.7 4.7 4.9 4.7 3.5 2.4 2.5	75-87 11.3 2.9 4.0 6.7 7.7 6.3 5.1 4.3 9 2.8 1.8 2.0	30.8 2.6 2.3 3.0 4.8 5.1 5.8 5.0 4.3 4.1 4.0 3.9 3.1 2.2 2.0		0-15 .4 .1 .2 .2 .4 .7 .7 .4 .7 .7 .4 .7 .7 .7 .7 .7 .7 .7 .7 .7 .7	88-28 7 7 7 7 1 . 9 6 2 3 4 0 3 5 . 0 6 . 3 5 . 6 6 . 3 6 . 3 6 . 6 . 8 . 8 . 8 . 8 . 8 . 8 . 8 . 8 .	82-89 9124566266471465665464714	26-82 3 2 3 9 7 5 4 4 4 5 5 4 4 5 5 6 6 6 7 1 9	895 W 20.56 3.8 3.1.5 2.5 7.6 4.1.1 3.5 1.2 4.4 4.4 4.6.1	27.20 27.10 27.10 27.11 27.11 27.11 27.11 3.00 4.00 3.00 3.00 3.00 3.00 3.00 3.00	870 N 15.7 3 3.7 3 4.6 3 5.1 5 4.1 3 2.4 2.4 2.4	\$40 N 2 .7.7.6.8.4.7.7.7.7.8.8.8.8.0
FRACTION (μm) > 3150 2500 + 3150 2000 - 2500 1600 - 2000 1250 - 1600 1000 - 1250 800 - 1000 630 + 800 500 - 630 400 - 500 315 - 400 250 - 315 200 - 250 160 - 200 125 - 160 100 - 125	.3 .1 .2 .6 1.7 5.1 5.5 4.7 4.7 4.7 4.7 3.5 2.4 2.5 2.7	75-87 11.3 2.9 4.7 7.7 6.3 5.1 6.3 9 2.8 1.8 2.0 1	30.8 2.6 2.3 3.0 4.8 5.1 5.8 5.0 4.3 4.1 4.0 3.9 3.1 2.2 2.0 1.8		0-E .4 .1 .2 .6 .2 .6 .1 .7 .7 .2 .4 .7 .5 .4 .7 .5 .5 .7 .7 .5 .7 .7 .5 .7 .5 .7 .5 .7 .5 .7 .5 .7 .5 .7 .5 .7 .5 .7 .5 .7 .5 .7 .7 .5 .7 .7 .5 .7 .5 .7 .5 .7 .5 .7 .5 .7 .5 .7 .5 .7 .5 .7 .5 .7 .5 .7 .7 .5 .7 .7 .7 .7 .7 .7 .7 .7 .7 .7 .7 .7 .7	88-28 7 7 7 7 1 9 6 2 3 4 0 3 5 6 6 4 3 7 1 2 5 6 5 5 5 5 6 6 4 3 7	82-89 912456626626647149	26-82 3 2 3 9 7 7 8 4 3 1 6 6 5 7 1 9 0 4 .0 5 .7 1 9 0	8H W 21.38 1 1 5 2 5 7 6 1 1 1 3 5 1 8 4 6 1 8 4 6 1 8	27.5.1 27.5.1 27.5.1 5.7 5.0 4.8 3.6 4.5 3.4 4.5 3.3	890 N 15.4 1.5 2.7 3.7 5 4.6 3.5 1 2.4 1.8 2.4 1.8	\$\frac{1}{2}\text{V}_1 - \text{SQ}_1 \text{V}_2 \text{V}_3 - \text{7}_1 \text{7}_1 \text{7}_1 \text{8}_2 \text{8}_3 \text{8}_4 \text{7}_1 \text{7}_1 \text{7}_1 \text{8}_3 \text{8}_3 \text{8}_4 \text{8}_5 \text{0}_1 \text{2}_2 \text{1}_2 \text{2}_3 \text{8}_4 \text{8}_5 \text{0}_1 \text{2}_5 \text{2}_5 \text{2}_5 \text{3}_5 \text{4}_5 \text{2}_5 \text
FRACTION (μm) > 3150 2500 - 3150 2000 - 2500 1600 - 2000 1250 - 1600 1000 - 1250 800 - 1000 630 - 800 500 - 630 400 - 500 315 - 400 250 - 315 200 - 250 160 - 200 125 - 160 100 - 125 80 - 100	.3 .1 .2 .6 1.7 5.1 5.5 4.9 4.7 4.7 3.5 2.4 2.5 2.7 2.5	75-87 11.3 2.9 4.0 6.7 7.1 7.3 4.3 9 8.8 1.8 2.1 1.9	30.8 2.6 2.3 3.0 4.8 5.1 5.8 5.0 4.3 4.1 4.0 3.9 3.1 2.2 2.0 1.8 1.6		0-E .4 .1 .2 .6 .2 .6 .1 .7 .2 .4 .7 .5 .4 .7 .5 .5 .4 .7 .5 .3 .1 .4 .7 .5 .5 .5 .5 .5 .5 .5 .5 .5 .5 .5 .5 .5	88-53 7.7.7.1.9.6.2.3.4.0.3.5.0.4.3.7.5.6.6.3.5.5.6.6.3.7.5.6.6.5.7.5.6.6.5.7.5.7.5.6.6.5.7.5.7	82-89 912456662664714904	26-82 3 2 3 9 7 5 4 3 1 6 6 5 7 1 9 0 9 2 1 1 1 1 1 1 1 1 1 1 1 1 1 1 1 1 1 1	8M W 21.3.5.2.5.7.6.1.1.3.5.1.8.7.2.5.4.4.4.6.3.7.2.	27.10 27.17 27.17 27.17 5.70 4.89 3.66 4.53 3.16 3.16	870 N 15.7.3.7.5.6.3.5.1.5.4.1.3.4.8.5.1.5.4.4.8.5.1.5.4.4.8.5.1.5.4.4.8.5.1.5.4.4.8.5.1.5.4.4.8.5.1.5.4.4.8.5.4.4.8.5.1.5.4.4.8.5.1.5.4.4.8.5.1.5.4.4.8.5.1.5.4.4.8.5.1.5.4.4.8.5.1.5.4.4.8.5.1.5.4.4.8.5.1.5.4.4.8.5.1.5.4.4.8.5.1.5.4.4.8.5.4.4.4.8.5.4.4.4.8.5.4.4.4.4	\$\frac{90}{8} \text{89} \text{87} \text{77} \text{88} \text{88} \text{88} \text{88} \text{88} \text{88} \text{88} \text{1.2} \text{1.4} \text{2.1}
FRACTION (μm) > 3150 2500 - 3150 2000 - 2500 1600 - 2000 1250 - 1600 1000 - 1250 800 - 1000 630 - 800 315 - 400 250 - 315 200 - 250 160 - 200 125 - 160 100 - 125 80 - 100 63 - 80	.3 .1 .2 .6 1.7 5.1 5.5 4.9 4.7 4.7 3.5 2.4 2.5 2.7 2.5	75-87 11.3.0.9.0.7 7.1.7.3.1.6.3.9.8.8.0.1 1.9.0.0.1.9.0.0.1.9.0.0.1.9.0.1.9.0.1.9.0.1.9.0.1.9.0.1.9.0.1.9.0.1.9.0.1.9.0.1.9.0.0.0.1.9.0.1.9.0.1.9.0.1.9.0.1.9.0.1.9.0.1.9.0.1.9.0.1.9.0.1.9.0.0.0.0	30.8 2.6 2.3 3.0 4.8 5.1 5.8 5.0 4.3 4.1 4.0 3.9 3.1 2.2 2.0 1.8 1.6 1.5		0-15 .4.1 .2.6.2.6.1 2.6.2.6.1	98-28 7 7 7 7 1 9 6 2 3 4 0 3 5 5 5 6 6 8 5 7 5 5 6 6 8 5 7 5 5 5 6 6 8 5 7 5 6 6 8 5 7 5 6 6 8 5 7 5 6 6 8 5 7 5 6 6 8 5 7 5 6 6 8 5 7 5 6 6 8 5 7 5 6 6 8 5 7 5 6 6 8 5 7 5 6 6 8 7 5 7 5 6 6 8 7 5 7 5 7 5 7 5 7 5 7 5 7 5 7 5 7 5 7	82-89 912456626626647149041	26-82 3 2 3 9 7 7 8 4 3 1 6 6 5 7 1 9 0 9 2 8 1 3 2 3 9 7 8 8 1 1 2 1 2 1 2 1 2 1 2 1 2 1 2 1 2 1	201-26 3.8 1 1 5 2 5 5 . 7 6 1 1 1 3 5 1 8 7 2 5 5 . 7 6 4 4 4 4 6 3 1 1 3 5 5 5 5 5 6 5 7 5 6 6 7 6 7 6 7 6 7 6 7	27.2.0.7 27.1.0.7 27.1.7 27.1.7 27.1.7 27.1.7 27.1.7 2.1.0 2.0 2.0 2.0 2.0 2.0 2.0 2.0 2	890 N 15.7 3 3 3 4 6 3 5 1 5 4 1 .5 2 .0 9 .0	\$\frac{1}{2}\frac{1}{1} \ \ \ \ \ \ \ \ \ \ \ \ \ \ \ \ \ \ \
FRACTION (μm) > 3150 2500 + 3150 2000 - 2500 1600 - 2000 1250 - 1600 1000 - 1250 800 - 1000 630 + 800 500 - 630 400 - 500 315 - 400 250 - 315 200 - 250 160 - 200 125 - 160 100 - 125 80 + 100 63 - 80 20 - 63	.3 .1 .2 .6 1.7 5.1 5.5 4.7 4.7 4.7 3.5 2.4 2.5 2.7 2.5 3.1	75-87 11.3.09 4.07 7.7 6.3 1.6 3.9 4.8 1.9 2.0 2.0 1.9 2.0 1.9 2.0 2.0 2.0 1.9 2.0 2.0 2.0 2.0 2.0 2.0 2.0 2.0	30.8 2.6 2.3 3.0 4.8 5.1 5.8 5.0 4.3 4.1 4.0 3.9 3.1 2.2 2.0 1.8 1.6 1.5 5.4		0-E .4 .1 .2 .6 .2 .6 .1 .7 .7 .5 .4 .7 .5 .5 .4 .7 .5 .5 .7 .5 .3 .4 .8 .7 .5 .4 .7 .5 .4 .8 .7 .5 .4 .8 .7	88-28 7.7.7.1.9.6.2.3.4.0.3.5.0.4.3.7.5.5.1.	82-89 912456662664714904	26-82 3 2 3 9 7 5 4 3 1 6 6 5 7 1 9 0 9 2 1 1 1 1 1 1 1 1 1 1 1 1 1 1 1 1 1 1	8M W 21.52 5.76 1.1 1.35 1.8 7.2 2.1.2 4.4 4.4 4.6 3.7.1	27.5.1 2.7 5.1 5.0 4.8 9 6.6 4.4 5.3 1.6 3.8 3.4 4.5 3.1 6.3 8.4 4.5 3.1 6.3 8.4 4.5 3.1 6.3 8.4 4.5 3.1 6.3 8.4 4.5 3.1 6.3 8.4 4.5 3.1 6.3 8.4 4.5 3.1 6.3 8.4 4.5 3.1 6.3 8.4 4.5 8	890 N 15.4 1.5 2.3 3.7 5.6 4.3 5.1 2.4 1.8 5.0 9.7	\$40 N 2 .7 .7 .7 .8 8 8 10 2 4 .1 .7 .7 .7 .8 .8 .8 10 .2 4 .1 .7 .7 .7 .8 .8 .8 .8 .8 .9 .2 .4 .1 .1 .1 .1 .1 .1 .1 .1 .1 .1 .1 .1 .1
FRACTION (μm) > 3150 2500 - 3150 2000 - 2500 1600 - 2000 1250 - 1600 1000 - 1250 800 - 1000 630 - 800 500 - 630 400 - 500 315 - 400 250 - 315 200 - 250 160 - 200 125 - 160 100 - 125 80 - 100 63 - 80 20 - 63 6.3 - 20	.3 .1 .2 .6 1.7 5.1 5.5 4.7 4.7 4.7 4.7 3.5 2.4 2.5 2.7 2.5 3.1	75-87 11.3.09 4.07 7.17 6.3.1 6.3.9 8.8.0 1.9 2.0 1.9 2.0 1.9 2.0 1.9 2.0 1.9 2.0 1.9 2.0 1.0 1.0 1.0 1.0 1.0 1.0 1.0 1	30.8 2.6 2.3 3.0 4.8 5.1 5.8 5.0 4.3 4.1 4.0 3.9 3.1 2.0 1.8 1.6 1.5 5.4		0-E .4 .1 .2 .6 .2 .6 .1 .7 .7 .5 .4 .7 .5 .5 .4 .7 .8 .3 .1 .4 .8 .7 .2 .6 .2 .6 .1 .2 .6 .2 .6 .1 .2 .6 .2 .6 .1 .4 .7 .8 .3 .1 .4 .8 .7 .2 .6 .2 .6 .1 .2 .6 .2 .6 .1 .2 .6 .2 .6 .1 .2 .6 .2 .6 .1 .2 .6 .2 .6 .1 .2 .6 .2 .6 .1 .2 .6 .2 .6 .1 .2 .6 .2 .6 .1 .2 .6 .2 .6 .1 .2 .6 .2 .6 .1 .2 .6 .2 .6 .1 .2 .6 .2 .6 .1 .2 .6 .2 .6 .1 .2 .6 .2 .6 .1 .2 .6 .2 .6 .1 .2 .6 .2 .6 .1 .2 .6 .2 .6 .1 .2 .6 .2 .6 .1 .2 .2 .2 .2 .2 .2 .2 .2 .2 .2 .2 .2 .2	88-58 7.7.7.1.9.6.2.3.4.0.3.5.0.4.3.7.5.5.1.9.6.2.3.4.0.3.5.0.4.3.7.5.5.1.9.6.2.3.4.0.3.5.0.4.3.7.5.5.1.9.6.2.3.4.0.3.5.0.4.3.7.5.5.1.9.6.2.3.4.0.3.5.0.4.3.7.5.5.1.9.6.2.3.4.0.3.5.0.4.3.7.5.5.1.9.6.2.3.4.0.3.5.0.4.3.7.5.5.1.9.6.2.3.4.0.3.5.0.4.3.7.5.5.1.9.6.2.3.4.0.3.5.0.4.3.7.5.5.1.9.6.2.3.4.0.3.5.0.4.3.7.5.5.1.9.6.2.3.4.0.3.5.0.4.3.7.5.5.1.9.6.2.3.4.0.3.5.0.4.3.7.5.5.1.9.0.0.2.3.4.0.3.2.2.2.2.2.2.2.2.2.2.2.2.2.2.2.2.2.2	82-89 9.1.2.4.5.6.6.2.6.6.2.7.1.4.9.0.4.1.8	26-82 3 2 3 9 7 5 4 4 4 5 5 4 4 9 1 1 2 8 8 1 2 2 3 5 7 8 6 5 1 6 6 5 7 1 9 0 9 2 8 8 1 2 2 3 5 7 8 8 1 8 1 8 1 8 1 8 1 8 1 8 1 8 1 8 1	8H W 213.5.2.5.7.6.1.1.3.5.1.8.7.2.5.5.4.4.1.3.5.1.8.7.2.5.5.7.6.1.1.3.5.1.8.7.2.5.5.7.6.1.1.3.5.1.8.7.2.5.5.1.0.1.1.3.5.1.8.7.2.5.1.0.1.1.3.5.1.8.7.2.5.1.0.1.1.3.5.1.8.7.2.5.1.0.1.1.3.5.1.8.7.2.5.1.0.1.1.3.5.1.8.7.2.5.1.0.1.1.3.5.1.8.7.2.5.1.0.1.1.3.5.1.8.7.2.5.1.0.1.1.3.5.1.8.7.2.5.1.0.1.1.3.5.1.8.7.2.5.1.0.1.1.3.5.1.8.7.2.5.1.0.1.1.1.3.5.1.8.7.2.5.1.0.1.1.1.3.5.1.8.7.2.5.1.0.1.1.1.1.3.5.1.8.7.2.5.1.0.1.1.1.1.3.5.1.8.7.2.5.1.0.1.1.1.1.1.1.3.5.1.8.7.2.5.1.0.1.1.1.1.1.1.1.1.3.5.1.8.7.2.5.1.0.1.1.1.1.1.1.1.1.1.1.1.1.1.1.1.1.1	27.2.0.7 27.1.0.7 27.1.7 27.1.7 27.1.7 27.1.7 27.1.7 2.1.0 2.0 2.0 2.0 2.0 2.0 2.0 2.0 2	890 N 15.7 3 3 3 4 6 3 5 1 5 4 1 .5 2 .0 9 .0	\$\frac{1}{2}\frac{1}{2
FRACTION (μm) > 3150 2500 - 3150 2000 - 2500 1600 - 2000 1250 - 1600 1000 - 1250 800 - 1000 630 - 800 500 - 630 400 - 500 315 - 400 250 - 315 200 - 250 160 - 200 125 - 160 100 - 125 80 - 100 63 - 80 20 - 63 6.3 - 20 2 - 6.3	.3 .1 .2 .6 1.7 5.1 5.5 4.7 4.7 4.7 3.4 2.5 2.7 2.5 3.1 4.5 2.6	75-87 11.3.09 4.7.7.7.3.1 4.3.9 4	30.8 2.6 2.3 3.0 4.8 5.1 5.8 5.0 4.3 4.1 4.0 3.1 2.2 2.0 1.8 1.6 1.5 5.4		0-E .4 .1 .2 .6 .2 .6 .1 .7 .7 .5 .4 .7 .8 .7 .5 .4 .7 .8 .7 .2 .7 .8 .7 .8 .7 .2 .7 .8 .7 .8 .7 .2 .7 .8 .7 .8 .7 .2 .7 .8 .7 .7 .8 .7 .7 .7 .7 .7 .7 .7 .7 .7 .7 .7 .7 .7	88-58 7.7.7.1.9.6.2.3.4.0.3.5.0.4.3.7.5.5.7.2.7.1.9.6.2.3.4.0.3.5.0.4.3.7.5.5.7.2.7.3.5.0.4.3.7.2.7.3.5.0.4.3.7.5.5.3.2.7.3.5.0.4.3.7.5.5.3.2.7.3.5.0.4.3.7.5.5.3.2.7.3.5.0.4.3.7.5.5.3.2.7.3.5.0.4.3.7.5.5.3.2.7.3.5.0.4.3.7.5.5.3.2.7.3.3.2.7.3.2.7.3.2.7.3.2.7.3.3.2.7.3.3.2.7.3.3.2.7.3.3.2.7.3.3.2.7.3.3.2.7.3.3.2.7.3.3.2.7.3.3.2.7.3.3.2.7.3.3.2.7.3.3.2.7.3.3.3.2.7.3.3.3.2.7.3.3.3.2.7.3.3.3.3	82-89 9124566626647149041885	26-82 3.2.3.9.7.5.4.3.1.6.6.5.7.1.9.0.9.2.8.8.8.1.6.6.5.7.1.9.0.9.2.8.8.8.1.6.6.5.7.1.9.0.9.2.8.8.8.1.6.6.5.7.1.9.0.9.2.8.8.8.1.6.6.5.7.1.9.0.9.2.8.8.8.1.6.6.5.7.1.9.0.9.2.8.8.8.8.1.6.6.5.7.1.9.0.9.2.8.8.8.8.1.6.6.5.7.1.9.0.9.2.8.8.8.8.1.6.6.5.7.1.9.0.9.2.8.8.8.8.1.6.6.5.7.1.9.0.9.2.8.8.8.8.1.6.6.5.7.1.9.0.9.2.8.8.8.8.1.6.6.5.7.1.9.0.9.2.8.8.8.8.1.6.6.5.7.1.9.0.9.2.8.8.8.8.1.6.6.5.7.1.9.0.9.2.8.8.8.1.6.6.5.7.1.9.0.9.2.8.8.8.1.6.6.5.7.1.9.0.9.2.8.8.8.1.6.6.5.7.1.9.0.9.2.8.8.8.1.6.6.5.7.1.9.0.9.2.8.8.8.1.6.6.5.7.1.9.0.9.2.8.8.8.1.6.6.5.7.1.9.0.9.2.8.8.8.1.6.6.5.7.1.9.0.9.2.8.8.8.1.6.6.5.7.1.9.0.9.2.8.8.8.1.6.6.5.7.1.9.0.9.2.8.8.8.1.6.6.5.7.1.9.0.9.2.8.8.8.1.6.6.5.7.1.9.0.9.2.8.8.8.1.6.6.5.7.1.9.0.9.2.8.8.8.1.6.6.5.7.1.9.0.9.2.8.8.8.1.6.6.5.7.1.9.0.9.2.8.8.8.1.6.6.5.7.1.9.0.9.2.8.8.1.8.1.6.6.5.7.1.9.0.9.2.8.8.1.8.1.8.1.8.1.8.1.8.1.8.1.8.1.8.1	201-26 3.8 1.1 5.2 5.7 6.1 1.1 3.5 1.8 7.2 5.5 7.4 4.4 4.4 6.3 1.7 2.5 5.7 6.1 1.1 3.5 1.8 7.2 5.5 7.5 6.1 1.1 3.5 7.2 5.5 7.5 6.1 1.1 3.5 7.2 5.5 7.5 6.1 1.1 3.5 7.2 5.5 7.5 6.1 1.1 3.5 7.2 5.5 7.5 6.1 1.1 3.5 7.2 5.5 7.5 6.1 1.1 3.5 7.2 5.5 7.5 7.5 7.5 7.5 7.5 7.5 7.5 7.5 7.5	27.10.7.1.7.0.8.9.6.6.4.4.5.3.1.6.3.8.7.1.4.3.3.1.6.3.8.7.1.0.9.1.0.9.1.0.1.0.1.0.1.0.1.0.1.0.0.0.0	890 N 15.7 3 3 3 3 4 6 3 5 2 1 5 2 4 1 5 5 6 5 7 5 6 6 4 3 5 1 5 2 2 2 2 2 2 2 2 2 2 2 2 2 2 2 2 2	\$40 N 2 .7 .7 .7 .8 8 8 10 2 4 .1 .7 .7 .7 .8 .8 .8 10 .2 4 .1 .7 .7 .7 .8 .8 .8 .8 .8 .9 .2 .4 .1 .1 .1 .1 .1 .1 .1 .1 .1 .1 .1 .1 .1
FRACTION (μm) > 3150 2500 - 3150 2000 - 2500 1600 - 2000 1250 - 1600 1000 - 1250 800 - 1000 630 - 800 500 - 630 400 - 500 315 - 400 250 - 315 200 - 250 160 - 200 125 - 160 100 - 125 80 - 100 63 - 80 20 - 63 6.3 - 20 2 - 6.3 < 2	.3 .1 .2 .6 1.7 5.1 5.5 4.7 4.7 4.7 3.4 2.5 2.7 2.5 3.1 4.5 2.6	75-87 11.3.09 4.7.7.7.3.1 4.3.9 4	30.8 2.6 2.3 3.0 4.8 5.1 5.8 5.0 4.3 4.1 4.0 3.1 2.2 2.0 1.8 1.6 1.5 5.4		0-E .4 .1 .2 .6 .2 .6 .1 .7 .7 .5 .4 .7 .8 .7 .5 .4 .7 .8 .7 .2 .7 .8 .7 .8 .7 .2 .7 .8 .7 .8 .7 .2 .7 .8 .7 .8 .7 .2 .7 .8 .7 .7 .8 .7 .7 .7 .7 .7 .7 .7 .7 .7 .7 .7 .7 .7	88-58 7.7.7.1.9.6.2.3.4.0.3.5.0.4.3.7.5.5.7.2.7.1.9.6.2.3.4.0.3.5.0.4.3.7.5.5.7.2.7.3.5.0.4.3.7.2.7.3.5.0.4.3.7.5.5.3.2.7.3.5.0.4.3.7.5.5.3.2.7.3.5.0.4.3.7.5.5.3.2.7.3.5.0.4.3.7.5.5.3.2.7.3.5.0.4.3.7.5.5.3.2.7.3.5.0.4.3.7.5.5.3.2.7.3.3.2.7.3.2.7.3.2.7.3.2.7.3.3.2.7.3.3.2.7.3.3.2.7.3.3.2.7.3.3.2.7.3.3.2.7.3.3.2.7.3.3.2.7.3.3.2.7.3.3.2.7.3.3.2.7.3.3.2.7.3.3.3.2.7.3.3.3.2.7.3.3.3.2.7.3.3.3.3	82-89 9124566626647149041885	26-82 3.2.3.9.7.5.4.3.1.6.6.5.7.1.9.0.9.2.8.8.8.1.6.6.5.7.1.9.0.9.2.8.8.8.1.6.6.5.7.1.9.0.9.2.8.8.8.1.6.6.5.7.1.9.0.9.2.8.8.8.1.6.6.5.7.1.9.0.9.2.8.8.8.1.6.6.5.7.1.9.0.9.2.8.8.8.8.1.6.6.5.7.1.9.0.9.2.8.8.8.8.1.6.6.5.7.1.9.0.9.2.8.8.8.8.1.6.6.5.7.1.9.0.9.2.8.8.8.8.1.6.6.5.7.1.9.0.9.2.8.8.8.8.1.6.6.5.7.1.9.0.9.2.8.8.8.8.1.6.6.5.7.1.9.0.9.2.8.8.8.8.1.6.6.5.7.1.9.0.9.2.8.8.8.8.1.6.6.5.7.1.9.0.9.2.8.8.8.1.6.6.5.7.1.9.0.9.2.8.8.8.1.6.6.5.7.1.9.0.9.2.8.8.8.1.6.6.5.7.1.9.0.9.2.8.8.8.1.6.6.5.7.1.9.0.9.2.8.8.8.1.6.6.5.7.1.9.0.9.2.8.8.8.1.6.6.5.7.1.9.0.9.2.8.8.8.1.6.6.5.7.1.9.0.9.2.8.8.8.1.6.6.5.7.1.9.0.9.2.8.8.8.1.6.6.5.7.1.9.0.9.2.8.8.8.1.6.6.5.7.1.9.0.9.2.8.8.8.1.6.6.5.7.1.9.0.9.2.8.8.8.1.6.6.5.7.1.9.0.9.2.8.8.8.1.6.6.5.7.1.9.0.9.2.8.8.8.1.6.6.5.7.1.9.0.9.2.8.8.8.1.6.6.5.7.1.9.0.9.2.8.8.1.8.1.6.6.5.7.1.9.0.9.2.8.8.1.8.1.8.1.8.1.8.1.8.1.8.1.8.1.8.1	201-26 3.8 1.1 5.2 5.7 6.1 1.1 3.5 1.8 7.2 5.5 7.4 4.4 4.4 6.3 1.7 2.5 5.7 6.1 1.1 3.5 1.8 7.2 5.5 7.5 6.1 1.1 3.5 7.2 5.5 7.5 6.1 1.1 3.5 7.2 5.5 7.5 6.1 1.1 3.5 7.2 5.5 7.5 6.1 1.1 3.5 7.2 5.5 7.5 6.1 1.1 3.5 7.2 5.5 7.5 6.1 1.1 3.5 7.2 5.5 7.5 7.5 7.5 7.5 7.5 7.5 7.5 7.5 7.5	27.10.7.1.7.0.8.9.6.6.4.4.5.3.1.6.3.8.7.1.4.3.3.1.6.3.8.7.1.0.9.1.0.9.1.0.1.0.1.0.1.0.1.0.1.0.0.0.0	890 N 15.7 3 3 3 3 4 6 3 5 2 1 5 2 4 1 5 5 6 5 7 5 6 6 4 3 5 1 5 2 2 2 2 2 2 2 2 2 2 2 2 2 2 2 2 2	\$\frac{1}{2}\frac{1}{2
FRACTION (μm) > 3150 2500 - 3150 2000 - 2500 1600 - 2000 1250 - 1600 1000 - 1250 800 - 1000 630 - 800 500 - 630 400 - 500 315 - 400 250 - 315 200 - 250 160 - 200 125 - 160 100 - 125 80 - 100 63 - 80 20 - 63 6.3 - 20 2 - 6.3 < 2 MAXIMUM	.3 .1 .2 .6 1.7 5.5 4.9 4.7 4.7 3.5 2.4 2.7 2.5 3.1 19.4 9.5 19.0	70 ₩ 11.3.0 9 0.7 7.1 7 3.1 6.3 9 8.8 0.1 9 0.5 1.7 2.1 6.3 9.8 8.0 1.9 0.5 1.7 2.1 6.2 1.0 0.5 1.7 2.1 6.2 1.0 0.5 1.7 2.1 6.2 1.0 0.5 1.7 2.1 6.2 1.0 0.5 1.7 2.1 6.2 1.0 0.5 1.7 2.1 6.2 1.0 0.5 1.7 2.1 6.2 1.0 0.5 1	30.8 2.6 2.3 3.0 4.8 5.1 5.8 5.0 4.3 4.1 4.0 3.1 2.2 2.0 1.8 1.6 1.5 5.4 1.5		0-12 -4 -1 -2 -2 -4 -1 -1 -2 -4 -1 -1 -1 -1 -1 -1 -1 -1 -1 -1	88-58 7.7.7.1.9.6.2.3.4.0.3.5.0.4.3.7.5.5.1.9.7.5.8.6.5.5.5.6.6.3.7.5.5.1.9.7.5.8.6.3.2.7.2.8.8.8.8.8.8.8.8.8.8.8.8.8.8.8.8.8	82-89 9124566626647149041855	26-82 3.23.97.54.31.66.57.1.90.92.8.8.4.4.5.5.4.5.7.1.9.0.92.8.8.4.5.5.4.5.7.1.9.0.92.8.8.4.5.5.4.5.5.4.5.5.4.5.5.4.5.5.4.5.5.4.5.5.4.5.5.4.5.5.4.5.5.4.5.5.4.5.5.4.5.5.4.5.5.5.4.5.5.5.4.5.5.5.4.5.5.5.4.5.5.5.4.5	201-26 3.8 1 1 5 2 5 7 6 4 4 4 4 4 6 3 1 1 3 5 7 6 4 4 4 4 6 3 1 1 3 1 . 3 .	890 H 27.10.7.1.7.0.8 5.5.0.7.1.7.0.8 5.5.0.7.1.7.0.8 5.6.6.4.4.4.5.3.1.6.3.8.7.5 6.6.4.4.4.5.3.1.6.3.8.7.5	870 N 15.1.5.7.3.7.5.6.3.5.1.5.4.3.5.1.5.4.3.5.1.5.4.8.5.1.5.5.4.8.5.1.5.5.1.5.5.4.8.5.1.5.5.1.5.5.1.5.5.5.1.5.5.5.5.5.5.5	\$\frac{1}{2}\text{P-891} \text{S} 7.7.6.8.4.7.7.7.7.8.8.8.8.8.0.0.2.4.1.1.1.1.1.1.1.1.1.1.1.1.1.1.1.1.1.1

GRAIN SIZE FRACTION (μm)	%L 048 187~193 сп	NL 648 198-203 cm	NL 049 302-107 cm	ML 050 258-264 re	NE 050 290-296 cm	NL 051 115-130 cm	NE 051 212-220 cm	AL 053/2 39-45 CR	NL 053/2 225-235 cm
> 3150	6.7	14.0	7	1.3	.0	2.7	2.7	13.2	40.0
2500 - 3150	2,4	3.2	.9	.9	0	.7	1.3	1.8	1.7
2000 ~ 2500	3.2	2,3	1,1	1.2	.1	.6	1.2	1.7	1.3
1600 - 2000	2.7	2.7	2.2	2.2	. 1	1.2	2.3	2.1	1,4
1250 - 1600	2.4	3.6	3.2	3.6	.3	3.5	3.5	2.6	1.7
1000 - 1250	1.8	3.5	2.9	4.2	6	6.1	3.8	2,6	1.7
800 - 1000	2.3	4.5	3.2	6.1	1.4	9.3	5.2	3.2	2.2
630 - 800	2.1	4.2	3.1	7.2	3.8	10.8	5.0	3.6	2.6
500 - 630	1.9	3.9	4.2	7.4	8.2	9.9	4.3	3.5	3.3
400 - 500	1.5	4.1	11.7	9.5	17.6	7.2	4.8	4.5	4.9
315 - 400	7.4	4.7	17.7	8.3	20.2	4.2	4.4	4.4	5.5
250 - 315	1.7	5.7	22.7	8.4	21.6	2.7	5.0	5.3	6.3
200 - 250	1.4	7.3	13.9	7.1	13.7	2.0	4.7	4.9	5.3
160 - 200	1.6	8.1	4.6	6.2	6.3	1.4	4.7	4.0	3.5
125 - 160	1.6	8.6	1.3	4.7	1.7	1.5	5.7	3.3	2.4
100 - 125	1.3	3.4	.6	2.2	.3	1.5	6,1	2.0	1,4
80 100	1.0	.6	.4	1.3	. 1	1.8	5.6	1.2	1.0
63 - 80	1.8	.6	.3	1.2	,1	2.4	4.2	1,1	Τ,1
20 - 63	3.3	1.2	1.3	6.1	.3	17.6	12.2	6.6	3.9
6.3 - 20	6.5	.6	1.0	4.7	.2	4.1	4.7	5.0	2.3
2 ~ 6.3	5.1	1.3	.7	2.0	. 4	1.2	2.0	3.5	1.2
< 5	46.3	9.9	2.3	4.2	3.0	7.7	6.7	19.9	5.2
MUMIXAM									_
GRAIN SIZE	8.0	16.0	8.0	10.0	3.2	6.3	8.0	16.0	25.0
(mm)									

Korngrößen-Häufigkeitsanalyse holozäner Sedimente mit polymodalen Korngrößenverteilungen (Tab. 8 bis 12)

Tab. 8: Korngrößenkollektive im Kern NL 031/4 (Abb. 31)

Core N L 0 3 1 / 4

		. 3			gt	rain size	popu	latio	កន			residua	1
sample top – base	residu fine f	raction	-	J		ž	ΙΙ			III			fraction
(cm)	(µm)	(%)	(hm)	(Φ°)	(%)	(µm)	(⊅∘)	(%)	(μm)	(Φ°)	(%)	(hm)	(%)
30 - 36	< 20	5	96	0.80	93		-			_		> 315	2
47 - 53	< 63	6	145	0.76	35	356	0.40	17	893	0.50	42	-	
82 - 88	< 20	7	126	0.96	82		-		1150	0.93	11		
150 - 156	< 20	8	105	1.00	79		-		914	0.73	11	> 2500	2
234 - 240	< 63	10	148	0.70	59				1100	1,20	30	≥ 3150	7
242 - 255	< 63	6	191	0.80	29		_		1100	0.80	45	> 2500	19
267 - 275	< 63	5	214	0.76	24		-		1260	0.63	62	> 2500	9
322 - 328	< 20	7	87	1.13	76		AV		873	1.00	17	-	
370 - 384	< 20	12	56	1.16	43		-		1550	1.26	47	> 8000	3

Tab. 9: Korngrößenkollektive im Kern NL 034 (Abb. 33)

Core N.L. 034

		grain size	populations	
sample top – base	residual fine fraction	I X ±o	ž za II	residual coarse fraction
(cm)	(µm) (%)	(μm) (Φ°) (%)	$(\hat{\mu}m)$ $(\hat{\Phi}^{\circ})$ $(\%)$	(µm) (%)
0 - 3	< 80 8	224 0.50 61	710 0.60 31	
3 - 10	< 80 3	235 0.50 28	890 0.70 56	> 2000 13
55 - 63	< 80 6	230 0.56 60	980 0.70 28	> 2000 6
135 - 143	< 63 6	276 0.73 61	1100 0.80 33	
210 - 216	< 63 5	276 0.73 79	1050 0.53 16	-
862 - 062	< 63 6	214 0.66 89	1050 0.53 3	> 2500 3
400 - 406	< 63 8	178 0.70 89	1000 0.70 3	
445 - 455	< 63 9	166 0.76 78	2240 0.70 10	> 2500 2
540 - 546	< 20 11	105 0.96 84	1000 0.86 5	-
630 - 640	< 20 6	148 1.06 69	1321 1.46 24	
673 - 684	< 20 7	205 0.76 11	526 2.26 81	NA.

Tab. 10: Korngrößenkollektive im Kern NL 040 (Abb. 36)

Core N L 0 4 Q

rama la			,	grain	stze	populat	ions			
sample top - base	residi fine i	fraction	<i>.</i> .	1		-	lĭ		residua coarse	n fraction
(cm)	(µm)	(%)	(հա) x	(Φ°)	(%)	х (µm)	(φ°)	(%)	(µm)	(%)
10 - 16	< 50	4	66	1.06	79	726	0.90	17		
85 - 91	< 20	9	78	0.93	55	726	0.93	34	> 3150	1
164 - 170	< 20	6	100	1.33	51	710	1.03	41	> 3150	2
216 - 231	< 63	10	132	0.96	37	893	0,90	39	> 3150	13
300 - 312	< 20	14	46	1.26	40	834	1.40	27	> 3150	19
312 - 325	< 50	5.1	35	1.30	33	437	1.66	33	> 3150	13
400 - 406	< 20	39	28	1.16	42	778	1.56	14	> 3150	5
443 - 461	< 20	30	63	1,46	45	1420	1.13	17	> 3150	8

Tab. 11: Korngrößenkollektive im Kern NL 041 (Abb. 37)

ĩаb. 11

Core Ni 041

					ara	ain stze	9000	Jation	ş				
sample		idual										residua	l fraction
top - bas	e find	rraction :	=	1		ž	11		x	III ≛⊄		Coarse	114001011
(cm)	(µm	(%)	(hw) x	(Φ°)	(%)		(\$ °)	(%)	(mu)	(\$°)	(%)	(µm)	(%)
1 - 4	< 20	5	54	0.47	38	152	0.50	56		-		> 500	1
15 - 18	< 20) 2	56	0.50	15	270	0.73	73	914	0.43	10	-	
34 - 40	< 20	3 13	51	0.50	48	224	0.63	30	778	0.63	8	-	
87 - 93	< 21	0 11	51	Q.50	34	230	0.73	41	980	0.90	14	-	
147 - 153	< 2	0 10	48	0.56	20	235	0.90	55	1100	0.83	14	> 3150	1
210 - 225			53	0.50	9	224	0.73	47	1030	0.93	24	> 3150	13

Tab. 12: Korngrößenkollektive im Kern NL 044 (Abb. 38)

Tab. 12

Core NL 044

		-1			gr	ain size	e popu	latio	าร			residua	1
sample top - base	residu fine f	a: raction	- X	l ±o		ž	11		"	III			fraction
(cm)	(µm)	(%)	(µm)	(Φ°)	(%)	(jum)	(\$\Phi^{\phi} \)	(%)	(µm)	(Φ°)	(%)	(µm)	(な)
5 - 11	< 20	8	100	1.13	90		-			-		> 630	2
67 - 73	< 20	5	87	0.86	40	526	1.13	55		-		-	
124 - 130	< 20	4	83	0.96	31	604	1.33	63				> 3150	2
192 - 200	< 63	6				526	1.26	88		-		> 2500	6
219 - 225	< 63	6		-		647	1.49	83	1230	0.43	11	-	
240 - 246	< 63	6	200	0.70	54		-		1260	1.06	40	-	
334 - 340	< 63	12	159	0.66	68				873	0.93	20		
370 - 376	< 63	15	152	0.80	60		-		1180	1.00	25	-	
424 - 430	< 20	14	91	1.23	74		-		1120	0.76	10	> 3150	2
484 - 488	< 10	11	48	1.26	31	399	1.26	28	1450	0.70	28	> 3150	2
488 - 500	< 10	15	41	1.23	34	399	1.20	18	1380	0.86	28	> 3150	5

Tab. 13: Vergleich Atterberg- Pipett-Methode (Angaben in Prozent Tab. 13 der Gesamtprobe)

Comparison Test Atterberg (A.) - Pipett (P.) Analysis

grain si fraction		NL 00 32-40 A.	cm	NL 001 75-84 A.	cm	NL 001 120-13 A.	30 cm
20 - 6	3 µm	7.4	5.8	5.4.	4.9	5.2.	4.2
6.3 - 2	0 μπι	2.9	3.4	1.7	2.0	1.8	2.3
2	6.3 µm	1.1	1.4	0.6	0.9	8.0	0.9
<	2 µm	9.3	10.2	4.6	4.5	5.1	5.5
< 6	3 μm	20.	8	12.3	3	12.5	9

Grobkornzusammensetzungen holozäner Sedimente (Tab. 14, 15)

Tab. 14: Grobkornzusammensetzung im Kern NL 034, im Kernabschnitt 55 - 63 cm

45 11 1 2 676 45 11 1 2 676 46 10 2 4 401 47 13 3 7 7 7 7 8 8 8 8 8 8 8 8 8 8 8 8 8 8	sample 55-63 cm														
20 15 1 21 - - - 14 19 2 4 158 4 7 6 22 - - 45 11 19 2 4 158 3 5 11 14 - - 4 10 2 3 348 9 9 6 13 - - 4 10 2 3 348 1 13 14 1 2 4 10 2 48 10 2 6 66 1 13 14 2 4 3 1 4 4 1 4 <t< td=""><td>shorogtaen yedto</td><td></td><td></td><td>other bivelves</td><td>embitino2</td><td><u> милдил амандомон</u></td><td>shefinimshof Yeddo</td><td>6boosht20</td><td>Alcyonaria spicules</td><td>sbəmifsH</td><td>у Виодорийсьяй</td><td>sareng medto</td><td>znisag beilitnebinu</td><td>enievg b⊜jnuo⊃</td><td></td></t<>	shorogtaen yedto			other bivelves	embitino2	<u> милдил амандомон</u>	shefinimshof Yeddo	6boosht20	Alcyonaria spicules	sbəmifsH	у Виодорийсья й	sareng medto	znisag beilitnebinu	enievg b⊜jnuo⊃	
4 7 6 22 - - - 45 11 1 2 6% 3 5 11 14 - - - 48 10 2 3 6% 2 5 11 14 - - - 48 10 2 3 48 2 5 11 14 - - - 48 10 2 3 48 2 5 12 11 13 - - - 46 10 2 3 1182 2 5 12 11 1 - - 40 10 2 - <				ᄕ	_	21	ı	ŀ		14	19	2	-37 ′	158	6.4
3 5 11 14 - - - 48 10 2 3 348 9 6 19 - - - 46 10 2 3 1182 - 5 11 13 - - - 46 10 2 4 1182 - 5 12 11 13 - - 46 10 2 4 1182 - 5 12 11 1 - - 46 10 2 4 40 1182 - - 40 10 - - 40 10 - - 40 10 - - 40 - - 40 - - - 40 - - - 40 - - - 40 - - - 40 - - - - - -		~	vgr	~	vo.	22	•	ı	,	Ť	11	-	63	979	2.5
9 9 6 19 - - - 46 10 2 4 -		לידו	ç	5	11	14	1	1		48	10	2	3	348	5.7
2 5 11 13 - - - 46 16 16 2 4 - <td></td> <td>ליח</td> <td>6</td> <td>φ.</td> <td>S</td> <td>19</td> <td></td> <td></td> <td></td> <td>35</td> <td>13</td> <td>2</td> <td>۳,</td> <td>1182</td> <td>7.9</td>		ליח	6	φ.	S	19				35	13	2	۳,	1182	7.9
- 5 12 11 - - - 43 9 2 4 401 - 5 9 10 0 - - 40 13 3 7 - - 5 9 10 1 - - 40 13 7 - - 5 4 10 1 - - 40 13 7 - - 4 3 7 1 0 0 62 2 1 2 4 7 - - 4 3 7 1 0 0 42 2 1 2 1 2 1 2 1 4 3 4 8 3 3 4 4 4 4 4 4 4 4 4 4 4 4 4 4 4 4 4 4 4		CC3	2	п'n	11	Ť		i	,	46	16	2	**	*,	
- 5 9 10 0 - 40 13 3 7 -* - 5 7 10 1 - - 40 13 7 -* - 5 7 10 1 - - 36 18 3 7 -* - 4 3 7 1 0 - 35 22 4 35 -* -* - 3 2 6 1 0 0 42 21 2 12 -* -* - 1 1 0 0 42 21 1 1 1 48 1 1 48 1 1 48 1 48 1 48 49 48 49 -* -* -* -* -* -* -* -* -* -* -* -* -* -* -*		3		ų,	12	11	1		,	45	9	2	*:7	401	
. 5 7 10 1 - - 38 18 3 9 -* . 5 4 9 1 - - 35 22 4 12 - . 4 3 7 1 0 6 42 21 2 12 47 . 1 1 0 0 42 13 13 13 - . 1 1 1 0 0 49 13 13 - . 2 1 1 1 0 66 14 13 48 12 14 14 14 14 14 14 15 14 15 14 15 14 15 14 15 14 15 14 14 14 14 14 15 14 14 14 14 14 14 14 14 14		₩ g r	,	un	లా	10	G,	ı	•	46	13	33	Ę	*(
- 5 4 9 1 - - 36 22 4 12 477 - 4 3 7 1 0 6 42 21 2 12 -* - 3 2 6 1 0 6 42 21 1 2 -* - 1 1 0 6 6 13 1 1 1 1 1 -* -		5		ψp	c	10	1	1	,	38	18	~	9	*,	al. Ĉ
- 4 3 7 1 0 6 42 21 2 12 -* - 3 2 6 1 0 6 49 19 1 13 -* - 1 1 1 0 6 19 1 1 1 -* - 2 1 1 1 1 1 1 1 1 -* -* - 2 1 1 1 1 1 1 1 1 1 -*		9	,	ሆ ን	9	6	_	1	,	35	22	*4	12	437	8,2
- 3 2 6 1 0 69 19 19 1 13 -* - 1 1 4 1 1 0 56 18 0 14 605 - 2 1 1 1 48 22 0 14 605 - 3 0 5 1 2 40 27 18 407 - 3 0 7 4 2 27 33 0 22 -* - 1 3 4 2 27 33 0 22 -* - 1 3 4 2 27 35 1 26 482 - 0 - 7 4 5 1 25 -* -* - 0 - 6 6 7 1 20 3 3 3 3		5		4	ליה	r		0	0	42	2‡	2	27	**	+3* +3*
- 1 1 4 1 1 6 56 18 0 14 605 - 2 1 2 48 22 0 15 -* - 3 1 2 40 27 0 15 -* - 3 4 2 3 32 31 - 18 407 - 2 0 7 3 4 2 27 33 0 22 -* - 1 4 3 4 2 27 35 1 26 482 - 1 4 5 1 25 27 3 -* - 0 - 7 4 5 1 28 20 3 3 3 - - - - - - - - - - - -		평'	,	La ₂	2	9		0	0	49	3.9	pura	 	*,	5.3
- 2 1 5 2 1 1 48 22 0 15 -* - 2 0 6 3 1 2 40 27 0 16 -* - 3 0 7 3 3 2 27 33 0 22 -* - 1 - 7 3 4 2 27 35 1 26 -* - 0 - 7 4 5 3 2 2 -* -* -* - 0 - 7 4 5 3 2 2 -* -* -* -* - 0 - 7 4 5 3 2 2 -* -* -* -* -* - - - - - - - - - - -		33	ı	1	grant	÷d*	1	1	ප	99	CX)	ij	**************************************	605	9.0
- 2 6 3 1 2 40 7 6 3 1 2 40 7 7 4 2 3 32 31 - 18 407 - 1 2 3 3 2 27 33 0 22 - - 1 - 7 4 5 2 22 35 1 26 482 - 0 - 7 4 5 1 25 27 0 29 - - - - 6 6 7 1 28 20 0 33 358 0 3 3 7 2 1 40 23 1 15 273		23		Q	(mri	5	2		~	⇔	22	0	5.5	. ₩ 1	Prod prod
- 3 0 7 4 2 3 32 31 - 18 407 - 2 0 7 3 4 2 27 33 0 22 - - 1 3 4 2 27 35 1 26 482 - 0 - 7 4 5 3 25 27 0 29 - * - 0 - 6 6 7 1 28 20 0 33 358 0 3 3 7 2 1 40 23 1 15 2739		2	,	<>	÷	£	m		2	<u> </u>	27	0	40	*	12.7
- 2 0 7 3 3 2 27 33 0 22 -* - 1 - 7 3 4 2 22 35 1 26 482 - 0 - 7 4 5 3 25 27 0 29 -* - - 6 6 7 1 28 20 0 33 358 0 3 3 7 2 1 1 46 23 1 15 2730		page (1	m	£	7	4	N	က	32	31	1	18	407	
- 1 - 7 3 4 2 22 35 1 26 482 - 0 - 7 4 5 1 25 27 0 29 -* 6 6 7 1 1 28 20 0 33 358 0 3 3 7 2 1 1 40 23 1 15 2730			,	2	.	اسب	m	לייז	2	27	33	0	23	*,	
- 0 - 7 4 5 1 25 27 0 29 -* 6 6 7 1 28 20 0 33 358 0 3 3 7 2 1 1 46 23 1 15 2730		0	1	-		 	m	4	2	22	35	-	92	482	
6 6 7 1 28 20 0 33 358 0 3 3 7 2 1 1 46 23 1 15 2739		Ð		0	1	7	4	13"	prof.	25	23	27	53	*,	0.9
0 3 3 7 2 1 1 46 23 1 15 2739		1	ı	,	,	ą.	vo.	}	provide	28	50	D.	33	358	9.8
		m	0	m	33	-	2	-	-	<u>ئ</u>	23		<u>}</u>	2730	87.9

Core No.

-* isterpolated

Tab. 15: Grobkornzusammensetzung der Kerne NL 001/3, NL 040 und Zusammensetzung der Fraktion > 3150 μm im Kern NL 048 (Abb. 44 bis 49)

Tab. 15

1 3 4 6 - - 1 3 4 8 1 9 1 9 9 9 9 1 3 4 8 1 1 3 4 9 1 1 3 4 9 1 1 3 4 8 1
10 5 4 24 3 2 - 0 1 0 1 - - - -
1
- - 0 0 1 -
- - 0 - 3 0 - 0 0 - 0 0 -
- 8 3 7 50 67 -
2 - 1 0 1 1 0 - 1 4 - 4 - 4 - 4 - 1 1 1 1 4 - 1 4 - - 4 - - - 4 - - 4 - - 4 - - - 4 - - - 4 -
- - - - - 1 18 1 1 6 3 1 1 6 3 1 1 -
- - 50 42 64 - - 4 10 48 45 52 -<
2 10 1 -
4 1 4 1 4 1 6 6 8 8 4 - 0 - - - - 1 0 0 -
4 - 0 -
3 3 7 9 - 2 18 29 28 13 8 0 -
3 3 0 1 1 1 1 0 0 0 0 1 1 1 1 0 0 0 0
6 4 4 2 3 7 6 5 3 3 2
5 4 -
28 14 1 0 - - 4 13 9 1 3 6 -
4 9 2 1 0 - 3 6 3 5 -
16 0 -
4 3 0 0 15 9 69 89 89 89 89 89 89 89 89 89 89 89 89 89 81 9 89 89 9 89 89 9 89 89 89 89 81 40 162 80 816 842 436 476 117 32* 123 21 23 21 22* 123 21 22* 123 21 22* 123 21 22* 123 21 22* 123 21 22* 123 21 22* 123 21 23* 21 23* 21 23* 12 23* 21 23* 21 23* 21 23* 21 23* 21 23* 21 23* 21 23* 21 23* 21 23* 21 23* 21 23* 21 23* 21 23* 24 23* 21 23* 21 23* 23* 21 23* 23* <t< td=""></t<>
- 16 1 1 0 · · · · 2 1 4 2 1 · · · · · · · · · · · · · · · · · ·
- 16 1 1 0 2 1 4 2 1
4 1 · · · · · · · · · · · · · · · · · ·
9 5¢ 71 113 353 83 40 162 80 416 442 436 476 117 32* 123 21

FRACTION >3150 µm

FRACTION 2500-3150 pm															<u>,,,,,,,,,,,,,,,,,,,,,,,,,,,,,,,,,,,,,</u>	FRACT10N	10H	2006-2500		ā.										
Core No.		æ		0 0 1	1 / 3					<u>»+</u>	0	GD Wat			_			_	0 0 1	~.					<u>12-</u>	0 7	4 D			
sample top (cm)	5 15	32	120 130	156 157	188 196	215 224	242 250	3.6	55	16¢ ; 170 ;	216 3 231 3	300 3	312 4 325 4	400 ¢ 405 ¢	443 451	15	32	120 130	150	85	215 2	242 250	10	93	164 170	216	300 3	312 4	400 4	443 461 1020
Astraea phoebia	,	•	1	,	•	- 1	end	i	1		Ģ	ava	2	,	,	1	1	+	ı			í	,	t	,		,	<i></i>	ι	,
Vermicu}aria	1	,	1	1	ŀ	•	you as	2	Ç		m	35	c ·	4	,	1	+	ı		,	,	0	١	,	_	أدمنا		. ~		
Modulus modutus	•	П	-	1	0	0	2		1	2	m	ę.	00	2	na	,	1	***	0	,		اسم ز	,	c)	· 64	, ,,	, g		~	; , _
Cerithium lutosum	١	•	1	•	1	1	O	,	,	,		í	t	2	ል ነታ፣	t	1			,		. 0	•		ı +	, ,	, ,) 1	. 63	an.
Finella	•	١	ı	1	•	•		,	,	ı	1		,		ı	,	t	ņ	,	చ		ı	П	pm-	•	ı	ı	-		
Columbella mercatoria	١	,	١	•	,	٠	1	,	1			П	e-5	,	,		•	,		,	,	,	t	,	٨	1	ı	m	,	7.0
Nassarius albus	,	•	1		•	•		١	þ	ı	ප	ij	1		0		,	1	1	,			,	1	ı	ث	,	0	. ,	. 0
Buila striata	•	٠	1	,	,	ı	1	ı	,	ı	ŗ,	I	_	,	¢,	,	4	,	١	,	,	1				· c;	-		ı	, 5
other gastropods	•	Ð	0	ප	Pare	1	2	2	/ama	ସଂ	Find	2	_		1		1	1	•	provid	1	64	44")	=	2	luna, (PTG	
Pteriacea	,	-	1	(vird	co	, ,-1	~	2	,		****	m		on.	42	ŀ	1	1	1	,	,	-		,	-	~	_	0	~	ő.
Codakia	ħ,	n	7	+4	١	١	taul	4	2	m	2	c	,	,	0	2	ć+* 3	O	0	1	9	_		,	,,,,,,		-	0	, ,	; ≃;
Crassinella Tunulata	ارميا	m	9	9	ş	5	pod	=	רייז	=+	2	1	ŀ	1	í	479	ور	(C)		2	2		Ġ.	~	. ~	. ~	• •	. ,	,	, ,
Laevicardium laevigatum	च	-	-	0	-	1	pred	4	다	ক	7	ç	DĮ.	r	,	5	-	44	١	+-1	C	0	(ייי	04	ım	ı m	ц	₩ 3`7	vi	0
Ervilia	ტ	ď٦	12	13	24	13	2	Ξ	w	11	ø	0			r	69	ď	10	64	35	9	2	5	ব	40	•>	<u>~</u>	,		1
Tellinacea	ev-m	œ	egr.	-	<u>—</u>	1	0	}	۲.	ঘ	03	13	14	- KE	I.	2	7	4	-	1	ı	ტ	9	ع	9	1.7	15	Ξ	69	6
Gowldia cerina	35	38	13	-	,	1	0	ď	12	43	ð		,	,	•	33	28	16	_	G	•	,	5	ur)	es.		,	,	,	ı
Pitar fulminata	Đ	ಯ	CΩ	ĭ	Ű	r	2	*5	9	r'~-	5	₹JF	•	,	(+uni	Ģ	O	0			1	ಯ	(C)	ιΩ	m	2	-	t	
other bivalves	10	ο¢;	!~ .	2	2	çmi	m	2	2	ug-	4	~	œ	r	0	8	3	9	1	<i>ن</i> ين	(Ana)	٠,	m	vgr	ŀΥ'''	(*)	9	цэ	,	2
agglutinated worm tubes (Sabeilidae?)	귝	4	숙	÷	1	1		82	19	ı,	∾	-	p.s.el	*	1	6	6	Q	1	,	-	1	24	23	Š	(**)	c ₂	2	,	
Halimeda	11	12	5	63	10	('*') 	74	18	23	40	45	33	Ţ.	91	29	01	*** 5	33	36	71	60	33	23	41	52	8	45	90 40	20	20
Rhodophyceae	1	•	m	•	1	,	2	,		-	ı	,		1		-	1	\$144	,	П	,	2		শ	2	·		1	1	
other grains	м	2	က	m	2	*25*	2	2	æ	**	m	mi	arri	,		7	\$	m	2	(*)	***	2	4	2	4	r~	c.	~	gov	-
unidentified grains	3:0	ಎ	-	C D	1	m	c			errod	2	2		ı	6~1	m		en d		-	m	5	च्य	(ריז	r*5	_	, G		. 0
	109	291	955	¢29	31.2	437	625	5.6	140 2	235 6	643 6	662 30	367 4	43 53	 36	323	268	528	462	378 4	454 6	647	38	170 2	259 4	475 5	534 \$	438 1	168 6	969
fraction >2500-3150 µm (weight percent of total sample)	0.3	9.0	1.3	1.5	9.0	1.5	3.2	0.5	0.7	1.6	1.2	1.9	9.6	۵. ج	Fra.	0.4	1.0	□ .	1.1		1.8	دن چر	0.3	1.0	6.2 (1.3	· · ·	1.7	1.1	0	1.8

-														
Core Mo.			 **	0 0	1 / 3					<u></u>		1 4 0	0	
sample top (cm)	5	22	126 136	150 157	130 190	215 224	242	10 16	35. 91	164 170	236 231	306 312	312 325	00 40 50
Astraea phoebia	i	ì	•	•	í	•	(*1)	•	1	_	⇒	دعنا	5	1
Vermicularia	0	4	1	1	,	١	-	eg.	5	~~)	ū	22	~	ţ
Modulius andulus		0	m	Ç	éme,	0	ניט	٠	2	2	ব্য	13	<u> </u>	2.0
Ceritaium lutosam	4	•	+	1	1	1	0	١	١	~)	0	Ť	1
Columbella mercatoria	·	T	•	1	1	1	١	١	1	*	1	చ	1	
Massarius albus	ı	,	0	٠	1	1		•	1	٠	ث	۵	త	N
Bulla striata	•	,	•	,	•	-	ιζ	•	,	٠	۲-	c,	Ġ	41
other gastropeds	1	ű	2	-	2	m	84	(*)	ተግ	-	Ţ	1000	Carp	(**)
Pteriacea		0	ì	(°)	497	2	Ţ.	ث	٠	0	0	0	0	27
Codakia	ফ	œ	-	co	1	*3"	13	pro 4	PTT	13	42	3	7	,
Crassimelle lunulata	-	ç~J	m	cc	ď	ей.	0	2	r	1	0	1	'	,
Laevicardium laevigatum	5	c٣١	∞	40	-	Ç	فنتم	च	21	y va (mai	16	ھ	a)	
Ervilia	2	2	۲	3	21	ಧು	_	(4)	₩	2	***	0	١	,
Tellinacea	µn-l	10	~	_	П	ı	_	1.477	ıσ	च्य	탁	딱	'n	17
Gouldia cerina	23	33	24	(۲)	Ð	٠	0	16	<i>t</i> ~	4	0	•	١	•
Pitar fulminata	ထ	8	F.	prese	****	Т	2	Ç	15	16	2	1	0	'
other bivalves	·**	œ	νD	co	m	post	2	₩	=	r	2	1	-	,
agglutinated worm tubes (Sabellidae?)	ca.	82	ب ب	~	•	0	,	26	13	7	Φ.	¢Þ	en en	'
Halimeda	4	ç	65	52	3	66	4]	23	21	22	10	ψ	<u> </u>	2
Rhodophyceae	0	1	0	1	c	1	,runi	1	****	, ∓n#	⇔	1	٠	ı
other grains	2.6	2	ኤ ርን	æ	ev.	_ሆ ን	শ	7	vo.	m	إسمي	-11-	. 0	0
unidentified grains	r:	ij	-	0	\neg	4	ഖ	1	0	m	7	Ċ	. 0	,
counted grains	265 7	735 13	1330 1037		157	974 1	1456	153	364	545 1	1231	1489	828	251
fraction >2000 pm (weight percent of total sample)	1.6	5.1	6.2	5.5	2.8		4,7 15.0	6.9	5		5.5 16.3		25.0 16.0	0

FR&CT10M >2000 µm

-* interpolated

FRACTION 1000-1250 µm								FRACTION 1000-1250 ym							
Core No.			1 0	~	ر~ع 			Care Na.			1	wt C	0		
sample top (cm) base (cm)	(4) (4)	32	120 130	150 157	180 190	235 22¢	242 250	sample top (cm) base (cm)	10	364 370	216	300	312 325	400 406	443 461
Vermicularia	١	١	t	,	t	,	~	Vermicularia	•	0	_	~ -	2	1	0
Modelus modulius	١	•	,	0	١	1	ধ	#adalus modulus	í	٠	,	١	1	4	,
Fine]]a	16	Ť	10	(*°)	_		ųa	Cerithium lutosua	ŀ	,	1	1	1	ı	ı
Bulla striata	1	1	•	•	•	1	,	Finella	(red	~	ত	3	1	2	9
other gastropods	1	0	•	0	1	phot	,a.N	Bulla striate	1	1	١	ı	•	t	ŀ
Pteriacea	•	t	•	٠	t	Ģ	Ģ	other gastropods	æ	8	m	12	(S)	- -	La.
Codakia	0	0	0	٠	0	1	Ç	Pteriacea	•	1	0	0	1	П	82
Crassinella lumuiata	8	1	7	1	-	Ç	÷.	other bivalves	13	ထ	6	22	12	ĸ	[
Laevicardium laevigatum	,	0	0	•	1	¢	Ç		1	1					
Ervilia	1	m	4	4	m	2	\$1.07		**)	es.	2	m	2	C.	1
Tellinacea	1	1	1	,	ı	t	1	Homotrema rubrus	0	-	-	0	చ	•	t
Gouldia cerisa	12	10	(* ን	0	G	ŀ		agglutisated worm	Ċ	,	,		,	,	,
Pitar fulminata	١	0	1	0	•	١	0	tubes (Sabellidae?)	ĮĮ7	<u> </u>	ī,	न	-w	<u></u>	o
other bivalves	ďγ	च	Ġ	N	က	co	W.	Haliseda	47.6	53	ထိ	51	75	59	in in
Soritidae	ur)	(ተን	1	1	7	2	2	Rhodophyceae	m	er.	2	_	1	1	1
Nometrema rubrus	1	τ		1	1	ı	ı	other grains		grand	7	1	1	Ħ	ריז
agglutinated worm tubes (Sabellidae?)	17	24	23	13	#27 #27	9	•	unidentified grains	Ş	r	5	9	<	ed.	2
. ;	-	S	ŗ	ξ	Ü	20	ŭ	counted grains	*,	*	*,	¥c 1	1	*,	*,
अव । छश्चेत्र	37	ę	33	å	93	0	£	fraction 1000-1256 µm							
Rhodophyceae	M)	Δ.		νÇ	=	64	~ 1	(Weigima percent of total sample)	3.6	3.6 9.	5.7	2.5	2.9	න න	2.0
other grains	1	ŋ	Т	pu_4	force	1	2						.⊊ *,	-* interpolated	ated
unidentified grains	ÄŽ.	'n	9	*25	2	2	egy								
counted grains	730	672	613	915	3000	788	1498								
fraction 1006–1250 µm (weight percent of total sample)		0 5.2	ē.	9	ه. 6.	4.2	5.0								

Car	feat	711177	Tab.	15
FOL	しっせん	∡unq.	100.	T 23

FRACT30% 800-1000 gm												FRACTION 630-868 pm											
€øre No.	=	<u> </u>	01/	en			<u></u>	/ 	0			Core Ko.	<u>*</u>	۵	0.1	co.		_	<u>=</u>	0 4 0			
sample top (cm)	32 40	126 136	186 196	242	EE 92	164 170	216 231	366	315	406	443 461	sample top (cm.)	32	120 130	88 188	242 250	10 16 1	164 2 170 2	216 30 231 31	306 312 312 325	2 400 5 406	0 443 6 461	~ <u>-</u>
Vermicularia	t	1	1	0	,	-	-	⇔	-14-4	•	0	Vermicularia	,	•	,	,	,	,	-	10		1	
Finella	13	L	-**1	rml	10	ťζ	m	2		red	O	Finella	ಹ	4	1	,	∞	-	r _s	Ç.J	0		ı.
other gastropads	1		~	2	ব	643	m	9	~ †	***	S	other gastropods	2	5	ন্দ	2	ψn	142	~	~-		· ···	
Pteriacea	•	,	t		1	,	0	0	,	Ö	25	Pteriacea	i	ì	1	,	;	1	,	,	,	73	
Gouldia cerina	r	Т	O	١	•	,	٠	ì		,	,	Gouldia cerina	ļ~~.	m	,	•	,	,	,	,	,		
other bivalves	Ξ	90	40	æ	11	r-	ಯ	15	10	91	٠,	other bivalves	00	ιζ'n	Ġ,	e	ĊΣ	2	· 1	12	භ		
Miliolidae	'	'	ı	١	•	•	1	,	,	,	,	Miliofidae	,	,	,	-	0	0	101	_	,	ق	_
Soritidae	4T	8	2	I	"	~	2	(**)	1	-1	0	Soritidae	רייו	8	2	1	נייז	(Y)	2		· ·		
Homotrema rubrus	1	١	(,	₩.	2	C	-	9	1	,	Hospitrema rebrum	٠	ı	,	1	Ü	6.4	_	n.cv)	,		
unidentified foram.	1	,	,	g	0	punj	<i>(***</i> 4	<u> </u>	ت	0	Ð	other Rotaliina)	1	,	,	,	1	1	,		
agglutisated worm	Ä	16	4	~	Ģ	ç	c	**	•	-	c	unidentified foram.	•		ì	ı	0	,,,,,,,,		,	<u>.</u>	,,,,,,,,,,,,,,,,,,,,,,,,,,,,,,,,,,,,,,,	
tubes (Sabellidae?)	3	7	2	5	og G	2	n	*	-4	-	5	agglutinated worm	15	19	[]	ಎ	,,F\$	2	2	u	_	77	
Haliseda	33	38	59	35	P	90	32	52	79	3.0	58	(saparisant) cann	,										
Rhodophyceae	53	12	40	e-4	67)	m	7	414	C	1	1	Ostracoda	,	ı	1			ı	1		t	•	
other grains	٠	0	0	-1	Û	0	0	O	0	pan-	m	<u> </u>	82	মা মা	25	98	()	62 7	76 52	2 83	82	62	
unidentified grains	∞	თ	^	w	7	r	ur>	1	2	m	2	Rhodophyceae	20	13	₩ 'n		~	2	2	_	. 0	1	
counted graims	515	*,	*,	*,	*,	*1	*,	*	*	*	*,	other grains	,	1	ı	,	1		1		- 1	ব	
fraction 800-1000 µm (weight percent of	7.2	2 8.2	2 7.1	5.1	2.3	יניט מיני	5.1	2.6	2.2	<u></u>		unidentified grains	12	12	11	9	o,	æ	2	6	 	2	
total sample)								,	.* interpolated	temol	lated	counted grains	893 4	439 3	313 3	362 3	397 24	294 380	0 296	6 478	492	265	
												fraction 630-800 µm (weight percent of	7.3	ص ص	6.5	න. න	2.3	عر ص	63	2.2	2.5 1	1.3 1.	rγ

FRECTION 500-639 µm												FRACTION 400-500 µm											
Care Ro.		٥	01/	m			0 1 №	0 0				Core Mo.	¥	C	01/	en)		F.31	그 종	0 4 0			
sample top (cm}	32	120 1	188 188	242 250	100 E	164 2 170 2	216 3 231 3	300 3	312 40 325 40	400 44 406 44	443 451	sample top (cm)	32	120 130	88	242 250	10 16 1	164 2 170 2	216 3 231 3	300 31	312 400 325 406	0 443 6 461	
Vergicularia	V	ì	i	ı	1	1	ı	r	rind	1		Vermicularia	†	ı	¥	,	ı			ω'n	_	1	
FineIla	÷Ω	٣	,	,	1	33	2	ret	-	ĭ	,	Finella	4	2	•	,	5	Œ,	2	1	0	ç,	,
other gastropods	-	2	m	2	40	m	m	7	c	د ے	ত	other gastropods	N	2	23	~	5	3	2	40	~		9
Pteriacea	•	,					•	i	4		18	Pieriaces	τ	,	1	•	4	1	•	,	,	- 13	
Gouldia cerina	2	1	ı	,	í	1	ì	,	*	,	,	Goujdia cerina	Ç	•	1	•	,	ı	1	•		1	
other bivalves	u,rs	=	⊕	2	۲.	탁	2	16	9	5	۳,	other bivalves	φ	↔	9	e-w	2	ריז	₫Ū.	œ	ć 45	6.5	2
Miliolidae	0	6	-	2	П	post	2	Ferrod	*~	٦	2	Miliolidae	_	Ç.,.	<u>~</u>	دع	2	2	2	c~i	_	2	m
Soritidae	₹.	_		pro	2	2	p-14	3	÷	2	~	Soritidae	2	0	C	, —4	c ₂	~*		***	0		<u></u>
Homotrema rubrum	٠	1	1	,	0	2		pad	ì	ì		Homotrema rubrum	•	•	1	í	0	2	r1	0	1		1
other Rotaliina		c	í	,		0		Ç	,		,	other Rotaliina	•	0	1	ı	,	9	,	0	,		,
unidentified foram.	,	,	Ü	ı	0	_	,	0	Ç	Ð		umidentified foram.	1	,	4	,	Ç	c>	į.	٥	o.		1
agglutinated worm tubes (Sabel)idae?}	10	=	521		ħ	-	2	กา	0	grank	ŧ	agglutinateď morm twbes (Sabellidae?)	σ	60	ď.	p.m.e	<u> </u>	ď.	2	2	0	-	0
Ostracoda	•	,	1			,	0	0	,	¢	G.	Ostracoda	t	ı	•	i	,	ı	~	<u>~</u>		0	0
भढ़ों गाएत व	0	1 3	59	95	<u></u>	53	17	53	85	9 \$8	65	Halimeda	33	11	99	00 00	Ó	54	38	61 8	87 86	6 67	
Rhodophyceae	61	† 1	ı¢	G	ত	m	ç	cu.		ı	2	Reodophyceae	16	4.5	च	ı	9	m	2	C3	rı~	,	ব
other grains	•	,				,		1		ı	,	umidentified grains	25	33	다.	~	11	12	(,	CC)	427	107	ur)
unidentified grains	116	90	~	 -	01	10	S.	50	~ ~	*#	φ	counted grains	535	514	356	290	*,	*,	*	*	*;	*	*,
counted grains	513	*	*,	*,	*,	*,	*.	*: 'l	+c (*,	*	fraction 400-500 pm											
fraction 500-630 µm (weight percent of	7.0	7.7	5,9	3.8	2.1	(*); *21	در)	3.3	2.3	~	ग्र ् स्य	(weight percent of total sample)	 		L	4.5	2.5	4.9	9.6	2.1	2.6		٠ برن
total sample)																				'n	-* interpolated	r original	Si Si

FRACTION 335-400 µm												FRACTION 250-315 µm											
Core No.		\Box	01/	(")			<u>ا</u> ۳	- 	Û			Core Mo.	<u>-</u>	0 0	01/	m		z	0 T	0 \$			
Sample top (cm) base (cm)	32 1 46 1	120 1	186 196 2	242 250	10 1	164 2 170 2	216 3 231 3	306 3	312 40 325 40	50° 30° 4 %	443 461	sample top (cm) മൂടലേ	# 35	120 136	186 190	242 250	10 16 15	164 216 170 231	3000	312	400 405	\$#3 461	
Vermicularia	ı	•	•		•	•	į	2	0	,	,	Vermicu∮aria	ı	ŀ	1		r	,	Ç2	÷	1	,	
Finella	П	I		ì	4U'	2	1	ı	ι		ı	Finella	П	G.	ı	,	~7	ı	-	١	ı	•	
Other gastropods	CN4	84	8	7	5	۳'n	c _{>}	۵	Т	m	m	other gastropods	1		-w4	_	42 5	2	1 5	4mm	(۳)	es.	
Pteriacea	,				ı	*	,	ı			æ	Pteriacea	,	1	4	ı	1	,	,	,	١	g.	
other biyalves	F*7	(**)	(T)	-	m	(*)	2	w	1	2	2	other bivalves	9	_	0	2	m	m	3	1	444	2	
Miliolidae	651	1	-	(17)	לייז	(**)	(11)	" "	1	8	=	Miliolidae	2	-	П	ריי	(T)	m	()	2	(*1	m	
Soritidae	-	0	0	1	ī	_	_	m	0	-	_	Soritidae	,	1	0	5	-	0	©	0	-	Ċ	
Homotrema rubrum	1	,	1	ı	1	0	_	٠		,		Homotrema rubrum	Y	•	,	t	-	2	2	١	1	1	
other Rotallina	ţ	0	0	0	ŀ	0	ı	0				other Rotaliina	#1°1	1	0	0	1	0	0 1	0	0	Ð	
unidenti€ied foram.	4	1	_	0	<u>~</u>	ల	,	_	0	ŀ	ì	unidentified foram.	ŧ	,	П	1	2	1	0 1	_	1	y.u)	
agglutimated worm tubes (Sabellidae?)	دئ	ıψ	'ব	-]\$	47	~	2	1	0		agglutimated worm tabes (Sabellidae?)	7	m	pert	7	16	·*)	1 2	'	0	ı	
Ostracoda	•	1		П	í	(_	-		-	0	Ostracoda	•	1	,	2	+1114	-	0 _	Ð	2	1	
Halimeda Rhodophyceae	56 12	वंब	52	81	980	66	78 1	in in	888 8	888	۵ م	Halimeda Rhodophyceae	æ 11	44 10	59	35 -	51 6	64 74 5 4	P. 6	es es no	00 ret	65	
unidentified grains	113	3]	53	σ	12	14	œ	0 0	לצו	埬	W.	unidentified grains	42	36	83	12	r=-1	01 51	-6	9	4	9	
counted grains	563	*,	*,	*,	244	392 4	403 3	399 6	694 37	375 34	356	counted grains	\$08	336	664	334	*,	*	+°,	*1	*	*;	
rractios 315-400 șm (weight percest of total sample)	9.3	9.3 10.3 10.2	10.2	دن. مند	2.3	4.0	ω, σο	1.8	2.2	0.9	1.3	fraction 230-315 µm (weight percent of total sample)	9.0	9.9	15.1	۳. ده	2.2	RJ RJ	6. 6.	2.0 2.5	5 1.6	 	
																				,	nterp	- interpolated	_

FRACTION 200-250 µm												FRACTION 160-200 µm											
Core No.	 स्ट	0	/ 10	~			<u>₩</u>	\$	0			Core No.	×	<u></u>	01/	m				040			
sample top (cm)	32 40	120 130	188 198	242 250	29	164 170	216 233	300 312	312	400 405	443 461	sample top (cm)	32 40	120 130	189	242 250	10 16 16	164 170	216 3K 231 31	300 3	312 400 325 406	0 443 6 461	₩
Vermicularia	•	+)	١	,	,	١	2	ت	4	,	Vermicularia	1	•	t	,	(+	~	,	,	,
Fine 113	_	O	•)	1	trad	<u></u>	•	•	ı	,	Finella	1	(,	ı	,	,	,) ا	,	,	
other gastropods	ī	1		Inst	m	2	rend	MJ.	-	~>	1	other gastropods	64)	pad	gerté	1	4-44	-	1	(7)	p.mł	2	٥
Pteriacea	ı	٠	•	ı	. '	•	,	- 1	1	ŀ	లు	pteriacea	٠	,	•)	+	1	1	1		-	=
other bivalves	r~	64	-	2	m	m	m	5	***	1	1	other bivaives	۲-	m	1	c	2	c.s	c~3	MO.	_	·	,
Miliolidae	L,J	84	_	m	4	m	m	8	٣	m	65	Miliolidae	3	2	_	۲۰٦	~1 .	m	m	ā.r	99	۴٧٦	(~)
Soritidae	-	0	0	1	_	0	0	2	©	ent	Đ	Soritidae	← 1	5 2	•	0	شع	ı	0	-	,		,
Homotrema rubrum	1	,	•		2	Ø	3	,	•	١	,	Homotrems rubrum	,	٠	1	,	m	رب)	۴۷°)		,		,
other Rotaliina	c	-	-	0	2	-	_	1	0	4،سپ	0	other Rotalisma	LE"	1	-	¢	'n	404	-	1	0	-14	9000
unidentified foram.	í	1	-	1	'n	_	П	2	-	5	(see a)	unidentified foram.	ı	1	_	2	u j	2	vent	r~>			
agglutimated worm tubes (Sabellidae?)	بسر	ت	7	0	(63	П	(V		•	1	agglutimated worm twhes (Sabellidae?)	tend	r	1	ı	~,	_	-	2	,		,
Ostracoda	0	rai	١	1	p.u	2	1	ල	-	Þ	82	Ostracoda	0	2		(-×	2	~	7			νp	m
Haliseda	35	9.	55	۲۰۰ ۲۰۰	52	29	69	29	90 F-	2.	61	Alcyonaria spicules	ı		. ,	1	1		,	,	'		
Кводорђусвае	***	9	<i>}**</i> -4	,	<u></u>	9	æ	ъ	00	r~-	14	प्रका । इत्यत्य	35	0 7	S	6,0	53	9	54		73	r/t	-
unidentified grains	41	<u>-</u>	39	9	== 	f	32	6	r	4	යා	Rhodophyceae	m	2	l post	} 1			,				
counted grains	*,	**	*	-}t	*,	*	*,	*.	+;	*	*,	smidemtified grains		40	53	23	14 ⁽²⁾	00	13 1	10	್	4	
fraction 200-250 pm (*eight percent of	6.0		6.3 15.9	2.6	2.5	4 .6	in in	,_, o,	2.4	0.1	<u>.</u>	counted grains	578	536	345	350 4	ć2.		۳'n	4	34	53	
tota! sample}										terpo	-* interpolated	fraction 160-200 pm (weight percent of total sample)	3.1	2.9	r	6.7	<u>ದು</u>	ক ত	~?	F	2.0 0	e)	1.5

ERACTION 125-160 µm												FRACTION 100-125 µm											
Core No.	 <u>:>r</u>	0 0 1	1 / 3	63		₩	¹ ਕਵ	0 4 (Ö			Core No.	7E	0	1	m			الىسى <u>-تەن</u>	0 4	c		
sample top (cm)	32 12 40 11	120 16 130 19	188 2 180 2	242 250	10 1	164 2 170 2	215 3	300 3	312 4 325 4	400 4	443 461	top (cm)	22 \$	120 130	180 190	242 250	10 16	164 2 170 2	235 33	300 3	312 4(325 4(#00 #06	443 451
Vermicularia	,		ı	1	1	i		6.77)	1	•	,	Vermicusaria	,	•	1	,	,	,	,	0	t	1	
other gastropods	2	_	oʻ		_	_	-	2	÷	2	0	other gastropods	٦	0	•	,	-	0	J		1	 -l	r-d
Pteriacea	,	1		,	1		,	ι	ì	1	ف	Pteriacea	1	,	•		•		١	1	,	,	ł.v.
other bivalves	72	S	1	₹ ~1	~	83	64	8	0	-	mont)	other bivalves	=	2	u—d	0		_	_	2	,		, ,
Miliolidae	æ	1	_	*1	ריז	2	2	'n	m	₩.	2	Miliolidae	q	_		2		~		,	0	می د	۰
Soritióae	¥#4	0	1	0	9	,	Ð	П	ı	_	,	Soritidae	П	0		1))	. ,	, –	, ,	, _	• ,
Komotrema rabrum	•	ı	ı	1	49.	S	42°	,	·	•	i	Homotrema rubrum	1	,	,	1	ſ.c.	1	(g)	. ,	,	,	,
other Rotaliina	-	##*	µ -1-4	2	2	2	ij	2	0	П	1	other Rotaliima	m	2	·	2	er-t	. «+°)	· (\)	۲٠٦		6.	
umidentified foram.	>	2		2	ec	2	2	(**)	2	ᄗ	~	spidentified foram.	च्ये	o,	N	2	2	0	· (*)		· 6x1	5 42 5 -	2
agglutinated worm tubes (Sabellidae?)	1	•	o	ι	2	D	G.	2	,	,	1	aggiutinated worm tubes (Sabellidae?)	ı	,	1	,	0	1	1	_	(ı
Ostracoda	0	1		2	m	"	m	para a	٣	9	2	Ostracoda	1	Ç.3	1	67	(~)	च	乊		-, +	9	2
Alcyonaria spicules	1	0	,		(بمي	_	0	,	1	1		Alcyomaria spicules	ı	Ò	ı	1	9	ر ت	<i>ټ</i>	,	ı		
Ha <u>ë imeda</u> Rhodophyceae	ر د د د د د د د د د د د د د د د د د د د	S 95) 25 0	143 r	47 13	§3	56 10	සු	33	65 10	53	Halineda Rhodophyceae	45	51	51	,	46	47 4	49 6 12 1	66 7	73 6	63 5 10 1	58 15
unidentified grains	39	37. 4	رة. د	23	<u>ec</u>	6	18	gr.	5	ı <u>e</u> s	12	unidentified grains	æ	33.	=	52	21 .	23 23	53	ω	r <u>t</u> an	رت سر	(200 1
counted grains	*,	*	*	*,	*,	*	*,	*,	*;	4K,	*,	counted grains	663 4	439 4	477 5	500	364 4	439 350	30 412	2 333	3 422	356	ve:
fraction 125-166 pm (weight percent of total sample)	2.3		3.4	φ	9'0	6.1	5,4	2.1	2.4 0.9 2.4 -* interpolated	6.9 erpel	2.4 ated	fraction 100-125 pm (weight percent of total sample)		1.5	, mark	<u>.</u>	÷d÷ ¢r•	6.6	من من	5.7	5.6	 -j	<u>ب</u>

FRACTION 80-100 pm												FRACTION 63-80 µm											
Core No.	≈ ¬		6-01	33			_¹ -≠:	10 4	8			Core Mo.	N N	¢	01/	60		_	J K	0 4 0	_		
sample top base (cm)	32	126 136	180 190	242 250	10 16	164 170	216 231	300	322	406	443 46 <u>3</u>	sample top {cm}	32 40	130	180 190	242 256	10 1 16 1	164 2 176 2	216 30 231 31	300 31 312 32	312 400 325 406	6 443 6 461	~ -
Gastropoda	+1	Ö)	-	0	9	0	-			9	Gastropoda	ů	ı	•	,	i	1	1	Û	1	ت	,
Pteriacea	*	,	,	,	1	1	ı	ı		1	2	Ftersacea	•	•	١	1	t	ı	ı	,	ı	-	ت
other bivalves	m	200	1	-	le and	÷	\Box	_			,	other bivalves	2	0	,- +	red		ı	,	_	ı	,	٠
巻istolidae	m	part	end	1	-	1	ථ	Ç~i	(~ .)	m		Milio≩idae	£4.3	-		yourd	head	, ,,, ,	<u>e</u>	5	m	2	_
Soritidae	G.	-	•	•	٢	,	,	0	ı	0	,	Homotrema rubrum	٠	١	1	ı	10	ö	œ	_,	,	·	
Homantrema rubrum	•	4	1	,	003	œ	r~	0	,	,	,	other Rotaliina	5	2	hura	دب	2	2	1	<	2	נייז	2
other Rotaliina	2	63	envel	ربع	2	8	ŗ	(+1)	1	m	2	unidentified foram.	11	ō	2	r:	₩	دب	۳,	40)	2	F*1
unidemtified foram.	છ	6	2	۳,	m	cc	נייז	k r ')	(*°)	4	m	Ostracoda	ζ,	1	2	2	**	Ġ	r/)	2	æ,	pô.	(۳)
aggiutinated worm tubes (Sabellidae?)	•	ï	ŀ	ì	C	۲	i	ల	I	,		Alcyomaria spicules	-		1	•	5	2	-		1	,	,
Ostracoda	1	€	4	m	रन	20	ריז	~	4	 -	<i>(~)</i>	la i meda	00	5:0	25	65	3	650	40 5	57	55 5	56 54	٠ ٠
Alcyonaria spicules	0	+~4	1	1	យ	2	+1/78	,	,	ı	1	Кћодорћуселе	•	1	(,	f	21] ;	2	225	15 1	<i>r</i>
Ralimeda	***)	50	25	63	33	\$2	*** ***	29	64	5,9	55	unidentified grains	39	330	42	25	22	18	28 1	£.	g:	11 1	13
Rhadophyceae	٠		٠		1 pm-1	p	15	103	13	13	16	counted grains	523	463	663	318	488	503 6	609 48	\$86 38	385 468	8 431	
unidentified grains	œ	æ	43. C.J.	97	22	C.T.	25	49"	*2.	10	18	fraction 63-50 µm {weight percent of total sample}	1.6	4.0	9.4	2.2	ec ro	en en	e.e.	رب من	2.9	2.5	3.5
counted grains	*	*,	*	*	*,	4c	*	*,	*,	*,	*,												
fraction 80-100 (sm (weight percent of total sample)	1.4	9.9	9.5	3.5	е. 00	5.0	e,	ii.	2.5	1.6	3.9												
									.* in	terpo	-* interpolated												

Fortsetzung Tab. 15

FRACTION 63-2000 µ№

Core No.	2 :	0	0.1	, 3			٦ ×	ō	0 \$		
sample top (cm}	32 40	120 130	38	2¢2 250	22	16¢ 170	216	300 312	312 325	400 406	443 461
Vermicularia	•	1		0	•	0	0	₩	****	1	ė**-
Finella	75	e2.	0	ů	2	ניי	2	1	0	+4-4	o c;:
other gastropods	1		-	~	C.	2	2	7	3	er>	m
Pteriacea	•	1	1	0	,	0	0	G	<u>~</u>		13
Gouldia cerina	С		⇔	١	c	_	0	0) 1) (; '
other bivalves	f=t=n	9	ㅋ	2	က	*42,5-	7	97	4	00	m
對達olidae	1	_	1	~	1	-		۷	2	2	-
Soritidae	2	-	7	7	***	-	1	2	0	2	5 2
Нотобрета вирият	1	,	+	1	70	ריז	2	0	0	1	
other Rotaliima	-	0	0	pod	-	,,,,,,,	ter.A	, post	· •	-	-
unidentified foram.	0	0	0	П	63	_	1	2	116-4	63	-
agglutinated worm tubes (Sabellidae?)	æ	read mad	ф	ٿ	Ó	5	2	2	~	0	0
Ostracoda	0	0	0	-	2	2	П	-	_	n	
Ałcyonaria spicu∛es	0	ರ⊃	١	ı	ćς	***	0	ł	ŧ		ı
Halimeda	36	42	53	2	다) 작	35	55	8	35	99	00 W/2
Rhodophyceae	13	10	2	-	12	r~	a,	ωĎ	ŀΩ	9	σ,
unidentified grains	23	22	25	F7	E prest	5	-tot	10	г	9	10
counted grains	6685 ¢	4721 5	5102 5	5632	2549 2	2538 2	2852 2	2474 3	3131 2	2964 2	2584
(weight percent of total sample)	9.5	80.9	94.3	77.2	ir.	32.6	58.5	<u>.</u> हर	34. a	8'97	32.3

Tab. 16: Verzeichnis der im Text und in den Kernbeschreibungen erwähnten Organismen

```
ALGAE
                                                                    MOLLUSCA
 CHLOROPHYCEA
                                                                    GASTROPODA
     Cymopolea sp.
                                                                    Fissurellacea
     Udotea sp.
Penicillus sp.
                                                                        Emarginula dentigera HEILPRIN, 1889
                                                                        Fissurella barbadensis (GMELIN, 1791)
     Halimeda sp.
                                                                    Trochacea
                                                                        Astraea phoebia RODING, 1798
 RHODOPHYCEA
                                                                    Rissoacea
     Liagora sp.
                                                                        Paludestrina bermudensis PILSBRY, 1934
     Galaxaura sp.
                                                                    Littorinacea
     Lithothamnium sp.
                                                                        Truncatella sp.
     Fositella sp.
                                                                    Cerithiacea
     Lithophyllum sp.
                                                                       Vermicularia spirata (PHILIPPI, 1836)
Vermicularia knorrii (DESHAYES, 1843)
Petaloconchus varians (ORBIGNY, 1841)
Petaloconchus erectus (DALL, 1888)
     Gonfolithon sp.
    Amphiroa sp.
    Corallina sp.
    Jania sp.
                                                                       Spiroglyphus sp.
Modulus modulus (LINNE, 1758)
Batillaria minima (GMELIN, 1791)
 ANGIOSPERMAE
                                                                       Cerithium litteratum (BORN, 1778)
Cerithium lutosum MENKE, 1828
Finella dubía (ORBIGNY, 1842)
MONOCOTYLEDONES
     Cymodocea manatorum ASCHERSON
                                                                       Finella dubía (ORBIGNY, 18
Finella adamsi (DALL,1889)
    Diplanthera sp.
    Thalassia testudinum KONIG
                                                                       Cerithiopsis greeni (C.B. ADAMS, 1839)
                                                                    Epitoniacea
FORAMINIFERA
                                                                       Epithonium sp.
                                                                   Crepidulacea
MILIOLINA
                                                                       Strombus pugilis LINNE, 1758
Miliolidae
                                                                    Cypraeacea
    Quinqueloculina sp.
Triloculina sp.
                                                                       Trivia quadripunctata (GRAY, 1827)
                                                                   Naticacea
    Miliolinella sp.
                                                                       Polinices lacteus (GUILDING, 1834)
Soritidae
                                                                       Natica canrena (LINNE, 1758)
    Peneroplis sp.
                                                                    Buccinacea
    Broeckina sp.
                                                                       Columbella mercatoria (LINNE, 1758)
    Archaias sp.
                                                                       Pisania tincta (CONRAD, 1846)
    Cyclorbiculina sp.
                                                                       Nassarius albus (SAY, 1826)
    Amphisorus sp.
                                                                   Volutacea
ROTALIINA
                                                                       Oliva reticularis LAMARCK, 1810
    Bolivina sp.
                                                                       Olivella sp.
    Discorbis sp.
                                                                       Mitra barbadensis (GMELIN, 1791)
    Ammonia beccarii (LINNE, 1758)
                                                                       Vexillum epiphanea REHDER, 1943
    Elphidium sp.
                                                                   Conacea
    Homotrema rubrum (LAMARCK, 1816)
                                                                       Conus sp.
                                                                   Acteonacea
                                                                       Acteocina sp.
CNIDARIA
                                                                   Bullacea
                                                                       Bulla striata BRUGUIERE, 1792
HYDROZOA
                                                                   Siphonariacea
Milleporida
                                                                       Trimusculus goesi (HUBENDICK, 1946)
    Millepora alcicornis LINNE, 1758
                                                                       Planorbis uliginosus VANHATTA, 1910
Alcyonaria
   Alcyonacea
   Gorgonacea
                                                                   BIVALVIA
Zoantharia
    Scleractinia
                                                                       Arca zebra (SWAINSON, 1833)
   Madracis decactis (LYMAN, 1859)
Agaricia fragilis DANA, 1846
                                                                       Arca imbricata BRUGUIERE, 1789
                                                                      Barbatia cancellaria (LAMARCK, 1819)
Barbatia domingensis (LAMARCK, 1819)
Anadara notabilis (RODING, 1798)
   Siderastrea sp.
   Portes astreoides LAMARCK, 1816
Diploria labyrinthiformis (LINNE,1758)
Diploria strigosa (DANA, 1846)
Montastrea angularis (ELLIS & SOLANDER, 1786)
Montastrea cavernosa (LINNE, 1758)
                                                                      Arcopsis adamsi (DALL, 1886)
                                                                   Limopsacea
                                                                      Glycymeris sp.
                                                                  Mytilacea
   Oculina sp.
                                                                      Brachidontes domingensis (LAMARCK, 181
Musculus lateralis (SAY, 1822)
   Isophyllia sp.
                                                                      Lithophaga nigra (ORBIGNY, 1842)
Modiolus americanus (LEACH, 1815)
Botula fusca (GMELIN, 1791)
```

Fortsetzung Tab. 16

Pteriacea Pinctada imbricata RODING, 1798 Isognomon sp. Pectinacea Aequipecten sp. Argopecten sp. Plicatula gibbosa LAMARCK, 1801 Spondylus sp. Anomiacea Anomia simplex ORBIGNY, 1842 Limacea Lima sp. Ostracea Lopha frons (LINNE, 1758) Lucinacea Linga pensylvanica (LINNE, 1758)
Codakia orbicularis (LINNE, 1758)
Codakia costata (ORBIGNY, 1842)
Codakia orbiculata (MONTAGU, 1808)
Anodontia philippiana (REEVE, 1850)
Divaricella dentata (WOOD, 1815)
Diplodonta punctata (SAY, 1822) Chamacea Chama sp. Crassatellacea Crassinella lunulata (CONRAD, 1834) Cardiacea Laevicardium laevigatum (LINNE, 1758) Mactracea Ervilia sp. Tellinacea Tellina sp. Strigilla mirabilis (PHILIPPI, 1841) Psammotreta intastriata (SAY, 1827) Semele proficua (PULTENEY, 1799) Tagelus divisus (SPENGLER, 1794) Veneracea Chione cancellata (LINNE, 1776) Transennella sp. Gouldia cerina (C.B. ADAMS, 1845) Pitar fulminata (MENKE, 1828) Macrocallista maculata (LINNE, 1758) Myacea Gastrochaena sp. ANNELIDA POLYCHAETA Sedentaria Sabellaridae Sabellidae Serpulidae ARTHROPODA CRUSTACEA Ostracoda Malacostraca Callianassidae BRYOZOA ECHINODERMATA ECHINOZOA Echinoidea

Mellita sp.

Tab. 17: Altersbestimmungen an Sedimenten der North Lagoon

Tab. 17

Core	Analysed core section top - base (cm)	Water depth below M.S.L. (m)	Length of core (m)	Penetration depth (m)	Depth of sampl below M.S.L. reconstructed (m)	min. (m)	max. (m)	¹⁴ C age'	Analysed material
Nt. 001/3	251 - 258	16.4	4.37	6.0	19.9	18.8	20.8	8230 ± 130	gyttja
	292 - 297				20.4	19.2	21.2	13960 ± 360	peat
	316 - 326				20.8	19.5	21.5	23960 ± 420	peat
	322 - 337				20.9	19.5	21.6	23800 ± 670	peat
	353 - 358				21.3	19.8	21.8	33530 ±2550 (> 31250 {90%})	carbonate > 1000 μm
NL 001/5	308 - 316	16.4	4.43	5.9	20.6	19.4	21.2	19780 ± 220	peat
NL 002	190 - 218	14.8	2.18	2.3	17.0	16.6	17.3	> 38300 (90%)	<u>Linga</u> shells
NL 031/4	370 - 384	19.6	5.67	7.8	24.8	23.2	25.8	8380 ± 120	carbonate shells > 3150 μm
	473 - 476				26.1	24.2	26.7	9700 ± 90	peat
NL 039	150 - 160	14.3	4.6]	6,2	16.4	15.7	17.7	7870 ± 95	peaty sand
NL 040	216 - 231	16.7	7.46	9.8	19.6	18.8	21.6	6140 t 75	carbonate shells > 3150 µm
	300 - 312				20.7	19:6	22.4	7820 ± 110	carbonate shells > 3150 µm
	443 - 461				22.6	21.0	23.9	8660 ± 110	carbonate shells > 2500 µm
	478 - 481				23.0	21.4	24.1	9230 ± 150	peat
NL 048	107 - 117	13.8	5.48	7.5	15.3	14.8	17.2	5870 ± 85	carbonate shells > 3160 μm
	231 - 235				17.0	16.0	18.4	8710 ± 80	peat
NL 049	107 - 112	1.8	3.05	3.7	3.1	2.8	3.8	3980 ± 55	pest
NL 051	115 - 130	11.2	4.93	5.8	12.6	12.3	13.6	3820 ± 75	carbonate shells > 3150 µm
	212 - 220				13.7	13.2	14.5	6750 ± 95	carbonate shells > 3150 μm
	267 - 270				14.4	13.8	15.0	8040 ± 70	peat
	283 - 287				14.6	13.9	15.1	8010 ± 95	peat
	306 - 316				14.9	14.2	15.4	8680 * 80	peaty clay
NL 053/2	232 - 237	3.4	2.80	4.8	7.4	5.6	8.0	2600 ± 55	Oiploria labyrinthiformis
								³⁰ Th/ ²³⁴ U age	
							(10 ³ Y.B.P. ± ♂)	
NL 027	296 - 303	15.4	3.14	5.5	20,7	18.3	21.0	87.5 ± 3.8	Porites ⁸
NE 037	400 - 414	18.0	4.16	5.4	23.3	21.9	23.6	114.1 ± 5.7 98 ± 9	Diploria ³ Diploria ³
NL 042	259 - 267	15.5	2.69	4.3	19.7	18.0	20.0	130 ± 9	Montastrea ³ (slightly altered exterior)
								103 t 8	Montastrea ³ (fresh interior)
								93.6 ± 3.2	Montastrea ² (fresh interior)

¹ Inst. für Reine und Angewandte Kernphysik, Univ. Kiel, West Germany (Or. H. ERLENKEUSER)

Rep. of Geology, McMaster Univ., Hamilton, Ontario, Canada (Dr. P. SCHWARCZ)

³ Scottish Univ. Research and Reactor Centre, East Kilbride, Glasgow, Great Britain (Dr. R. HARMON)